



# ДИАТОМОВЫЕ ВОДОРОСЛИ

ЛЕНИНГРАДСКИЙ ОРДЕНА ЛЕНИНА  
И ОРДЕНА ТРУДОВОГО КРАСНОГО ЗНАМЕНИ  
ГОСУДАРСТВЕННЫЙ УНИВЕРСИТЕТ имени А. А. ЖДАНОВА

п 143

ТРУДЫ  
БИОЛОГИЧЕСКОГО  
НАУЧНО-ИССЛЕДОВАТЕЛЬСКОГО  
ИНСТИТУТА  
№ 30

# ДИАТОМОВЫЕ ВОДОРОСЛИ

Под редакцией докт. биол. наук *Б. В. Громова*  
и канд. биол. наук *Н. И. Стрельниковой*



ИЗДАТЕЛЬСТВО  
ЛЕНИНГРАДСКОГО УНИВЕРСИТЕТА  
ЛЕНИНГРАД 1981



Печатается по постановлению  
Редакционно-издательского совета  
Ленинградского университета

В сборнике обобщены результаты исследований ископаемых и современных диатомовых водорослей. Описывается миоценовая пресноводная флора диатомей из отложений р. Тын в Западной Сибири, диатомеи из донных осадков Аральского моря и некоторых месторождений диатомитов Армении. Приведен эколого-систематический анализ диатомей горячих источников Азерауджана и Камчатки. Излагаются результаты экспериментального изучения некоторых биохимических особенностей диатомей. Обобщены современные представления о цитологии клеток и о процессах клеточного деления диатомовых водорослей.

Материалы сборника представляют интерес для широкого круга альгологов, а также для палеонтологов, геологов-стратиграфов и океанологов.

Редакционная коллегия:

В.Л.Бианки, Н.И.Горшин, Б.В.Громов, А.К.Дондуа, З.А.Дукова (отв. секретарь), С.Г.Инге-Вечтомов, В.С.Ипатов (отв.редактор), Г.П.Короткова, Г.А.Новиков, Д.В.Осипов, Г.М.Персов, В.В.Полевой, Л.Н.Серавин, А.А.Хантулев.

Р е ц е н з е н т ы:

канд. биол. наук Н.Н.Давыдова, канд. биол. наук И.В.Макарова

Biological scientific research institute

Leningrad State University

№ 30

Edited doct. biol. sci. B.V.Gromov, cand. biol. sci. N.I.Strelnikova

Д 21006 - I29 119-80. 2004000000  
076(02)-81

(С) Издательство Ленинградского  
университета, 1981 г.

В.С.Шешукова-Порецкая,  
А.И.Моисеева, О.С.Короткевич

МИОЦЕНОВАЯ ПРЕСНОВОДНАЯ ДИАТОМОВАЯ ФЛОРА  
КОМПАССКОГО БОРА НА РЕКЕ ТЫМ (ЗАПАДНАЯ СИБИРЬ)

Изучение неогеновых диатомей имеет важное значение для понимания эволюции этой крупной группы водорослей, истории развития региональных флор и биостратиграфии. Неогеновая диатомовая флора Западной Сибири исследована далеко недостаточно. Местонахождения ее немногочисленны и большая часть их характеризуется лишь комплексами доминирующих форм, вопрос о возрасте которых остается до сих пор дискуссионным.

Первые исследования диатомовых водорослей из континентальных неогеновых отложений Западной Сибири относятся к концу 30-х годов. Полученные результаты были частично опубликованы [Ларищев, 1937; Васильев, 1946; Диатомовый анализ, 1949-1950]. Геологические работы, проводившиеся в 50-х и 60-х годах в Западно-Сибирской низменности, способствовали более интенсивному и систематическому изучению дочетвертичных пресноводных диатомей на данной территории. За этот период в печати появился ряд статей, касающихся использования комплексов этих водорослей в стратиграфии [Лузе, 1952б; Возженникова, 1960; Евсеев и Караев, 1960; Добруцкая, 1961; Кротов и Шибкова, 1961; Горбунов, 1967; Кадкина и др., 1967; Рубина, 1968] или содержащих описание отдельных представителей позднеолигоценовой и миоценовой диатомовой флоры [Черемисинова, 1955, 1956; Рубина, 1962, 1965, 1967].

Опубликованы предварительные результаты изучения неогеновых диатомей с р.Тым, описаны некоторые новые и редкие виды [Шешукова-Порецкая, Короткевич, 1962; Шешукова-Порецкая, Моисеева, 1964]. Найденная разнообразная в видовом отношении флора позволила предположить, что появление и развитие многих видов пресноводных диа-

тромей в Западной Сибири происходило в эпоху более раннюю, чем неоген, и что при систематическом применении диатомового анализа, вероятно, в недалеком будущем будет изучена палеогеновая флора континентальных водоемов. В настоящее время олигоценовая и раннемиоценовая флоры обнаружены в ряде пунктов Западной Сибири, они содержат ценные данные для сопоставления с тымской флорой.

Сводка и критический анализ всех материалов по пресноводным неогеновым диатомеям Западной Сибири, опубликованных до 1970 года, содержится в обзорной главе по пресноводным диатомовым водорослям неогена СССР в первом томе руководства "Диатомовые водоросли СССР. Ископаемые и современные" [1974]. В эту сводку не вошли работы Н.В.Рубиной [1969, 1970, 1973а, 1973б, 1973в] и Л.Г.Пирумовой [1970], на них следует остановиться более подробно.

Н.В.Рубина [1969, 1970, 1973а] изучала комплексы диатомей из континентальных олигоцен-нижнемиоценовых отложений некрасовской серии, широко распространенных в северо-восточных и центральных районах Западно-Сибирской низменности. Автором выделены и описаны три комплекса диатомей, характерных (соответственно снизу вверх по разрезу) для новомихайловской, тургасской и абродимовской свит. Обоснование возраста этих свит до сих пор недостаточно и противоречиво. Новомихайловский комплекс диатомей очень беден, представлен в небольшом количестве грубопанцирными видами *Melosira* и единичными видами *Coscinodiscus* и *Tetracyclus*. Комплекс тургасской свиты более богат и разнообразен, содержит 17 родов и около 70 видов и внутривидовых таксонов диатомей. Наиболее характерные среди них - круг форм *Melosira praegramulata* Jousé, *Coscinodiscus trapeziformis* Rub., *C. gorbunovii* Sheshuk., *C. lobatus* Rub. и др. В абродимовской свите остатки диатомей были обнаружены только в нижней части свиты, однако комплекс их по систематическому составу богаче тургасского. Помимо круга форм *Melosira praegramulata* и *Coscinodiscus gorbunovii*, продолжающих занимать господствующее положение, в нем появляются *Melosira atlymica* Rub., *M. ignota* Rub., *M. jouseana* Moiss., *Aulacodiscus variabilis* Impik., единично *M. scabrosa* Oestr., заметно увеличивается число видов из подкласса *Pennatophycidae*. На основании сравнительно-морфологического анализа всех трех комплексов и сопоставления их с дочетвертичными комплексами пресноводных диатомей других регионов СССР и зарубежных Н.В.Рубина высказала предположение об олигоценовом, вероятней всего позднеолигоценовом, возрасте тургасских диатомей,

и раннемиоценом – абросимовских. Комплекс диатомей с р. Тым [Шешукова-Порецкая, Короткевич, 1962], который привлекался в качестве сравнительного материала, Н.В.Рубина считает более молодым и предположительно датирует поздним миоценом. В двух статьях последних лет Н.В.Рубина [1973б, -1973в] дает краткое описание ряда характерных и вновь выделенных для некрасовской серии видов и внутривидовых таксонов из родов *Melosira* и *Eunotia*.

В работе Л.Г.Пирумовой [1970] дается краткая характеристика комплексов диатомей из отложений новомихайловской и туртасской свит в центральных районах Западной Сибири. Они близки описанным Н.В.Рубиной, но значительно бедней по систематическому составу и численности характерных видов. По-видимому в связи с этим их возраст датируется Л.Г.Пирумовой неогеном без дальнейшей детализации.

В связи с недостаточной изученностью неогеновых диатомей Западной Сибири важно описание полного систематического состава неогеновой диатомовой флоры из отдельных местонахождений, морфологических особенностей видов, их экологии и детального геологического распространения в пределах и вне СССР. Это способствовало бы выяснению палеогеографических условий и определению возраста диатомовых комплексов, отражающих разные этапы в истории развития диатомовой флоры Западной Сибири. К таким местонахождениям относится урочище Компасский Бор на р. Тым. Особенно интересны здесь является обнаружение Белый Яр, где третичные отложения, слагающие цоколь террас, содержат массу остатков высших растений и диатомей хорошей сохранности, а также редкие остатки энтомофауны и рыб. Несмотря на обилие палеоботанического материала и обстоятельное изучение флоры высших растений, мнения о ее возрасте разноречивы.

В настоящей работе изложены результаты изучения диатомей в серии образцов из этого обнажения, собранных М.Г.Горбуновым в те-

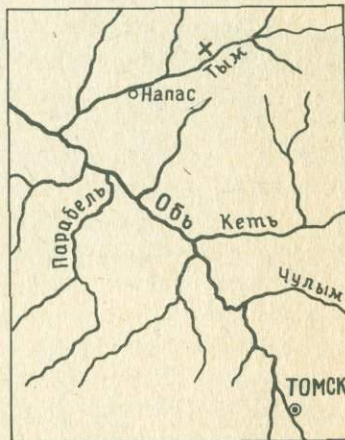


Рис.1. Местонахождение диатомовой флоры Компасский Бор на р. Тым (×) (По М.Г. Горбунову и С.Б.Щацкому [1954]).

чение ряда лет. Авторы приносят глубокую благодарность М.Г.Горбунову за предоставление ценного, тщательно собранного материала и неизменный интерес к нашим исследованиям.

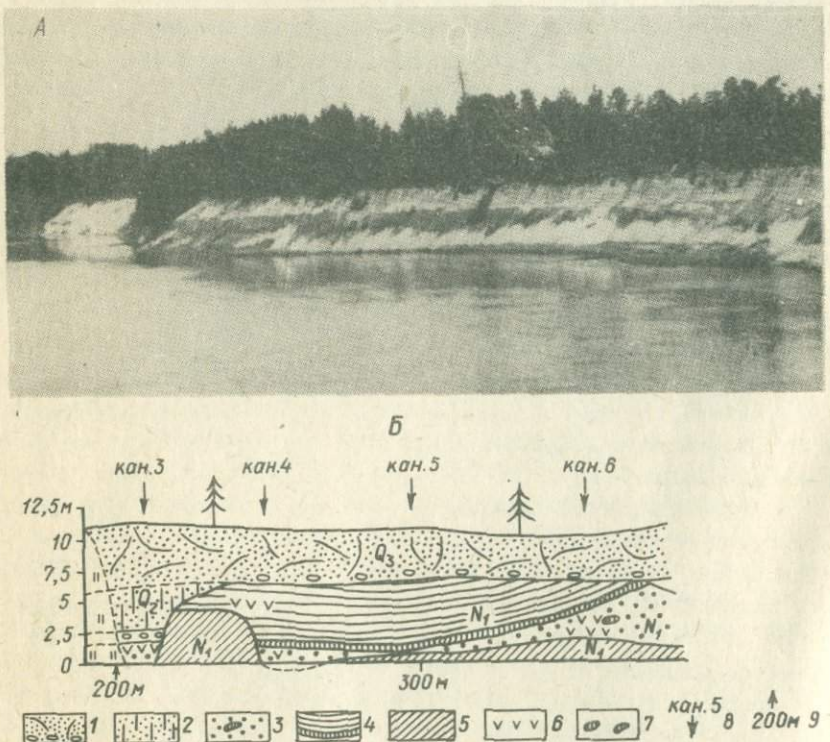


Рис.2. Обнажение Белый Яр на правом берегу р.Тым в уроцище Компасский Бор. Участок между 0-480 м от нижнего конца обнажения, фото М.Г.Горбунова [1975] (А) и геологический разрез участка (Б).

1 - террасовый песок ( $Q_3$ ); 2 - речной песок, замещающий болотную глину ( $Q_2$ ); 3 - песок с растительным дегритом и стволами древесины ( $N_1$ ); 4 - озерные глины с растениями ( $N_1$ ); 5 - глинистый конгломерат ( $N_1$ ); 6 - прослои растительного дегрита; 7 - окатыши глин; 8 - местонахождения каналов и их номера; 9 - пикет (по М.Г.Горбунову [1962а]).

Обнажение Белый Яр находится в среднем течении р.Тым на правом ее берегу в 75 км выше сел. Напас в уроцище Компасский Бор (рис.1 и 2, А). Здесь первое обильное сборы ископаемых растений и

геологические исследования были произведены в 1946 г. М.Г.Горбуновым [1947, 1951]. В 1952 г. в среднем течении р.Тым в результате бурения у юрт Пиль-Карамо был получен полный разрез третичных отложений. Детальное их изучение проводилось М.Г.Горбуновым, им собрана новая коллекция пород и ископаемых растений. Этот разрез частично описан [Горбунов, Шакий, 1954]. Составлен подробный геологический очерк урочища [Горбунов, 1962а]. Геологический разрез (рис.2,5) и основные сведения по стратиграфии и палеонтологии из этих работ приведены ниже.

1. Олигоценовые отложения залегают ниже уровня р.Тым и разделяются на две толщи: морские глины и довольно мощную толщу континентальных песков. Макро- и микрофауна не найдены. Глины имеют внешнее сходство с толщей морских глин, широко распространенных в Западной Сибири и датированных по геологическим и палеонтологическим данным поздним эоценом - ранним олигоценом.

Из скважины № 1 в урочище Компасский Бор В.В.Зауер было исследовано 6 образцов глин; состав пыльцевого спектра близок к миоценовым флорам Западно-Сибирской низменности [Горбунов, 1962а]. В одном из 4 исследованных образцов этих глин, в интервале 71-90 м, В.С.Шешуковой-Порецкой были найдены остатки морских водорослей. Определены диатомей: *Melosira sulcata* var. *biseriata* Grun., var. *crenulata* Grun. et var. *siberica* Grun., *Ryxilla gracilis* Temp. et Forti, *Grunowia gemmata* (Grun.) V.H., силикофлагеллаты: *Diatyocha fibula* Khr., *D. navicula* var. *biapiculata* Lemm. и эбрииды *Ebria antiqua* Schulz. Этот комплекс был датирован поздним эоценом - ранним олигоценом, была отмечена малочисленность и плохая сохранность панцирей и возможность их переотложения.

В толще песков, супесей и алевролитов, залегающих ниже морских глин, в интервале 91,5-243 м глуб., найдены лишь единичные переотложенные обломки створок морских диатомей из подкласса *Sentrophycidae*. Возраст толщи континентальных песков, покрывающих морские глины, не мог быть точно определен из-за отсутствия палеонтологических данных; по стратиграфическому положению пески были датированы в широких пределах - от среднего по позднего олигоцена включительно [Горбунов, 1962а, 1977].

2. Миоценовые отложения. а) Слой глинистого конгломерата. Он имеет важное стратиграфическое значение, так как, по мнению М.Г.Горбунова, является базальным гачечником миоценовой толщи и указывает на глубокий разрыв третич-

ных отложений к началу накопления миоценовых осадков с растениями. Толща конгломерата состоит из оглаженных глыб песчанистой глины коричневатого или зеленоватого цвета, среди которых встречаются большие обломки лигнитизированной древесины, куски и глыбы листоватого бурого угля и, изредка, линзы растительного дегрита. Наличие в них многочисленных глыб бурого угля, иногда крупных, и обломков лигнитизированной древесины указывает на то, что перед началом формирования слоев с флорой Компассского Бора происходил сильный разрыв третичных отложений, связанный с тектоническими явлениями; в результате разрыва была уничтожена угленосная толща, существовавшая в этом районе до начала миоцена [Горбунов, 1962а].

Обильная семенная флора из глинистого конгломерата изучена В.П.Никитиным. Автор делает вывод об умеренно теплолюбивой растительности лесного типа (хвойные и листопадные деревья) с хорошо развитым травянистым покровом и считает, что материал для формирования конгломерата получен в результате разрыва угленосной толщи новомихайловского горизонта. Так же обильна и близка по составу (даже с более молодыми элементами) семенная флора песков из предполагаемой подконгломератовой толщи, на основании чего высказано предположение, что пески не подстилают глинистый конгломерат, а лежат внутри него в виде линз. Возрастной интервал, разделяющий время формирования угленосных отложений новомихайловского горизонта и вышележащих песков с линзой озерных глин, был очень длительным [Никитин, 1967].

б) Толща песков с растительным дегритом. В них много остатков растений, в том числе многочисленных обломков стволов лигнитизированной древесины, а также мелкого растительного дегрита, рассеянного в виде мелкой крошки или образующего прослои и линзы до 1 м мощности, много остатков плодов и семян, встречаются шипки хвойных растений.

В толще этих песков, на протяжении 160 м между пикетами 215 и 375 м<sup>1)</sup>, в обнажении Белый Яр выступает линза озерных глин с многочисленными отпечатками листьев, остатками плодов и семян, пыльцы, диатомей и пр. Эти глины не являются самостоятельными стратиграфическим горизонтом. В основании озерных глин залегает слой плотной песчанистой неслоистой (в сухом состоянии) светло-серой

<sup>1)</sup> Пикетом названо расстояние в метрах от нижнего (по течению р. Тын) конца обнажения Белый Яр [Горбунов, 1962а].

глины мощностью до 0,56 м, которая в виде своеобразной "плиты" прослеживается вдоль всей линии; в ней изредка встречаются отпечатки немногих растений. На этой "плите" лежит толща собственно озерных глин мощностью до 5,7 м, которые по цвету, структуре и распределению отпечатков листьев М.Г.Горбунов [1962а] делит на три пачки. Нижняя пачка, мощностью 2 м, представлена плотной однородной темно-серой глиной, содержащей наибольшее количество отпечатков листьев, особенно в нижней ее половине; средняя пачка, мощностью 1,9 м, - плотной, слабопесчанистой темно-серой глиной с редкими отпечатками листьев; верхняя пачка, мощностью 1,8 м, - коричневатой глиной, почти не содержащей листьев. М.Г.Горбуновым собрана (преимущественно из нижней части глин) коллекция около 1800 штуков с остатками листьев (сохранность отпечатков исключительно хорошая), много образцов растительного дегрита с остатками семян и плодов высших растений. В глинах изредка встречаются плохо сохранившиеся отпечатки рыб, остатки насекомых [Беккер-Мигдисова, 1954; Чернова, 1962].

Отпечатки листьев изучались М.Г.Горбуновым [1947, 1951, 1956, 1958, 1962а, 1962б, 1962в, 1970, 1977; Никитин, Горбунов, 1962; Биостратиграфия мезоэозойских и третичных отложений Западной Сибири, 1962], плоды и семена - В.П.Никитиным [Никитин, Горбунов, 1962; Никитин, 1967; Горбунов, 1947 и др.] и П.И.Дорофеевым [1962а, 1962б, 1963], пыльца и споры - В.В.Зауэр [1956а], диатомеи - В.С.Шешуковой-Порецкой, О.С.Короткевич [1962, предварительные данные].

Комплекс растений, представленных отпечатками листьев, остатками семян, плодов, шишек, пыльцы, древесины, диатомовых водорослей из линий озерных глин и толщи песков, выступающих в основании двух обнажений, М.Г.Горбунов [1962а, с.44] объединяет общим наименованием "флора Компасский Бор" и датирует ее ранним миоценом. Эта датировка таффлоры подтверждена автором и в более поздней работе [Горбунов, 1978]. Он считает, что глина образовалась в небольшом озере (типа речной старицы), существовавшем в долине большой реки, отложившей толщу низележащих песков. По палинологическим данным, возраст глин - миоценовый [Зауэр, 1956а, 1956б; см. также Горбунов, 1962а].

На основании палеокарнологических исследований флора Компасского Бора датируется П.И.Дорофеевым [1962а, 1962б] олигоценом, а В.П.Никитиным [Никитин, Горбунов, 1962] - позднеаквитанским вре-

менем (самый конец олигоцена), но допускается и раннемиоценовый ее возраст. По данным В.П. Никитина [1967], слои с флорой Компасского Бора лежат стратиграфически выше новомихайловского угленосного горизонта. Палеомагнитное изучение образцов из обнажения Белый Яр указывает на близкий к плиоцену возраст глин с остатками флоры; во время образования флоры Компасского Бора этот пункт находился под палеоширотой  $42^{\circ}$  сев. шир. (современное положение  $60^{\circ}$  сев. шир.) [Горбунов, Постолова, 1966]. Более южное положение и иной климат в этом районе в период формирования флоры Компасского Бора обусловили более теплолюбивый ее характер по сравнению с современной [Горбунов, 1970].

Диатомовые водоросли изучались нами в 68 образцах осадочных пород из коллекций М.Г. Горбунова 1946, 1952 и 1964 гг. Техническая обработка образцов сделана горячим кислотным методом с обогащением тяжелой жидкостью. Микрофотографии выполнены Т.К. Даковщиковой, В.Н. Никулиной и Б.Т. Шапковым, рисунки - В.С. Дроzdовой и А.Г. Яцковой. Образцы были взяты на разных пикетах и из разных канав (см. рис. 2).

### I. Линза озерных глин

#### A. Собственно озерная глина.

Коллекция 1946 г. Пикет 295, канава 5: обр. 1, 2, 26, 27; пикет 250: обр. 6; палеоботаническая коллекция: обр. I, II<sup>2)</sup>.

Коллекция 1952 г. Пикет 295, канава 5: обр. 79, 81-101; пикет 355, канава 6: обр. 22-30; палеоботаническая коллекция: обр. III, IV. Палеоботаническая коллекция 1964 г. обр. I, II.

#### B. Слой светло-серой алевритистой глины ("плита") из основания озерных глин.

Коллекция 1946 г. Пикет 285: обр. 4.

Коллекция 1952 г. Пикет 295, канава 5: обр. 77, 78.

<sup>2)</sup> Большие образцы из основания линзы озерных глин - № I-VI палеоботанической коллекции М.Г. Горбунова (Томский университет), без точной привязки к пикетам, были использованы для выявления более полного систематического состава диатомей, их описания и микрофотографирования.

## II. Толща песков с растительным дэтритом

Коллекция 1952 г. Пикет 295, канава 5: обр.76; пикет 355, канава 6: обр.19,20.

Коллекция 1964 г. Пикет 300, канава 16: обр.104 - песок, лежащий между озерной глиной и слоем конгломерата.

## III. Слой глинистого конгломерата

А. Глина, цементирующая сверху "гальки" глины и глыбы угля.

Коллекция 1946 г. Пикет 285: обр.5.

Коллекция 1952 г. Пикет 295, канава 5: обр.75.

Коллекция 1964 г. Пикет 300, канава 16: обр.105; пикет 302: обр.112.

Б. Слой глинистого конгломерата, состоящего из песка и мелких окатышей (галек) глины.

Коллекция 1952 г. Пикет 295, канава 5: обр.73,74.

В. Образцы глины, алеврита и бурого угля из галек, слагающих слой глинистого конгломерата.

Коллекция 1946 г. Пикет 310: обр.3.

Коллекция 1964 г. Пикет 304: обр.108; пикет 365: обр.109; пикет 410: обр.110; пикет 310: обр.111.

## IV. Толща континентальных песков (подконгломератовая толща)<sup>3)</sup>

Коллекция 1964 г. Пикет 363: обр.103; пикет 300, канава 16: обр.107.

Наиболее полный разрез был взят на пикете 295, откуда в канав-

<sup>3)</sup> В 1964 году самая верхняя часть этой толщи, отнесенная к верхам верхнего олигоцена [Горбунов, 1970], в обнажении Белый Яр в районе выхода озерных глин выступила над уровнем реки до высоты 1-2 м.

всех 5 отобрано через 25 см 32 образца<sup>4)</sup> из всех слоев, за исключением подконгломератовой толщи. Этот разрез проходит через центральную часть линзы озерной глины, имеющей здесь мощность более 6 м (включая полуметровый слой "плиты"); наибольшее количество образцов (28) было получено из этой толщи. Основная масса диатомей обнаружения Белый Яр была найдена в этом разрезе - в собственно озерных глинах, причем они несколько обильнее и разнообразнее (до 70 форм в пробе) в нижней пачке. В трех образцах "плиты", взятых на этом и соседнем пикете 285, диатомей было мало - до 10 форм в пробе, почти все они единичны и принадлежат к тем же видам, что и в собственно озерной глине.

Другой разрез - на пикете 355 проходит прикраевую часть линзы озерной глины, где мощность ее вместе с "плитой" всего 2,26 м. Мощность песков, включающих линзу, равна здесь 2,25 м; конгломерат выступает над уровнем р. Тым почти на 1,5 м. На этом пикете из канавы 6 было взято 12 образцов, из них 9 образцов собственно озерной глины были отобраны через 25 см. Диатомей принадлежат к тем же видам, что и на пикете 295, но они менее разнообразны и численность их (особенно планктонных форм) ниже.

В большинстве образцов третичных пород, вмещающих линзу озерных глин и залегающих ниже ее, диатомей отсутствуют, а в тех образцах, где они найдены, их очень мало, и они относятся к тем же пресноводным видам, которые обильны в линзе. В немногих образцах тех же пород встречаются переотложенные обломки створок морских диатомей из подкласса *Centrophycidae*.

В слое глинистого конгломерата довольно разнообразные диатомеи обнаружены в одном из четырех образцов цементирующей глины на пикете 295. Из 23 определенных здесь форм только *Melosira italica* var. *semilaevis* встречается здесь часто, *M. granulata* var. *angustissima* и *Fragilaria araulensis* - нередко; эти три вида в линзе озерных глин - массовые. Остальные 20 форм единичны, среди них характерные для озерных глин *Melosira aculeifera*, *M. distans* var. *scalaris*, *Coscinodiscus gorbunovii*, *Tetracyclus ellipticus*, *Fragilaria capitellata* и др. В двух образцах песков, слагающих вместе с окатышами глину основную толщу глинистого конгломерата, найдены единичные створки шести форм из тех же видов, что

4) Отбор образцов производился снизу вверх по разрезу.

и в цементирующей глине. В нескольких исследованных образцах галек - глыб глины, алеврита и бурого угля из толщи конгломерата, диатомей не обнаружены, за исключением одного неопределимого обломка створки пресноводного вида.

В песках подконгломератовой толщи найдены единичные створки широко распространенных пресноводных типовых форм *Melosira granulata* и *M. italica*.

Основная масса диатомей, обнаруженных в исследованных материалах, приурочена к линею озерных глин, где диатомей и обильны и разнообразны в видовом отношении. Кроме диатомей встречаются в большом количестве цисты хризомонад и фитолитарии - изолированное кремнеzemное тельце из эпидермиса высших растений.

Всего определено 147 видов, разновидностей и форм диатомей, систематический список которых с указанием высшей оценки обилия по шестибалльной шкале [Диатомовые водоросли СССР, т. I, 1974, с. 74] и геологического распространения (наиболее детально в неогеновых отложениях) в пределах и вне СССР, помещен в табл. 1 и 2.

К подклассу *Centrophyycidae* относится всего 17 форм диатомей - все из порядка *Coscinodiscales*; большинство их (13 форм) принадлежит роду *Melosira*, род *Coscinodiscus* представлен двумя видами, каждый из родов *Cyclotella* и *Stephanodiscus* - одним видом.

Разнообразны представители подкласса *Pennatophycidae* - 132 формы (включая *Genus sp.*). К порядку *Araphales* относится 19 форм из пяти родов: *Fragilaria*, *Synedra*, *Tetracyclus*, *Meridion*, *Diatoma*, но лишь первые три рода отличаются некоторым качественным разнообразием (по 5-6 форм). Из порядка *Raphidiales* найдено 28 форм, почти все они относятся к роду *Eunotia* (26 форм), а каждый из редких родов *Actinella* и *Desmogonium* представлен одним видом. Порядок *Monoraphiales* почти не играет никакой роли в составе этой флоры - обнаружено всего 3 формы из одного рода *Achanthes*. Наибольшее разнообразие наблюдается в порядке *Diraphiales* - 79 форм: из родов *Frustulia* (2 формы), *Navicula* (17), *Stauroneis* (6), *Pinnularia* (31), *Neidium* (4), *Gomphonema* (14), *Cymbella* (5 форм). На последнем месте в нашей флоре стоит порядок *Aulonoraphiales*, занимающий в системе диатомей наиболее высокое положение; найдено по одному виду из родов *Nitzschia* и *Campylodiscus*. Систематическое положение *Genus sp.* неясно.

Все найденные виды являются обитателями пресных вод. К ним

Таблица 1

Сводный систематический список диатомей из обнажения Бе и их географическое и геологиче

## Наимения видов

		Оценка обилия									
		Олигоцен					Не				
		сред.-верхн.	верхн.	нера-	нен-	нен-	мио-	нера-	нен-	нен-	верхн.
1											
2	6	Западная Сибирь (новомонгольская св.) [Горбунов, 1967]									
3	3	Западная Сибирь (тургасская св.) [Рубина, 1969, 1970]									
4	4	Западная Сибирь [Лиурумова, 1970]									
5	5	Прибайкалье [Уравлева, 1936]									
6	6	Европейская часть СССР [Горецкий, 1964; Макарова, Коиненко, 1966]									
7	7	Западная Сибирь [Лигатан, 1949-1950; Волченникова, 1960; Черемисина, 1956; Кротов, Шубкова, 1961]									
8	8	Приобийкалье [Черемисина, 1968, 1971, 1973]									
9	9	Забайкалье [Ендрюхинский, Черемисина, 1970]									
10	10	Магаданская обл. [Головенина, 1964]									
11	11										

ний Яр в урочище Компасский Бор на р. Тым (Западная Сибирь) ское распространение в пределах СССР

о г е н											
ц е н											
П л и о ц е н											
12	13	Западная Сибирь [Горбунов, Шацикий, 1954; Рубина, 1969]									
13	14	Приморье [Моисеева, 1967, 1971]									
14	15	Закарпатская обл. (торонтонский ярус) [Оксюк, 1960; Макаренко, 1966]									
15	16	Прибрежная часть СССР [Макарова, Коиненко, 1966; Логинова, 1978]									
16	17	Приморье [Лузе, 1952а; Моисеева, 1966, 1967, 1971]									
17	18	Камчатка и Сахалин [Шешукова-Лорецкая, 1967]									
18	19	Европейская часть ССР [Макарова, Коиненко 1966; Хуревич, 1977, 1978]									
19	20	Прибайкалье [Черемисина, 1968, 1971, 1973]									
20	21	Приморье [Лузе, 1952а; Моисеева, 1968, 1971]									
21	22	Камчатка [Половинина, 1964; Лупкина, 1968]									
22	23	Остров Итуруп [Ноярено, Шелухова-Лорецкая, 1967]									
23	24	Армения [Милановский, 1952]									
24	25	Западная Сибирь [Волченникова, 1960]									
25	26	Приморье [Моисеева, 1966, 1967]									
26	27	Камчатка [Лупкина, 1965]									
27	28	Европейская часть ССР [Купцова, Парамонова ( коллекция ); Горецкий, 1964]									
28	29	Приморье [Моисеева, 1966, 1967]									
29	30	Восточная Камчатка [Шелухова-Лорецкая, 1967]									
30	31	Туркмения [Ушакова, Ушко, 1971]									
31	32	Грузия [Лорецкий, 1953]									

Четвертичные отложения СССР (по литературным данным)

+

Продолжение табл. 1

1	2	3	4	5	6	7	8	9	10	11
<i>M. granulata</i> (Ehr.) Ralfs var. <i>granulata</i>	1					+	+			
<i>M. granulata</i> var. <i>angustissima</i> (O. Mill.) Hust.	6									
<i>M. islandica</i> f. <i>curvata</i> O. Mill.	1			+	+	+				
<i>M. italicica</i> (Ehr.) Kütz. var. <i>italicica</i>	6	+	+	+	+	+				
<i>M. italicica</i> var. <i>semilaevigata</i> Grun.	6						+	+		
<i>M. italicica</i> var. <i>temnissima</i> (Grun.) O. Mill.	2									
<i>M. praegranulata</i> Jousé var. <i>praegranulata</i>	2	+	+		+	+	+	+	+	
<i>M. scabrosa</i> Oestr.	1			+			+	+	+	
<i>M. undulata</i> (Ehr.) Kütz. var. <i>undulata</i>	2					+	+	+		
<i>M. undulata</i> var. <i>normanniae</i> Arn.	1				+					
<i>M. undulata</i> var. <i>samoensis</i> Grun.	4									
<i>Cyclotella comta</i> (Ehr.) Kütz. var. <i>comta</i>	1									
<i>Stephanodiscus</i> sp.	1									
<i>Coscinodiscus gorbunovii</i> Sheshuk. var. <i>gorbunovii</i>	6	+			+	+				
<i>C. mioceneicus</i> Krasske	5									
<i>Fragilaria araulensis</i> Hérib.	6									
<i>F. capitellata</i> Lauby	5									
<i>F. lapponica</i> Grun. var. <i>lapponica</i>	1					+				
<i>F. nitida</i> Hérib.	2									
<i>F. sp.</i>	1									
<i>Synedra acus</i> Kütz.	1									
<i>S. bella</i> Sheshuk. sp. nova	2									
<i>S. goulardii</i> var. <i>teletzkensis</i> Poretzky	1									
<i>S. rumpens</i> var. <i>meneghiniana</i> Grun.	1									
<i>S. ulna</i> (Nitzsch) Ehr. var. <i>ulna</i>	1				+	+				
<i>Meridion circulare</i> var. <i>constrictum</i> (Ralfs) V.H.	1									
<i>Diatoma hiemale</i> (Lyngb.) Hérib. var. <i>hiemale</i>	1									
<i>D. vulgare</i> var. <i>ehrenbergii</i> (Kütz.) Grun.	1									

12	13	14	15	16	17	18	19	20	21	22	23	24	25	26	27	28	29	30	31	32
			+	+		+			+						+				+	
			+	+		+			+										+	
			+	+		+			+										+	
			+	+		+			+										+	
			+	+		+			+										+	
			+	+		+			+										+	
			+	+		+			+										+	
			+	+		+			+										+	
			+	+		+			+										+	
			+	+		+			+										+	
			+	+		+			+										+	
			+	+		+			+										+	
			+	+		+			+										+	
			+	+		+			+										+	
			+	+		+			+										+	
			+	+		+			+										+	
			+	+		+			+										+	
			+	+		+			+										+	
			+	+		+			+										+	
			+	+		+			+										+	
			+	+		+			+										+	
			+	+		+			+										+	
			+	+		+			+										+	

П р о д о л ж е н и е т а б л . 1

1	2	3	4	5	6	7	8	9	10	11
<i>Tabellaria fenestrata</i> (Lyngb.) Kütz.	5						+	+	+	
<i>T.flocculosa</i> (Roth) Kütz.	5						+	+		
<i>Tetracyclus ellipticus</i> (Ehr.) Grun. var. <i>ellipticus</i>	6	+	+	+		+	+	+	+	
<i>T.lacustris</i> Ralfs var. <i>lacustris</i>	2	+	+	+		+	+	+		
<i>T.lacustris</i> var. <i>elongatus</i> Hust.	6		+		+	+	+			
<i>Eunotia arcus</i> Ehr. var. <i>arcus</i>	2									
<i>E.arcus</i> var. <i>fallax</i> Grun.	1									
<i>E.aff. bigibba</i> Kütz.	2									
<i>E.faba</i> (Ehr.) Grun. var. <i>faba</i>	2					+				
<i>E.faba</i> var. <i>intermedia</i> (Krasske) A.Gl.	3	+								
<i>E.fallax</i> var. <i>gracillima</i> Krasske	1									
<i>E.flexuosa</i> (Bréb.) Kütz.	1									
<i>E.formica</i> var. <i>minor</i> Okuno	3									
<i>E.gracilis</i> (Ehr.) Rabenh.	1									
<i>E.lunaris</i> (Ehr.) Grun.	1				+					
<i>E.monodon</i> Ehr. var. <i>monodon</i>	1				+					
<i>E.monodon</i> var. <i>bidens</i> (Greg.) W.Sm.	3									
<i>E.muelleri</i> Hust.	1									
<i>E.nodulosa</i> Meist.	4									
<i>E.parallela</i> Ehr.	1									
<i>E.polyglypoides</i> Sheshuk.	3				+					
<i>E.praerupta</i> Ehr. var. <i>praerupta</i>	1	+	+			+				
<i>E.praerupta</i> var. <i>bidens</i> (W.Sm.) Grun.	1					+				
<i>E.praerupta</i> var. <i>inflata</i> Grun.	1				+					
<i>E.robusta</i> var. <i>tetraodon</i> (Ehr.) Ralfs	1				+					
<i>E.sudetica</i> O.Müll.	1			+						
<i>E.tauntoniensis</i> (Grun.) Hust.	2									
<i>E.tenella</i> (Grun.) Hust.	1									
<i>E.valida</i> Hust.	2									
<i>E.veneris</i> (Kütz.) O.Müll. var. <i>veneris</i>	1			+						
<i>E.veneris</i> var. <i>nipponica</i> Skv.	2				+	+				

12	13	14	15	16	17	18	19	20	21	22	23	24	25	26	27	28	29	30	31	32
		+	+			+		+				+							+	
			+			+													+	
				+															?	
					+														+	
						+													+	
							+												+	
								+											+	
									+										+	
										+									+	
											+								+	
												+							+	
													+						+	
														+					+	
															+				+	
																+			+	
																	+		+	
																		+		

1	2	3	4	5	6	7	8	9	10	11
<i>Desmogonium guianense</i> Ehr.	2						+	+		
<i>Actinella brasiliensis</i> var. <i>cuneata</i> Moiss.	2									
<i>Achnanthes hungarica</i> Grun.?	1									
<i>A.lanceolata</i> var. <i>dubia</i> Grun.	1									
<i>A.lanceolata</i> var. <i>elliptica</i> Cl.	1				+		+			
<i>Frustulia rhomboides</i> (Ehr.) D.T. var. <i>rhomboides</i>	1									
<i>F.rhomboides</i> var. <i>saxonica</i> (Rabenh.) D.T.	2					+				
<i>N.accomoda</i> Hust.?	1									
<i>N.americana</i> Ehr.	2					+				
<i>N.amphibola</i> Cl.	1					+	+			
<i>N.clementis</i> Grun.	1									
<i>N.aff. cocconeiformis</i> Greg.	1									
<i>N.confervacea</i> Grun.	3									
<i>N.cryptocephala</i> Kütz. var. <i>crypto-</i> <i>cephala</i>	1									
<i>N.gastrum</i> Ehr. var. <i>gastrum</i>	1			+		+	+			
<i>N.gastrum</i> var. <i>signata</i> Hust.	1			+						
<i>N.lagerstedtii</i> var. <i>palustris</i> Hust.	1									
<i>N.mutica</i> Kütz. var. <i>mutica</i>	1				+					
<i>N.oblonga</i> Kütz.	1				+					
<i>N.placentula</i> (Ehr.) Grun. f. <i>placen-</i> <i>tula</i>	1				+					
<i>N.placentula</i> f. <i>rostrata</i> A.Mayer	1			+	+					
<i>N.pupula</i> Kütz. f. <i>pupula</i>	1				+					
<i>N.radiosa</i> Kütz.	1									
<i>N.wittrockii</i> (Lagerst.) A.Cl.	1									
<i>Stauroneis anceps</i> f. <i>gracilis</i> Rabenh.	2				+					
<i>S.kriegeri</i> Patrick	1									
<i>S.nobilis</i> var. <i>baconiana</i> (Stodd.) Reim.	3									
<i>S.phoenicenteron</i> (Nitzsch) Ehr. f. <i>phoenicenteron</i>	1				+					
<i>S.phoenicenteron</i> f. <i>lanceolata</i> (Kütz.) Brun	2							+	+	
<i>S.smithii</i> Grun. var. <i>smithii</i>	1				+					

20

## Продолжение табл. 1

12	13	14	15	16	17	18	19	20	21	22	23	24	25	26	27	28	29	30	31	32
						+														+
						+		+			+		+		+					+
							+													+
								+												+
									+											+
										+										+
											+									+
												+								+
													+							+
														+						+
															+					+
																+				+
																	+			+
																		+		+
																				+

21

1	2	3	4	5	6	7	8	9	10	11
<i>Pinularia acrosphaeria</i> Bréb. var. <i>acrosphaeria</i>	1									
<i>P.acrosphaeria</i> var. <i>badeana</i> Hérib. et Perag.	2									
<i>P.acrosphaeria</i> var. <i>fossilis</i> Lauby	4									
<i>P.braunii</i> var. <i>amphicephala</i> (A.Mayer) Hust.	1									
<i>P.brebissonii</i> (Kütz.) Rabenh. var. <i>brebissonii</i>	2									
<i>P.brebissonii</i> var. <i>linearis</i> O.Mill.	1									
<i>P.brevicostata</i> Cl.	1									
<i>P.cardinales</i> (Ehr.) W.Sm.	1									
<i>P.distinguenda</i> Cl.?	2									
<i>P.gibba</i> (Ehr.) W.Sm. var. <i>gibba</i> <i>f. gibba</i>	4									
<i>P.gibba</i> var. <i>gibba f. subundulata</i> A.Mayer	1									
<i>P.gibba</i> var. <i>linearis</i> Hust.	1									
<i>P.hemiptera</i> (Kütz.) Cl.	1									
<i>P.imperfecta</i> A.Cl.	1									
<i>P.intermedia</i> (Lagerst.) Cl.	1									
<i>P.interrupta</i> f. <i>minor</i> Boye P.	1									
<i>P.major</i> (Kütz.) Cl.	1									
<i>P.mesolepta</i> var. <i>angusta</i> Cl.	1									
<i>P.mesolepta</i> var. <i>stauroneiformis</i> (Grun.) Cl.	1									
<i>P.microstauron</i> (Ehr.) Cl. var. <i>microstauron</i>	1									
<i>P.nobilis</i> var. <i>fossilis</i> (Pant.) Cl.	1									
<i>P.obscura</i> Krasske	2									
<i>P.subcapitata</i> Greg. var. <i>subcapitata</i>	1									
<i>P.viridis</i> (Nitzsch) Ehr. var. <i>viridis</i>	1									
<i>P.viridis</i> var. <i>fallax</i> Cl.	1									
<i>P.viridis</i> var. <i>intermedia</i> Cl.	1									
<i>P.viridis</i> var. <i>sudetica</i> (Hilse) Hust.	1									
<i>P.sp.1</i>	1									

Продолжение табл. 1

12	13	14	15	16	17	18	19	20	21	22	23	24	25	26	27	28	29	30	31	32
																				+
																				+
																				+
																				+
																				+
																				+
																				+
																				+
																				+
																				+
																				+
																				+
																				+
																				+

## Продолжение табл.

1	2	3	4	5	6	7	8	9	10	11
<i>P. sp.</i> 2	1									
<i>Neidium affine</i> (Ehr.) Cl. var. <i>affine</i>	1									
<i>N. affine</i> var. <i>amphirhynchus</i>										
(Ehr.) Cl.	1									
<i>N. affine</i> var. <i>minus</i> Cl.	1									
<i>N. iridis</i> (Ehr.) Cl. var. <i>iridis</i>	1									
<i>Caloneis</i> sp.	1									
<i>Gomphonema</i> aff. <i>acuminatum</i> Ehr.	1									
<i>G. angustatum</i> (Kütz.) Rabenh. var. <i>angustatum</i>	4				+					
<i>G. angustatum</i> var. <i>productum</i> Grun.	1									
<i>G. gracile</i> Ehr. var. <i>gracile</i>	1									
<i>G. gracile</i> var. <i>auritum</i> (A.Br.) Cl.	1									
<i>G. gracile</i> var. <i>lanceolatum</i> Kütz.	1									
<i>G. grovei</i> M.Schmidt	1									
<i>G. intricatum</i> var. <i>dichotomum</i> (Kütz.) Grun.	1									
<i>G. intricatum</i> var. <i>pumilum</i> Grun.	1				+					
<i>G. lingulatum</i> Hust.	1				+					
<i>G. multipunctatum</i> Sheshuk. sp. nova	1									
<i>G. parvulum</i> (Kütz.) Grun. var. <i>parvulum</i>	1									
<i>G. parvulum</i> var. <i>micropus</i> (Kütz.) Cl.	1									
<i>G. sibiricum</i> Skv.	1									
<i>Cymbella americana</i> A.S.	1									
<i>C. aspera</i> (Ehr.) Cl.	3					+				
<i>C. cistula</i> var. <i>maculata</i> (Kütz.) V.H.	1									
<i>C. cuspidata</i> Kütz.	1									
<i>C. ventricosa</i> Kütz.	1					++				
<i>Nitzschia tryblionella</i> var. <i>victoriae</i> Grun.	1									
<i>Campyloidiscus</i> sp.	1									
<i>Genus</i> sp.	1									
Phytolitharia										
<i>Lithomesites clepsammidium</i> (Ehr.) Defl.	4									
Число форм, общих с Тынчской флорой	2	6	-	17	6	5	47	17	5	

12	13	14	15	16	17	18	19	20	21	22	23	24	25	26	27	28	29	30	31	32
																				+
																				+
																				+
																				+
																				+
																				+
																				+
																				+
																				+
																				+
																				+
																				+
																				+
																				+
																				+
																				+
																				+
																				+
																				+
																				+
																				+
9	7	43	11	12	-	35	-	-	12	20	5	-	31	-	9	21	-	1	-	121

Сводный систематический список диатомей из обнаружения Бе  
и их географическое и геологиче

Название вида	Н е м и о																
	н е р а с - ч л е н е н - и й	н е р а с ч л е - н е н н и й	н и з - ни й	н и н . - средн .													
1	2	3 4	5	6	7	8	9	10	11	12	13	14	15	16			
Bacillariophyta																	
<i>Melosira aculeifera</i>	+	+															
<i>M.distans</i> var. <i>scalaris</i>																	
<i>M.granulata</i> var. <i>granulata</i>																	
<i>M.granulata</i> var. <i>angustissima</i>																	
<i>M.islandica</i> f.curvata																	
<i>M.italica</i> var. <i>italica</i>																	

Т а б л и ц а 2

лний Яр в урочище Компасский Бор на р. Тым (Западная Сибирь)  
ское распространение вне СССР

о г е н ц е н	П ли о ц е н					
	сред- ни й	средн .- в е р х .	в е р х н и й	н е р а с ч л е - н е н н и й	н и з - ни й	в е р х н и й
17 Венгрия и Чехословакия [Nájós, 1959, 1968; Nájós, Pálffalvy, 1963]						
18 Румыния [Krestet, 1960]						
19 Венгрия [Pantocsek, 1903-1905]						
20 Чехословакия [Rehákova, 1969]						
21 Франция [Lauhy, 1910; Peragallo, 1920]						
22 ФРГ [Kraaske, 1934]						
23 Венгрия и Чехословакия [Grunow, 1882; Pantoc- sek, 1903-1905; Palik, 1959; Nájós, Radocs, 1971; Nájós, 1971, 1973]						
24 США [Andrews, 1970]						
25 Чехословакия [Rehákova, 1965, 1969]						
26 Венгрия и Чехословакия [Pantocsek, 1903-1905; Nájós, 1971]						
27 Болгария. Воденичаров, Черчиш-Каханян, Драганов, Ковачева, 1973						
28 Япония [Okuno, 1952]						
29 США [Natta, 1932]						
30 Чехословакия [Rehákova, 1969]						
31 Франция [Lauhy, 1910]						
32 Франция [Lauhy, 1910]						
33 ФРГ [Kraaske, 1932a, 1934]						
34 Чехословакия [Rehákova, 1969]						
35 Япония [Okuno, 1952]						
36 Аргентина [Frangelle, 1934]						
37 Япония [Okuno, 1952]						

Плиоцен-  
плейстоцен

Продолжение табл. 2

	2	3	4	5	6	7	8	9	10	11	12	13	14	15	16
<i>M.italica</i> var. <i>semilaevis</i>		+									+				
<i>M.italica</i> var. <i>temissa ima</i>															
<i>M.praegramulata</i> var. <i>praegramulata</i>	+		+	+	++										+
<i>M.scabrosa</i>			+					+							
<i>M.undulata</i> var. <i>undulata</i>	+	+					+	+	+						+
<i>M.undulata</i> var. <i>normannii</i>															
<i>M.undulata</i> var. <i>samoensis</i>	+					+	+	+	+			+			
<i>Cyclotella comta</i> var. <i>comta</i>											+				
<i>Stephanodiscus</i> sp.									?						
<i>Coscinodiscus gorbunovii</i> var. <i>gorbunovii</i>			++	+											
<i>C.mioceneus</i>			+?	+	+										
<i>Fragilaria araulensis</i>				+				+	+	+	+				
<i>F.capitellata</i>	+	+					+								
<i>F.lapponica</i> var. <i>lapponica</i>					+		+								
<i>F.nitida</i>															
<i>F.sp.</i>															
<i>Synedra acus</i>															
<i>S.bella</i> sp. <i>nova</i>															
<i>S.gouillardii</i> var. <i>teletzkensis</i>															
<i>S.rumpens</i> var. <i>meneghiniana</i>															
<i>S.ulna</i> var. <i>ulna</i>	+	+	+		+	+									+
<i>Meridion circulare</i> var. <i>constrictum</i>									+						
<i>Diatoma hiemale</i> var. <i>hiemale</i>															
<i>D.vulgare</i> var. <i>shrenbergii</i>										+					
<i>Tabellaria fenestrata</i>	+				+			+		+					
<i>T.flocculosa</i>	+				+			+		+					

28

17	18	19	20	21	22	23	24	25	26	27	28	29	30	31	32	33	34	35	36	37
									+					+						
									+						+					
									+						+					
									+						+					
									+						+					
									?						+					
									+						+					
									+						+					
									+						+					
									+						+					
									+						+					
									+						+					
									+						+					
									+						+					
									+						+					
									+						+					
									+						+					
									+						+					
									+						+					
									+						+					
									+						+					
									+						+					
									+						+					
									+						+					
									+						+					
									+						+					
									+						+					

29

П р о д о л ж е н и е т а б л . 2

17	18	19	20	21	22	23	24	25	26	27	28	29	30	31	32	33	34	35	36	37
				+										+						
					+	+	+	+							+	+	+	+		
									+											
										+										
											+									
												+								
													+							
														+						
															+					
																+				
																	+			
																		+		
																			+	

2	3	4	5	6	7	8	9	10	11	12	13	14	15	16
Tetracyclus ellipticus														
var. ellipticus			+				+	+	+					
T. lacustris var.										+				
lacustris											+			
T. lacustris var.												+		
elongatus													+	
Eunotia arcus var. arcus		+												
E.arcus var. fallax			+											
E.aff. bigibba														
E.faba var. faba														
E.faba var. intermedia						+								
E.fallax var.														
gracillima														
E.flexuosa														
E.formica var. minor	+													
E.gracilis	+					+								
E.lunaris						+								
E.moodon var. moodon		+					+							
E.monodon var. bidens														
E.muelleri														
E.nodulosa					+									
E.parallela								+						
E.polyglyphoides														
E.praerupta var.														
praerupta	+													
E.praerupta var. bidens	+													
E.praerupta var.														
inflata														
E.robusta var. tetra-														
edon														
E.sudetica														
E.tauntoniensis														
E.tenella														
E.valida					+									
E.veneris var. veneris						+								
E.veneris var. nipponica							+							
Desmogonium guianense			?											
Actinella brasiliensis								+						
var. cuneata														



Продолжение табл. 2

	2	3	4	5	6	7	8	9	10	11	12	13	14	15	16	17	18	19	20	21	22	23	24	25	26	27	28	29	30	31	32	33	34	35	36	37	
<i>P. acrosphaeria</i> var. badeana									+		+																										
<i>P. acrosphaeria</i> var. fossilis									+																												
<i>P. braunii</i> var. <i>amphicocephala</i>									+																												
<i>P. brebissonii</i> var. <i>brebissonii</i>									+		+																										
<i>P. brebissonii</i> var. <i>linearis</i>																																					
<i>P. brevicostata</i>	+	+							+				+																								
<i>P. cardinalis</i>	+	+							+																												
<i>P. distinguenta</i>																																					
<i>P. gibba</i> var. <i>gibba</i> f. <i>gibba</i>	+								+				+				+																				
<i>P. gibba</i> var. <i>gibba</i> f. <i>subundulata</i>		+																																			
<i>P. gibba</i> var. <i>linearis</i>	+	+																																			
<i>P. hemiptera</i>													+				+																				
<i>P. imperfecta</i>																																					
<i>P. intermedia</i>																																					
<i>P. interrupta</i> f. <i>minor</i>																																					
<i>P. major</i> var. <i>major</i>	+	+	+	+	+	+			+				+																								
<i>P. mesolepta</i> var. <i>angusta</i>																			+	+	+																
<i>P. mesolepta</i> var. <i>stauroneniformis</i>																																					
<i>P. microstauron</i> var. <i>microstauron</i>	+												+																								
<i>P. nobilis</i> var. <i>fossilis</i>	+			+																																	
<i>P. obscurea</i>																																					
<i>P. subcapitata</i> var. <i>subcapitata</i>																			+																		
<i>P. viridis</i> var. <i>viridis</i>	+	+	.	+	+	+	+	+		+			+				+		+																		
<i>P. viridis</i> var. <i>fallax</i>													+																								
<i>P. viridis</i> var. <i>intermedia</i>																				+	+	+	+														
<i>P. viridis</i> var. <i>sudetica</i>														+																							
<i>P. sp. 1</i>																																					
<i>P. sp. 2</i>																				+																	
<i>Neidium affine</i> var. <i>affine</i>																																					
34																																					

Продолжение табл. 2

	I7	I8	I9	I10	I11	I12	I13	I14	I15	I16	I17	I18	I19	I20	I21	I22	I23	I24	I25	I26	I27	I28	I29	I30	I31	I32	I33	I34	I35	I36	I37			
N.affine var. amphirhynchus			+		+																													
N.affine var. minus																																		
N.iridis var. iridis			+																															
Caloneis sp.																																		
Gomphenema aff. acuminatum																																		
G.angularum var. angustum																																		
G.angularum var. productum																																		
G.gracile var. gracile	+																																	
G.gracile var. auritum	+																																	
G.gracile var. lanceolatum																																		
G.grovei																																		
G.intricatum var. dichotomum																																		
G.intricatum var. pumilum																																		
G.lingulatum	+																																	
G.multipunctatum sp.nova																																		
G.parvulum var. parvulum	+	+																																
G.parvulum var. micropus	+																																	
G.sibiricum																																		
Cymbella americana																																		
C.aspera	+	+																																
C.cistula var. maculata	+																																	
C.cuspidata	+																																	
C.ventricosa	+	+	+	+	+	+	+	+	+	+																								
Nitzschia tryblionella var. victoriae																																		
Campylodiscus sp.																																		
Genus sp.																																		
Phytolitharia Lithomesites clepsammidium																																		
Число форм, общих с тымской флорой	7	24	30	7	6	39	4	40	12	30	7	1	27	-	19																			

Примечания. I. Авторы видов диатомей и оценки обилия назва в отложениях нерасчлененного олигоцена Румынии [Krestel, 1961]. Andrews, 1968], среднего - верхнего миоцена Японии [Okuno, 1952] тымской флорой нет.

36

9 | 10 | 3 | 11 | 51 | 32 | 27 | 15 | 15 | 10 | 5 | 4 | 1 | 9 | 47 | 39 | 35 | 17 | 29 | 5 | 23  
 ии в табл. I. 2. Achnanthes lanceolata var. dubia была найдена в континентальных отложениях верхнего эоценена США [Lohman, и верхнего миоцена Австро-Венгрии [Grunow, 1882] общих форм с

ми относим и формы, определенные со знаком открытой номенклатуры, а также ранее описанное из этой флоры *Melosira aculeifera* и *Coscinodiscus gorbulovii* [Шемукова-Порецкая, Монсеева, 1964] и найденные новые виды *Synechra bella* и *Gemphonema multipunctatum*. Основанием для отнесения к этой экологической группе служит их присутствие в составе обильной пресноводной флоры и характер структуры их створок.

Хотя многие из пресноводных видов (60 форм) индифферентны по отношению к степени солености воды и могут существовать при незначительном повышении концентрации солей, их нельзя считать показателями повышенной солености. К галофилам относится всего лишь один вид. Наиболее показательно наличие группы галофобов (18 форм).

По отношению к pH наиболее интересна группа ацидофилов (19 форм), указывающая на присутствие в воде гуминовых кислот, поступающих, вероятно, из болот, окружающих водоем, в котором отлагалась линза озерных глин.

Многие виды, входящие в состав тымской флоры и дожившие до ныне, широко распространены в водоемах разных районов Советского Союза, средней и северной частей Западной Европы и Северной Америки, а около 30 форм являются космополитами. Показателями невысокой температуры тымского водоема являются виды бореальные (24 формы), северо-альпийские (26 форм) и северо-бореальные (3 формы). Из группы тепловодных (?) видов ограниченного распространения найдены *Melosira undulata*, *Eunotia muelleri*, *E. nodulosa*, *Desmogenium guianense*, *Actinella brasiliensis* var. *cuneata*, *Stauroneis nobilis* var. *baconiana* и *Gemphonema lingulatum*.

По характеру местообитания явно преобладают бентосные диатомы (122 формы, включая и вымершие): из них около 60 форм свойственны обрастаниям, такое же количество форм характеризуется подвижным образом жизни на дне водоемов, 10 форм обитают на литорали как в толще воды, так и среди обрастаний. Планктонных форм в составе флоры немного - всего 16, но из них *Coscinodiscus* и некоторые виды *Melosira* обильны. Половина планктонных диатомей - вымершие.

Таким образом, флористический анализ диатомей, среди которых преобладают бентосные виды, в том числе свойственные обрастаниям (преимущественно ацидофильты), свидетельствует о существовании тымской диатомовой флоры в неглубокой части водоема (озера или старицы), с умеренной температурой воды, с примесью гуминовых кислот

и с зарослями макрофитов, на что указывают многочисленные диатомеи-эпифиты и фитолитарии. Условия образования пород, вмещающих исследованную флору, были спокойными: здесь почти нет переотложенных стволов морских палеогеновых диатомей, тогда как в более древних континентальных флорах Западной Сибири с массовыми грубо-панцирными *Melosira* часто наблюдается значительная примесь переотложенных морских эоценовых диатомей.

Виды диатомей, составлявшие тымскую флору, имеют довольно длительную геологическую историю. На основании литературных данных и наших исследований все найденные диатомеи можно разделить по времени их существования на две основные группы. Одна из них (116 форм) существует доныне, другая (21 форма) в современных водоемах не найдена; для остальных форм геологический возраст неизвестен. Каждая из указанных двух групп диатомей подразделяется на несколько подгрупп в зависимости от диапазона времени их жизни (табл. 3 и 4).

### Таблица 3

Число форм диатомей Компасской флоры, найденных в современных водоемах и в отложениях различного геологического возраста

Время существования	Число форм	Время существования	Число форм
Pg <sub>3</sub> <sup>2-3</sup> , Pg <sub>3</sub> <sup>3</sup> - ныне	5	N <sub>I</sub> <sup>1-2</sup> - ныне	5
N - "	1	N <sub>I</sub> <sup>2</sup> - "	6
N <sub>I</sub> - "	29	N <sub>I</sub> <sup>2-3</sup> - "	2
N <sub>I</sub> <sup>1</sup> - "	36	N <sub>I</sub> <sup>3</sup> - "	32 *

\* Из них 25 форм встречены в ископаемом состоянии только в Компасской флоре.

В нашем предварительном сообщении [Шешукова-Порецкая, Короткевич, 1962] был выделен комплекс доминирующих и характерных диатомей флоры Компасского Бора. В настоящей работе он уточнен, характерные виды отмечены звездочкой (%).

Т а б л и ц а 4

Диатомеи Компасской флоры, найденные только  
в ископаемом состоянии

Время существования	Названия видов
Pg <sub>2</sub> <sup>3</sup> - N <sub>2</sub> <sup>2-3</sup>	<i>Fragilaria nitida</i>
Pg <sub>3</sub> <sup>3</sup> - N <sub>2</sub> <sup>I</sup>	<i>Coscinodiscus gorbunovii</i> var. <i>gorbunovii</i>
Pg <sub>3</sub> <sup>3</sup> - N <sub>2</sub> <sup>3</sup>	<i>Melosira praegramulata</i> var. <i>praegramulata</i>
Pg <sub>3</sub> <sup>3</sup> - N <sub>2</sub> <sup>3</sup> (Q?)	<i>Tetracyclus ellipticus</i> var. <i>ellipticus</i>
N - N <sub>2</sub> <sup>3</sup>	<i>Pinmilaria nobilis</i> var. <i>fossilis</i>
N - Q	<i>Melosira italicica</i> var. <i>semilaevis</i>
N <sub>I</sub> - N <sub>2</sub> <sup>I</sup>	<i>Coscinodiscus miocenicus</i>
N <sub>I</sub> - N <sub>2</sub> <sup>3</sup>	<i>Melosira undulata</i> var. <i>samoensis</i> , <i>Eunotia polyglyphoides</i> , <i>Pinmilaria acrosphaeria</i> var. <i>badeana</i> et var. <i>fossilis</i>
N <sub>I</sub> - N <sub>2</sub> <sup>3</sup>	<i>Fragilaria capitellata</i> , <i>Gomphonema grovei</i>
N <sub>I</sub> - Q	<i>Actinella brasiliensis</i> var. <i>cuneata</i>
N <sub>I</sub> <sup>1-2</sup> -N <sub>2</sub> <sup>3</sup>	<i>Melosira aculeifera</i> , <i>Stephanodiscus</i> sp., <i>Fragilaria</i> sp., <i>Synedra bella</i> , <i>Caloneis</i> sp., <i>Gomphonema multipunctatum</i>
N <sub>I</sub> <sup>3</sup> (только в Ком- пассской флоре)	<i>Melosira distans</i> var. <i>scalaris</i>
N <sub>I</sub> <sup>3</sup> - Q	

Д о м и н а н т н ы е Ф о р м ы:

- \* *Melosira aculeifera* Sheshuk.
- \* *M. distans* var. *scalaris* Grun.
- M. granulata* var. *angustissima* (G.Müll.) Hust.
- M. italicica* (Ehr.) Kütz. var. *italicica*
- \* *M. italicica* var. *semilaevis* Grun.
- \* *Coscinodiscus gorbunovii* Sheshuk. var. *gorbunovii*
- \* *C. miocenicus* Krasske
- \* *Fragilaria araulensis* Hérib.
- \* *F. capitellata* Lauby
  - Tabellaria fenestrata* (Lyngb.) Kütz.
  - T. flocculosa* (Roth) Kütz.
- \* *Tetracyclus ellipticus* (Ehr.) Grun. var. *ellipticus*
- T. lacustris* var. *elongatus* Hust.

### С у б д о м и н а н т н ы е ф о� м ы:

- \* *Melosira undulata* var. *samoensis* Grun.
- \* *Eunotia formica* var. *minor* Okuno
- \* *E. nodulosa* Meist.
- \* *E. polyglypheoides* Sheshuk.
- Navicula confervacea* Kütz.
- \* *Stauroneis nobilis* var. *baconiana* (Stodd.) Reim.
- \* *Pinularia acrosphaeria* var. *fossilis* Lauby

### Р е д к и е и єдиничн ы е ф ор м ы:

- \* *Fragilaria nitida* Hérib.
- \* *Synedra bella* Sheshuk. sp. nova
- \* *Eunotia tauntoniensis* (Grun.) Hust.  
*E. veneris* var. *nipponica* Skv.
- \* *Desmogonium guianense* Khr.
- \* *Actinella brasiliensis* var. *cuneata* Meiss.
- \* *Pinularia acrosphaeria* var. *badeana* Hérib. et Perag.
- \* *Gomphonema grêvei* M. Schmidt
- \* *G. lingulatum* Hust.
- \* *G. multipunctatum* Sheshuk. sp. nova

Анализ материалов по географическому и геологическому распространению диатомей тымской флоры в пределах СССР и за рубежом дал возможность сопоставить ее с известными неогеновыми континентальными флорами диатомей.

От позднеолигоценовых и раннемиоценовых флор Западной Сибири [Горбунов, 1967; Рубина, 1969, 1970] тымская флора отличается разнообразием родового и видового состава и отсутствием в составе характерного комплекса доминантных в других флорах грубопанцирных вымерших видов рода *Melosira*. Несколько сближает их определяющая роль круга форм *Cescinodiscus gorbunovii*, *Tetracyclus ellipticus* и некоторых специфических видов *Eunotia*.

Среди миоценовых флор наибольшее количество общих элементов тымская флора имеет с прибайкальской и забайкальской [Черемисина, 1968, 1971, 1973; Ендрехинский, Черемисина, 1970]. Здесь установлено до 50 общих форм, многие из которых входят в состав свойственных флорам характерных комплексов: *Melosira italicica* var. *italicica*, *Cescinodiscus gorbunovii*, *C. miocenicus*, *Fragilaria araulensis*, *Tetracyclus ellipticus* var. *ellipticus*, *Eunotia polyglypheoides*, *Desmogonium guianense* и др.

Довольно большое количество – до 40 общих форм у тымской и среднемиоценовой тортонской флоры юга Европейской части СССР [Оксюк, 1960; Макарова, Коэнренко, 1966]. Однако подавляющее большинство их является широко распространенными, часто космополитичными формами, не входящими в состав характерных комплексов сравниваемых флор.

При сравнении с зарубежными пресноводными диатомовыми флорами миоцена установлено около 40 общих форм с флорой Северной Америки [Van Landingham, 1964, 1967; Lehman, 1968; Abbott, Van Landingham, 1972] и более 50 – с позднемиоценовой флорой Франции [Lauby, 1910; Peragallo, 1920]. В первом случае целый ряд общих форм входит в состав характерного комплекса тымской флоры: *Melosira granulata* var. *angustissima*, *M. italica* var. *italica*, *M. undulata* var. *samoensis*, *Coscinodiscus gorbunovii* var. *gorbunovii*, *C. miocenicus*, *Tetraeurytes ellipticus* var. *ellipticus*, *Eunotia faba* var. *intermedia* и др. Большое число общих форм с позднемиоценовой флорой Франции являются широко распространенными, нетипичными для тымской флоры, где они представлены, как правило, единичными экземплярами.

Составление тымской флоры с флорами плиоценового времени, известными как в СССР, так и за рубежом, свидетельствует о меньшей степени сходства их составов. Наибольшее количество общих элементов наблюдается с раннеплиоценовой флорой Приморского края [Монсеева, 1966, 1967] и Франции [Lauby, 1910], а также с позднеплиоценовой флорой ФРГ [Krasske, 1932а, 1934]. Среди упомянутых флор сходство с раннеплиоценовой приморской флорой представляется более существенным, так как многие виды *Melosira*, *Coscinodiscus*, *Fragilaria* и *Eunotia* в обеих сравниваемых флорах играют руководящую роль.

Следует отметить, что в тымской флоре наблюдается появление большого числа видов, достигающих широкого географического распространения и обильного развития в водоемах четвертичного времени и современных. Они не имеют сколько-нибудь существенного значения для возрастной характеристики тымской флоры, но обуславливают в ней довольно высокий процент (до 80%) форм, общих с четвертичной флорой диатомей.

Таким образом, результаты проведенного сопоставления флоры Компасского Бора с флорами, известными в неогене, свидетельствуют о преимущественном ее сходстве с флорой миоценового времени в целом. В то же время своеобразие характерного для нее комплекса диатомей, родовое и видовое разнообразие, присутствие заметно большего числа видов, связанных с флорой плиоцена, и значительно меньший процент вымерших форм (около 15%) отличают флору Компасского Бора с р. Тым от миоценовой флоры диатомей Западной Сибири на ранних этапах развития. Поэтому можно допустить, что возраст ее более молодой, по-видимому, позднемиоценовый.

Ниже приводится описание наиболее характерных диатомей тимской флоры, указаны их экология, местонахождения в обнажении Белый Яр и диапазон времени их существования по литературным и нашим данным. Для некоторых форм, достаточно полно описанных в литературе, дается только ссылка на изображение в настоящей работе. Роды расположены по системе, принятой в книге "Диатомовые водоросли СССР", т. I, 1974, с. 49, 182 и табл. 15. Микрофотографии и рисунки диатомей см. в таблицах I-III.

#### Отдел BACILLARIOPHYTA

Класс Bacillariophyceae

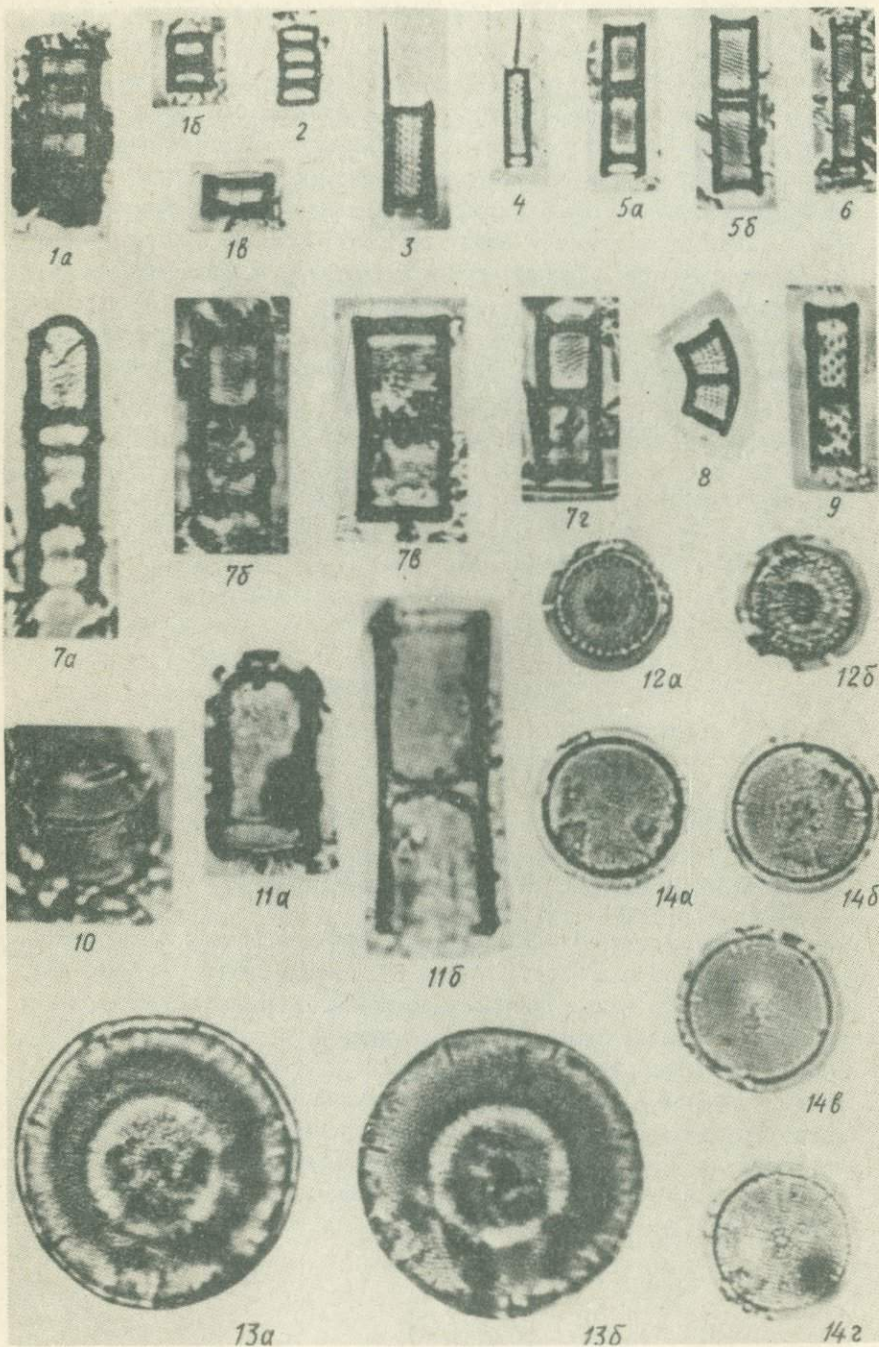
Подкласс Centrophyciidae

Порядок Coscinodiscales

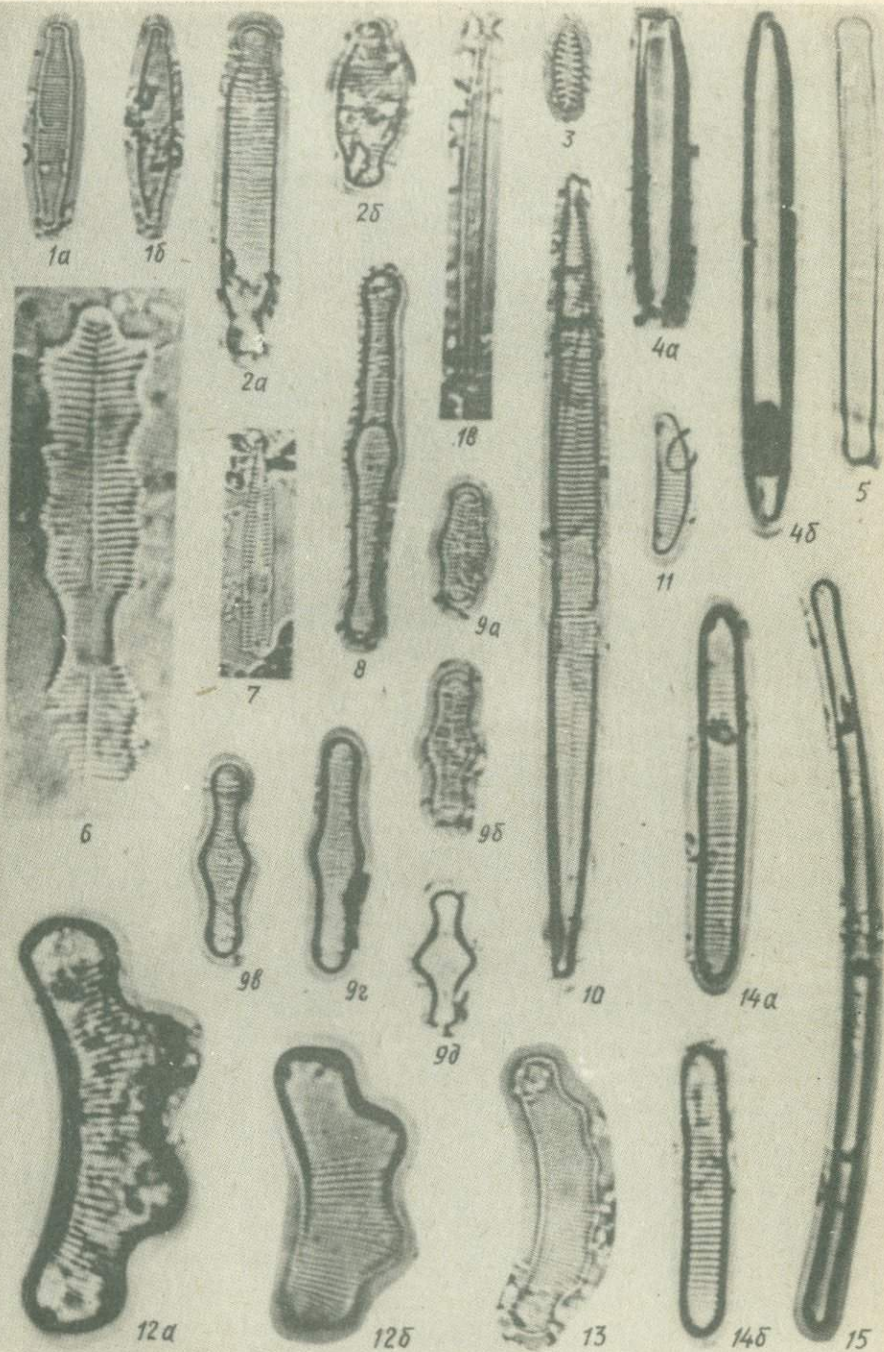
Melosira aculeifera Sheshuk. in Шешукова-Порецкая, Моисеева, 1964: 93, табл. 1, фиг. 1-4.

Панцири цилиндрические, 8-15 мкм выс., в прямых, реже слегка согнутых плотных цепочках. Створки 6-10 мкм в диам., 4-7 мкм выс. Диск плоский с мелкими точками в тангентальных, пересекающихся в трех направлениях рядах, 24-26 в 10 мкм; край диска с кольцом коротких, довольно грубых шипиков, 10-12 в 10 мкм. Загиб створки с мелкими точками в прямых вертикальных рядах, 14-16 в 10 мкм, и с одним или несколькими длинными шипами, налегающими на загиб сменной створки. Шейка низкая, борозда с кольцевидной диафрагмой и ложная борозда узкая, неглубокая, U-образная. (Табл. I, фиг. 1а-1в; табл. III, фиг. 1а-1г).

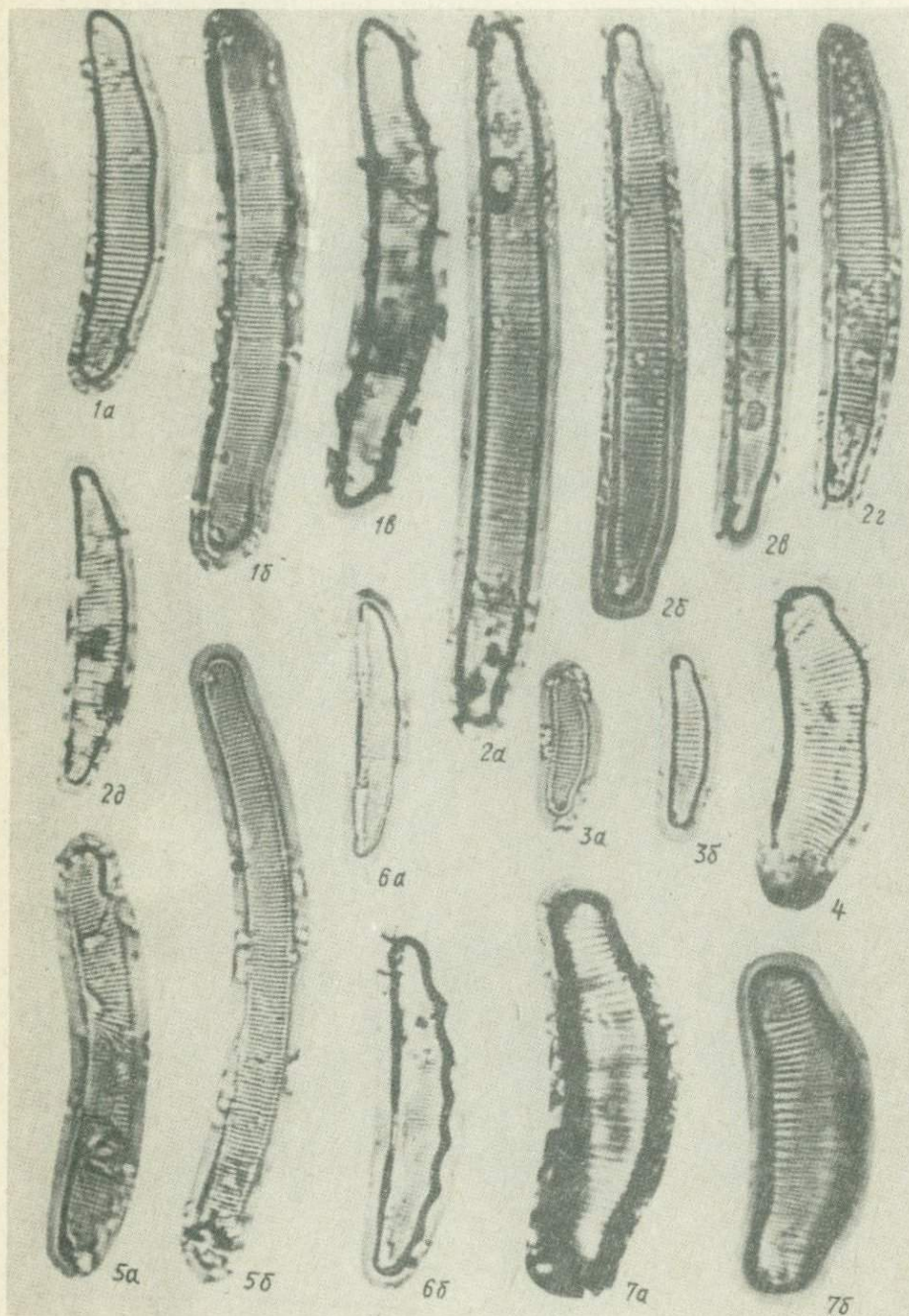
Т а б л и ц а 1



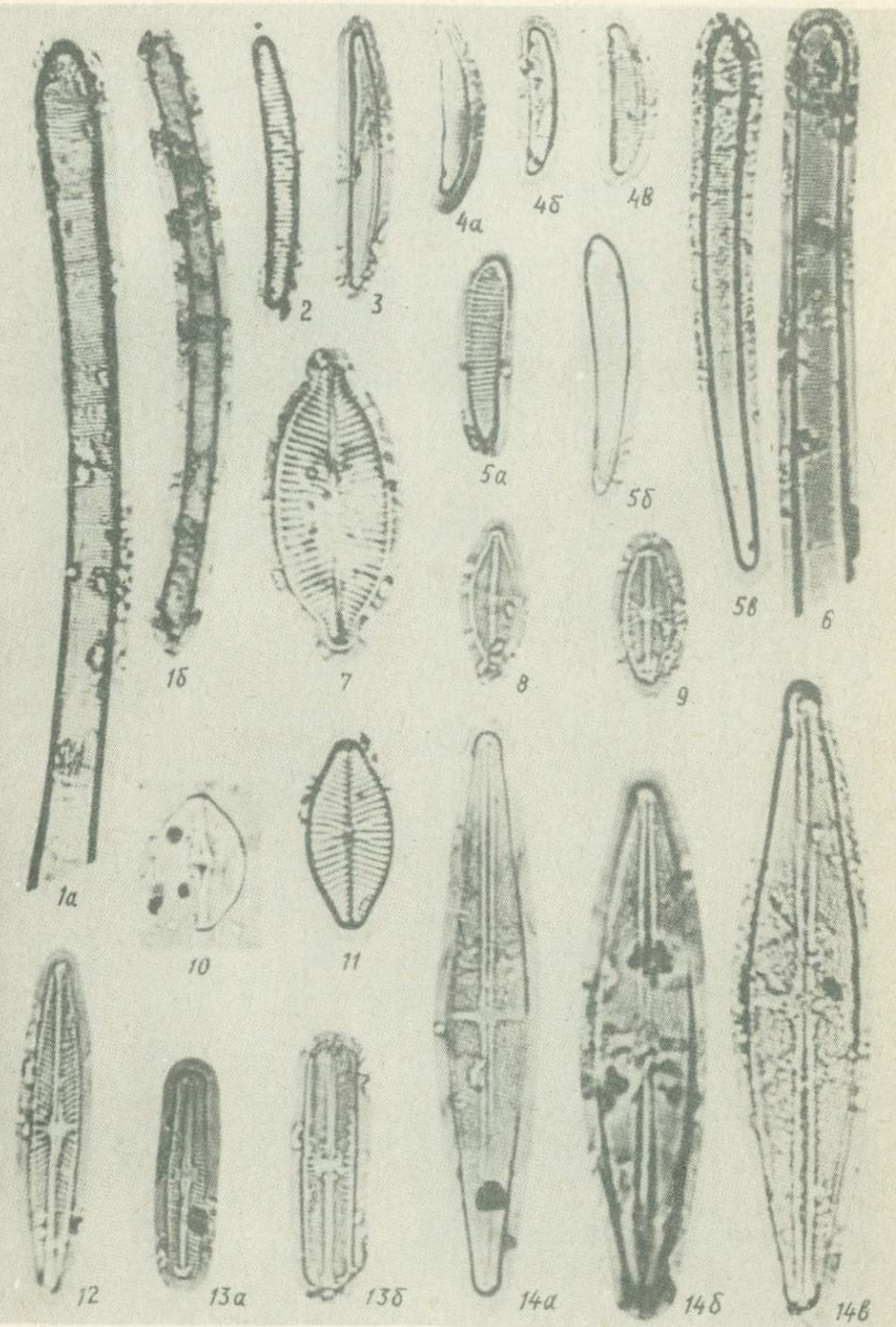
Т а б л и ц а П



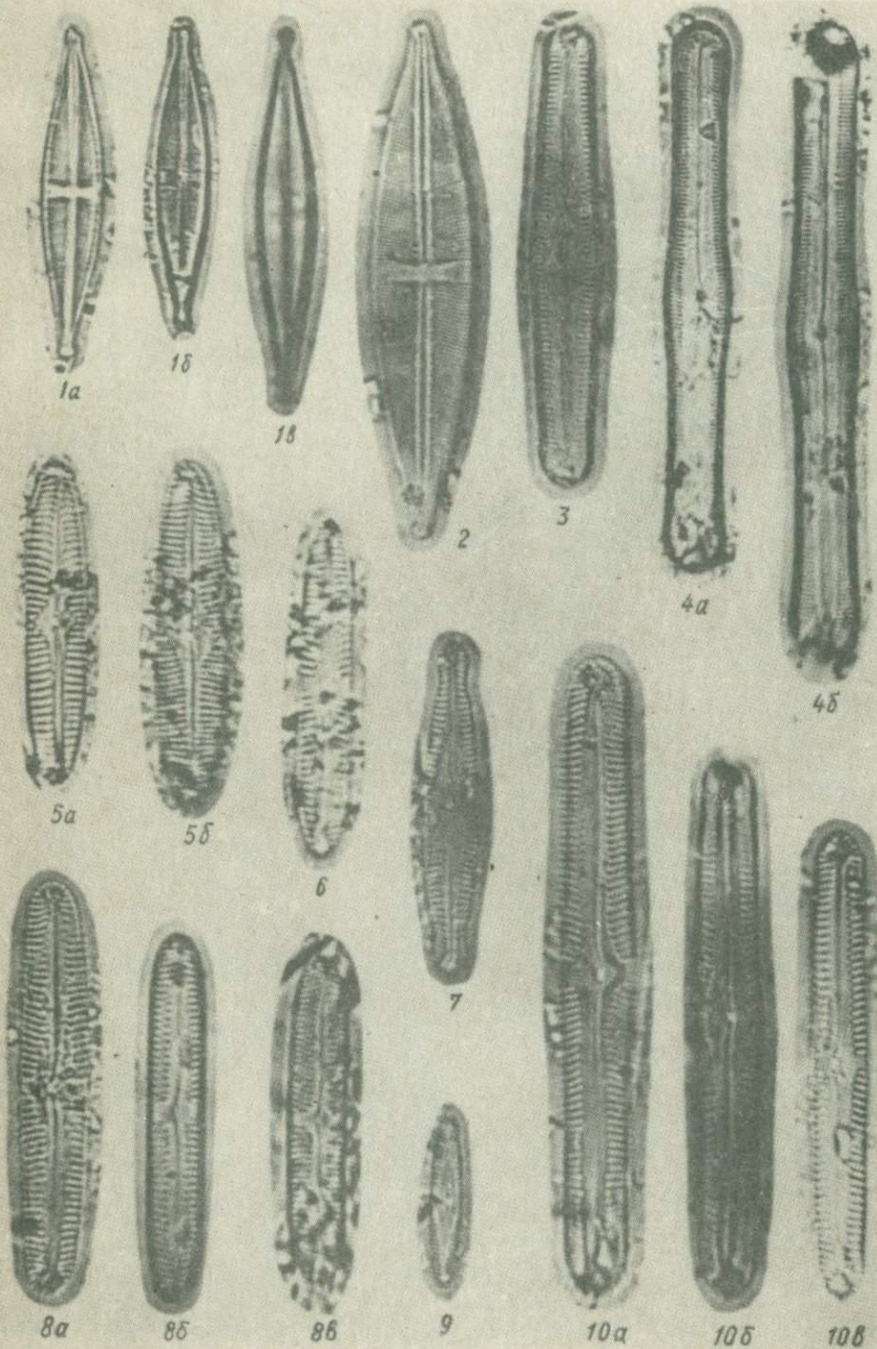
Т а б л и ц а ۳



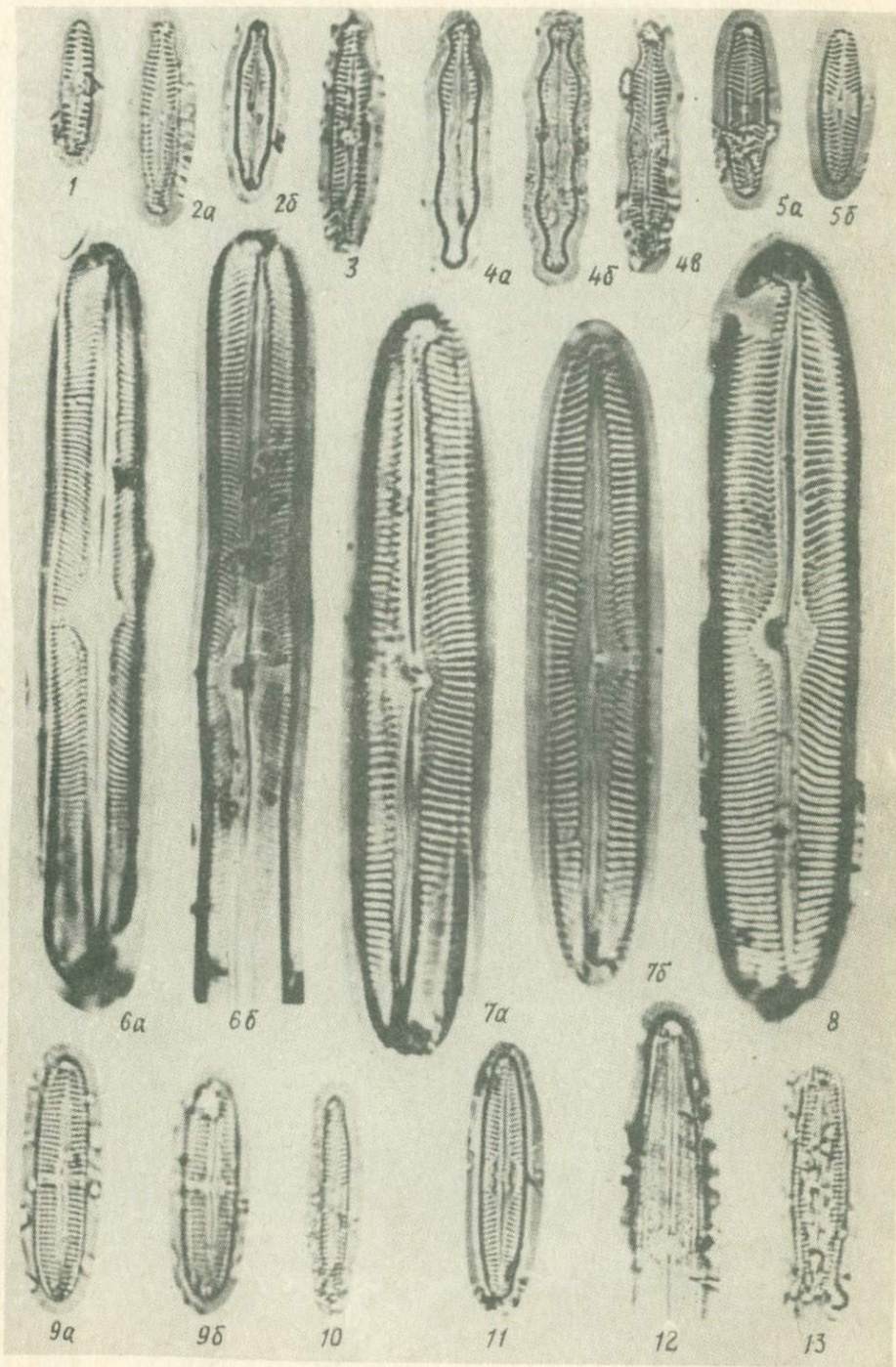
Т а б л и ц а IV



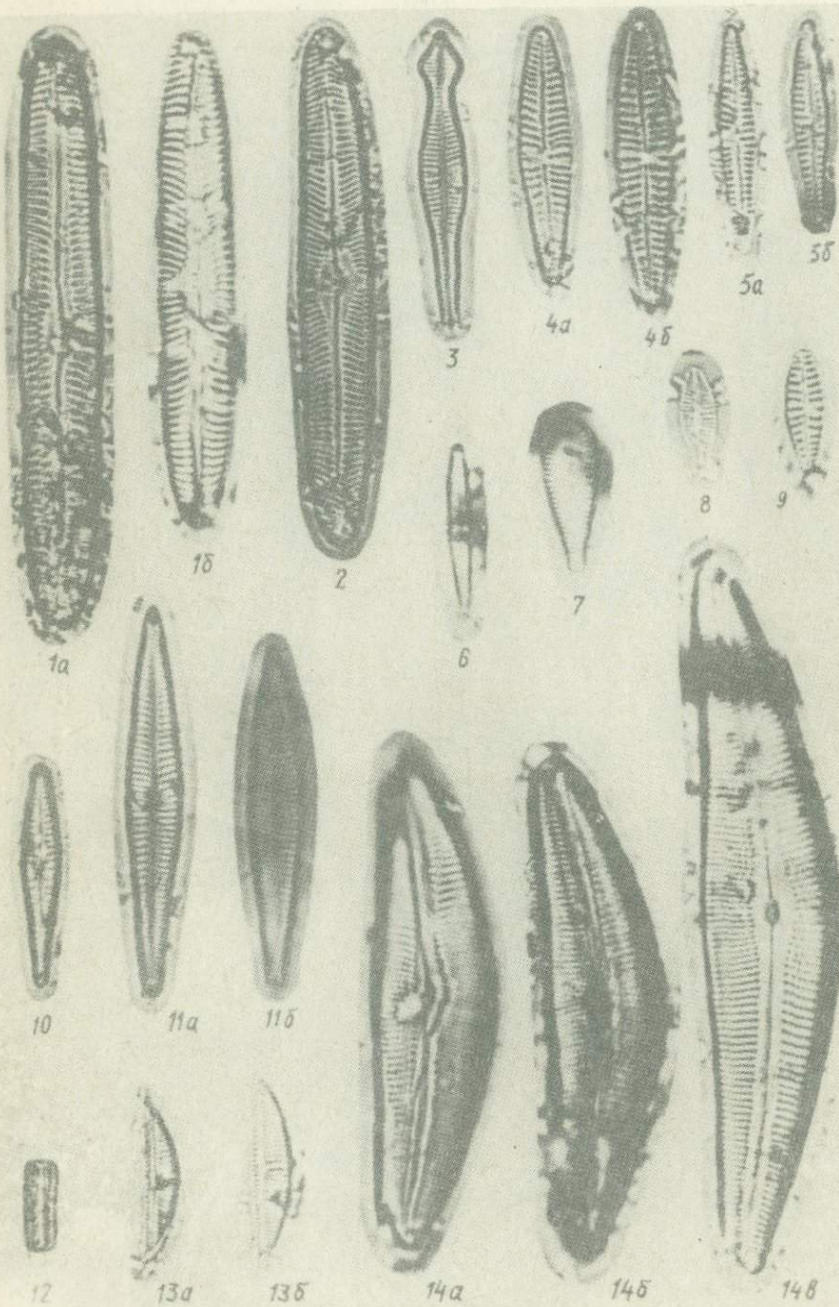
Т а б л и ц а у



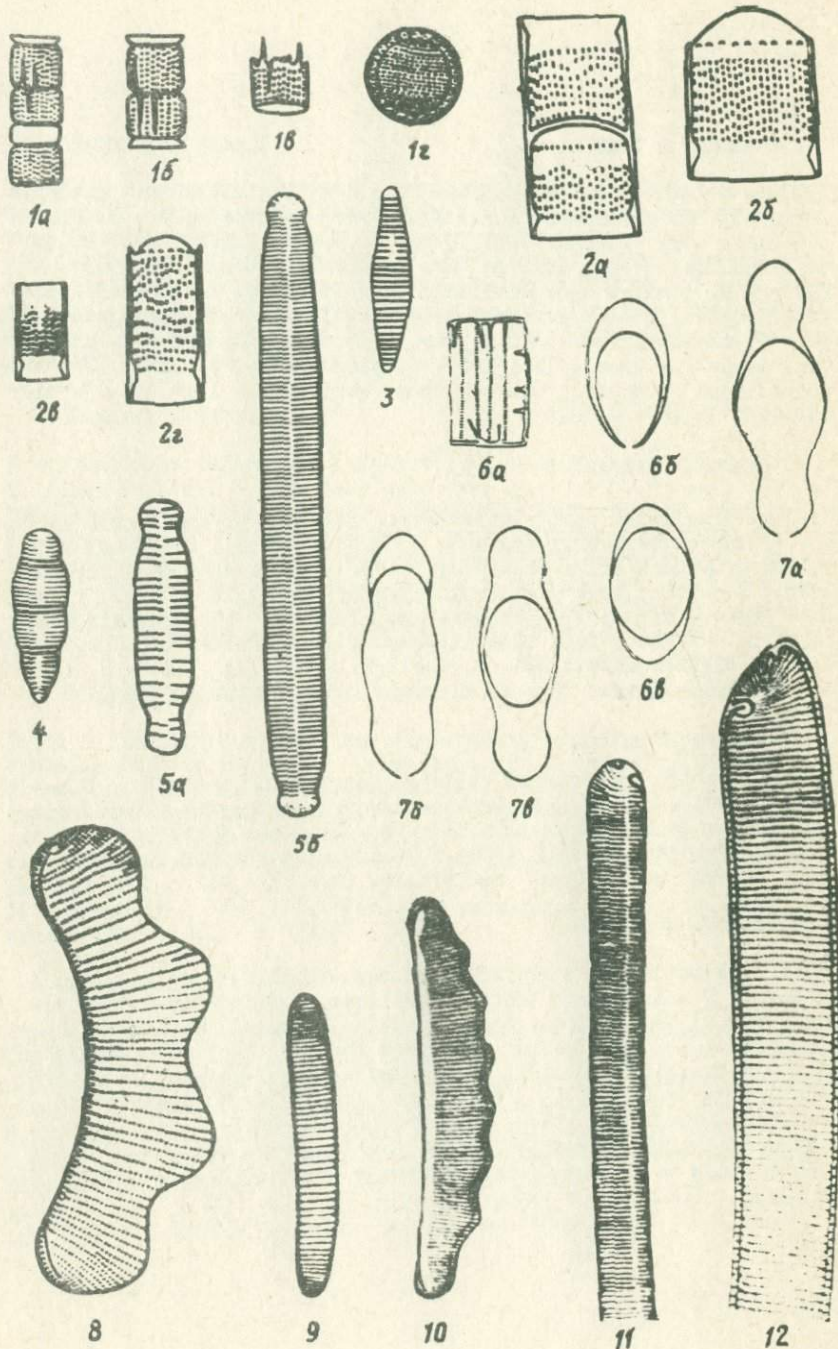
Т а б л и ц а VI



т а б л и ц а уп



Т а б л и ц а УШ



Подпись к табл.I

Ia-Ib - *Melosira aculeifera* Sheshuk.; 2 - *M. distans* var. *scalaris* Grun.; 3 - *M. granulata* (Ehr.) Ralfs var. *granulata*; 4 - *M. granulata* var. *angustissima* O.Müll.; 5a, 5б - *M. italica* (Ehr.) Kütz. var. *italica*; 6 - *M. italica* var. *temuissima* (Grun.) O.Müll.; 7a-7г - *M. italica* var. *semilaevigata* Grun.; 8 - *M. islandica* f. *curvata* O.Müll.; 9 - *M. praegranulata* (Ehr.) Ralfs var. *praegranulata*; 10 - *M. undulata* (Ehr.) Kütz. var. *undulata*; IIa, IIб - *M. undulata* var. *samoensis* Grun.; I2a, I2б - *Stephanodiscus* sp.; I3a, I3б - *Ce-*  
*scinediscus gerbunovii* Sheshuk. var. *gerbunovii*; I4a-I4г - *C. micro-*  
*cenicus* Krasske. x 950.

Подпись к табл.II

Ia-Ib - *Fragilaria capitellata* Lauby; 2a, 2б - *F. arauensis* Hérib. 3 - *F. laponica* Grun.; 4а, 4б - *F. nitida* Hérib.; 5 - *Fragilaria* sp.; 6 - *Synedra bella* Sheshuk.; 7 - *S. rumpens* var. *meneghiniana* Grun.; 8 - *Tabellaria fenestrata* (Lyngb.) Kütz.; 9а-9д - *T. flecculosa* (Roth.) Kütz.; 10 - *Synedra goulardii* var. *teletzkensis* Poretsky; II - *Eunotia faba* var. *intermedia* (Krasske) A.Cl.; I2а, I2б - *E. aff. bigibba* Kütz.; I3 - *E. muelleri* Hust.; I4а, I4б - *E. formica* var. *minor* Okuno; I5 - *E. flexuosa* (Bréb.) Kütz. x 950.

Подпись к табл.III

Ia-Ib - *Eunotia monodon* var. *bidens* (Greg.) W.Sm.; 2а-2д - *E. nodulosa* Meist.; 3а, 3б - *E. tenella* (Grun.) Hust.; 4 - *E. praerupta* var. *bidens* (W.Sm.) Grun.; 5а, 5б - *E. parallelia* Ehr.; 6а, 6б - *E. polyglypheides* Sheshuk.; 7а, 7б - *E. praerupta* var. *inflata* Grun. x 950.

Подпись к табл.IV

Ia, Iб - *Eunotia tauntoniensis* Hust. var. *tauntoniensis*; 2 - *E. valida* Hust.; 3 - *E. veneris* (Kütz.) O.Müll. var. *veneris*; 4а - 4б - *E. veneris* var. *nipponica* Skv.; 5а-5б - *Actinella brasiliensis* var. *cuneata* Meiss.; 6 - *Desmogonium guianense* Ehr.; 7 - *Navicula amphibola* Cl.; 8 - *N. accomoda* Hust.?; 9 - *N. pupula* Kütz. f. *pupula*; 10 - *N. aff. coccineiformis* Greg.; II - *N. gastrum* (Ehr.) Kütz. var. *gastrum*; I2 - *N. radiosha* Kütz.; I3а, I3б - *N. wittrockii* (Lagerst.) A.Cl.; I4а-I4б - *Stauroneis nobilis* var. *baconiana* (Stodd.) Reim. (I4а, I4б - переходные формы к *St. nobilis* f. *alabamae* (Heid.) A.Cl.) x 950; Ia, I4а x 630; Iб x 280.

Подпись к табл.У

Ia-IB - *Stauroneis anceps* f. *gracilis* (Ehr.) Cl.; 2 - *St. phoenicenteron* f. *lanceolata* (Kütz.) Brun.; 3 - *Pinnularia acrosphaeria* var. *fossilis* Lauby; 4a, 4б - *P. acrosphaeria* var. *badaeana* (Hérib. et Perag.) Mills; 5a, 5б - *P. brebissonii* (Kütz.) Rabenh. var. *brebissonii*; 6 - *P. brebissonii* var. *linearis* O.Mill.; 7 - *P. braunii* var. *amphicephala* (Mayer) Hust.; 8a-8б - *P. gibba* var. *linearis* Hust.; 9 - *P. imperfecta* A.Cl.; ICa-ICb - *P. gibba* (Ehr.) W.Sm. var. *gibba* f. *gibba*. x 950; 4a, 4б x 630.

Подпись к табл.УI

I - *Pinnularia intermedia* (Lagerst.) Cl.; 2a, 2б - *P. interrupta* f. *minor* Boye P.; 3 - *P. mesolepta* var. *angusta* Cl.; 4a-4б - *P. mesolepta* var. *stauroneiformis* (Grun.) Cl.; 5a, 5б - *P. obscura* Krasske; 6a, 6б - *P. nobilis* var. *fossilis* (Pant.) Cl.; 7a, 7б - *P. viridis* (Nitzsch) Ehr. var. *viridis*; 8 - *Pinnularia* sp.; 9a, 9б - *P. viridis* var. *fallax* Cl.; 10 - *P. subcapitata* Greg. var. *subcapitata*; II - *Pinnularia* sp.; I2 - *Neidium affine* var. *mimus* Cl.; I3 - *Caloneis* sp. x 950; 6a, 6б x 570; 8 x 1050.

Подпись к табл.УII

Ia, Iб - *Pinnularia viridis* var. *intermedia* Cl.; 2 - *P. viridis* var. *sudetica* (Hilse) Hust.; 3 - *Gemphonema aff. acuminatum* Ehr.; 4a, 4б - *G. angustatum* (Kütz.) Rabenh. var. *angustatum*; 5a, 5б - *G. gracile* var. *auritum* A.Braun; 6 - *G. sibiricum* Skv.; 7 - *G. linguatum* Hust.; 8 - *G. parvulum* Kütz. var. *parvulum*; 9 - *G. parvulum* var. *micropus* (Kütz.) Cl.; 10 - *G. intricatum* var. *dichotomum* (Kütz.) Grun.; IIa, IIб - *G. gracile* var. *lanceolatum* (Kütz.) Cl.; I2 - *Gemis* sp.; I3a, I3б - *Cymbella ventricosa* Kütz.; I4a-I4б - *C. aspera* (Ehr.) Cl. x 950.

Подпись к табл.УIII

Ia-Iг - *Melosira sculeifera* Sheshuk.; 2а-2г - *M. italica* var. *semilaevis* Grun.; 3 - *Fragilaria capitellata* Lauby; 4 - *Meridien circulare* var. *constictum* (Ralfs)V.H.; 5а, 5б - *Fragilaria araulensis* Hérib.; 6а-6б - *Tetracyclus ellipticus* (Ehr.) Grun. var. *ellipticus*; 7а-7б - *T. lacustris* var. *elongatus* Hust.; 8 - *Eunotia aff. bigibba* Kütz.; 9 - *E. faba* (Ehr.) Grun. var. *faba*; 10 - *E. polyglypoides* Sheshuk.; II - *Desmogonium guianense* Ehr.; I2 - *Eunotia tauntoniensis* Hust. var. *tauntoniensis*. x 950; Iг x около 1900; 2а, 2б, 2г, 3 x 1400. (Ориг.: Ia, Iг, 2а-2г, 5а, 5б, II - по Шешуковой-Порецкой, Моисеевой [1964]).

Пресноводный вымерший вид.

Местонахождение. Пикет 295: обр. 1, 2, 26, 27, 79-99, единично - в массе; пикет 302: обр. 112, единично; пикет 355: обр. 25, единично.

Время существования. Поздний миоцен.

Melosira distans var. scalaris Grun. - M. (distans var.?) scalaris Grunow in Van Heurck, 1880-1881, tab. 86, fig. 30 BB, 31. - M. distans var. scalaris Grun., Schmidt, 1874-1859, tab. I8I, fig. 34-41; Cleve-Euler, 1951-1955, Teil I:22, fig. IIx.

Панцири низкоцилиндрические, 5-6 мкм выс., в коротких плотных цепочках. Створки 4-6 мкм в диам., 2,5-3 мкм выс. Загиб створки с еле различимыми точками в прямых вертикальных или слегка наклонных рядах, 26-28 в 10 мкм. Шейка низкая, борозда с глубокой кольцевидной диафрагмой и ложная борозда почти не выражены. (Табл. I, фиг. 2).

Примечание. Диски с очень мелкими точками в тангенциальных рядах, пересекающихся в трех направлениях, были найдены изолированными; принадлежность их к этой разновидности требует подтверждения.

Пресноводная мало распространенная планктонная (?) разновидность.

Местонахождение. Пикет 295: обр. 79-89, 99, 100, единично - очень часто; линеа, нередко.

Время существования. Поздний миоцен - четвертичный период.

Melosira granulata (Ehr.) Ralfs var. granulata (Табл. I, фиг. 3).

Melosira granulata var. angustissima Müller (Табл. I, фиг. 4.).

Melosira islandica f. curvata Müller (Табл. I, фиг. 8). Melosira italicica (Ehr.) Kutz. var. italicica (Табл. I, фиг. 5а, 5б).

Melosira italicica var. semilaevius Grun. in Шешукова-Порецкая, Моисеева, 1964: 93, табл. 1, фиг. 5-8. - M. (cremulata var.?) semilaevius Grunov in Van Heurck, 1880-1881, tab. 88, fig. I8; De Teni, 1891-1894: 1335. - M. cf. cremulata var. undulata Perag. et Hérib. in Héribaud, 1893: 187, tab. 5, fig. I5. - M. timensis Sheshuk. (in litt.) in Оксирюк, 1960: 77, рис. 1-4.

Панцири цилиндрические, 16-38 мкм выс., в коротких прямых плотных цепочках. Створки 6-20 мкм в диам., 7-18 мкм выс., с бесструктурным выпуклым или вогнутым, реже плоским диском с кольцом мелких краевых шипиков, 6-13 в 10 мкм. Загиб створки с мелкими круглыми или слегка удлиненными точками в вертикальных или чуть

наклонных рядах, 17-34 в 10 мкм, и неравномерно расположенных волнистых поперечных рядах, 10-20 (реже до 26) в 10 мкм. Структура большей частью не доходит до диска или и до шейки. На месте борозды утолщение стенки створки вдается внутрь клетки, ложная борозда не выражена. (Табл. I, фиг. 7а-7г; Табл. III, фиг. 2а-2г).

Приимечание. Возможно, что *Melosira italicica* var. *semilaevia* Grun. является спорангимальной стадией типовой разновидности *M. italicica* (Ehr.) Kütz. или var. *subarctica* O. Müller. (Beyer, 1926-1927, Part. II: 29; Hustedt, 1927-1966, Teil I: 258-260; Моисеева, 1971: 24, табл. I, фиг. 23, 24).

Пресноводная планктонная разновидность.

Местонахождение. Пикет 250: обр. 6, часто; пикет 295: обр. 1, 26, 27, 78-101, единично - в массе; пикет 355: обр. 24, 25, 28, 30, единично - очень часто.

Время существования. Ранний миоцен - ныне.

*Melosira italicica* var. *temuissima* (Grun.) Müller (Табл. I, фиг. 6).

*Melosira praegramulata* Jousé f. *praegramulata* in Моисеева, 1971: 27, табл. 2, фиг. 7-12; табл. 13, фиг. 19-21. - *M. praegramulata* (O. Müller) Jousé, Йуэе, 1952а: 241, табл. 3, фиг. 8.

Панцири соединены мелкими шипиками в плотные цепочки. Створки 5,5-11 (реже до 14) мкм в диам., 11-20 мкм выс., с очень низкой шейкой или без нее. Загиб створки с крупными круглыми или слегка удлиненными точками в прямых продольных рядах, 5-9 в 10 мкм, и более или менее волнистых поперечных рядах, 4-8 (реже до 10) в 10 мкм; длинные шипы отсутствуют. (Табл. I, фиг. 9).

Приимечание. Близкая форма под названием *Melosira canadensis* известна из миоцена США, штат Вайоминг (Van Landingham, 1964, tab. 39, fig. 3, 4, 16, 17; tab. 40, fig. II, 12).

Пресноводная планктонная форма.

Местонахождение. Пикет 285: обр. 4, нередко; пикет 295: обр. 2, 26, 27, 77-100, единично - нередко; пикет 355: обр. 25, 28, единично; линза, единично.

Время существования. Поздний олигоцен - поздний плиоцен.

*Melosira undulata* (Ehr.) Kütz. var. *undulata* (Табл. I, фиг. 10).

*Melosira undulata* var. *samoensis* Grunow in Van Heurck, 1880-1881, tab. 90, fig. 5, 6; De Toni, 1891-1894: 1340. - *M. undulata* var. *producta* f. *hungarica* Schmidt, 1874-1959, tab. 180, fig. 8.

Створки 12-18 (реже до 25) мкм в диам., 16-28 мкм выс., со слабо выпуклым диском. Загиб створки с неравномерно утолщенной стенкой, внутренний контур ее волнистый; мелкие точки в прямых наклонных или спиральных (реже в вертикальных) рядах, 18-20 в 10 мкм; в ряду 20-28 точек в 10 мкм; иногда точки сливаются. (Табл. I, фиг. 11а, 11б).

Пресноводная вымершая разновидность.

Местонахождение. Пикет 295: обр. 1, 27, 81, 82, 89, редко - часто.

Время существования. Ранний миоцен - поздний плиоцен.

Stephanodiscus sp.

Створка 15 мкм в диам., с вогнутым центром и узким опадающим краем. Ареолы мелкие, сомкнутые в радиальные ряды, у края двойные, к центру переходящие в простые, 18-20 рядов в 10 мкм. По краю створки кольцо мелких, но довольно грубых шипиков, 9-10 в 10 мкм, соединяющих ареолы в двойные ряды. Центральное поле не выражено. (Табл. I, фиг. 12а, 12б).

Приимечание. По рельефу створки и расположению рядов ареол и грубых шипиков имеет сходство с пресноводно-солоноватоводным видом, космополитом *Stephanodiscus hantzschii* Grun., характеризующимся очень нежной, едва различимой структурой. Тынская форма с более толстым панцирем и более грубой структурой, возможно, является предковой формой современного *St. hantzschii*.

Пресноводная планктонная форма.

Местонахождение. Пикет 295: обр. 81, единично.

Время существования. Поздний миоцен.

Coscinodiscus gorbunovii Sheshuk. var. gorbunovii in Шешукова-Порецкая, Моисеева, 1964: 94, табл. 2, фиг. 1-5; Моисеева, 1971: 32, табл. 15, фиг. 1-4. - *Stephanodiscus* sp., Кротов, Шибкова, 1961, рис. 7, фиг. 1, 3. - *Coscinodiscus gorbunovii* Sheshuk. in Шешукова-Порецкая, Короткевич, 1962: 167.

Панцирь желтовато-бурый, дисковидный, 35-70 мкм в диам., 2-4 мкм выс. Створки концентрически волнистые с одной вогнутой зоной и вогнутым центром. Ареолы мелкие сомкнутые, в радиальных рядах, 13-18 в 10 мкм, не образующих пучков. Прикраевая зона с концентрическими волнистыми рядами таких же ареол и с кольцом из 7-14 коротких тупых шипиков, от которых отходят по направлению к центру створки короткие и узкие гиалиновые лучи. Край узкий, с рядами очень мелких ареол, 23-24 в 10 мкм. Центральное поле небольшое

округлое, с одной или несколькими изолированными ареолами. (Табл. I, фиг. 13 а, 13б).

П р и м е ч а н и е. Из гельветских слоев среднего миоценена Южной Венгрии известен близкий к *Coscinodiscus gorbunovii* C. *rac-nicus* Hajós et f. *minimus* Hajós (Hajós, Pálfalvy, 1963: 93, tab. 1, fig. 4, 5, 15; tab. 2, fig. 16-18, 20). Для их идентификации необходимо сравнение оригинальных материалов. Возможно, что изучение ультраструктуры этих пресноводных видов и *C. miocenicus* Krasske даст основание для выделения их в самостоятельный род.

Пресноводный планктонный вымерший вид.

Местонахождение. Пикет 295: обр. 27, 73-101, единично - в масце; пикет 355: обр. 28, единично.

Время существования. Поздний олигоцен - ранний плиоцен.

*Coscinodiscus miocenicus* Krasske, 1934: 23, fig. 5-7; Шешукова-Порецкая, Моисеева, 1964: 96, табл. 3, фиг. 8, 9; Моисеева, 1971: 33, табл. 16, фиг. 1; Черемисинова, 1973: 29. - *C. (Cosmiodiscus?) variabilis* Freng. sensu Krasske, 1934: 22, fig. 8-12?

Панцирь слегка желтоватый или бесцветный, дисковидный, 11-25, реже до 30 мкм в диам. Створки плоские с слегка выпуклым центром и опадающим краем. Ареолы мелкие в радиальных рядах, 15-22 в 10 мкм, в редких случаях образуют неясные пучки. Прикраевая зона с концентрическими волнистыми рядами таких же ареол, прерванными 4-8 узкими, короткими гиалиновыми лучами, в основании которых иногда заметен небольшой отросток, слегка расширенный на свободном конце. Край очень узкий, застрихованый, 24-30 штрихов в 10 мкм. Центральное поле не выражено, иногда на его месте 1-2 более крупных ареолы. (Табл. I, фиг. 14а-14г).

П р и м е ч а н и е. См. примечание к *C. gorbunovii* Sheshuk.

Пресноводный планктонный вымерший вид, характерный для неогена.

Местонахождение. Пикет 295: обр. 27, 81, единично - очень часто; линза, нередко.

Время существования. Ранний миоцен - плиоцен.

Подкласс Р е н н а т о р ү с и д а с  
Порядок А г а р ғ а л е с

Fragilaria araulensis Héribaud, 1908:64, tab. I4, fig. 6-8. -  
F. bicapitata Mayer, 1916:21, cit. Hustadt, 1927-1966, Teil. 2,  
Lief. 1:165, fig. 673 Aa-g; Шешукова-Порецкая, Короткевич, 1962:  
167. - F. bicapitata var. genuina Mayer, cit. Cleve-Euler, 1951-  
1955, Teil II: 47, fig. 358 a,b,k,l. - F. bicapitata var. sphaero-  
phora Cleve-Euler, l.c., fig. 358 m-o. - F. bicapitata var. elonga-  
ta Cleve-Euler, l.c., fig. 358 p,r. - F. bicapitata Mayer var. bi-  
capitata in Шешукова-Порецкая, Моисеева, 1964: 98, табл.1, фиг.  
9-11; табл.4, фиг.8; Patrick, Reimer, 1966:II8, tab.3, fig.4.

Створки 27-102 мкм дл., 5-8 мкм шир., от линейных с сильно  
оттянутыми, отшнурованными, головчатыми концами до линейно-эллиптических,  
слегка суженных к чуть оттянутым неотшнурованным закругленным концам. Штрихи более или менее гладкие, обычно неравномерно  
расположенные, 9-16 в 10 мкм, концы штрихов около осевого поля  
чередуются, а не противостоят друг другу. Осевое поле нитевидное,  
прослеживается благодаря чередованию штрихов. (Табл. II, фиг. 2а,  
2б; табл. III, фиг. 5а, 5б).

П р и м е ч а н и е. Вид чрезвычайно изменчивый по форме и  
размерам створки, количеству и расположению штрихов.

Пресноводный вид, возможно галофоб.

Местонахождение. Пикет 250: обр.6, редко; пикет 295: обр.1,  
2, 26, 27, 73-101, единично - в массе; пикет 355: обр.25-30, единично - часто.

Время существования. Ранний миоцен - иные.

Fragilaria capitellata Lauby, 1910: 227, tab.9, fig.19 (nec  
F. capitellata (Grun.) Boye Petersen, 1946: 54, fig.4). - F. aff.  
virescens Ralfs in Шешукова-Порецкая, Короткевич, 1962: 167.

Створки 12-60 (большей частью до 30) мкм дл., 3-6 мкм шир.,  
линейно-эллиптические до линейных, с оттянутыми, обычно слегка головчатыми концами. Штрихи гладкие или тонко линеолированные, параллельные, равномерно расположенные, обычно не доходящие до концов створки, на одном (?) из которых маленькая слизевая пора; на середине 16-20 (редко до 24) штрихов в 10 мкм, у концов несколько больше. Осевое поле отсутствует, но иногда 1-4 штриха прерваны и концы их у некоторых створок не противостоят друг другу. (Табл. II,  
фиг.1а-1в; Табл. III, фиг.3).

**П р и м е ч а н и е.** Тымская форма отличается от плиоценовой из Франции (Lauby, 1.с.) большим диапазоном в размерах створки и количестве штрихов, а также сильной изменчивостью ее очертаний. Этот вид также близок к *Fragilaria virescens* var.? *exigua* Grunow (in. Van Heurck, 1880-1881, tab. 44, fig. 2). В сводках De Toni (1891-1894, vol. 2: 682) имеется лишь ссылка на коллекцию Cleve, Möller (1878-1892, Diatoms N 144). В кратком (оригинальном?) диагнозе Ф. Хустедта [Hustedt, 1927-1966, Teil 2, Lief. 1: 163] нет указаний на отсутствие осевого поля - основного признака, отличающего эту форму от *F. virescens* Ralfs. Поэтому нельзя идентифицировать *F. capitellata* Lauby и *F. virescens* var. *exigua* Grun.

Пресноводный вымерший вид.

Местонахождение. Пикет 295: обр. 1, 27, 74-98, единично - часто, пикет 302: обр. 112, единично; пикет 355: обр. 25, единично; линза, часто.

Время существования. Ранний миоцен - четвертичный период.

*Fragilaria lapponica* Grunow (Табл. II, фиг. 3).

*Fragilaria nitida* Héribaud, 1903: 27, tab. II, fig. 30; Krestel, 1960: 145, tab. 2, fig. 11; Lohman, Andrews, 1968: E 14, tab. I, fig. 17.

Панцирь 7-8 мкм выс., толстостенный, линейный (иногда расширяющийся к середине), слегка суженый на усеченных концах, на каждом углу утолщенный и выступающий в виде очень короткого "аубчика"; структура очень **нежная**: вдоль середины панциря и на загибе створок по одному ряду коротких поперечных штрихов, 18-20 в 10 мкм. Створки 37-65 мкм дл., 4-6,5 мкм шир., линейные, суженные у слегка оттянутых, узких закругленных концов; штрихи короткие постепенные, параллельные, очень **нежные**, иногда почти неразличимые, 18-20 в 10 мкм. (Табл. II, фиг. 4а, 4б).

**П р и м е ч а н и е.** Вид хорошо отличимый, особенно с полосами.

Пресноводный редкий вымерший вид, в СССР найден впервые.

Местонахождение. Пикет 295: обр. 26, 27, 77, 78, 84, 98, единично - редко.

Время существования. Поздний эоцен - средний-поздний плиоцен.

*Fragilaria* sp.

Створка 63 мкм дл., около 5 мкм шир., тонкостенная линейная

со слегка отшнурованными широкими головчатыми концами. Штрихи параллельные, неизменные, около 24 в 10 мкм. Осевое поле очень узкое, линейное, хорошо различимое только на средней части створки. (Табл. II, фиг. 5).

П р и м е ч а н и е. Форма очень близкая к полиморфной (в наших материалах) *F. capitellata* Lauby, отличается несколько иными очертаниями створки и наличием осевого поля, около которого штрихи противостоят друг другу.

Пресноводная форма.

Местонахождение. Линза, единично.

Время существования. Поздний миоцен.

Synedra bella Sheshuk. sp. nova. — Synedra sp. in Шешукова-Порецкая, Короткевич, 1962: 167.

Створки 86-90 мкм дл., 12-15 мкм шир., с волнистыми краями и вогнутой серединой с углопленными краями, 7-8 мкм шир., концы оттянутые, клювовидные или сосочковидные. Штрихи параллельные, к концам слабо радиальные, линеолированные, на месте среднего поля слаженные, 9-11 штрихов и 18-20 линеол в 10 мкм. Осевое поле узколинейное, вдоль него против штрихов, местами, изолированные точки. (Табл. II, фиг. 6).

Тип — СССР, Западная Сибирь, р. Тын, обнажение Белый Яр в урочище Компасский Бор, озерные глины с обильными остатками вымерших растений, 1946, М.Г. Горбунов; хранится на кафедре ботаники Ленинградского университета под № 243а.

П р и м е ч а н и е. Отличается от известных видов Synedra формой створки.

Пресноводный вымерший вид.

Местонахождение. Пикет 295: обр. 27, редко.

Время существования. Поздний миоцен.

Synedra gouldii var. teletzkensis Poretsky in Порецкий, Шешукова, 1953: 146, фиг. 2, в табл. фиг. 5а-в.

Створки 110-116 мкм дл., 7-9,5 мкм шир., линейно ланцетные, с маленькими вогнутостями около слегка выпуклой середины, постепенно суженные к довольно длинным оттянутым, слегка головчатым концам. Штрихи линеолированные, параллельные, на месте среднего поля слаженные, к концам створки слегка радиальные, 9-12 штрихов и 20 линеол в 10 мкм. Осевое поле узколинейное. (Табл. II, фиг. 10).

П р и м е ч а н и е. Отличается от экземпляров из горных водоемов Алтая (Порецкий, Шешукова, 1.с.) более редкими штрихами.

Имеет сходство с *Synedra ramesi* Héribaud (1903: 8, tab. II, fig. 28) из неогена Франции, отличаясь наличием штрихов на месте среднего поля и формой концов створки.

Пресноводная холодноводная разновидность.

Местонахождение. Пикет 295: обр. 97, 98, единично; линаea, единично.

Время существования. Поздний миоцен - ныне.

*Synedra rumpens* var. *meneghiniana* Grunow in Van Heurck, 1880-1881, tab. 40, fig. I8; Hustedt, 1930: 156, fig. I79.

Створка 44 мкм дл., 4 мкм шир., 14 штрихов в 10 мкм. (Табл. II, фиг. 7).

П р и м е ч а н и е. Отличается от диагноза Ф.Хустедта более параллельными краями створки.

Пресноводная разновидность, космополит (?).

Местонахождение. Лиnea, единично.

Время существования. Поздний миоцен - ныне.

*Meridion circulare* var. *constrictum* (Ralfs) Van Heurck (Табл. III, фиг. 4).

*Tabellaria fenestrata* (Lyngb.) Kützing (Табл. II, фиг. 8).

*Tabellaria flocculosa* (Roth) Kützing, 1844: 127, tab. I7, fig. 21. - *Confervula flocculosa* Roth, 1797, cit. Hustedt, 1927-1966, Teil 2, Lief. 1: 28.

Створки 17-32 мкм дл., 7-9 мкм шир., 14-17 штрихов в 10 мкм. (Табл. II, фиг. 9а-9д).

П р и м е ч а н и е. Большинство встречаенных экземпляров отличается лишь слегка расширенной в середине и почти не расширенной на концах створкой. Они сходны с известными экземплярами из суидунской свиты плиоцена Приморья (определение А.И.Моисеевой).

Пресноводный вид, встречается чаще среди мхов в болотах, ацидофил.

Местонахождение. Пикет 250: обр. 6, единично; пикет 295: обр. 1, 2, 26, 27, 75-101, единично - очень часто; пикет 355: обр. 28, 29, единично - редко.

Время существования. Миоцен - ныне.

*Tetracyclus ellipticus* (Ehr.) Grun. var. *ellipticus* in Моисеева, 1971: 36, табл. 3, фиг. 3-9, табл. 16, фиг. 10-12. - *T. ellipticus* (Ehr.) Grunow, 1862: 411; Schmidt, 1874-1959, tab. 280, fig. 9-14, tab. 28I, fig. 24; Hustedt, 1914: 100, fig. 2, 4. - *Biblarium ellipticum* Ehrenberg, 1854, tab. 33, gr. 2, fig. 5, gr. 12, fig. 2.

Створки 10–58 мкм дл., 6–18 мкм шир., эллиптические, с широко закругленными неоттянутыми концами. Штрихи неравномерно пунктирные, слабо радиальные, 20–24 в 10 мкм, ребра грубые, 3–4 в 10 мкм. Осевое поле более или менее узколинейное, иногда слегка ланцетное. Вставочные ободки бесструктурные или с очень небольшой поперечной штриховкой, с короткимиrudиментарными септами, реже с более широкими, хорошо развитыми септами, которые вдаются в полость клетки на 1/3 и более ее длины. (Табл. VII, фиг. 6а–6в).

Приимечание. Вид изменчив по форме и размерам створок и связан переходными формами с *Tetracyclus lacustris* var. *elongatus* Hustedt (Schmidt, 1874–1959, tab. 269, fig. 7, 8, tab. 281, fig. 1) и *T. lacustris* var. *temnis* Hustedt (l.c., tab. 281, fig. 4). У типовой разновидности в наших материалах иногда наблюдаются вставочные ободки с хорошо развитой септой. Это свидетельствует о тесной ее связи с *T. rupestris* (A.Br.) Grunow (Van Heurck, 1880–1881, tab. 52, fig. 13, 14), от которого она обычно отличалась лишьrudиментарными очень короткими септами.

Пресноводная вымершая разновидность.

Местонахождение. Пикет 250: обр. 6, единично; пикет 285: обр. 4, единично; пикет 295: обр. 2, 26, 27, 73–101, единично – в массе; пикет 355: обр. 18, 28–30, единично – очень часто.

Время существования. Поздний олигоцен – плиоцен, четвертичный период (?).

*Tetracyclus lacustris* Ralfs var. *lacustris* in Мoiseева, 1971: 40, табл. 4, фиг. 11, 12, табл. 17, фиг. 6, 7. – *T. lacustris* Ralfs, 1843, cit. Kützing, 1844: 127, tab. 29, fig. 70 a–e; Hustedt, 1914: 96. – *T. lacustris* var. *fossilis* Pantocsek ex parte, 1903–1905, Teil 3, tab. 4, fig. 62. – *T. lacustris* var. *capitatus* Hustedt in Schmidt, 1874–1959, tab. 269, fig. 6; Hustedt, 1914: 96. – *T. lacustris* var. *compactus* Hustedt in Schmidt, 1874–1959, tab. 281, fig. 3; Hustedt, 1914: 96.

Створки 27–40 мкм дл., 15–24 мкм шир., эллиптическо-ланцетные, посередине сильно полукругло расширенные, с более или менее головчато оттянутыми клиновидными, клиновидно-округлыми или широко закругленными концами. Штрихи слабо радиальные, неравномерно пунктирные, 21–24 в 10 мкм, ребра грубые, 2–3 в 10 мкм. Осевое поле узколинейное. Вставочные ободки бесструктурные с хорошо развитыми септами, глубоко вдающимися в полость клетки.

**П р и м е ч а н и е.** Приведенные в синонимике разновидности, выделенные Ф.Хустедтом (Hustedt, l.c.), всегда встречаются вместе с типовой разновидностью, по морфологии створки связаны с ней переходными формами и практически не могут быть четко от нее отграничены, поэтому считать их самостоятельными таксонами нецелесообразно.

Пресноводная холодноводная разновидность, галофоб.

Местонахождение. Пикет 250: обр.6, единично; пикет 285: обр.4, единично; пикет 295: обр.1, 26, 27, 77-100, единично - редко; пикет 355: обр.28, единично.

Время существования. Поздний олигоцен - ныне.

Tetracyclus lacustris var. elongatus Hustedt in Schmidt, 1874-1959, tab.269, fig. 7,8, tab.281, fig.1; Hustedt, 1914: 97.  
- T. lacustris var. fossilis Pantecsek ex parte, 1903-1905, Teil 3, tab. 3, fig. 42.

Створки 30-82 мкм дл., 8-23 мкм шир., широкоэллиптические, слегка расширенные посередине; ширина середины створки почти равна или немного превышает ширину концов; концы широко-закругленные или округло-клиновидные. Штрихи неравномерно пунктирные, 22-28 в 10 мкм, ребра грубые, 2-5 в 10 мкм. Осевое поле, вставочные ободки и септы, как у типовой разновидности. (Табл. III, фиг. 7а-7в).

**П р и м е ч а н и е.** Мелкие экземпляры очень сходны с Tetracyclus lacustris var. tenuis Hustedt (Schmidt, 1874-1959, tab. 281, fig. 4; Hustedt, 1914: 97), выделение которой в самостоятельную разновидность недостаточно обосновано и, по-видимому, излишне.

Пресноводная холодноводная разновидность, галофоб.

Местонахождение. Пикет 295: обр.27, 77-101, единично - в массе; пикет 355: обр.25-28, единично - редко.

Время существования. Миоцен - ныне.

#### Порядок Raphidiales

##### Eunotia aff. bigibba Kützing

Створки 30-57 мкм дл., 10-12 (на бугорках 15-17) мкм шир., с вогнутым брюшным и выпуклым двугорбым спинным краем; бугорки довольно высокие, закругленные. Концы широкие, усеченные или закругленные, более или менее отшнурованные на спинном крае. Штрихи

линеолированное, 8-10 (у концов 14-16) штрихов и 20-22 линеоли в 10 мкм; у спинного края между длинными штрихами местами вклиниваются короткие. Конечные узелки шва расположены на брюшном крае створки около ее концов или несколько заходят на них. (Табл. II, фиг. 12а, 12б; Табл. III, фиг. 8).

П р и м е ч а н и е. Имеет большое сходство с *Eunotia bigibba* Kütz. (Hustedt, 1927-1966, Teil 2, Lief. 2: 282, fig. 747 в а, б), отличаясь формой концов, закругленных или усеченных к спинному (а не брюшному) краю створки, и относительно большей ее шириной. Наша форма (Табл. II, фиг. 12а) соответствует плиоценовой *E. bigibba* Kütz. (sensu Řeháková, 1969, tab. I2, fig. 17, 18) из Чехословакии и имеет также сходство с современной (?) *E. obesa* var. *wardii* Patrick (Patrick, Reimer, 1966: 202, tab. I2, fig. 4) из Алабамы (США), отличаясь от последней менее высокими бугорками и менее оттянутыми концами створки.

Пресноводная форма.

Местонахождение. Пикет 295: обр. 77-88, единично; линза, редко.

Время существования. Поздний миоцен.

*Eunotia faba* (Khr.) Grun. var. *faba* in Моисеева, 1971: 57, табл. 6, фиг. 10. - *Himantidium fabae* Ehrenberg, 1854, tab. 1, gr. 2, fig. 3. - *E. faba* (Khr.) Grunow in Van Heurck, 1880-1881, tab. 34, fig. 34; Hustedt, 1927-1966, Teil 2, Lief. 2: 301, fig. 767.

Створки 26-52 мкм дл., 5-7 мкм шир., почти прямые, линейно-бобовидные, слегка суженные к неоттянутым закругленным концам. Штрихи тонко линеолированное, 10-14 в 10 мкм, линеоли отчетливые у створок с редкими штрихами. Конечные узелки шва небольшие, расположенные на брюшном крае створки недалеко от ее концов. (Табл. III, фиг. 9).

П р и м е ч а н и е. Некоторые экземпляры отличаются от описания Ф.Хустедта (Hustedt, 1.с.) мелкими размерами или, независимо от размеров, более редкими штрихами. Кроме того, найдены единичные створки с еще более редкой штриховкой, свойственной неогеновым, преимущественно миоценовым, экземплярам Приморья (Моисеева, 1.с., табл. 6, фиг. 9), но отличаются от приморских крупными размерами (80-95 мкм дл., 11-12 мкм шир.; в середине 7-8, к концам 9-10 штрихов и 24-26 линеол в 10 мкм) и наличием очень частых штрихов за конечными узелками шва, почти параллельных продольной оси створки.

Пресноводная литоральная, ацидофильная, преимущественно северная разновидность, в массе в болотах.

Местонахождение. Пикет 295: обр.1, 27, 81, 82, 100, единично; линза, редко.

Время существования. Ранний-средний миоцен - ныне.

Eunotia faba var. intermedia (Krasske) Cleve-Euler, 1951-1955, Teil II: II2, fig. 449 i-k. - E. pectinalis var. minor f. intermedia Krasske, 1932: 101, tab.2, fig. 6; Hustedt, 1927-1966, Teil 2, Lief. 2: 298, fig. 763 f-e. - E. vanheurenkii var. intermedia (Krasske ex Hustedt) Patr. in Patrick, Reimer, 1966: 2II, tab.I3, fig.2.

Створки 13-26 мкм дл., 3-4 мкм шир., 15-18 штрихов в 10 мкм. (Табл. II, фиг. 11).

Примечание. Отличается от типовой обычно меньшими размерами; на брюшном крае створки, между ее серединой и концами, небольшие утолщения. Встречены также экземпляры, переходные к Eunotia veneris var. nipponica Skvortzow (1936b: 22, tab.I, fig.1).

Пресноводная разновидность, встречается в текучих и стоячих водах, а также среди мхов и на орошаемых скалах.

Местонахождение. Пикет 295: обр.1, 26, 27, 81, 98, единично - нередко; пикет 355: обр.25, 29, единично - редко.

Время существования. Средний-поздний олигоцен - ныне.

Eunotia fallax var. gracillima Krasske in Hustedt, 1930: I78, fig. 227.

Створка 35 мкм дл., 3 мкм шир., 12 штрихов в 10 мкм.

Примечание. Эта разновидность близка по форме створки и количеству штрихов к E. valida Hustedt (1927-1966, Teil 2, Lief. 2: 228, fig. 754c), отличаясь тонкими стенками створки и, большей частью, меньшими размерами.

Пресноводная разновидность, галофоб.

Местонахождение. Пикет 295: обр.2, 27, 100, единично; пикет 355: обр.28, единично.

Время существования. Поздний миоцен - ныне.

Eunotia flexuosa (Bréb.) Kützing (Табл. II, фиг. 15).

Eunotia formica var. minor Okuno, 1952: 3I, tab. 23, fig. 16, 17. - E. monoden var. asiatica Skvortzow, 1936a: I8, tab. I, fig. 25, 35, tab.2, fig.7, tab.3, fig. 1.

Створки 28-90 мкм дл., 5-7,5 мкм шир., прямые, линейные, иногда чуть выпуклые в середине брюшного края, с закругленными неоттянутыми концами. Штрихи тонко, но ясно линеолированные, 8-

11 (редко до 13) штрихов и 26–28 линеол в 10 мкм. (Табл. II, фиг. 14а, 14б).

П р и м е ч а н и е. Отличается от типовой разновидности *E. formica* Ehr. [Hustedt, 1930: 186, fig. 257] формой концов, а от японских экземпляров *E. formica* var. *minor* Okuno – большим диапазоном в размерах.

Пресноводная разновидность.

Местонахождение. Пикет 295: обр. 27, 81–101, единично – нередко; линза, нередко.

Время существования. Недоген – ныне.

*Eunotia monodon* Ehr. var. *monodon* in Patrick, Reimer, 1966 : 198. – *E. monodon* Ehrenberg (1841) 1843, cit. Patrick, Reimer, l.c.; Ehrenberg, 1854, tab. 2, gr. 2, fig. 26.

Створки 45–85 мкм дл., 9–12 мкм шир., чуть согнутые, с почти параллельными краями. Концы оттянутые, слегка головчатые только на спинном крае, на полюсах закругленные или клиновидно закругленные. Штрихи тонко линеолированные, 9–10, у концов 14–22 в 10 мкм. Конечные узелки шва большие, расположенные на брюшном крае створки и заходящие на ее концы.

П р и м е ч а н и е. По размерам створки и форме концов близки к типовой разновидности, по очертаниям створки – к var. *major* (W. Sm.) Hustedt (1927–1966, Teil 2, Ließ. 2: 306, fig. 772c). По мнению Ф. Хустедта, var. *major* связана переходными формами с типовой и, по-видимому, не является самостоятельным таксоном, что подтверждается нашими материалами.

Пресноводная разновидность, в водоемах всех типов, преимущественно в болотистых, галофоб, космополит.

Местонахождение. Пикет 250: обр. 6; пикет 295: обр. 1, 27, 81, 100; пикет 355: обр. 28; всюду единично.

Время существования. Ранний миоцен – ныне.

*Eunotia monodon* var. *bidens* (Greg.) W. Smith, 1853–1856, vol. 2: 14, tab. 80, fig. 286. – *Himantidium bidens* Gregory, 1854, Band 2, tab. 4, fig. 21.

Створки 47–100 мкм дл., 7–8 (на бугорках 9–10) мкм шир., чуть согнутые, на спинном крае с небольшой вогнутостью между двумя низкими, уплощенными бугорками. Концы оттянутые, слегка головчатые на спинном крае, на полюсах клиновидно закругленные или косо срезанные к спинному краю. Штрихи тонко линеолированные, 11–14, у концов 18–22 штриха и до 28–30 линеол в 10 мкм. (Табл. III, фиг. 1а–1в).

П р и м е ч а н и е. Отличается от современных экземпляров еще более плоскими бугорками.

Пресноводная разновидность, распространенная вместе с типовой.

Местонахождение. Пикет 295: обр. 84, 99, 100, единично; линза, нередко.

Время существования. Поздний миоцен - ныне.

Eunotia mülleri Hustedt, 1913, in Schmidt, 1874-1959, tab. 286, fig. 9-15.

Створки 37-38 мкм дл., 6-7 (на бугорках 7-8) мкм шир., с вогнутым брюшным и выпуклым четырехволнистым спинным краем; бугорки одинаковые, 1-2 мкм выс. Концы только на спинном крае оттянутые и слегка головчатые. Штрихи очень тонко линеолированные, 13-16, у концов 18-20 в 10 мкм. Конечные узелки шва крупные, расположенные на брюшном крае створки и заходящие на ее концы. (Табл. II, фиг. 13).

П р и м е ч а н и е. Вид, известный из тропиков Южной Америки, р. Демерара (Hustedt, l.c.). Описание вида в литературе неизвестно. Он очень близок к Eunotia crista galli Cleve (1891: 57, tab. 3, fig. 12), встречающемуся в водоемах Алтая, Карелии, Земли Франца Иосифа, Финляндии, Швеции.

Редкий пресноводный вид.

Местонахождение. Линза, единично.

Время существования. Поздний миоцен - ныне.

Eunotia nodulosa Meister, 1932: 35, tab. 12, fig. 88. - E. sudetica O. Müller ex parte in Шешукова-Порецкая, Короткевич, 1962: 167.

Створки 42-105 мкм дл., 6-9 мкм шир., полиморфные - от линейных с почти прямым брюшным и чуть выпуклым спинным краем до полуэллиптических со слегка вогнутым брюшным и выпуклым спинным краем. Концы довольно длинные, слегка оттянутые на спинном крае. Штрихи тонко линеолированные, неравномерно расположенные, на середине створки параллельные, к концам радиальные, 9-12 (на концах 18-20) штрихов и до 30-32 линеол в 10 мкм. Конечные узелки шва крупные, расположенные на брюшном крае створки и удаленные от ее концов. (Табл. III, фиг. 2а-2д).

П р и м е ч а н и е. Вид описан из тропиков - р. Сайгон, обл. Намбо (Кохинхина) во Вьетнаме (Meister, l.c.) по единственному экземпляру, вполне сходному с тымским (Табл. III, фиг. 2в). По нашим

материалам дается расширенный диагноз вида. Вероятно, он связан генетически с *Eunotia pectinalis* (Dillw.? Kätz.) Rabenh., отличаясь сильной изменчивостью формы створки, отсутствием расширения на спинном крае перед ее концами и иным положением конечных узелков. Наиболее короткие, полуэллиптические створки имеют некоторое сходство с *E. sudetica* O.Mill. и, по-видимому, являются переходными к этому виду.

Пресноводный тепловодный (?) вид.

Местонахождение. Пикет 295: обр.27, 77-101, нередко; пикет 355: обр.28, единично; линза, часто.

Время существования. Средний-поздний миоцен - ныне.

*Eunotia parallela* Ehrenberg (Табл. III, фиг. 5а, 5б).

*Eunotia polyglyphoides* Sheshukova in coll. in Монсеева, 1971: 60, табл.6, фиг.14-16; табл.19, фиг.8, 9. - *E.asiatica* She-shuk., *E. asiatica* f. *suifunensis* Moiss. in Шешукова-Порецкая, Короткевич, 1962: 167. - *E. polyglyphis* Grun. sensu Řeháková, 1969: 297, tab. 10, fig.6. - *E. polyglyphoides* var. *tuncaensis* Tschir. Черемисинова, 1971: 59, табл.3, фиг.2; 1973: 38, табл. 9, фиг.5, 6.

Створки 23-56 мкм дл., 6-10 мкм шир., полуланцетные со слегка вогнутыми или почти прямым брюшным и волнистым спинным краем, постепенно суженные к закругленным, иногда на спинном крае слегка оттянутым и чуть головчатым концам. Бугорки невисокие, иногда еле заметные, обычно 6 (реже 4-7) бугорков. Штрихи тонко линеолированные, параллельные, у концов чуть радиальные, не доходящие до брюшного края створки, 18-22 (редко 15-17) штриха и 26-30 линеол в 10 мкм, у концов штрихи чаще. Конечные узелки шва крупные, расположенные на брюшном крае створки (но не вдающиеся в него) и заходящие на ее концы. (Табл. III, фиг.6а, 6б; Табл. IV, фиг.10).

П р и м е ч а н и е. Этот вид имеет сходство с современной и известной в четвертичных отложениях *Eunotia polyglyphis* Grun. (Hastedt, 1927-1966, Teil.2, Lieff, 2: 294, fig. 761) и с *E. hexaglyphis* Ehr. var. *hexaglyphis* (Patrick, Reimer, 1966: 203, tab.12, fig.6), отличаясь более склонными бугорками, формой концов створки, иным расположением конечных узелков шва и у большинства экземпляров более частными штрихами.

Пресноводный вымерший вид, характерный для неогена Азиатской части СССР.

Местонахождение. Пикет 295: обр.26, 27, 81-101, единично - нередко; линза, редко.

Время существования. Миоцен - поздний плиоцен.

Eunotia praerupta var. bidens (W.Sm.) Grunow (Табл. III, фиг.

4).

Eunotia praerupta var. inflata Grunow (Табл. III, фиг. 7а, 7б).

Eunotia sudetica O.Müller, 1898: 12, tab. 3, fig. 25, 26.

Створки 25-46 мкм длины, 6-7,5 мкм ширины,

9-12 тонко линеолированных штрихов в 10 мкм  
(рис. 3).

Приимечание. Кроме типичных, найдены экземпляры, переходные к E. venenaria var. piperita Skv.

Пресноводный вид, встречается в водоемах разных типов.

Местонахождение. Пикет 295: обр. 1, 2, 27, 79, 81, 100; пикет 355: обр. 25, 28; линза; всюду единично.

Время существования. Поздний миоцен - ныне.

Eunotia tauntoniensis Hust. var. tauntoniensis in Patrick, Reimer, 1966: 191,

Eunotia sudetica O.Müll. x 1000.

tab. 10, fig. 8. - E. tauntonensis Hustedt, 1913, in Schmidt, 1874-1959, tab. 21, fig. 1-3; Веуег, 1926: 217. - E. prolongata She-shuk, nom. nud. in Шешукова-Порецкая, Короткевич, 1962: 167.

Створки 90-268 мкм длины, 7-14 мкм ширины, линейные, дугообразно согнутые, чуть расширенные на клиновидно закругленных концах. Штрихи тонко линеолированные, параллельные, более или менее равномерно расположенные, 9-11 (у концов 13) штрихов и 24-28 (редко 20) линеол в 10 мкм. Конечные узелки шва отчетливые, расположение на брюшном крае концов створки. На полусе заметна слизевая пора и, иногда, маленький шипик. (Табл. IV, фиг. 1а, 1б; табл. V, фиг. 12).

Приимечание. Створки в наших материалах отличаются от современных из Сев. Америки еще менее расширенными концами. У отдельных экземпляров конечные штрихи спинного и брюшного края не совпадают друг с другом.

Пресноводный вид, известный в довольно холодных водах с низким содержанием минеральных веществ. В СССР найден впервые.

Местонахождение. Пикет 295: обр. 81-84, 99, 101, единично; пикет 302: обр. 112, единично; линза, редко.



Рис. 3.

Время существования. Поздний миоцен - ныне.

Eunotia tenella (Grun.) Hustedt (Табл. II, фиг. 3а, 3б).

Eunotia valida Hustedt (Табл. IV, фиг. 2).

Eunotia veneris (Kütz.) O. Müller var. veneris. - E. veneris (Kütz.) O. Müller, 1896: 12, cit. Hustedt, 1927-1966, Teil 2, Lief. 2: 300; Schmidt, 1874-1959, tab. 294, fig. 13-15. = Himantidium veneris Kützing, 1844: 40, tab. 30, fig. 7.

Створки 24-40 мкм дл., 3,5-4 мкм шир., полуланцетные, с прямым брюшным и слабо выпуклым спинным краем и с узкими, чуть заостренными, неоттянутыми концами. Штрихов 18-20, у концов 24-26 в 10 мкм. Конечные узелки шва маленькие, расположенные на брюшном крае створки и удаленные от полосов. (Табл. IV, фиг. 3).

Примечание. Отличается от диагноза Ф. Хустедта (Hustedt, 1930: 182, fig. 245) частными штрихами (18-20 вместо 13-15 в 10 мкм) и менее заостренными концами.

Пресноводная разновидность, встречается в водоемах разных типов, также среди мхов.

Местонахождение. Пикет 295: обр. 81, 82; линза; единично.

Время существования. Миоцен - ныне.

Eunotia veneris var. nipponica Skvortzow, 1936 b: 22, tab. I, fig. 3I.

Створки 18-29 мкм дл., 3,5-4,5 мкм шир., полуэллиптические с прямым или слегка вогнутым брюшным и более или менее выпуклым спинным краем, немного суженные к заостренным неоттянутым концам, слегка загнутым к брюшному краю. Между серединой створки и ее концами два небольших утолщения брюшного края. Штрихов 14-20 в 10 мкм, у концов несколько чаще. Конечные узелки шва маленькие, слегка вдающиеся внутрь брюшного края створки, недалеко от полосов. (Табл. IV, фиг. 4а-4в).

Примечание. Эта разновидность очень близка к E. fabae var. intermedia (Krasske) A. Cl., отличается от нее лишь слегка загнутыми к брюшному краю концами.

Пресноводная разновидность.

Местонахождение. Пикет 295: обр. 81, 82, единично; линза, редко.

Время существования. Миоцен - ныне.

Desmogonium guianense Ehrenberg, 1854, tab. 34, gr. 5A, fig. 3,

tab.38, gr.13, fig.4; De Teni, 1891-1894: 680; Schmidt, 1874-1959, tab.293, fig.4-18; Шешукова-Порецкая, Моисеева, 1964: 102, табл.1, фиг.13, 14; табл.4, фиг.10-12. - E. neogena Sheshuk, nom. nac., in Шешукова-Порецкая, Короткевич, 1962: 167.

Створки 110-185 мкм дл., 5,5-9 (на концах до 11) мкм шир., почти прямые, линейные, чуть расширенные на брюшном крае и на закругленных концах. Штрихи параллельные, тонко линеолированные, 11-18 штрихов и 26-28 линеол в 10 мкм; близ краев створки - по одному ряду мелких зубчиков, 6-10 в 10 мкм. Осевое поле несколько отодвинуто от брюшного края, нитевидное, иногда заметное лишь по несовпадению штрихов. Конечные узелки круглые, отчетливые, расположение на брюшном крае створки, недалеко от полюсов. На полюсах по одной слизевой поре. (Табл. I<sup>У</sup>, фиг. 6; табл. I<sup>III</sup>, фиг. 11).

П р и м е ч а н и е. Вид, очень близкий к *Desmogonium rabenhorstianum* Grun. (Schmidt, 1874-1959, tab.293, fig. 1-3). Поэтому литературные данные о его распространении требуют уточнения.

Пресноводный, теплоловодный, редкий вид.

Местонахождение. Пикет 295: обр.81-84, 98-101, единично - редко; пикет 355: обр.28, единично; линза, единично.

Время существования. Миоцен - ниже.

*Actinella brasiliensis* var. cuneata Moiss., Моисеева, 1971: 54, табл.6, фиг.7. - *A. brasiliensis* Grun. in Шешукова-Порецкая, Короткевич, 1962: 167.

Створки 27-120 мкм дл., будавовидные, слегка согнутые, концы неоттянутые: апикальный - клиновидно закругленный, 4-6 мкм шир., базальный - узко закругленный, 2-3 мкм шир. Штрихи параллельные, к концам слегка наклонные, неясно линеолированы, около апикального конца 13-20, около базального 15-25 штрихов в 10 мкм. На вогнутом крае створки иногда вклиниваются короткие штрихи. Конечные узелки небольшие, заметные на обоих концах створки. (Табл. I<sup>У</sup>, фиг. 5а-5в).

П р и м е ч а н и е. Эта разновидность, близкая к *Actinella pliocenica* var. *temnissima* Héribaud (1903: 44, tab. 12, fig.15) из миоцена Франции, несколько отличается формой апикального конца.

Пресноводная редкая вымершая разновидность.

Местонахождение. Пикет 295: обр.27, 82, единично; линза, единично - редко.

Время существования. Ранний-средний миоцен - поздний плиоцен.

Порядок Моногарфалес

Achnanthes hungarica Grun.?

Створка 16 мкм дл., 6 мкм шир., 22 штриха в 10 мкм.

П р и м е ч а н и е. Найдена только верхняя створка, вполне соответствующая описанию и рисункам А.Грунова (Cleve, Grunow, 1880: 20; Van Heurck, 1880-1881, tab. 27, fig. I, 2) и Ф.Хустедта (Hustedt, 1927-1966, Teil 2, Lief. 3: 383, fig. 829); лишь осевое поле в середине створки узколанцетное.

Пресноводный вид.

Местонахождение. Пикет 295: обр. 84, единично.

Время существования. Поздний миоцен.

Порядок Diraphales

Frustulia rhomboides (Ehr.) De Toni var. rhomboides in Patrick, Reimer, 1966: 306, tab. 21, fig. 5. - F. rhomboides (Ehr.) De Toni, 1891-1894: 277; Schmidt, 1874-1959, tab. 369, fig. I, 2. - Navicula rhomboides Ehrenberg (1841) 1843, cit. Patrick, Reimer, l.c.

Створки 60 мкм дл., 10-12 мкм шир., попечечных и продольных штрихов 28-30 в 10 мкм.

П р и м е ч а н и е. По очертаниям и структуре створки соответствует описанию типичной формы (Hustedt, 1927-1966, Teil 2, Lief. 5: 728, fig. 1098), но отличается меньшими размерами. По размерам сходна с var. saxonica (Rabenh.) De Toni (Hustedt, l.c.: 729, fig. 1099), но отличается по форме и структуре створки.

Пресноводная разновидность, встречается чаще в северных и горных водоемах.

Местонахождение. Пикет 295: обр. 81, 94, единично - редко.

Время существования. Миоцен - ныне.

Navicula accomoda Hustedt?, 1950: 446, tab. 39, fig. I7, I8, cit. Hustedt, 1927-1966, Teil 3, Lief. 1: 64, fig. 1208.

Створка 22 мкм дл., 7 мкм шир., ланцетная с клиновидно оттянутыми концами. Штрихи слегка радиальные, 18 в 10 мкм, к концам чаше. Осевое поле узколинейное, среднее поле не выражено. Шов нитевидный с отчетливыми центральными порами. (Табл. IV, фиг. 8).

**П р и м е ч а н и е.** Найдена одна створка, таксономическое положение найденной формы требует подтверждения.

Пресноводная форма.

Местонахождение. Линза, единично.

Время существования. Поздний миоцен.

Navicula americana Ehrenberg (1841) 1843, cit. Hustedt,  
1927-1966, Teil 3, Liefl. 1 : 111, fig. 1246.

Створки 45-66 мкм дл., 14-16 мкм шир., эллиптические, со слегка вогнутой серединой. Штрихи радиальные, на середине параллельные, занимающие около 2/3 ширины створки, 18-20 штрихов в 10 мкм. Осевое поле очень узкое, линейное, среднее поле эллиптическое; оба поля четко ограничены от бесструктурной матовой части створки. Шов нитевидный с вагнутыми в одну сторону центральными порами.

Пресноводный вид.

Местонахождение. Пикет 295: обр. 27, редко.

Время существования. Миоцен - иные.

Navicula amphibola Cleve, 1891: 38; Schmidt, 1874-1959, tab.  
244, fig. 15; tab. 398, fig. 20-22. - N. (gastrum var.?) galikii  
Pantocsek, 1903-1905, Part 2 : 47, tab. 11, fig. 192.

Створки 38-49 мкм дл., 14-17 мкм шир., с оттянутыми клововидными, реже головчатыми, концами. Штрихи пунктирные, 7-9 штрихов и 18 точек в 10 мкм. (Табл. IV, фиг. 7).

Пресноводный холодноводный (?) вид.

Местонахождение. Пикет 295: обр. 27, 81, 100, 101, единично.

Время существования. Миоцен - иные.

Navicula clementis Grunow, 1882 : I44, tab. 30, fig. 52.

Створка 40 мкм дл., 18 мкм шир., широколанцетная с узким, чуть оттянутым сосочковидным концами. Штрихи более или менее гладкие, радиальные, на середине створки чередующиеся по длине; 11-12, у концов 15-16 штрихов в 10 мкм. Осевое поле очень узкое, почти не выражено; среднее поле небольшое, круглое, четко очерченное, с одной изолированной точкой. Шов нитевидный.

**П р и м е ч а н и е.** По форме и структуре створки соответствует описанию и изображению этого вида из позднего миоцена Чехословакии (Grunow, l.c.; Schmidt, 1874-1959, tab. 398, fig. 8, 9), отличаясь наличием одной (а не двух) изолированной точки. В современных водоемах и четвертичных отложениях Финляндии встречаются створки с 1-3 изолированными точками (Cleve-Euler, 1951-1955, Teil IV: 148, fig. 802 a-h).

Пресноводный, слабо солоноватоводный вид.

Местонахождение. Пикет 295: обр. 26, 99, единично.

Время существования. Поздний миоцен - ныне.

Navicula aff. coccconeiformis Greg.

Створки 16-21 мкм дл., 11-13 мкм шир., широко эллиптические, со слегка оттянутыми короткими и широкими усечёнными концами.

Штрихи очень тонкие, радиальные, на середине створки чередующиеся по длине, 25-30 в 10 мкм. Осевое поле линейно-ланцетное, переходящее в округлое среднее поле. Шов нитевидный, утолщающийся к раздвинутым центральным порам. (Табл. IV, фиг. 10).

Приимечание. Имеет сходство с современными Navicula coccconeiformis Gregory (1856: 6, tab. I, fig. 22; Hustedt, 1927-1966, Teil 3, Lief. I: 132, fig. 1266) и N. pusio Cleve (1894-1895, Part II: 9, tab. 2, fig. 3; Hustedt, l.c.: 134, fig. 1267; Левадная, 1975: 139, рис. 1, фиг. 6), отличаясь от обоих видов формой среднего поля и концов створки.

Пресноводная форма.

Местонахождение. Пикет 295: обр. 27, 98-101, единично.

Время существования. Поздний миоцен.

Navicula confervacea Grunow in Van Heurck, 1880-1881, tab. I4, fig. 36; Hustedt, 1927-1966, Teil 3, Lief. 2: 205, fig. I324 a-d. - N. confervacea var. peregrina Grunow, l.c., fig. 37. - N. confervacea var. hungarica Grunow, l.c., fig. 38. - N. confervacea var. nipponica Skvortzow, 1936b: 34, tab. 2, fig. 7, tab. 4, fig. 23.

Створки ланцетные, 14-24 мкм дл., 4,5-6 мкм шир. Штрихи короткие, радиальные, тонко пунктирные, 20-22 (реже до 26) в 10 мкм. Осевое и среднее поле широко ланцетное. Шов нитевидный с маленькими центральными порами (рис. 4).



Рис. 4.  
Navicula confervacea  
Grun. x1500.

324, tab. 7, fig. 6) синонимом типовой формы; это требует подтверждения на оригинальном материале, так как байкальская разно-

видность отличается узко ланцетным осевым и средним полем. Автором *N. confervacea* следует считать Грунова, так как *Diadesmis confervacea* Kützing (1844:109, tab.30, fig.8) характеризуется иной формой полей.

Пресноводный вид, индифферент (рН от 5 до 8,2), эвриоксионт, обитает часто в аэрофильных условиях, в массе - в сапрофитных условиях.

Местонахождение. Пикет 295: обр. 76-89, единично - нередко; линза, редко.

Время существования. Поздний миоцен - ныне.

*Navicula gastrum* (Ehr.) Kütz. var. *gastrum* in Patrick, Reimer, 1966: 518, tab. 49, fig. 14. - *N. zeilleri* Lauby, 1910: 198, tab. 10, fig. 3. - *N. gastrum* var. *minor* Krasske, 1932: 442, tab. 16, fig. 15, 16; Моисеева, 1971: 77, табл. 9, фиг. 9.

Створки 25-26 мкм дл., 11-12,5 мкм шир.; штрихи на середине чередуются по длине, 10-11, к концам 13 в 10 мкм. (Табл. 14, фиг. 11).

П р и м е ч а н и е. Выделенная по размерам и структуре из позднего плиоцена Западной Германии *Navicula gastrum* var. *minor* Krasske (1.с.) - не самостоятельный таксон, так как экземпляры из плиоцена Приморья (Моисеева, 1.с.) и определение нами являются переходными к типовой разновидности.

Пресноводно-солоноватоводный вид, индифферент, встречается преимущественно в водах с нейтральной и щелочной реакцией.

Местонахождение. Пикет 295: обр. 27-81; линза; всюду единично.

Время существования. Миоцен - ныне.

*Navicula gastrum* var. *signata* Hustadt, 1930, in Schmidt, 1874-1959, tab. 403, fig. 27, 28; 1927-1966, Teil 3, Lieff. 4: 799; Моисеева, 1971: 77, табл. 9, фиг. 8; табл. 20, фиг. 12. - *N. unipunctata* Skvortzow, 1937c: 334, tab. 8, fig. 10; Опред.пресн.водор.СССР, 1951 вып. 4: 326, рис. 119, фиг. 5.

Створки 25-37 мкм дл., 12-15 мкм шир.; штрихи тонко линеолированные, на середине чередующиеся по длине; 8-10 (к концам 13-14) штрихов и более 25 линеол в 10 мкм.

Центральное поле с одной изолированной точкой (рис.5).

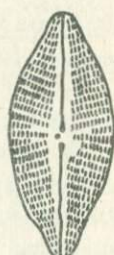


Рис.5.  
*Navicula gastrum* var.  
*signata* Hust. x 1000.

Пресноводная разновидность, встречается вместе с типовой, но значительно реже.

Местонахождение. Пикет 295: обр. 27, 81, 89, единично.

Время существования. Ранний миоцен - иные.

Navicula mutica Kütz. var. mutica in Patrick, Reimer, 1966: 454, tab. 45, fig. 2; Мисеева, 1971: 78, табл. 9, фиг. 14. - N. mutica Kützing, 1844: 93, tab. 3, fig. 32. - N. mutica f. typica Hustedt, 1927-1966, Teil 3, Lief. 3: 583, fig. I592 a-f.

Створки 15-28 мкм дл., 4,5-8 мкм шир., штрихов 16-18 в 10 мкм.

П р и м е ч а н и е. Одна из найденных створок отличается несколько более оттянутыми концами.

Пресноводно-солоноватоводная разновидность, часто также аэрофил.

Местонахождение. Пикет 295: обр. 81, единично.

Время существования. Миоцен - иные.

Navicula oblonga Kützing, 1844: 97, tab. 4, fig. 2I(?); Hustedt, 1930: 307, fig. 550.  
Створки 144-170 мкм дл., 20-22 мкм шир., штрихи линеолированные, 6-7 в 10 мкм.

П р и м е ч а н и е. На оригинальном рисунке Ф. Кютцинга (Kützing, l.o.) все штрихи радиальные, но у экземпляров в Exsicata Kützing (1833, Dec. 8, № 71, als Frustulia oblonga Kütz.) конечные штрихи конвергентные (Patrick, Reimer, 1966: 534).

Пресноводно-солоноватоводный вид.

Местонахождение. Пикет 295: обр. 99, 100, единично.

Время существования. Миоцен - иные.

Navicula pupula Kütz. f. pupula (Табл. IV, фиг. 9).

Navicula radiososa Kützing (Табл. IV, фиг. 12).

Navicula wittrockii (Lagerst.) Cleve-Euler, 1934: 86; Hustedt, 1927-1966, Teil 3, Lief. 1: I24, fig. I256. - Stauroneis wittrockii Lagerstedt, 1873: 38, tab. 2, fig. 15. - Navicula bacilliformis Grun. in Cleve, Grunow, 1880: 44, tab. 2, fig. 51. - N. wittrockii var. spitzbergensis Cleve-Euler, 1951-1955, Teil 3: I89, fig. 893a.

Створки 29-36 мкм дл., 5,5-8 мкм шир., линейные, с широко закругленными, иногда слегка головчатыми концами. Штрихи слегка радиальные, часто немного согнутые, на середине створки укороченные и разреженные, 16-18 (реде 20) в 10 мкм. Осевое поле узколинейное, среднее поле попаречно расширенное. Шов нитевидный, конечные щели не расширены. (Табл. IV, фиг. I3a, I3b).

Пресноводный вид.

Местонахождение. Пикет 295: обр.27, 81, 89, 94; пикет 355: обр.28; линза; всюду единично.

Время существования. Ранний миоцен - ныне.

*Stauroneis anceps* f. *gracilis* Rabenhorst, 1864, cit. Hustedt, 1927-1966, Teil 2, Lief.6:77I, fig. II20 b; Patrick, Reimer, 1966: 361, tab. 30, fig.2.

Створки 39-55 мкм дл., 7,5-9 мкм шир., ланцетные с узкими оттянутыми головчатыми концами. Штрихи на середине створки слегка радиальные, 22-28 в 10 мкм, к концам радиальные и более частные. Осевое поле узколинейное, среднее - узкое, поперечное, достигающее краев створки, иногда разделенное коротким штрихом. (Табл. У, фиг. 1а-1в).

При мечание. Эта форма близка к *Stauroneis anceps* var. *fossilis* Cleve (1891:40, tab.2, fig.18). В наших материалах встречаются переходные формы по очертаниям и концам створки.

Пресноводная форма, индифферент.

Местонахождение. Пикет 295: обр.81, 82, 84, 89, единично; пикет 355: обр.28, единично; линза, редко.

Время существования. Миоцен - ныне.

*Stauroneis kriegeri* Patrick, 1945, cit. Hustedt, 1927-1966, Teil 2, Lief.6: 780, fig. II26 a,b. - St. pygmaea Krieger, 1929: 272, tab. 2, fig. 28.

Створки 20-22 мкм дл., 4-5,5 мкм шир., штрихи слегка радиальные, 24-28 в 10 мкм.

Пресноводный вид, индифферент по отношению к pH.

Местонахождение. Пикет 295: обр.1, 27, 81, единично.

Время существования. Поздний миоцен - ныне.

*Stauroneis nobilis* var. *baconiana* (Stodd.) Reimer, 1961: 204, tab.2, fig. 1. - St. baconiana Stodder, 1859: 26, 27, cit. Reimer, l.c.

Створки 90-114 мкм дл., 11-17 шир.. ланцетные, постепенно суживающиеся к неоттянутым тупым закругленным концам. Штрихи радиальные, пунктирные, 18-22 в 10 мкм; точки образуют волнистые, у края более частные продольные ряды, 12-15 в 10 мкм. Осевое поле линейное, отчетливое, среднее поле довольно узкое поперечное, достигающее краев створки. Ветви шва довольно широкие, суживающиеся к середине и концам створки. (Табл. У, фиг. 14а).

**П р и м е ч а н и е.** Кроме типичных экземпляров этой разновидности встречены относительно более широко ланцетные створки 64-87 мкм дл., 15-16 мкм шир., переходные к *Stauroneis nobilis* f. *alabamae* (Heid.) Cleve-Euler, 1951-1955, Teil III: 212, Hustedt, 1927-1966, Teil 2, Lief. 6: 780, fig. II25 a,c,d), но отличающиеся неоттянутыми концами. (Табл. У, фиг. 14б, 14в).

Пресноводная редкая разновидность.

Местонахождение. Пикет 250: обр. 6, единично; пикет 295: обр. 27, 75-94, единично - нередко; линза, единично.

Время существования. Поздний миоцен - икн.

*Stauroneis phoenicenteron* f. lanceolata (Kütz.) Brun (Табл. У, фиг. 2).

*Pinnularia acrosphaeria* var. badeana (Hérib. et Perag.) Mills, 1933-1935, Part I: 1268. - *Navicula acrosphaeria* var. badeana Hérib. et Perag. in Héribaud, 1902: 21, tab. 7, fig. 2.

Створки 98-135 мкм дл., 14-15 мкм шир., линейные, несколько расширенные в середине и на закругленных концах. Ребра короткие, параллельные или в середине слегка радиальные, 10-12 в 10 мкм. Осевое поле широкое, линейное, в середине створки немного (обычно односторонне) расширенное, с матовыми продольными полосами вдоль шва. Шов простой, широкий; центральные поры сближенные, загнутые на одну сторону, конечные щели крупные. (Табл. У, фиг. 4а, 4б).

**П р и м е ч а н и е.** Отличается от типовой разновидности отсутствием пунктирочки на осевом поле.

Пресноводная вымершая разновидность.

Местонахождение. Линза, редко.

Время существования. Ранний миоцен - поздний плиоцен.

*Pinnularia acrosphaeria* var. fossilis Lauby, 1910: 237, tab. 10, fig. 11. - *P. acrosphaeria* var. laevis Cl. in Шешукова-Порецкая, Короткевич, 1962: 167. - *P. gibba* var. parva (Ehr.) Grunow sensu Reháková, 1965: 63, tab. 16, fig. 8.

Створки 68-72 мкм дл., 10-11 мкм шир., линейно-ланцетные, немного расширенные в середине и на закругленных концах. Ребра короткие, параллельные, в середине слегка радиальные, 10-11 в 10 мкм. Осевое поле широкое, ланцетное, бесструктурное. (Табл. У, фиг. 3).

**П р и м е ч а н и е.** Отличается от типовой разновидности формой створки и бесструктурным осевым полем.

Пресноводная вымершая разновидность.

Местонахождение. Пикет 295: обр. 1, 81, 82, 89, единично - часто.

Время существования. Миоцен - средний-поздний плиоцен.

Pinnularia braunii var. amphicephala (Mayer) Hustedt, 1930: 319, fig. 578.

Створка 47 мкм дл., 8 мкм шир., 10-11 ребер в 10 мкм. (Табл. У, фиг. 7).

Приимечание. По форме створки является переходной к типовой разновидности. Отличается от рисунка Ф.Хустедта (Hustedt, 1.c.) наличием коротких ребер по краям среднего поля, но соответствует его диагнозу.

Пресноводная разновидность.

Местонахождение. Линза, единично.

Время существования. Миоцен - ныне.

Pinnularia brebissonii (Kütz.) Rabenh. var. brebissonii in Patrick, Reimer, 1966: 614, tab. 58, fig. 6. - P. brebissonii (Kütz.) Rabenhorst, 1864: 222. - Navicula brebissonii Kützing, 1844: 93, tab. 3, fig. 49; tab. 30, fig. 39. - Pinnularia microstauron var. brebissonii (Kütz.) Hustedt, 1930: 321, fig. 584.

Створки 35-50 мкм дл., 7,5-11 мкм шир., ребер 8-10 в 10 мкм. (Табл. У, фиг. 5а, 5б).

Пресноводная разновидность.

Местонахождение. Пикет 295: обр. 27, 75-81, единично - редко; линза, единично.

Время существования. Миоцен - ныне.

Pinnularia brebissonii var. linearis O.Müller, 1898: 25, tab. I, fig. 25. - P. microstauron var. brebissonii f. linearis (O.Müll.) Hustedt, 1930: 322.

Створки 46-60 мкм дл., 6,5-12 мкм шир., ребер 9-12 в 10 мкм. Осевое поле линейно-ланцетное, среднее поле большое ромбическое, иногда не достигающее краев створки. Шов слегка волнистый. (Табл. У, фиг. 6).

Пресноводная разновидность, встречается вместе с типовой, но реже.

Местонахождение. Пикет 295: обр. 81, 84, 100, единично.

Время существования. Поздний миоцен - ныне.

Pinnularia cardinalis (Ehr.) W.Smith, 1853-1856, vol. I: 55, tab. 19, fig. 166. - Navicula cardinalis Schmidt, 1874-1859, tab. 44, fig. 1, 2. - Pinnularia cardinalis f. hankensis Skv., Скворцов, 1929: 26, табл. 5, фиг. 8.

Створки 166-210 мкм дл., 25-32 мкм шир., ребер 5-6,5 в 10 мкм.

П р и м е ч а н и е . В отличие от видового диагноза ( W. Smith, l.c.) отдельные экземпляры имеют 6 и 6,5 ребер в 10 мкм или створку несколько меньшей ширины и слегка суженную к концам.

Пресноводный, слегка солоноватоводный вид.

Местонахождение . Пикет 295: обр.27, 76-101, единично.

Время существования . Миоцен - ныне.

Pinnularia distinguenda Cleve ?, 1894-1895, Part II: 92; Диатомовый анализ, 1949-1950, кн.3: 227, табл.75, фиг.11.

Створки 100-168 мкм дл., 16-23 мкм шир., линейные, слегка суженные к закругленным неоттянутым концам. Ребра в середине створки радиальные, к концам параллельные и затем конвергентные, 6-8 в 10 мкм, пересекаются довольно широкою продольной полосой. Шов сложный. Осевое поле довольно широкое, равное примерно 1/4 ширины створки, среднее поле слегка односторонне расширенное.

П р и м е ч а н и е . В отличие от видового диагноза (Cleve, l.c.) у отдельных экземпляров наблюдается 6 или 8 ребер в 10 мкм и несколько меньшая ширина створки.

Местонахождение . Пикет 295: обр.81, 99, 100, 101, единично - редко.

Время существования . Поздний миоцен.

Pinnularia gibba (Ehr.) W.Sm. var. gibba f. gibba. - P. gibba (Ehr.) W. Smith, 1853-1856: 58, vol.I, tab.I9, fig.180; Cleve, 1894-1895, Part II: 82. - Stauroptera gibba Ehrenberg, 1843 (?), cit. Cleve, l.c.

Створки 70-107 мкм дл., 9-15 мкм шир., ребер 9-10 в 10 мкм. (Табл.У, фиг.10а-10в).

П р и м е ч а н и е . У большинства встречающихся экземпляров расширение средней части створки очень слабое, едва различимое. Отдельные экземпляры имеют на широком осевом поле неясные неравномерно расположенные пятна.

Пресноводная форма.

Местонахождение . Пикет 295: обр.27, 75-101, единично - часто; пикет 302: обр.112, единично.

Время существования . Ранний миоцен - ныне.

Pinnularia gibba var. linearis Hustedt, 1930: 327, fig. 604; Диатомовый анализ, 1949-1950, кн.3: 220, табл.68, фиг.13.

Створки 46-58 мкм дл., 7-10 мкм шир., ребер 9-12 в 10 мкм.  
(Табл. V, фиг. 8а-8в).

П р и м е ч а н и е. Встреченные экземпляры отличаются более узким средним полем и почти прямоугольной его формой.

Пресноводная разновидность.

Местонахождение. Пикет 295: обр. 27, 75-100, единично.

Время существования. Миоцен - ныне.

Pinnularia imperfecta Cleve-Buler, 1934: 59, fig. 88; 1951-  
1955, Teil IV: 29, fig. 1030 а, б.

Створка 24 мкм дл., 5 мкм шир., линейная, слегка суженная к неоттянутым закругленным концам. Ребра короткие, радиальные, к концам конвергентные, 14 в 10 мкм. Шов нитевидный. Осевое поле широко ланцетное, сливается со средним полем, достигающим краев створки. (Табл. V, фиг. 9).

Пресноводный вид, встречается преимущественно в северных водоемах.

Местонахождение. Линза, единично.

Время существования. Поздний миоцен - ныне.

Pinnularia intermedia (Lagerst.) Cleve, 1894-1895, Part II:  
80. - Navicula intermedia Lagerstedt, 1873: 23, tab. I, fig. 3.

Створки 20-24 мкм дл., 4-5 мкм шир., линейные, слегка суженные к закругленным концам. Ребра у середины створки слабо радиальные; на концах слабо конвергентные, 10-12 в 10 мкм. Шов нитевидный. Осевое поле линейное, среднее большое, достигающее краев створки. (Табл. V, фиг. 1).

П р и м е ч а н и е. Найденные створки по форме среднего поля наиболее сходны с экземплярами из почв Ленинградской области (Заяэр Л.М., 1956: 154, рис. 56).

Пресноводный вид, встречающийся в стоячих и текущих водах, но не часто.

Местонахождение. Линза, единично.

Время существования. Поздний миоцен - ныне.

Pinnularia interrupta f. minor Boege Petersen, 1928: 405, fig.  
25.

Створки 22-30 мкм дл., 5-6 мкм шир., линейные, иногда слегка суженные в середине, с клювовидными или слегка головчатыми концами. Ребра радиальные, на концах конвергентные, 11 в 10 мкм. Шов нитевидный. Осевое поле широко ланцетное, среднее поле неширокое, обычно достигающее краев створки. (Табл. V, фиг. 2а, 2б).

П р и м е ч а н и е. Встреченные экземпляры отличаются от диагноса формы (B.Petersen, l.c.) более грубыми ребрами и иногда средним полем, не достигающим краев створки.

Пресноводная форма ограниченного распространения.

Местонахождение. Пикет 295: обр. 81, 82, единично.

Время существования. Поздний миоцен - ныне.

Pinnularia major (Kütz.) Cl. var. major - P. major (Kütz.) Cleve, 1894-1895, Part II: 89; Hustedt, 1930: 331, fig. 614. - Navicula major Kützing, 1844: 97, tab. 4, fig. 19. - Pinnularia major var. transversa f. hankensis Skv., Скворцов, 1929: 25, табл. 4, фиг. 38.

Створки 134-200 мкм дл., 19-20 мкм шир., ребер 5-6 в 10 мкм.

П р и м е ч а н и е. Большинство встречающихся экземпляров в отличие от видового диагноса (Cleve, l.c.) имеет меньшую ширину створки.

Пресноводная разновидность.

Местонахождение. Пикет 295: обр. 27, 29, 101, единично.

Время существования. Ранний миоцен - ныне.

Pinnularia mesolepta var. angusta Cleve (Табл. VI, фиг. 3).

Pinnularia mesolepta var. stauroneiformis (Grun.) Cleve, 1894-1895, Part II: 76; Моисеева, 1971: 84, табл. 10, фиг. 6, табл. 21, фиг. 3. - Navicula mesolepta var. stauroneiformis Grunow, 1860: 520, tab. 4, fig. 22b.

Створки 36-45 мкм дл., 6-11 мкм шир., ребер 10-12 в 10 мкм. Среднее поле поперечно расширенное, достигающее краев створки. (Табл. VI, фиг. 4а-4в).

Пресноводная разновидность.

Местонахождение. Пикет 295: обр. 27, 81; линза; всюду единично.

Время существования. Поздний миоцен - ныне.

Pinnularia nobilis var. fossilis (Pant.) Cleve, 1894-1895, Part II: 93; Řeháková, 1969, tab. 6, fig. 9. - Navicula nobilis var. fossilis Pantocsek, 1886-1892, Teil 2: 51.

Створки 165-180 мкм дл., 24-26 мкм шир., линейные, слегка расширенные посередине. Ребра радиальные, к концам створки конвергентные, иногда на середине створки отсутствуют, 6-7 в 10 мкм. Продольная полоса, пересекающая ребра, широкая. Осевое поле линейное, более или менее широкое, среднее поле округло расширенное, при отсутствии срединных ребер достигающее краев створки. (Табл. VI, фиг. 6а, 6б).

**П р и м е ч а н и е.** Отличается от типовой разновидности меньшими размерами, менее грубыми ребрами и иногда их отсутствием в средней части створки.

Пресноводная вымершая разновидность.

Местонахождение. Линза, единично.

Время существования. Миоцен - четвертичный период.

Pinnularia obscura Krasske, 1932b, Band 72: II7, tab. 3, fig. 22; Patrick, Reimer, 1966: 617, tab. 58, fig. 9.

Створки 20-35 мкм дл., 4,5-7 мкм шир., линейные или узко эллиптические с неоттянутыми широко закругленными концами. Ребра радиальные, на концах створки конвергентные, 11-14 в 10 мкм. Шов нитевидный. Осевое поле очень узкое, среднее большое, доходящее до края створки. (Табл. У1, фиг. 5а, 5б).

Пресноводный, ограниченно распространенный вид, в водоемах разного типа, на влажных мхах.

Местонахождение. Пикет 295: обр. 81, 84, единично - редко.

Время существования. Поздний миоцен - ныне.

Pinnularia subcapitata Greg. var. subcapitata (Табл. У1, фиг. 10).

Pinnularia viridis (Nitzsch) Ehr. var. viridis in Patrick, Reimer, 1966: 639, tab. 64, fig. 5. - P. viridis (Nitzsch) Ehrenberg, 1838, cit. Cleve, 1894-1895, Part II: 91; Hustedt, 1930: 384, fig. 617а. - Bacillaria viridis Nitzsch, 1817, cit. Cleve, l.c.

Створки 92-108 мкм дл., 15-19 мкм шир., ребер 6-8 в 10 мкм. (Табл. У1, фиг. 7а, 7б).

**П р и м е ч а н и е.** Шов сложный, но детали его строения выражены не так четко, как у современных форм.

Пресноводная разновидность.

Местонахождение. Пикет 295: обр. 81-84, 100, 101, единично.

Время существования. Ранний миоцен - ныне.

Pinnularia viridis var. fallax Cleve, 1894-1895, Part II: 91; Опред. пресн.водор. СССР, 1951, вып. 4: 373, рис. 226, 5. - Navicula semicruciflora Schmidt, 1874-1959, tab. 43, fig. 24, tab. 44, fig. 48.

Створки 30-35 мкм дл., 7-8 мкм шир., ребер 11 в 10 мкм. (Табл. У1, фиг. 9а, 9б).

**П р и м е ч а н и е.** Отличается от диагноза (Cleve, l.c.) меньшими размерами створки.

Пресноводная разновидность.

Местонахождение. Пикет 295: обр. 81, 100; линеа; всюду единично.

Время существования. Ранний миоцен - ныне.

*Pinnularia viridis* var. intermedia Cleve (Табл. УП, фиг. 1а, 1б).

*Pinnularia viridis* var. sudetica (Hilse) Hustedt, 1930: 335, fig. 617b. - *P. viridis* var. commutata (Grun.) Cleve, 1894-1895, Part II: 91. - *P. sudetica* Hilse, cit. Cleve, l.c.

Створка 75 мкм дл., 11 мкм шир., ребер 10-11 в 10 мкм. (Табл. УП, фиг. 2).

Примечание. Против центрального узелка 2-3 средних ребра отсутствуют, поэтому среднее поле поперечно расширенное, достигающее краев створки.

Пресноводная разновидность.

Местонахождение. Линеа, единично.

Время существования. Ранний-средний миоцен - ныне.

*Pinnularia* sp. 1.

Створка 34 мкм дл., 6 мкм шир., слегка суженная к закругленным очень слабо оттянутым концам. Ребра радиальные, к концам створки параллельные, 12-14 в 10 мкм. Шов неширокий, суживающийся к концам створки, с короткими конечными щелями. Осьвое поле увальчатое, среднее - большое, поперечно расширенное до краев створки. По обеим сторонам центрального узелка имеется по одному продольному ряду из 5-6 неравномерно расположенных точек. (Табл. У1, фиг. 11).

Примечание. По наличию структур на среднем поле сближается с *Pinnularia stomatophora* Grun. (Hustedt, 1930: 327, fig. 605), но существенно отличается значительно меньшими размерами створки, иным характером структур на среднем поле и формой конечных щелей.

Пресноводный вид.

Местонахождение. Пикет 295: обр. 81, единично.

Время существования. Поздний миоцен.

*Pinnularia* sp. 2.

Створка 104 мкм дл., 19 мкм шир., широколинейная с очень слабо трехволнистыми краями, слегка суженная к закругленным неоттянутым концам. Ребра радиальные, к концам конвергентные, на отдельных участках створки слабо изогнутые, 8-10 в 10 мкм. Шов простой, довольно широкий, с чуть загнутыми в одну сторону центральными по-

рами и с большими конечными щелями. Осевое поле неширокое, среднее поле ромбическо-округлое. (Табл. У1, фиг. 8).

П р и м е ч а н и е. По общему характеру створки встречающийся экземпляр может быть сравним с *Pinnularia subsolaris* (Grun.) Cl. Hustedt (1930: 322, fig. 588) и с *P. viridis* var. *sudetica* (Hilse) Hustedt (1930: 355, fig. 617b), но от первого отличается значительно большими размерами створки, неоттянутыми концами и грубой структурой, а от второго — слабой трехволнистостью краев створки, простым швом и более грубыми ребрами. Несколько сходен он также с изображенной А. Шмидтом *Pinnularia* sp. (Schmidt, 1874—1959, tab. 45, fig. 28), но имеет иные очертания створки, форму ребер и более крупные размеры.

Пресноводный вид.

Местонахождение. Пикет 295: обр. 81, единично.

Время существования. Поздний миоцен.

Caleneis sp.

Створка 33 мкм дл., 8 мкм шир., линейная, слегка расширенная посередине, с очень слабо оттянутыми, широко закругленными концами. Штрихи параллельные, короткие, пересекенные у края створки тонкой продольной линией, 12 в 10 мкм. Осевое и среднее поля соединены в одно широкое ланцетное поле. Центральные поры шва слегка загнуты в одну сторону. (Табл. У1, фиг. 13).

П р и м е ч а н и е. По форме створки и характеру структуры несколько напоминает *Navicula acrosphaeria form* (Hustedt, 1910: 375, tab. 3, fig. 6), но существенно отличается значительно меньшими размерами, менее заметным расширением средней части створки и наличием характерной для рода *Caleneis* Cl. продольной линии, пересекающей штрихи. Из-за плохого положения створки в препарате неясно, имеется ли пунктировка на осевом и среднем полях.

Пресноводная форма.

Местонахождение. Линза, единично.

Время существования. Поздний миоцен.

Neidium affine var. minus Cleve (Табл. У1, фиг. 12).

Gomphonema aff. acuminatum Ehr.

Створка 43 мкм дл., 6 мкм шир., штрихов 13—14, к концам 20 в 10 мкм. (Табл. У1, фиг. 3).

П р и м е ч а н и е. Отличается от известных изображений этого вида наличием широкого одностороннего среднего поля с очень коротким, еще заметным штрихом.

Пресноводная форма.

Местонахождение. Пикет 295: обр. 81, 82; линза; всюду единично.

Время существования. Поздний миоцен.

Gomphonema angustatum (Kütz.) Rabenh. var. angustatum (Табл. УП, фиг. 4а, 4б).

Gomphonema gracile var. auritum A.Braun (Табл. УП, фиг. 5а, 5б).

Gomphonema gracile var. lanceolatum (Kütz.) Cleve (Табл. УП, фиг. 11а, 11б).

Gomphonema grovei M.Schmidt, 1899, in Schmidt, 1874-1959, tab. 214, fig. I3-I8.

Створка 64 мкм дл., 8 мкм шир., булавовидная, суженная у апикального конца и постепенно суживающаяся к оттянутому и слегка головчатому базальному концу. Штрихи очень короткие, параллельные, 11-12 в 10 мкм; некоторые из них оканчиваются 1-2 изолированными точками. Осевое и среднее поля соединены в одно широкое ланцетное поле.

П р и м е ч а н и е. Вид очень близкий к Gomphonema linguatum Hust., отличается крупными размерами и наличием изолированных точек.

Пресноводный редкий вид.

Местонахождение. Пикет 295: обр. 100, единично.

Время существования. Миоцен - плейстоцен.

Gomphonema intricatum var. dichotomum (Kütz.) Grunow (Табл. УП, фиг. 10).

Gomphonema intricatum var. pumilum Grunow in Van Heurck, 1880-1881, tab. 24, fig. 35, 36; Hustedt, 1930: 375, fig. 609.

Створка 25 мкм дл., 4 мкм шир., штрихов 12 в 10 мкм.

П р и м е ч а н и е. Разновидность, близкая к var. dichotomum (Kütz.) Grun.

Пресноводная разновидность.

Местонахождение. Пикет 295: обр. 84, единично.

Время существования. Средний миоцен - ныне.

Gomphonema lingulatum Hustedt, 1927: 166, tab.5, fig.5; Монсеева, 1971: 94, табл. 12, фиг. 7, 8, табл. 21, фиг. 9.

Створка 23 мкм дл., 8 мкм шир., булавовидная, резко суженная к неоттянутому, почти острому апикальному концу и постепенно суживающаяся к оттянутому и слегка головчатому базальному концу. Штри-

хи короткие, 13, у базального конца 15 в 10 мкм. Осевое и среднее поля соединены в одно широкое ланцетное поле. (Табл. УП, фиг. 7).

Пресноводный тепловодный вид.

Местонахождение. Пикет 295: обр. 101, единично.

Время существования. Миоцен - иные.

Gomphonema multipunctatum Sheshuk, sp. nova, - Gomphonema (?)  
sp. in Шешукова-Порецкая, Короткевич, 1962: 167.

Створка 52 мкм дл., 12 мкм шир., ланцетная, с оттянутыми, более или менее сосочковидными концами. Штрихи радиальные, на середине створки укороченные, 8 в 10 мкм, у концов больше. Осевое поле ланцетное, среднее - округлое, с одной стороны его 4-6 изолированных точек. Шов неширокий (рис. 6).

Пресноводный бентосный вид.

Тип - СССР, обнажение Белый Яр в уро-  
чище Компасский Бор на реке Тым (Западная  
Сибирь), пикет 295, образец позднемиоцено-  
вых озерных глин № 27, единично в комплек-  
се пресноводных, преимущественно бентосных  
диатомей, 1946, М.Г. Горбунов. Хранится на  
кафедре ботаники Ленинградского универси-  
тета под № 243.

П р и м е ч а н и е. От известных  
видов рода Gomphonema Ag. отличается  
структурой среднего поля.

Местонахождение. Пикет 295: обр. 27,  
единично.

Время существования. Поздний миоцен.

Gomphonema parvulum Kütz. var. parvulum in  
Моисеева, 1971: 95, табл. 12, фиг. 3; табл.  
21, фиг. 8. - G. parvulum Kützing, 1849,  
cit. Моисеева, 1.с.; Van Heurck, 1880-1881, tab. 25, fig. 9. -  
Sphenella (?) parvula Kützing, 1844: 83, tab. 30, fig. 63.

Створки 14-17 мкм дл., 5,5 мкм шир., штрихов 14-18, на кон-  
цах более 20 в 10 мкм. (Табл. УП, фиг. 8).

П р и м е ч а н и е. Найдены створки с изолированной точкой  
на среднем поле и без нее.

Пресноводная разновидность, индифферент.

Местонахождение. Пикет 295: обр. 27, 89 линза; всюду единич-  
но.

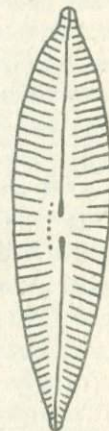


Рис. 6.  
Gomphonema multipunc-  
tatum Sheshuk sp.  
nova. x 1000.

Время существования. Ранний миоцен - ныне.

Gomphonema parvulum var. micropus (Kütz.) Cleve (Табл. УП, фиг. 9).

Gomphonema sibiricum Skv., in Skvortzow, Meyer, 1928: 26, tab. 2, fig. 90.

Створки 24-25 мкм дл., 3-3,5 мкм шир., узко линейно-ланцетные с сильно оттянутым и слегка головчатым апикальным концом. Штрихи почти параллельные, 22-24 в 10 мкм. Осевое и среднее поля соединены в одно узкое ланцетное поле без изолированной точки. Шов нитевидный. (Табл. УП, фиг. 6).

Примечание. Отличается от современной байкальской формы мелкими размерами и частными штрихами.

Редкий пресноводный холодноводный (?) вид.

Местонахождение. Линза, единично.

Время существования. Поздний миоцен - ныне.

Cymbella americana Schmidt, 1874-1959, tab. 9, fig. 15, 20; De Toni, 1891-1894: 369.

Створка 50 мкм дл., 12 мкм шир., штрихов на спинной стороне 8, на брюшной 11 в 10 мкм.

Примечание. Отличается от современной формы из Америки меньшими размерами.

Пресноводный редкий вид.

Местонахождение. Пикет 295: обр. 27, единично.

Время существования. Поздний миоцен - ныне.

Cymbella aspera (Ehr.) Cleve, 1891-1894, Part I: 175; Hustede, 1930: 364, fig. 679. - Coccoconema asperum Ehrenberg, 1840, cit. Cleve, 1.е.

Створки 65-120 мкм дл., 14-22 мкм шир., полуудлиненные, с выпуклым спинным и почти прямым на середине слегка выпуклым брюшным краем. Штрихи грубо пунктирные, на спинной стороне 7-11 штрихов и 10-14 точек, на брюшной 7-13 штрихов и 14-16 точек в 10 мкм. Осевое и среднее поля соединены в одно довольно широкое поле. Ветви шва широкие, суженные к середине и концам створки. (Табл. УП, фиг. 14а-14в).

Пресноводный вид.

Местонахождение. Пикет 295: обр. 26, 27, 81-101, единично - нередко; пикет 355: обр. 25, 28, единично - редко.

Время существования. Миоцен - ныне.

Cymbella ventricosa Kützing, 1844: 80, tab. 6, fig. 16.

Створки 15-37 мкм дл., 5-7 мкм шир., штрихов на спинной стороне 12-15, на брюшной - 16-17 в 10 мкм. (Табл. УП, фиг. 13а, 13б).

П р и м е ч а н и е. Вид, близкий к *C. gracilis* (Rabenh.)  
Cl. В наших материалах такие створки являются, по-видимому, переходными между ними.

Пресноводно-солоноватоводный вид, индифферент.

Местонахождение. Пикет 295: обр. 26, 79-84; пикет 355: обр. 24, 28, линза; всюду единично.

Время существования. Ранний миоцен - ныне.

#### Порядок *Aulonopera phales*

*Nitzschia tryblionella* var. *victoriae* Grunow in Cleve, Grunow, 1880: 69; Van Heurck, 1880-1881, tab. 57, fig. I4; Cleve-Buler, 1951-1955, Teil У: 58, fig. I430 f.

Створка 38 мкм дл., 16 мкм шир., ребер 9 в 10 мкм.

П р и м е ч а н и е. По количеству ребер отличается от описания Ф.Хустедта, но соответствует его оригинальному рисунку (Hustedt, 1930: 399, fig. 758).

Пресноводно-солоноватоводная разновидность, галофил (?).

Местонахождение. Пикет 295: обр. 26, единично.

Время существования. Средний миоцен - ныне.

*Genus* sp.

Панцирь с пояска прямоугольный с закругленными углами, 13 мкм дл., 4,5 мкм шир. Структура в виде двух продольных рядов очень коротких штрихов, 16 в 10 мкм. (Табл. УП, фиг. 12).

П р и м е ч а н и е. Таксономическое положение этой формы по единственному экземпляру установить нельзя.

Пресноводная (?) форма.

Местонахождение. Линза, единично.

Время существования. Поздний миоцен.

#### PHYTOLITHARIA Ehrenberg

К этой группе относятся иеолированные кремнеземные тельца разнообразной формы из эпидермиса высших растений, преимуществен-

но злаков, реже - хвощевых. Они встречаются в почвах, известны также в отложениях различного возраста. Разнообразие фитолитарии найдены в нижнепаннонских отложениях верхнего миоцена Венгрии [Найбс, Radócz, 1971; Найбс, 1973], в миоценовых отложениях Юго-Востока США (штаты Южная Каролина и Джорджия) и других стран, а также встречены в плейстоценовых морских глубоководных осадках экваториальной Атлантики; они могут быть использованы для реконструкции палеоклиматических условий [Abbott, 1975].

В наших материалах фитолитарии многочисленны и относятся к разным пара-родам. Среди них часто встречается *Lithomesites clepsammidium* (Ehr.) Deflandre (1963: 246, tab. I, fig. 8-10), хорошо отличимый по гантлевидной форме. Он известен из Южной Америки (Ehrenberg, 1854, tab. 38 A, gr. XV, fig. 19, als *Lithostylidium clepsammidium* Ehr.).

Эти растительные остатки требуют специального изучения с применением паратаксономической системы, которой придерживался Г. Дефландр (Deflandre l.c.).

#### У КАЗА ТЕЛЬ ЛИ ТЕРА ТУРЫ

- Беккер-Мигдисова Е.Э. Находки южной цикады в миоцене Западной Сибири. - В кн.: Вопросы геологии Азии. М., 1954, т. I, с. 799-805.
- Биостратиграфия мезозойских и третичных отложений Западной Сибири. - Труды СНИИГТИМС. Л., 1962, вып. 22. 591 с.
- Васильев В.Г. Геологическое строение северо-западной части Западно-Сибирской низменности и ее нефтегазоносность. М.; Л., 1946, с. 3-156.
- Воденичаров Д.Г., Черчиян - Каханян Т. Фосилни кремъчни водоросли от диатомити край с. Ботковци, Софийско. - Известия на Бот.ин-та Българ.Акад.на науките, 1962, кн. 10, с. 23-36.
- Воеженникова Т.Ф. Палеоальгологическая характеристика мезокайнозойских отложений Западно-Сибирской низменности. - Труды ин-та геологии и геофизики СО АН СССР. Новосибирск, 1960, вып. 1, с. 7-64.
- Головеникина Н.И. Материалы к изучению диатомовых водо-

- рослей из неогеновых отложений Камчатки и района г. Магадана. - Матер. по геол. и полев.ископ. Северо-Востока СССР. Магадан, 1964, № 7, с. 74-81.
- Горбунов М.Г. О новом местонахождении третичной флоры на р. Тым (Западная Сибирь). - Учен.зап. Томск.ун-та, 1947, № 7, с. 44-55.
- Горбунов М.Г. Миоценовые растения с реки Тым в Западной Сибири. - Автореф.канд.дис. Томск, 1951, 17 с.
- Горбунов М.Г. Новые виды *Juglans* из третичных отложений Западной Сибири. - Бот. журн., 1956, т. 41, № 5, с. 658-666.
- Горбунов М.Г. Третичные сосны Западной Сибири. - Бот. журн., 1958, т. 43, № 3, с. 337-352.
- Горбунов М.Г. Геологический очерк урочища Компасский Бор. - Учен.зап. Томск.ун-та, 1962а, № 44, с. 26-55.
- Горбунов М.Г. Очерк развития третичной флоры Западной Сибири (По данным изучения остатков листьев). - В кн.: Биостратиграфия мезоэойских и третичных отложений Западной Сибири. Т. I. Труды СНИИГИМС, 1962б, вып. 22, с. 312-327.
- Горбунов М.Г. Описание третичных растений Западной Сибири. - В кн.: Биостратиграфия мезоэойских и третичных отложений Западной Сибири. Т. I. Труды СНИИГИМС, 1962в, вып. 22, с. 327-360.
- Горбунов М.Г. К стратиграфии третичных отложений у с. Антропово на р. Тавде. - В кн.: Некоторые вопросы геологии Западной Сибири. Учен.зап. Томск.ун-та, 1967, № 63, с. 26-51.
- Горбунов М.Г. Об остатках рода *Hydrangea* во флоре Компасский Бор на реке Тым (Западная Сибирь). - Бот. журн., 1970, т. 55, № 6, с. 795-806.
- Горбунов М.Г. Магнолия из третичных отложений Западной Сибири. - Бот. журн., 1977, т. 62, № 8, с. 1115-1123.
- Горбунов М.Г. Лотос в миоценовой флоре Компасский Бор в Западной Сибири. - Геология и геофизика, 1978, № 2, с. 71-78.
- Горбунов М.Г., Пospelова Г.А. Палеомагнитные исследования нижнемиоценовых северных глин на р. Тым (Западная Сибирь). - Геология и геофизика. Новосибирск, 1966, № 4, с. 99-106.
- Горбунов М.Г., Шацкий С.Б. Стратиграфическое по-

- ложение третичной флоры Компасский Бор на реке Тым (Западная Сибирь). - Докл.АН СССР, 1954, т.97, № 6, с.1049-1052.
- Горецкий Г.И. Аллювий великих антропогеновых прарек Русской равнины. Прареки Камского бассейна. М., 1964. 413 с.
- Диатомовые водоросли СССР. Ископаемые и современные. Л., 1974, т. I. 403 с.
- Диатомовый анализ. Под ред. А.И. Прошкиной-Лавренко. Л., 1949-1950, кн.1-3.
- Добруцкая Н.А. Стратиграфия континентальных отложений Нижнего Приобья. - В кн.: Решения и труды Межведомств.совещ. по доработке и уточнению унифицированной и корреляционной схем Западно-Сибирской нижненности. Л., 1961, с.295-307.
- Дорофеев П.И. Палеокарнологические данные к стратиграфии третичных отложений Западной Сибири. - В кн.: Биостратиграфия мезозойских и третичных отложений Западной Сибири. Т. I. Труды СНИИГИМС, 1962а, вып.22, с.360-365.
- Дорофеев П.И. Мегаспоры, семена и плоды из третичных отложений Западной Сибири. Т. I. - Труды СНИИГИМС, 1962б, вып.22, с.77-79.
- Дорофеев П.И. Третичные флоры Западной Сибири. М., 1963. 346 с.
- Драганов С.Й., Ковачева Н.Г. Библиография и каталог на фосилните водоросли в България 1859-1971. София, 1973, с.1-64.
- Евсевьев Г.П., Караваев Н.А. Материалы к геологическому строению бассейна р.Надым. - В кн.: Очерки по геологии севера Западно-Сибирской нижненности. - Труды ВНИГРИ, 1960, вып. 158, с.158-177.
- ЕНДРИХИНСКИЙ А.С., ЧЕРЕМИСИНОВА Е.А. О нахождении миоценовых отложений на Витимском плоскогорье. - Докл.АН СССР, 1970, т.191, № 4, с.885-888.
- Иузе А.П. К истории диатомовой флоры оз.Ханка. - Труды ин-та географии АН СССР, 1952а, т.51, с.226-252.
- Иузе А.П. Диатомовые водоросли в отложениях четвертичного возраста. - Матер.по четвертич.периоду СССР, 1952б, вып.3, с.99-112.
- Иурковцева А.А. Ископаемые диатомовые Тункинской котловины (Прибайкалья). Палеоботанический сб. Вып.3. - Труды нефт. геол.-развед.ин-та, 1936, сер.А, вып.76, с.47-64.

З ау ер В.В. Миоценовые спорово-пыльцевые комплексы центральных и южных районов Западно-Сибирской низменности. - В кн.: Атлас миоценовых спорово-пыльцевых комплексов различных районов СССР. М., 1956а, с. 52-76.

З ау ер В.В. Краткое описание спор и пыльцы из миоценовых отложений центральных и южных районов Западно-Сибирской низменности. - В кн.: Атлас миоценовых спорово-пыльцевых комплексов различных районов СССР. М., 1956б, с. 221-246.

З ау ер Л.М. К поисанию водорослей растительных ассоциаций Ленинградской области. - Труды Бот.ин-та им. В.Л. Комарова АН СССР, 1956, сер. II, вып. 10, с. 33-174.

З ау ер Л.М. Некоторые данные о диатомовых водорослях острова Хейса (Земля Франца Иосифа). - Вестн. Ленингр.ун-та, 1963, № 21, с. 27-37.

К адкина Э.Л., П ирумова Л.Г., П оляков С.С. Новые данные о диатомовой флоре новомихайловского и туртасского горизонтов. - Сб. статей по геол. и инженерн. геол. М., 1967, вып. 6, с. 5-10.

К овиренко Т.Ф., Ш ешукова - П орецкая В.С. Материалы к изучению диатомовых водорослей неогена южных Курильских островов. - Вестн. Ленингр.ун-та, 1967, № 21, с. 38-104.

К р о т о в А.И., Ш ибкова К.Г. Комплексы диатомовых и кремневых хгтиковых водорослей в верхнемеловых, палеогеновых и неогеновых отложениях восточного склона Урала и Зауралья. - Матер. по геол. и полезн. ископ. Урала. Л., 1961, вып. 9, с. 191-249.

Л арищев А.А. Об образовании одного третичного угля из области ниэсовий р.Оби. - Химия твердого топлива, 1937, № 3, с. 201-207.

Л ьвад на я Г.Д. К флоре диатомовых водорослей реки Енисей. - Новости систематики нынешних растений. Л., 1975, т. I2, с. I35-I48.

Л огинова Л.П. О диатомовой флоре верхнемиоценовых - нижнеплиоценовых отложений Белорусского Понеманья. - Докл. АН БССР, 1978, т. 22, № 7, с. 652-654.

Л упик ина Е.Г. Новые и интересные диатомовые водоросли из эрмановских отложений Западной Камчатки. - Новости систематики нынешних растений. М.-Л., 1965, с. 15-22.

Л упик ина Е.Г. К характеристике плиоценовой и плейстоце-

новой диатомовой флоры Тигильского района Западной Камчатки. - В кн.: Ископаемые диатомовые водоросли СССР. М., 1968, с. 41-44.

Макарова И.В., Коэнренко Т.Ф. Диатомовые водоросли из морских миоценовых отложений юга Европейской части СССР и их значение для стратиграфии. М.-Л., 1966, 69 с.

Милановский Е.Е. Новые данные о стратиграфии неогеновых и четвертичных отложений оз. Севан. - Изв. АН СССР, сер. геол., 1952, № 4, с. 110-119.

Моисеева А.И. Неогеновые пресноводные диатомовые водоросли Приморского края. - Автореф. канд. дис. Л., 1966. 13 с.

Моисеева А.И. О биостратиграфическом и палеогеографическом значении пресноводных неогеновых диатомовых водорослей. - В кн.: Биостратиграфический соб. Вып. 3. - Труды ВСЕГЕИ, 1967, нов. сер., т. 129, с. 3-11.

Моисеева А.И. Неогеновая континентальная флора диатомей Приморского края. - В кн.: Ископаемые диатомовые водоросли СССР. М., 1968, с. 66-70.

Моисеева А.И. Атлас неогеновых диатомовых водорослей Приморского края. - Труды ВСЕГЕИ, 1971, нов. сер., т. 171. 151 с.

Никитин В.П. О стратиграфическом положении третичной флоры Компасский Бор на р. Тым. - В кн.: Некоторые вопросы геологии Западной Сибири. Учен. зап. Томск. ун-та, 1967, № 63, с. 78-93.

Никитин В.П., Горбунов М.Г. Материалы к познанию ископаемой флоры из долины реки Тым в Западной Сибири. - В кн.: Доклады палеоботанической конференции. Томск, 1962, с. 70-78.

Оксирюк О.П. Диатомовый анализ бурых углей из Виноградовского района Закарпатской области. - Украин. бот. журн., 1960, т. 17, № 1, с. 76-84.

Определитель пресноводных водорослей СССР. Под ред. А.И. Прошкиной-Лавренко. М., 1951, вып. 4. 619 с.

Пирумова Л.Г. Диатомовые водоросли неоген-плейстоценовых отложений центральных районов Западной Сибири. - Автореф. канд. дис. М., 1970. 16 с.

Порецкий В.С. Ископаемые диатомовые водоросли Кисатиби Ахалцихского района Грузинской ССР. - В кн.: Диатомовый сборник. Л., 1953, с. 13-54.

- Порецкий В.С., Шешукова В.С. Диатомовые Телецкого озера и связанных с ним рек. - В кн.: Диатомовый сборник. Л., 1953, с.107-172.
- Рубина Н.В. Новые виды рода *Melosira* из тургасской свиты Западно-Сибирской низменности. - Труды СНИИГИМС, 1962, вып. 23, с.104-105.
- Рубина Н.В. Диатомовые водоросли континентальных отложений (тургасской свиты) Западно-Сибирской низменности. - В кн.: Тезисы докладов к Первому Всесоюзному палеоалльгологическому совещанию. Новосибирск, 1965, с.48-50.
- Рубина Н.В. Новые виды рода *Coscinodiscus* Ehr. из тургасской свиты Западно-Сибирской низменности. - В кн.: Новости систематики наших растений. М.;Л., 1967, с.66-68.
- Рубина Н.В. Комплексы диатомей в отложениях тургасской свиты Западно-Сибирской низменности. - В кн.: Исследование диатомовых водорослей СССР. М., 1968, с.61-66.
- Рубина Н.В. Диатомовые водоросли континентальных олигоценовых и миоценовых отложений Западной Сибири и их стратиграфическое и палеогеографическое значение. - Автореф. канд. дис. Томск, 1969, 26 с.
- Рубина Н.В. Диатомовые водоросли континентальных третичных отложений Западной Сибири и их стратиграфическое значение. - Труды Тюменск. индустр. ин-та, 1970, вып.1, с.93-96.
- Рубина Н.В. Методы дробного биостратиграфического расчленения и корреляции континентальных толщ на примере изучения диатомовых водорослей в некрасовской серии Западно-Сибирской низменности. - Труды Тюменск. индустр. ин-та, 1973а, вып. 17, с.130-141.
- Рубина Н.В. Новые разновидности пресноводных диатомовых водорослей из некрасовской серии Западно-Сибирской низменности. - Труды Тюменск. индустр. ин-та., 1973б, вып. I7, с.142-152.
- Рубина Н.В. Представители рода *Eunotia* Ehr. из континентальных олигоценовых и миоценовых отложений Западно-Сибирской низменности. - Труды Тюменск. индустр. ин-та, 1973в, вып. 17, с.179-184.
- Скворцов Б.В. Материалы по изучению водорослей Приморской губернии. Диатомовые водоросли озера Ханка. - Зап. Южно-Уссур. отд. Гос. рус. геогр. о-ва, 1929, вып.3, с.3-66.

- Ушакова М.Г., Ушко К.А. Диатомовая флора акчагыльских и алжеронских отложений Западной Туркмении. - Докл.АН СССР, 1971, т.201, № 2, с.435-438.
- Хурсович Г.К. Первые данные о неогеновой диатомовой фло-ре Белорусского Лонеманья. - В кн.: О границе между неоге-ном и антропогеном. Минск, 1977, с.197-219.
- Хурсович Г.К. Новые диатомовые исследования плиоценовых отложений Палео-Немана. - Докл.АН БССР, 1978, т.22, № 5, с.447-450.
- Черемисинова Е.А. Новые диатомовные из миоцена Запад-ной Сибири. - Бот.матер.отд.споровых раст. БИН АН СССР, 1955, т.10, с.104-106.
- Черемисинова Е.А. *Melosira miocenica* sp. nova из миоцена Западной Сибири. - Бот.матер.отд.споровых раст. БИН АН СССР, 1956, т.11, с.60-61.
- Черемисинова Е.А. Новые данные о диатомеях неогено-вых отложений Прибайкалья. - В кн.: Ископаемые диатомовые водоросли СССР. М., 1968, с.71-74.
- Черемисинова Е.А. Новые и интересные виды диатомовых водорослей из неогена Прибайкалья. - Новости систематики низших растений. М.;Л., 1971, т.8, с.52-66.
- Черемисинова Е.А. Диатомовая флора неогеновых отло-жений Прибайкалья. Новосибирск, 1973, 68 с.
- Чернова О.А. Лицинка поденки из неогена Западной Сибири. - Зоол.журн.СССР, 1962, т.41, вып.6, с.943-945.
- Шешукова - Порецкая В.С. Неогеновые морские диато-мовные водоросли Сахалина и Камчатки. Л., 1967, 432 с.
- Шешукова - Порецкая В.С., Короткевич О.С. Неогеновая диатомовая флора с реки Тым (Западная Сибирь). - В кн.: Доклады палеоботанической конференции. Томск, 1962, с.165-169.
- Шешукова - Порецкая В.С., Моисеева А.И. Новые и интересные пресноводные диатомовные водоросли из нео-гена Западной Сибири и Дальнего Востока. - Новости систематики низших растений. М.;Л., 1964, с.37-43.
- Abbott W.H. Miocene opal phytoliths and their climatic impli- cations. - Geol. Notes Div. Geol. State Develop. Board, Co- lumbia, S.C., 1975, vol. 19, N 2, p. 43-47.

Abbott W.H., Van Landingham S.L. Micropaleontology and paleoecology of miocene non-marine diatoms from the Harper District, Malheur County, Oregon. - *Nova Hedwigia* XXIII, 1972, p. 847-906.

Andrews G.W. Late miocene nonmarine Diatoms from the Kilgore Area, Cherry County, Nebraska. - *Geol. Surv. Profess. Paper* 683-A, 1970, 24 p.

Andrews G.W. Early miocene nonmarine Diatoms from the Pine Ridge Area, Sioux County, Nebraska. - *Geol. Surv. Profess. Paper* 683-E, 1971, 18 p.

Boyer G.S. Synopsis of North American Diatomaceae. - *Proceed. Akad. Nat. Sci. Philadelphia*, 1926-1927, vol. 78-79, p. 3-228.

Cleve P.T. The diatoms of Finland. - *Acta Soc. pro fauna et flora Fennica*, 1891, Bd. 8, N 2, p. I-68.

Cleve P.T. Synopsis of the Naviculoid diatoms. Part I-II. - *Kgl. Svensk. Vetensk. Akad. Handl.*, 1894, Bd. 26, N 2, p. I-I94; 1895, Bd. 27, N 3, p. I-2I9.

Cleve P.T., Grunow A. Beiträge zur Kenntniss der arctischen Diatomeen. - *Kgl. Svensk. Vetensk. Akad. Handl.*, 1880, Bd. 17, N 2, S.3-12I.

Cleve-Euler A. The Diatoms of the Finnish Lapland. - *Soc. Sci. Fenn. Comm. Biel.*, 1934, vol. 4, N 14, p. I-I56.

Cleve-Euler A. Die Diatomeen von Schweden und Finnland. - *Kgl. Svensk. Vetensk. Akad. Handl. Ser. 4*: 1951, Bd. 2, N 1, S.3-I63; 1952, Bd. 3, N 3, S.3-I53; 1953, Bd. 4, N 1, S.3-I58; Bd. 4, N 5, S.3-255; 1955, Bd. 5, N 4, S.3-232.

Deflandre G. Les Phytolithaires (Ehrenberg). - *Protoplasma*, Wien, 1963, Bd. 57, H. I=4, S.234-259.

De Tonni J.B. Sylloge Algarum, Patavii, 1891-1894, vol. 2, Bacillarieae, 1556 p.

Ehrenberg C.G. Mikrogeologie. Leipzig, 1854, Bd. 2, Atlas, S.1-3I.

Frenguelli J. Diatomeas del Plioceno superior de las Guayquerias de San Carlos (Provincia de Mendoza). - *Rev. Museo de La Plata*, 1934, t. 34, p. 339-372.

Gregory W. Additional observations on the diatomaceous deposit of Mull. - *Quart. J. Microscop. Sci.*, 1854, vol. 2, p. 24-28.

Gregory W. Notice of some new species of British freshwater Diatomaceae. - Quart. J. Microscop. Sci., 1856, vol.4, p. I-14.

Grunow A. Über neue oder ungenügend bekannte Arten und Gattungen von Diatomaceen. - Verhandl. zool.-bot. Ges. Wien, 1860, Bd. 10, S. 503-582.

Grunow A. Die österreichischen Diatomeen nebst Anschluss einiger neuen Arten und andern Lokalitäten. - Verhandl. zool.-bot. Ges. Wien, 1862, Bd. 12, S. 315-472, 545-588.

Grunow A. Beiträge zur Kenntniss der fossilen Diatomeen Österreich - Ungarns. - Beitr. Paläontologie Öster.-Ung. und Orients. Wien, 1882, Bd. 2, S. 136-159.

Hajós M. A Szurdokpüspöki kovaföldrétegek algái. - Földtani közlöny, Budapest, 1959, köt. 89, füzet 2, p. 155-169.

Hajós M. Die Diatomeen der miozänen Ablagerungen des Mátra-verlandes. - Geolog. Hungarica, ser. Palaeontol. Budapest, 1968, N 37, S. I-40I.

Hajós M. Diatomées du pannonien inférieur provenant du bassin néogène de Csákvar. Partie I. - Acta Bot. Akad. Sci. Hungar., 1971, t. 17 (1-2), p. 59-82.

Hajós M. Diatomées du pannonien inférieur provenant du bassin néogène de Csákvar. Partie II. - Acta Bot. Akad. Sci. Hungar., 1973, t. 18 (1-2), p. 95-II8.

Hajós M., Pálfa L. J. Magyaregregy diatomás földékeinek életföldtani vizsgálata. - Mag. állami Földt. Intéz. Évi Jel. az 1960. Évről. Budapest, 1963, p. 89-II9.

Hajós M., Rádócz G. Diatomeás rétegek a bükkelji alsó-pannobil. - Mag. állami Földt. Intéz. Évi Jel. az 1969. Évről. Budapest, 1971, p. 271-297.

Hamor G., Hajós M., Rávászné B. L. AK-i Mezők miocénjének hasznosítható anyagai. - Mag. állami Földt. Intéz. Évi Jel. az 1963. Évről. Budapest, 1963, p. 53-68.

Hanna G. D. Pliocene Diatoms of Wallace County, Kansas. - Sci. Bull. Univ. Kansas, 1932, vol. 20, N 21, p. 369-394.

Héribaud J. Les diatomées d'Auvergne. Clermont-Ferrand, 1893, 255 p.

- Héribaud J. Les diatomées fossiles d'Auvergne. Paris, 1902, 79 p.
- Héribaud J. Les diatomées fossiles d'Auvergne. Second mémoire. Clermont-Ferrand, 1903, 166 p.
- Héribaud J. Les diatomées fossiles d'Auvergne. Troisième mémoire. Paris, 1908, 75 p.
- Hustedt F. Beitrag zur Algenflora von Afrika. Bacillariales aus Dahome. - Arch. Hydrobiol. und Planktenkunde, 1910, Bd. 5, S. 365-382.
- Hustedt F. Die Bacillariaceen Gattung *Tetracyclus*. - Abhandl. Naturwiss. Ver. Bremen, 1914, Bd. 23, S. 90-107.
- Hustedt F. Bacillariales aus dem Aokikosee in Japan. - Arch. Hydrobiol., 1927, Bd. 18, S. 155-172.
- Hustedt F. Die Kieselalgen. Teil I-3. - In: Rabenhorst's Kryptogamen-Flora Deutschland, Österreichs und der Schweiz. Leipzig, Bd. VII. 1927-1966: Teil 1, 1927-1930, S. I-925; Teil 2, 1931-1959, S. I-845; Teil 3, 1961-1966, S. I-816.
- Hustedt F. Bacillariephyta (Diatomeae). - In: Die Süßwasser-Flora Mitteleuropas. Jena, 1930, Heft 10, 466 S.
- Hustedt F. Die Diatomeenflora norddeutscher Seen mit besonderer Berücksichtigung des holsteinischen Seengebietes. V-VII. Seen in Mecklenburg, Lauenburg und Nordostdeutschland. - Arch. Hydrobiol., 1950, Bd. 43, S. 329-458.
- Krasske G. Diatomeen aus dem Oberpliocän von Willershausen. - Arch. Hydrobiol., 1932a, Bd. 24, S. 431-449.
- Krasske G. Beiträge zur Kenntnis der Diatomeenflora der Alpen. - "Hedwigia", 1932b, Bd. 72, S. 92-134.
- Krasske G. Die Diatomeenflora der hessischen Kieselgurlagen. - Sitzungsber. Heidelb. Akad. Wiss., math.-naturwiss. Kl., Abhandl. 5. Beitr. zur Oberrheinischen Fossilienkatalog, 1934, N 9, S. 3-27.
- Krestel S. Contributiuni la studiul Diatomeelor de la Filia, bazimul Baraolt.-Anal. Univ. C.I. Parhon, 1960, ser. Stiint. Nat. Geol.-Geogr., N 23, p. 137-152.
- Krestel S. Contribuții la studiul Diatomeelor din Oligo-

- cemul de la Bustenari. - Anal. Univ. C.I. Parhon, 1961, ser. Stiint. Nat. Geol.-Geogr., N 27, p.91-100.
- Krieg M. Algologisch-monographische Untersuchungen über das Hochmoor am Diebelsee. - Beitr. zur Naturdenkmalpflege, 1929, Bd. I3, S.233-300.
- Kützing F. Die Kieselschaligen Bacillarien oder Diatomeen. Nordhausen, 1844, 152 S.
- Kützing F. Species Algarum. Lipsiae, 1849, 922 S.
- Lagerstest N. Sötvattens-Diatomaceer från Spetsbergen och Beeren Eiland. - Kgl. Svensk. Vetensk. Akad. Handl., 1873, Bd. I, N 4, p.1-52.
- Lauby M.A. Recherches paléophytologiques dans le Massif Central. - Bull. serv. carte géol. France et topograph. souterraines, 1910, vol.20, N 125, 398 p.
- Lehmank K. Miocene diatoms from the Black Canyon Area. - In: Dibblee T.W.Jr. Geology of the Fremont Peak and Opal Mountain Quadrangles California. Bull. Calif. Div. Mines Geol., 1968, N 188, p.35-36.
- Lehmank K., Andrews G.W. Late Eocene nonmarine diatoms from the Beaver Divide Area Fremont County, Wyoming. - Geol. Surv. Profess. Paper 593-E, 1968, 31 p.
- Mann A. The fossil diatom deposit at Spokane. - In: Knowlton F.H. Flora of the Latan formation of Spokane, Washington, and Coeur D'Alene, Idaho. Geol. Surv. Profess. Paper 140-B, 1926, p.51-55.
- Mills F.W. An index to the genera and species of the Diatomaceae and their synonyms. London, 1933-1935, Part I-XXI, 1726 p.
- Müller O. Bacillariales aus den Hochseen des Riesengebirges. Forsch. Ber. Plön, 1898, Teil 6, S. 1-40.
- Okuno H. Atlas of fossil diatoms from Japanese diatomite deposits. Kyoto, 1952, 50 p.
- Okuno H. Diatomaceous earth in Setana-Cho, Hokkaido. - J. Japan. Bot., 1958, vol. 33, N 3, p. 70-76, N 7, p.193-196; 1959, vol.34, N 1, p.25-29, N 9, p.272-277, N 12, p.353-360.

- P a l i k P. New and interesting diatoms remainders in the Pannonian yellow sand of Bogacs. - Rev. algol., 1959, n.ser., t.4, N 3, p.147-151.
- P a n t o c s e k J. Beiträge zur Kenntniß der fossilen Bacillarien Ungarns. Nagy-Tapolcsany, 1886, Teil 1, S.1-74; 1889, Teil 2, S.1-123; 1892, Teil 3 (переведено: 1903-1905, Berlin-Pozsony, Teil 1, S.1-76; Teil 2, S.1-122; Teil 3, S.1-118).
- P a t r i c k R., R e i m e r C.W. The diatoms of the United States. - In: Monogr. Acad. Nat. Sci. Philadelphia, Pennsylvania, 1966, N 13. 688 p.
- P e r a g a l l o M. Diatomées du Pont-du-Gail près Saint-Clément (Cantal). - Bull. Soc. Géol. France, 1920, ser.4,t.20, p.88-96.
- P e t e r s e n J.B. The aerial algae of Iceland. - Bot. of Iceland, 1928, vol.2, part 2(8), p.325-447.
- P e t e r s e n J.B. Algae collected by Eric Hultén on the Swedish Kamtchatka expedition 1920-22, especially from the springs. København, Biol. Meddelelser, 1946, Bind 20, N 1, p.1-122.
- R a b e n h o r s t L. Flora Europaea algarum aquae dulcis et submarine. Leipzig, 1864. 359 p.
- R e h á k o v á Z. Fossile Diatomeen der südböhmischen Beckenablagerungen. - Rozpr. Ústředn. ústavu geol., 1965, svazek. 31, S.1-96.
- R e h á k o v á Z. Changements qualitatifs des associations de Diatomées dans les sédiments tertiaires et quaternaires de Tchécoslovaquie. - Études sur la Quaternaire dans le Monde VIII Congrès NOQUA. Paris, 1969, p.275-311.
- R e i m e r C.W. New and variable taxa of the diatom genera Anomoeoneis Pfitz. and Stauroneis Ehr. (Bacillariophyta) from the United States. - Proceed. Akad. Nat. Sci. Philadelphia, 1961, vol.113, p.187-214.
- S c h m i d t A. Atlas der Diatomaceenkunde. Aschersleben-Leipzig, 1874-1959.
- S k v o r t z o w B.W. The neogene diatoms from the Ampen District, S.Kankyo-Do, Eastern coast of Tyōsen. - Bull. Geol. Surv. of Tyōsen, 1936a, vol.12, p.1-37.
- S k v o r t z o w B.W. Diatoms from Kizaki Lake, Honshu Island, Nippon. - Philipp. J.Sci., 1936b, vol.61, N 1, p.9-75.
- S k v o r t z o w B.W. Neogene diatoms from Wamura, Nagano Prefecture, Central Nippon. - Memoirs of the Coll. of Sci., 1937a, ser.B, vol.12, N 2, p.137-156.
- S k v o r t z o w B.W. Neogene diatoms from Saga Prefecture, Kiushiu Island, Nippon. - Memoirs of the Coll. of Sci., 1937b, ser.B, vol.12, N 2, p.157-174.
- S k v o r t z o w B.W. Bottom diatoms from Olhon gate of Baikal lake, Siberia. - Philipp. J.Sci., 1937c, vol.62, N 3, p.293-377.
- S k v o r t z o w B.W., M e y e r C.I. A contribution of the diatoms of Baikal lake. - Proceed. Sungaree River Biolog. Station, Charbin, 1928, vol.1, N 5, p.1-55.

- Smith W. A synopsis of British Diatomaceae. London, 1853,  
vol. 1, p. 3-89; 1856, vol. 2, p. 3-107.
- Hurek H. van. Synopsis des diatomées de Belgique. Atlas.  
Anvers, 1880-1881.
- Landingham S.L. van. Miocene non-marine diatoms from  
the Yakima region in South Central Washington. - Beih. zur  
Nova Hedwigia, 1964, Heft 14, p. 1-78.
- Landingham S.L. van. Paleoecology and microfloristics  
of Miocene diatomites from the Otis Basin-Juntura region of  
Harney and Walheur counties Oregon. - Beih. zur Nova Hedwigia,  
1967, Heft 16, p. 1-77.

Т.К.Даковщикова

## ДИАТОМОВЫЕ ВОДОРОСЛИ В КОЛОНКЕ ДОННЫХ ОТЛОЖЕНИЙ АРАЛЬСКОГО МОРЯ

Материалом исследования послужила колонка донных осадков Аральского моря, вскрывающая отложения четвертичного возраста.

Фитопланктон современного Аральского моря, его систематический состав, динамику, численность и биомассу изучали Киселев [1927], Пичкин [1967, 1970, 1971], Макарова, Пичкин [1969], Ельмуратов [1972, 1977], Ельмуратов, Эргашев [1971, 1972, 1976]; микрофитобентос - Боршев [1877], Бенинг [1935], Яблонская [1964]. В планктоне и бентосе современного Аральского моря этими авторами установлено 44 рода и 330 видов диатомей. Диатомеи оказались преобладающей группой водорослей в фитопланктоне и микрофитобентосе Азала по числу видов и количественному развитию. В связи с этим большой интерес представляет изучение диатомей в донных осадках Аральского моря, поскольку состав танатоценозов диатомеи отражает режим древнего водоема.

Диатомеи, их видовой состав, количественное распределение и экологические группы в донных осадках Аральского моря изучены впервые. Исследованная колонка (сборы С.А.Резникова, по данным которого приведена литология осадков) длиной 340 см, взятая у западного побережья в заливе Чернышева, вскрывает голоценовые осадки, представленные глинистыми илами, загипсованными в нижней части и с прослойями алевритового ила на глубине 260-280 см. Препараты приготовлялись по методике, принятой в Отделе геологии океана Инсти-

тута океанологии АН СССР, с небольшими изменениями из-за значительного терригенного разбавления диатомей в осадках. Подсчет створок производился на 1 г осадка [Лузе, Мухина, Козлова, 1969].

В толще голоценовых отложений Аральского моря обнаружена разнообразная флора диатомей, представленная 29 родами и 153 видами и внутривидовыми таксонами (табл. 1, 2). Наибольшим видовым разнообразием отличаются роды из подкласса *Pennatophycidae*: *Navicula* - 24 вида и разновидности, *Nitzschia* - 22, *Achnanthes* - 16, *Mastogloia* - 12, *Diploneis* - 8, *Epithemia* - 8. Некоторые из них встречены в значительном количестве: *Navicula gastrum* var. *gasterum*, *N. tusculum* var. *tusculum* et f. *minor*, et f. *rostrata*, *N. digitoradiata*, *Nitzschia navicularis*, *N. punctata* var. *punctata* et var. *aralensis*, *N. tryblionella* var. *tryblionella* et var. *ambigua*, *N. palea*, *Mastogloia pusilla* var. *pusilla*, *M. pumila* var. *pumila*, *Diploneis bombus*, *D. smithii* var. *smithii*, *Epithemia turgida* var. *turgida*. Виды рода *Achnanthes* встречаются единично и редко и существенной роли в осадках не играют. Наибольшей численности в осадках достигают два вида из подкласса *Centrophycidae*: *Actinocyclus ehrenbergii* var. *ehrenbergii*, *Chaetoceros wighamii*.

Экологический состав диатомовой флоры очень пестрый. По числу видов преобладают олигогалобы - 49,8% (индифференты 35,4%, галофилы 14,4%); полигалобов 19,6%, мезогалобов 19%, галофобов 0,8%; 11% составляют виды неясной экологии.

Аральские полигалобы принадлежат к числу эвригалинных форм. Большинство из них живет при солености 10-12% (современная соленость Арала и Каспия), но они способны обитать и в морях с нормальной морской соленостью 35%. Характерно наличие значительного количества олигогалобов - 76 видов и разновидностей из 18 родов, многие из них имеют значительную численность (особенно в слоях 50-60 и 135-145 см). Большинство диатомовых водорослей из осадков Арала - широко распространенные виды умеренного пояса северного полушария, некоторые виды имеют ограниченное распространение и являются редкими: *Mastogloia pusilla* var. *linearis*, *Nitzschia cocco-neiformis*, *N. punctata* var. *aralensis*, *N. punctata* var. *minutissima*, *Pinularia passargei*.

В толще осадков диатомеи распределены неравномерно. Изменяется видовой состав, численность и соотношение различных экологических групп, на основании чего удалось выделить несколько горизонтов (рисунок).

Таблица 1

Таксономический состав диатомей в голоценовых осадках Аральского моря

Класс	Подкласс	Порядок	Роды	Количество видов и внутривидовых таксонов
Bacillariophyceae	Centrophytidae	Coccinodiscales	<i>Melosira</i>	2
			<i>Podosira</i>	1
			<i>Cyclotella</i>	2
			<i>Thalassiosira</i>	1
			<i>Coccinodiscus</i>	2
	Aulacodiscales		<i>Actinocyclus</i>	3
	Biddulphiales		<i>Chaetoceros</i>	1
	Araphales		<i>Grammatophora</i>	1
			<i>Opephora</i>	2
			<i>Fragilaria</i>	6
			<i>Synedra</i>	5
Pennatophyceae	Pennatophytidae	Raphales	<i>Eunotia</i>	1
			<i>Cecconeis</i>	6
			<i>Achnanthes</i>	16
			<i>Rheicosphenia</i>	1
			<i>Mastogloia</i>	12
			<i>Diploneis</i>	8
			<i>Navicula</i>	24
			<i>Pinnularia</i>	2
			<i>Caloneis</i>	4
			<i>Girosigma</i>	4
			<i>Pleurosigma</i>	1
			<i>Amphora</i>	7
			<i>Epithemia</i>	8
			<i>Rhopalodia</i>	4
			<i>Hantzschia</i>	1
			<i>Nitzschia</i>	22
			<i>Surirella</i>	3
			<i>Campylodiscus</i>	3

Таблица 2

Систематический список диатомовых водорослей  
колонки Т - 53

Название водорослей	Местообитания	Глубность	Глубина отбора образца, см									
			Номера образцов									
			1	2	3	4	5	6	7	8	9	10
<i>Melosira islandica</i> subsp. <i>helvetica</i> O.Mull.	п	и					1					
<i>M.sulcata</i> (Ehr.) Kütz.var. <i>sulcata</i>	пб	пг, з			1							
<i>Podosira parvula</i> Makar. et Pr.-Lavr.	п	м			1							
<i>Thalassiosira variabilis</i> Makar. var. <i>variabilis</i>	п	м, з				2						
<i>Cyclotella caspia</i> Grun. var. <i>caspia</i>	п	пг, з			2	3	4	4	2		2	4
<i>C. comta</i> (Ehr.) Kütz.var. <i>comta</i>	п	и				2						
<i>Coscinodiscus lacustris</i> var. <i>septentrionalis</i> Gran.	п	гл			1	1	2					
<i>Coscinodiscus</i> sp.	?	?								2		
<i>Actinecyclus ehrenbergii</i> Ralfs var. <i>ehrenbergii</i>	п	пг, з	4	3	3	1	2	3		4	5	6
<i>A. ehrenbergii</i> var. <i>crassa</i> (W.Sm.) Hust.	п	пг, з			1						2	3
<i>A. ehrenbergii</i> var. <i>tenellus</i> (Breb.) Hust.	п	пг, з										4
<i>Chaetoceros wighamii</i> Brightw.	п	пг, з			4		4	5		4		
<i>Grammatephera oceanica</i> (Ehr.) Grun. var. <i>oceanica</i>	с	пг, з	1		2					2		
<i>Opephora martyi</i> Herib. var. <i>martyi</i>	о	и			2	2	3	4	2	2		
<i>Opephora</i> sp.	о	?		1	1	2	2	3	2			
<i>Fragilaria construens</i> (Ehr.) Grun. var. <i>construens</i>	о	и			1		2					
<i>F. construens</i> var. <i>subsali-</i> <i>na</i> Hust.	о	и			1							

Название водорослей	Местообитания	Глубина	Глубина отбора образца, см									
			0 - 7		24 - 35		50 - 60		80 - 90		110-120	
			Номера образцов	1	2	3	4	5	6	7	8	9
<i>F. construens</i> var. <i>venter</i> (Ehr.) Grun.	о и			1	1	2	2	2	2	2		
<i>F. inflata</i> (Heid.) Hust. var. <i>inflata</i>	о и					1						
<i>F. pinnata</i> Ehr. var. <i>pinnata</i>	о гл					1						
<i>F. pinnata</i> var. <i>lanceolata</i> (Schum.) Hust.	о и						1					
<i>Synedra pulchella</i> (Ralfs) Kütz. var. <i>pulchella</i>	о м, з									1		
<i>S. tabulata</i> (Ag.) Kütz. var. <i>tabulata</i>	о пг, з					1		1	2	1	1	1
<i>S. tabulata</i> var. <i>acuminata</i> Grun.	о пг, з					1			3			
<i>S. tabulata</i> var. <i>intermedia</i> Grun.	о пг, з						1	1			1	4
<i>Synedra</i> sp.	о ?					1						3
<i>Eunotia</i> sp.	о ?					2	3	3	3			
<i>Cocconeis disculus</i> var. <i>diminuta</i> (Pant.) Sheshuk.	о и					1	3		4	3	2	
<i>C. pediculus</i> Ehr. var. <i>pediculus</i>	о гл			1	1	1	1	3		2	4	4
<i>C. placentula</i> Ehr. var. <i>placentula</i>												2
<i>C. placentula</i> var. <i>euglypta</i> (Ehr.) Cl.	о и			1	2	1	3	3	3	3	3	4
<i>C. scutellum</i> Ehr. var. <i>scutellum</i>	о пг, з		1									2
<i>C. aff. disculus</i> (Schum.) Cl.	о ?	1							4			
<i>Achnanthes affinis</i> Grun.	о и							1				
<i>A. clevei</i> Grun. var. <i>clevei</i>	о и							1	2	3	2	
<i>A. clevei</i> var. <i>rostrata</i> Hust.	о и							2	2	2		2
<i>A. conspicua</i> var. <i>brevistriata</i> Hust.	о и							2				

Название водорослей	Местообитания	Глубина, м	Глубина отбора образца, см							
			0 - 7		24 - 35		50 - 60		80 - 90	
			1	2	3	4	5	6	7	8
<i>Achnanthes delicatula</i> (Kütz.) Grun. var. <i>delicatula</i>	о ГЛ			1		1				
<i>A. dispar</i> Cl. var. <i>dispar</i>	о ГЛ			1						
<i>A. dispar</i> var. <i>capitata</i> Jasnitsky	о И			1						
<i>A. hauckiana</i> Grun. var. <i>hauckiana</i>	о ГЛ	1			1		3		2	
<i>A. hauckiana</i> var. <i>rostrata</i> Schulz	о И				1		2			
<i>A. lanceolata</i> f. <i>capitata</i> O. Mill.	о И					2				
<i>A. lanceolata</i> var. <i>restrata</i> (Oestr.) Hust.	о И					1				
<i>A. laterostrata</i> Hust.	о И	1								
<i>A. striata</i> var. <i>restrata</i> Scabitsch.	о И			2	3	3	2			
<i>A. aff. delicatula</i> (Kütz.) Grun.	о ?			1						
<i>A. aff. laterostrata</i> Hust.	о ?				2					
<i>Achnanthes</i> sp.	о ?		1							
<i>Rhoicosphaenia curvata</i> (Kütz.) Grun. var. <i>curvata</i>	о ГЛ			2	2	3		2		
<i>Mastogleia angulata</i> Lewis	о ПГ									3
<i>M. braunii</i> Grun.	о М						3		2	3
<i>M. elliptica</i> (Ag.) Cl. var. <i>elliptica</i>	о М		1		1	1				
<i>M. elliptica</i> var. <i>dansei</i> (Thw.) Cl.	о М					1		2		
<i>M. exiqua</i> Lewis var. <i>exiqua</i>	о ПГ, э					2	3	2		
<i>M. labuensis</i> Cl.	о ПГ									2
<i>M. lanceolata</i> Thw.	о ПГ, э									3
<i>M. pumila</i> (Grun.) Cl.	о ПГ, э		1	2	2		3		2	3
<i>M. pusilla</i> Grun. var. <i>pusilla</i>	о ПГ, э							2		4
<i>M. pusilla</i> var. <i>linearis</i> Oestr.	о М									

Название водорослей	Местообитания	Глубинность	Глубина отбора образца, см									
			0 - 7		24 - 35		50 - 60		80 - 90		110-120	
			1	2	3	4	5	6	7	8	9	10
<i>Mastogloia smithii</i> var. <i>lacustris</i> Grun.	о	м			2	1	2	2				
<i>Mastogloia</i> sp.	о	?										2
<i>Diploneis bombus</i> Ehr.	д	пг, з	3	2	2	1	2					
<i>D. didyma</i> (Ehr.) Cl.	д	пг, з	1	1								
<i>D. evalis</i> (Hilse) Cl. var. <i>ovalis</i>	д	гл	2	2	2	2	2	2				
<i>D. evalis</i> var. <i>oblongella</i> (Näg.) Cl.	д	гл		1	2	2						
<i>D. smithii</i> (Breb.) var. <i>smithii</i>	д	пг, з	3		3	3	3	3	3	4	3	
<i>D. smithii</i> f. <i>rombica</i> Mer.	д	пг, з	2	1	2	2	2			3	2	
<i>D. smithii</i> var. <i>pumila</i> (Grun.) Hust.	д	м	1		3							
<i>D. aff. suborbicularis</i> (Greg.) Cl.	д	?										2
<i>Navicula bacillum</i> Ehr. var. <i>bacillum</i>	д	и						1	2			
<i>N. cincta</i> (Ehr.) Kütz. var. <i>cincta</i>	д	гл	1									
<i>N. cryptcephala</i> Kütz. var. <i>cryptcephala</i>	д	гл						2	2			
<i>N. dicephala</i> (Ehr.) W.Sm. var. <i>dicephala</i>	д	и			1							
<i>N. forcipata</i> Grev. var. <i>forcipata</i>	д	пг, з		1	1				2			
<i>N. gastrum</i> (Ehr.) Donk. var. <i>gastrum</i>	д	и			2	2	3	4	2	2		
<i>N. gastrum</i> f. <i>capitata</i> A.Cl.	д	и				1	2					
<i>N. humerosa</i> Breb. var. <i>humerosa</i>	д	пг, з		1	1	1	1	1	1	1		
<i>N. humerosa</i> var. <i>constricta</i> Cl.	д	пг, з			1							
<i>N. marina</i> Ralfs	д	пг, з	1	1								
<i>N. mutica</i> Kütz. var. <i>mutica</i>	д	и			1							

Название водорослей	Местообитания	Глубальность	Глубина отбора образца, см									
			0 - 7		24 - 35		50 - 60		80 - 90		110-120	
			1	2	3	4	5	6	7	8	9	10
<i>Navicula placentula</i> (Ehr.) Grun. f. <i>placentula</i>	д и									2		
<i>N. restellata</i> Kütz.	д и								1			
<i>N. salinarum</i> Grun. f. <i>salinarum</i>	д м							2				
<i>N. semen</i> Ehr.	д ГФ							1				
<i>N. simplex</i> Krasske	д и?											2
<i>N. tuscula</i> (Ehr.) Grun. f. <i>tuscula</i>	д и			1	2	3	3	3	3	2		
<i>N. tuscula</i> f. <i>minor</i> Hust.	д и		1	2	3	2	3					
<i>N. tuscula</i> f. <i>rostrata</i> Hust.	д и			1	2	3	2	4	2			
<i>N. viridula</i> f. <i>capitata</i> May	д и				2							
<i>N. digitoradiata</i> (Greg.) A.S. var. <i>digitoradiata</i>	д и		2	3	3	2	2	3		3		3
<i>N. aff. forcipata</i> Grev. var. <i>forcipata</i>	д и							3				
<i>N. aff. peregrina</i> var. <i>kefvingensis</i> (Ehr.) Cl.	д ?								2			
<i>N. aff. rhynchocephala</i> Kütz.	д ?			1								
<i>Pinularia cruciformis</i> Donk. var. <i>cruciformis</i>	д ПГ				1							
<i>P. passargei</i> Reich.	д м?			1	1							
<i>Caloneis bacillum</i> (Grun.) Mer. var. <i>bacillum</i>	д и		1		1	2		3	2			
<i>C. bacillum</i> var. <i>lancettula</i> (Schulz) Hust.	д и		2	2	1	2	2		2	2		
<i>C. bottnica</i> Cl.	д ГЛ?					2						
<i>C. schumanniana</i> (Grun.) var. <i>schumanniana</i>	д и		1	1	2	1	2	2				
<i>Gyrosigma acuminatum</i> (Kütz.) Rabenh. var. <i>acuminatum</i>	д и								1			
<i>G. balticum</i> (Ehr.) Rabenh.	д ПГ, э									3		
												300-310

Наименование водорослей	Местообитания	Глубина	Глубина отбора образца, см										
			0	7	24	35	50	60	80	90	110-120	135-145	165-180
			1	2	3	4	5	6	7	8	9	10	
<i>Gyrosigma spenceri</i> (W.Sm.) Cl. var. <i>spenceri</i>	Д М				1		1		1	2			
<i>Gyrosigma</i> sp.	Д ?		1	1									1
<i>Pleurosigma</i> sp.	Д ?					1							1
<i>Amphora coffeaeformis</i> (Ag.) Cl. var. <i>coffeaeformis</i>	Д М												3
<i>A. exigua</i> Greg.	Д ПГ, Э												2
<i>A. holsatica</i> Hust. var. <i>holsatica</i>	Д М					1		2					
<i>A. ovalis</i> Kütz. var. <i>ovalis</i>	Д И		2		1	2	2						
<i>A. ovalis</i> var. <i>Libyca</i> Ehr.	Д И		2	2	3	2	3	3	3	2			
<i>A. ovalis</i> var. <i>pediculus</i> Kütz.	Д И		1	2	3	4	4	4	3	3			
<i>A. aff. exigua</i> Greg.	Д ?											2	3
<i>Epithemia argus</i> Kütz. var. <i>argus</i>	О И					1							
<i>E. hyndmanii</i> W.Sm. var. <i>hyndmanii</i>	О И								1				
<i>E. intermedia</i> Fricke	О И								1	1	1		
<i>E. sorex</i> Kütz. var. <i>sorex</i>	О ГЛ		1										2
<i>E. turgida</i> (Ehr.) Kütz. var. <i>turgida</i>	О ГЛ		2		3	1	3	4					2
<i>E. zebra</i> (Ehr.) Kütz. var. <i>zebra</i>	О И						2			3			
<i>E. zebra</i> var. <i>porcellus</i> (Kütz.) Grun.	О И								1				
<i>E. zebra</i> var. <i>saxonica</i> (Kütz.) Grun.	О И				3	1	2						
<i>Rhopalodia gibba</i> (Ehr.) O.Mill. var. <i>gibba</i>	О И						1	2					
<i>R. gibba</i> var. <i>ventricosa</i> (Ehr.) Grun.	О И							2		3	2		
<i>R. gibberula</i> (Ehr.) O.Mill. var. <i>gibberula</i>	О ГЛ										2		

Название водорослей	Местообитания	Глубина, м	Глубина отбора образца, см										
			7	24	35	50	60	80	90	110-120	135-145	165-180	210-215
			0	1									300-310
													Номера образца
				1	2	3	4	5	6	7	8	9	10
Rhopalodia musculus (Kütz.) O.Müll. var. musculus	о пг, з				2	1					2		
Hantzschia amphioxis f. capitata O.Müll.	д и			1			1	1					
Nitzschia acuminata (W.Sm.) Grun.	д м					1							
N. amphibia Grun. var. amphibia	д и		1							2			
N.apiculata (Greg.) Grun.	д м				1		1			2		1	
N. cecconeiformis Grun.	д м			1	2	3	1	1	3				
N. dissipata (Kütz.) Grun.	д и												2
N. fonticola Grun. var. fonticola	д и												3
N. frustulum (Kütz.) Grun. var. frustulum	д гл								1	2			
N. granulata Grun.	д пг									2		3	
N. hungarica Grun.	д м				1					1			
N. navicularis (Breb) Grun.	д м		3	2	3	2	2	2	2	3			
N. palea (Kütz.) W.Sm. var. palea	д и					2	1	3	3		2	4	2
N.punctata (W.Sm.) Grun. var. punctata	д м			2	2	2	1	2	3	3	2		
N. punctata var.aralensis Borszow	д м				1	1	2			2	3		
N. punctata var.coaretata Grün.	д м						1						
N. punctata var.mimutissima Poretzky	д м							1			3		
N. sigmaeidea (Ehr.) W.Sm. var. sigmaeidea	д и				1	1							
N. sigma (Kütz.) W.Sm. var. sigma	д м										1		3
N.tryblionella Hantzsch. var.tryblionella	д гл		1	2	2			2	2	1	3		
N. tryblionella var. ambigua Grun.	д гл			1	2	1	2						

Название водорослей	Местообитания	Глубина	Глубина отбора образца, см									
			0 - 7		24 - 35		50 - 60		80 - 90		110-120	
			Номера образца	1	2	3	4	5	6	7	8	9
<i>Nitzschia tryblionella</i> var. <i>debilis</i> (Arn.) A. Mayer	д	гл				1			2			
<i>N. tryblionella</i> var. <i>lewi-</i> <i>densis</i> (W. Sm.) Grun.	д	гл				2	3	3	3	2		
<i>N. aff. vidovichii</i> (Grun.) Perag.	д	?			1		1	1		3	3	
<i>Surirella ovata</i> Kütz. var. <i>ovata</i>	д	и				1		1				
<i>S. peisonis</i> Pant.	д	м				2	1	1		2		
<i>S. striatula</i> Turp.	д	м			1	1	1	2	2	2	1	
<i>Campylodiscus cylpeus</i> var. <i>bicostatus</i> (W. Sm.) Hust.	д	м						2	2	3		
<i>C. daemeliamus</i> Grun.	д	м				1						1
<i>C. echeneis</i> Ehr.	д	м							1			

Условные обозначения: п - планктонный вид, о - из обрастаний, д - донный, поб - полубентический, пг - полигалоб, м - меагалоб, гл - галофил, и - индифферент, э - эвригалинний, гф - галофоб; 1 (единично) - до 5 тыс. створок в 1 г осадка, 2 (редко) - 5-25 тыс. ств./г, 3 (нередко) - 25-100 тыс. ств./г, 4 (часто) - 100-500 тыс. ств./г, 5 (очень часто) - 500 тыс. - 1 млн ств./г, 6 (в массе) - более 1 млн ств./г.

Горизонт 1. 0-23 см. 0,5 млн створок в 1 г породы, 29 видов и разновидностей. Преобладают морские эвригалинние формы - 0,4 млн ств./г (74% от общего количества створок в 1 г). На долю меагалобов приходится 9,4%, олигогалобов - 15,6%. Наибольшей численности достигают морские эвригалинние *Actinocyclus ehrenbergii* var. *ehrenbergii*, *Diploneis bombus*, *D. smithii* var. *smithii* и меагалобная форма *Nitzschia navicularis*.

Горизонт 2. 24-90 см. Характерно значительное видовое разнообразие (40-77 видов и разновидностей) при численности

0,3-1 млн ств./г породы. Воэросла доля олигогалобов - 44,5% от общего количества створок (индиференты 30,3%, галофилы 14,2%). Нередко встречаются донные *Amphora ovalis* var. *libyca* et var. *pediculus*, эпифитные *Epihemia turgida*, *E. zebra* var. *saxonica*. Морские эвригалинныи формы составляют 37% от общей численности створок в грамме; доминируют планктонные *Chaetoceros wighamii*, *Actinocyclus ehrenbergii* var. *ehrenbergii*, донные *Diploneis smithii* var. *smithii* et var. *pumila*. Среди мезогалобов (13% от общего количества створок/г) с оценкой "нередко" встретились *Navicula digitoradiata*, *Nitzschia coccineiformis*, найденная в СССР лишь в обрастаниях [Караева, 1972] и акчагильских отложениях Каспия [Купцова, 1957], и *N. navicularis*.

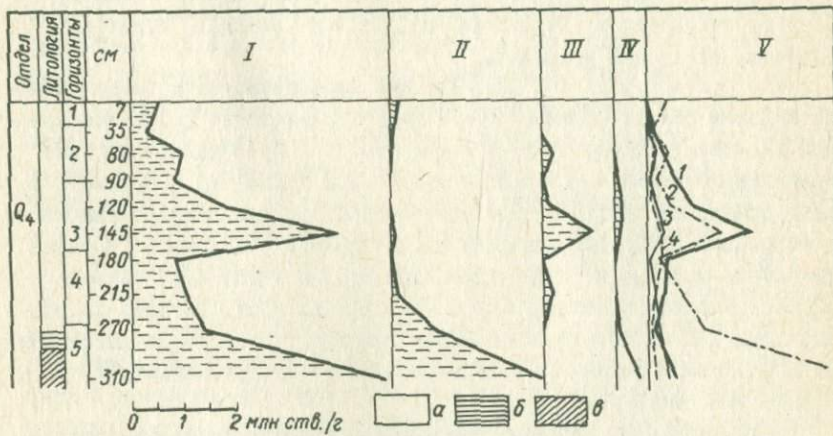


Рисунок. Распределение диатомей в колонке Т-53.

I - общее количество диатомей, млн ств./г; II - *Actinocyclus ehrenbergii* Ralfs с разновидностями; III - *Chaetoceros wighamii* Brightw.; IV - *Cyclotella caspia* Grun. var. *caspia*; V - комплекс диатомей различной галобности: 1 - полигалобы, 2 - мезогалобы, 3 - индиференты, 4 - галофилы; а - ил глинистый зеленый, б - ил алевритовый зеленый, bb - ил глинистый загипсованный.

Горизонт 3. 91-164 см. Сохраняется значительное видовое разнообразие (65-72 вида) и существенно увеличивается общая численность диатомей (1,8-4,1 млн ств./г). Преобладают олигогалобы - 55% (индиференты 48%, галофилы 7%). Это формы, встречающиеся в обрастаниях: *Opephora martyi*, *Coccconeis disculus* var. *diminuta*, *C. pediculus* var. *pediculus*, *C. placentula* var. *euglypta*,

донные *Navicula gastrum* var. *gastrum*, различные формы *Navicula tuscula*, разновидности *Amphora ovalis*. На долю полигалобов приходится 36% от общего количества створок в грамме. Доминируют планктонные неритические *Chaetoceros wighamii*, *Cyclotella caspia*. Нередко встречается *Actinocyclus ehrenbergii* var. *ehrenbergii*. Довольно разнообразны мезогалобы: с оценкой "нередко" встретились *Nitzschia punctata* var. *punctata*, *N. coccineiformis*, *Mastogloia braunii*, *Amphora holsatica*.

Горизонт 4. 165-249 см. Видовое разнообразие невелико: 34-38 видов и разновидностей, численность 0,9-1 млн ств./г. В верхней части слоя значительный процент олигогалобов - 41,8; полигалобов меньше - 19,8%. В нижней части полигалобы составляют половину всех видов - 50,8%. Преобладают *Actinocyclus ehrenbergii* var. *ehrenbergii*, *Diploneis smithii* var. *smithii*, *Gyrosigma balticum*, *Nitzschia granulata*.

Горизонт 5. 250-310 см. Характеризуется незначительным видовым разнообразием (11-34 вида и разновидности) и высокой численностью диатомей (1,4-4,9 млн ств./г). Преобладают морские эвригалинны формы - 3,9 млн створок (80% найденных в грамме). В массе обнаружен *Actinocyclus ehrenbergii* с разновидностями, часто встречается *Cyclotella caspia*, *Mastogloia pusilla*. Нередко отмечается типично морская форма *Mastogloia angulata*, широко распространенная в теплых морях. Из олигогалобов, которые составляют лишь 16% от общего количества створок, часто встречаются донные литоральные формы *Coccineis pediculus* var. *pediculus*, *C. placentula* var. *euglypta*.

Таким образом, изучение диатомей в толще голоценовых осадков Арала позволяет сделать следующие выводы.

1. Состав флоры свидетельствует о формировании осадков в прибрежном мелководном опресненном участке моря со значительным развитием макрофитов. Глубина участка за время образования исследуемой толщи существенно не менялась.

2. Соотношение различных экологических групп диатомей в толще осадков не постоянно. Характерно отсутствие чисто морских или чисто пресноводных, а также монотопных ассоциаций диатомей. По соотношению различных экологических групп намечается два периода осолонения - время образования 1-го и 5-го горизонтов. Более значительным было осолонение в период образования нижнего (5-го) го-

рионта. Опресненные условия существовали в водоеме в момент образования 2-го и, особенно, 3-го горизонтов.

3. Чередование слоев, обогащенных диатомеями, со слоями с незначительным их содержанием свидетельствует о существовании в голоценовое время нескольких периодов интенсивного биогенного осадконакопления. Увеличение численности диатомей в слоях 50–60 см (в 1-м горизонте) и 135–145 см (во 2-м горизонте) сопровождается значительным видовым разнообразием с преобладанием пресноводных форм. Эти вспышки в развитии диатомей могли быть вызваны притоком пресных вод и биогенных элементов в периоды голоценовых трансгрессий, когда возрастал речной сток в Арал [Кесь, 1969; Хрусталев, Ревников, Туровский, 1977]. Численность диатомей в слое 300–310 см (5-й горизонт) является максимальной для всей толщи. При незначительном видовом разнообразии доминируют морские формы. Этот максимум образовался в период осолонения и, как считают Хрусталев, Ревников, Туровский [1977], – регрессии Аральского моря.

4. Все диатомеи, обнаруженные в толще осадков, встречаются в современных водоемах. Большинство (186 форм) указаны для планктона или бентоса Аральского моря [Киселев, 1927; Пичкин, 1970, 1971; Ельмуратов, 1977], 85 видов и разновидностей обитают в современном Каспии [Прошкина-Лавренко, Макарова, 1968; Караева, 1972], 66 – в Черном [Прошкина-Лавренко, 1955, 1963а; Иванов, 1965] и 33 – в Азовском морях [Прошкина-Лавренко, 1963б]. Наименее сходен видовой и экологический состав диатомовых водорослей из голоценовых отложений Араля с флорой Азовского и Черного морей. Такая разница в значительной мере создается отсутствием в осадках типично морских родов, широко распространенных в Азовском и Черном морях: *Rhizosolenia*, *Ditylum*, *Biddulphia*, *Serataulina*, *Leptocylindrus*, *Hemiaulus*, *Actinoptychus*. Это объясняется солевым составом воды Аральского моря, который очень сильно отличается от океанического и по соотношению отдельных солей близок к пресной воде [Зенкевич, 1963].

#### УКАЗАТЕЛЬ ЛИТЕРАТУРЫ

Бенинг А.Л. Материалы к составлению промысловой карты Аральского моря (гидрология, планктон и бентос "Малого моря"). –

- Тр.Аральск.отд.НИИ морск.рыбн.хоз-ва и океаногр. Аральск, 1935, т.УІ, с.139-195.
- Борщев И.Г. Водоросли Аральского моря. - Тр.Арало-Касп. экспед. С-Петербург, 1877, прилож.11, с.1-38.
- Ельмуратов А. Количественная характеристика фитопланктона Абасского залива Аральского моря. - В кн.: Флора и значение споровых растений Средней Азии. Ташкент, 1972, с.84-89.
- Ельмуратов А. Состав и распределение фитопланктона южных заливов Аральского моря. - Автореф.канд.дис. Л., 1977.
- Ельмуратов А, Эргашев А.Э. К количественной характеристике фитопланктона Сарыбасского залива Аральского моря. - В кн.: Биология, экология, география споровых растений Средней Азии. Ташкент, 1971, с.7-8.
- Ельмуратов А., Эргашев А.Э. Динамика фитопланктона Сарыбасского залива Аральского моря. - В кн.: Флора и значение споровых растений Средней Азии. Ташкент, 1972, с.89-95.
- Ельмуратов А., Эргашев А.Э. Эколо-географический анализ альгофлоры южных заливов Аральского моря. - В кн.: Альгофлора и микрофлора Средней Азии. Ташкент, 1976, с.25-34.
- Иузе А.П., Мухина В.В., Ковалова О.Г. Диатомеи и силикофлягелляты в поверхностном слое осадков Тихого океана. - В кн.: Тихий океан. Микрофлора и микрофауна в современных осадках Тихого океана. М., 1969, т.8, с.7-45.
- Зенкевич Л.А. Биология морей СССР. М., 1963, 739 с.
- Иванов А.И. Характеристика качественного состава фитопланктона Черного моря. - В кн.: Исследования фитопланктона Черного и Азовского морей. Киев, 1965, с.17-35.
- Караева Н.И. Диатомовые водоросли бентоса Каспийского моря. Баку, 1972, 258 с.
- Кесь А.С. Основные этапы развития Аральского моря. - В кн.: Проблема Аральского моря. М., 1969, с.160-172.
- Киселев И.А. Новые данные о водорослях Аральского моря. - Изв. отд. прикл. ихтиол., 1927, т.У, вып.2, с. 270-305.
- Купцова И.А. Диатомовые ачагильских отложений г.Уральска. - Докл.АН СССР, 1957, № 6, с.1350-1359.
- Макарова И.В., Пичкилы Л.О. Новые для фитопланк-

- тона Аральского моря виды водорослей. - В кн.: Новости систематики низших растений. Л., 1969, с.85-88.
- Пичкилин Л.О. Качественный состав фитопланктона Аральского моря в современных условиях. - В кн.: Матер. конференции молодых ученых. Алма-Ата, 1967.
- Пичкилин Л.О. Динамика численности и биомассы фитопланктона Аральского моря. - Гидробиологический х., 1970, т.УІ, № 1, с.31-36.
- Пичкилин Л.О. Состав и динамика фитопланктона Аральского моря. Автореф.канд.дис. Л., 1971.
- Прошкина - Лавренко А.И. Диатомовые водоросли планктона Чёрного моря. М.;Л., 1955. 222 с.
- Прошкина - Лавренко А.И. Диатомовые водоросли бентоса Чёрного моря. М.;Л., 1963а, 243 с.
- Прошкина - Лавренко А.И. Диатомовые водоросли планктона Азовского моря. М.;Л., 1963 б, 190 с.
- Прошкина - Лавренко А.И., Макарова И.В. Водоросли планктона Каспийского моря. Л., 1968. 291 с.
- Хрусталев Ю.П., Резников С.А., Туровский Д.С. Литология и геохимия донных осадков Аральского моря. Ростов, 1977. 159 с.
- Яблонская Е.А. К вопросу о значении фитопланктона и фитобентоса в пищевых цепях организмов Аральского моря. - В кн.: Запас морских растений и их использование. М., 1964, с.71-91.

Н.И.Головенина

ОПРЕДЕЛЕНИЕ КАЧЕСТВА ДИАТОМИТОВ  
НЕКОТОРЫХ МЕСТОРОДЖЕНИЙ АРМЯНСКОЙ ССР  
НА ОСНОВЕ ИЗУЧЕНИЯ ФЛОРЫ ДИАТОМОВЫХ ВОДОРОСЛЕЙ

Диатомиты относятся к неметаллическим полезным ископаемым, издавна используемым в промышленности как один из видов минераль-

ного сырья. Крупные месторождения их известны в США, Канаде, Франции, Италии, Японии и других странах [Кальверт, 1933]. В СССР открыто более 100 месторождений диатомитов, находящихся в Европейской части Союза, на Кавказе, в Сибири, на Дальнем Востоке, Камчатке и других местах [Сырьевая база кремнистых пород СССР, 1974]. Крупнейшими сырьевыми базами страны являются Поволжье и Закавказье (Армянская ССР). На территории Армении выявлено более 40 месторождений и выходов диатомитов, различных по качеству и запасам.

В последнее время интерес к диатомитовому сырью сильно возрос в связи с тем, что постоянно растут области применения диатомитов. В силу своих физических свойств и своеобразия химического состава диатомиты занимают особое место среди других кремнистых осадочных пород, так как имеют органогенное происхождение. Высоко-качественные диатомиты состоят почти исключительно из створок диатомей. Ограниченнное применение их в промышленности связано с плохой изученностью их микроскопического состава и свойств. Комплексное изучение свойств диатомитов, в котором бы принимали участие геологи, микропалеоботаники, химики, позволит значительно расширить области применения диатомитов в народном хозяйстве. До сих пор недостаточно изучена зависимость качества диатомитов и их фильтрационных свойств от систематического состава породообразующих и доминирующих форм диатомей.

Материалом для статьи послужили результаты микроскопического исследования диатомитов пяти вновь открытых месторождений, расположенных в различных районах Армянской ССР — Гнедеавского, Саллинского, Паракарского, Гарнийского и Ераносского (рисунок). Образцы были получены от Арагатской экспедиции Геологического управления Совета Министров Армянской ССР.

Цель исследования заключалась в определении систематического состава диатомей, слагающих диатомит, выделении породообразующих и доминирующих комплексов и оценке качества диатомитов путем подсчета количества створок диатомей в 1 г породы. Подсчет проводился по методике, принятой в Институте океанологии АН СССР [Лузе, Мухина, Козлова, 1969].

Диатомитовые породы Армении неоднократно исследовались микроскопически с различной степенью детальности [Порецкий, 1940, 1953; Горецкий, 1945; Милановский, 1952 (определения А.П.Лузе); Лейе, Ширинян, 1957; Головенина, 1967; Заикина и др., 1969; Головенина, 1977]. В литературе имеются краткие сведения лишь о составе

диатомитов Гнедевасского месторождения [Авакян, Головенина, 1973], остальные исследованные месторождения были подвергнуты микроскопическому изучению впервые.

Гнедевасское месторождение диатомитов расположено в Азибековском районе в 3 км юго-западнее сел. Гнедеваз. По данным геологов, диатомиты здесь генетически связаны с озерными отложениями, залегающими на четвертичных андезито-базальтовых потоках. Мощность диатомитов достигает 2,5-3,0 м, площадь распространения около  $0,15 \text{ км}^2$  [Авакян, Головенина, 1973]. Они белые, легко рассыпаются, объемный вес их составляет  $0,11-0,40 \text{ г/см}^3$ , что соответствует диатомитам высокого качества [Атлас текстур и структур осадочных горных пород, 1973].

Исследовано 5 образцов, взятых по разрезу в интервале 0,0-1,7 м. При изучении состава диатомей установлено, что порода состоит исключительно из створок, главным образом, мелких форм диатомей, кластический материал почти полностью отсутствует. В разрезе найдено около 60 видов и разновидностей диатомовых водорослей, относящихся к 18 родам. Все диатомеи являются представителями пеннатных форм, за исключением одной центрической формы, относящейся к роду *Melosira*. Наибольшим видовым разнообразием характеризуются роды *Fragilaria* (8 видов), *Achnanthes* (6), *Cymbella* (6), *Gomphonema* (11). Доминируют по количественному развитию *Meridion circulare* var. *circulare*, *Diatoma hiemale* var. *hiemale* + var. *mesodon*, *Opephora martyi* var. *martyi*, *Fragilaria construens* var. *venter*, *Achnanthes lanceolata* var. *lanceolata*, *Gomphonema angusta*.

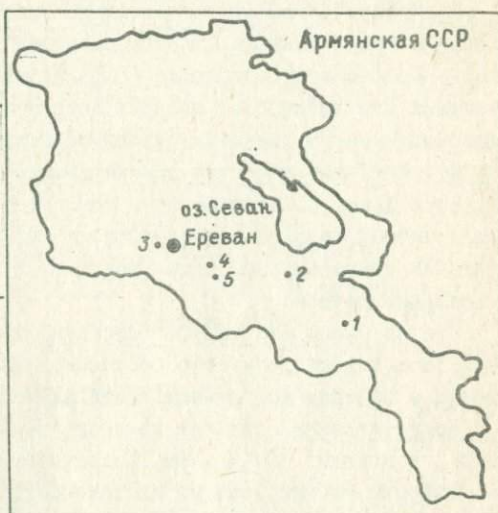


Рисунок. Карта месторождений диатомитов.

1 - Гнедеваское; 2 - Салдинское;  
3 - Паракарское; 4 - Гарнийское; 5 - Еранское.

*tum* var. *angustatum*, *G. parvulum* var. *micropus*. Среди них *Fragilaria construens* var. *venter* I., *Diatoma hiemale* var. *hiemale* + var. *mesodon* достигают значения породообразующих.

В экологическом отношении флора представлена типичными олиго-галобами, приуроченными в своем развитии к литоральной части водоемов. Преобладают эпифитные (84%) и бентосные (15%) формы, характерные для неглубоких стоячих водоемов; планктонные виды, требующие для своего развития свободной толщи воды, почти отсутствуют (1%). Входящие в состав доминирующего комплекса *M. circulare* var. *circulare*, *D. hiemale* var. *hiemale* + var. *mesodon* характерны для чистых текучих вод северных и горных водоемов и указывают на низкий температурный режим водоема, в который, вероятно, впадали холодные потоки.

Состав флоры отличается однородностью и не изменяется по разрезу. Это свидетельствует о постоянном физико-химическом режиме водоема и быстром накоплении толщи диатомитов.

Количественный подсчет показал очень большое содержание створок в 1 г породы: 10-13 млрд. Сохранность створок диатомей хорошая, створки чистые, размер их колеблется от 5 до 50 мкм, по форме преобладают ланцетные и эллиптические диатомеи. Содержание окси-циркония ( $\text{SiO}_2$ ) высокое - 80-88% (табл. 1).

Таким образом, как численность диатомей, так и химический анализ указывают на то, что диатомиты Гнедеевского месторождения высококачественные и обладают высокими фильтрационными свойствами.

Саллинское месторождение диатомитов находится в Ехегнадзорском районе в 7 км к северо-востоку от сел. Саллин. Оно генетически связано с северными отложениями, датированными верхне-плиоценовым - нижнечетвертичным возрастом, мощность которых достигает 50 м. Пласт диатомита прослеживается на расстоянии 750 м, мощность его колеблется от 1 до 12,5 м. Диатомита белые или светлосерые, местами с желтоватым оттенком [Геология СССР, 1975].

Анализу были подвергнуты 10 образцов, взятых из карьера в интервале 0-5,6 м. Во всех образцах обнаружена богатая и очень разнообразная в видовом отношении флора диатомовых водорослей - встречено свыше 100 видов и разновидностей диатомей, относящихся к 26 родам. Наибольшее видовое разнообразие наблюдается среди родов *Fragilaria* (11 видов), *Navicula* (11), *Cymbella* (11), *Gomphonema* (10).

Большинство видов диатомей принадлежит к пеннатным формам

Таблица 1

Месторождения	Глуби на, м	Кол-во створок в 1 г породы, млн	Химический состав основных компонентов, %			Объемный вес, г/см <sup>3</sup>
			SiO <sub>2</sub>	Fe <sub>2</sub> O <sub>3</sub>	Al <sub>2</sub> O <sub>3</sub>	
Гидевацкое	0,0-1,7	10 000-13 000	80-88	1,5-1,8	-	0,11-0,40
Саллинское	0,0-0,7	153-170				
	0,7-4,5	230-309	81-84	0,7-1,2	1,8-3,07	-
	4,5-5,6	104-200	62-84	0,7-7,05	1,9-13,5	
			Средний состав			
Паракарское	0,0-1,0	250-295				
	1,0-1,3	187-203	62-78,56	3,9-6,3	9,23-18,6	0,4-0,96
Гарнийское	1,8-4,3	0,9-3,0				
	4,3-5,1	13-22	-	-	-	-
Ераноское	1,2-4,7	Створки диатомей отсутствуют	76	2,5	4,5	-

(89%): 50% составляют эпифитные формы, 39% - бентосные; к центрическим относится незначительное количество видов (11%). Однако по численности створок преобладают центрические планктонные диатомеи, развивающиеся только в достаточно глубоких водоемах. Некоторые из них достигают значения породообразующих. Так, *Melosira varians*, *Stephanodiscus astraea* var. *minutulus* и *St. niagarae* в массе встречаются в исследованных горизонтах. Большой численности достигают также *St. astraea* var. *astraea* + var. *intermedius*. Кроме центрических диатомей, к доминирующему комплексу следует отнести и ряд представителей пеллантных форм, это *Serepshora martyi* var. *martyi*, *Rhoicosphenia curvata*, *Epithemia sorex*, *E. turgida*, *E. zebra* var. *saxonica*, которые обычно развиваются в литоральной зоне водоемов и являются эпифитами на подводной растительности.

В экологическом отношении более 60% всей флоры составляют типичные обитатели пресных вод и около 40% - пресноводно-солено-

ватоводные диатомеи, которые обычно развиваются в пресных водоемах, но могут выдерживать и повышение минерализации вод. Состав диатомовой флоры на протяжении всего разреза не меняется. Вероятно, режим водоема в период накопления толщи диатомитов оставался постоянным.

Сохранность створок диатомей несколько хуже, чем в Гнедвацком месторождении. Количество створок в 1 г породы колеблется по разрезу от 104 до 309 млн. В центральной части пласта содержание их больше (230–309 млн), чем в верхних (153–170 млн) и нижних (104–200 млн) горизонтах. Диаметр центрических диатомей от 5 до 104 мкм; размер створок у пеннатных форм 6–117 × 2–16 мкм. Преобладает круглая и удлиненная, а у некоторых слабо изогнутая форма створок.

Химический состав основных компонентов показывает различное содержание окиси кремния: от 62 до 84% в целом по разрезу, а в центральной части – 81–84%. Аналогично подсчет створок диатомей в 1 г породы показал, что при общем высоком качестве диатомитов диатомит центральной части (глубина 0,7–4,5 м) более высококачественные (табл. 1).

Итак, на основании анализа диатомовой флоры и подсчета створок в грамме породы можно сделать вывод, что диатомиты Саллинского месторождения по качеству неоднородны. Более высококачественными являются центральные пласти исследованного разреза. Накопление диатомита происходило в пресном водоеме, который имел значительную глубину, развитую литораль и относительно постоянный режим.

Паракарское месторождение расположено в Эчмиадзинском районе в 12 км к западу от г. Еревана на северо-восточной окраине сел. Мусалер и сложено исключительно осадочными породами четвертичного возраста. Диатомиты этого месторождения белого и светлосерого цвета, мощность их от 1,8 до 9,8 м. Занимаемая площадь – несколько квадратных километров [Геология СССР, 1975].

Исследовано 5 образцов глинистых диатомитов, взятых из карьера с глубины 0,0–1,3 м. При изучении состава диатомей обнаружена богатая флора, в составе которой определено около 40 видов и разновидностей, относящихся к 15 родам. Диатомеи представлены пеннатными формами и только 2% от общего числа видов составляют центрические. Доминирующий комплекс состоит исключительно из пеннатных диатомеи: *Synedra capitata* var. *capitata*, *S. ulna* var. *ulna* + var.

*biceps*, *Cocconeis placentula* var. *placentula*, *Anomoeoneis costata*, *Amphora ovalis* var. *libyca*, *Epithemia zebra* var. *porcellus*, *Nitzschia amphibia*, на глубине 0,5 и 1,0 присоединяется *Campylodiscus clypeus*. В несколько меньшем количестве, чем доминирующие, на протяжении всего разреза встречаются *Synedra tabulata*, *Navicula oblonga* и *Epithemia turgida*.

В целом диатомовая флора Паракарского месторождения состоит из олигогалобов (93%), однако обильно представленные кроме них *Synedra tabulata*, *Anomoeoneis costata*, *Campylodiscus clypeus* являются солоноватоводными диатомеями, развивающимися обычно в соленных континентальных водоемах. Их присутствие указывает на значительное влияние минерализованных вод на пресноводный Паракарский водоем, особенно в период отложения горизонтов с глубинами 0,5 и 1,0 м.

Все представители диатомей относятся к обитателям литоральной мелководной зоны водоемов, обычно заселенной высшей водной растительностью. Планктонные формы полностью отсутствуют. Значительного изменения состава флоры не наблюдается, за исключением появления в горизонтах на глубине 0,5 и 1,0 м *Campylodiscus clypeus*.

Количественный подсчет створок в 1 г породы показал неоднородность диатомитов: в нижних горизонтах (глуб. 1,0-1,3 м) содержится от 187 до 203 млн створок, в верхних (глуб. 0,0-1,0 м) количество их возрастает от 250 до 295 млн. Сохранность крупных створок не всегда хорошая, они часто встречаются в виде обломков. Размеры створок доминирующих форм колеблются от 14-120 x 4-30 мкм. Форма створок линейная, ланцетная или эллиптическая.

Химический состав компонентов указывает на более низкое содержание окиси кремния, чем в предыдущих месторождениях - 62-78,5% (табл. 1).

Анализ флоры диатомей и подсчет створок в 1 г породы показал, что диатомиты Паракарского месторождения по численности створок, а следовательно, и по качеству уступают Гидеваасским и Саллинским диатомитам и неоднородны по разрезу: относительно лучше по качеству диатомиты верхних горизонтов (глубина 0,0-1,0 м). Накопление диатомитов происходило в неглубоком пресном водоеме, который испытывал значительное влияние минерализованных вод.

Гарнийское месторождение расположено в верховьях реки Азат (1,5 км восточнее сел. Гарни). В его строении принимают

участие эоценовые породы, на размытой поверхности которых залегают низкочетвертичные озерные образования, представленные песками, глинами и окисленными серыми диатомитами. Мощность диатомитов колеблется от 0,0 до 5,5 м, площадь распространения 0,3 км<sup>2</sup>.

Исследование было подвергнуто 8 образцов, характеризующие толщу отложений с глубины 1,8-5,1 м. Микроскопический анализ показал, что исследованная толща неоднородна по своему составу, в ней четко выделяются два горизонта: нижний - глубиной 4,3-5,1 и верхний - глубиной 1,8-4,3 м.

В нижних горизонтах до глубины 4,3 м обнаружено около 30 видов и разновидностей диатомей плохой сохранности. Все встречающиеся виды относятся к обитателям пресных вод. Доминирует крупная центрическая форма *Melosira scabrosa*, встречаенная преимущественно в виде обломков, забитых терригенным материалом. В несколько меньшем количестве, но постоянно присутствуют представители пеннатных диатомей - *Diatoma hiemale* var. *mesodon*, *Cocconeis placentula* var. *euglypta*, *Achnanthes lanceolata*, *Diploneis elliptica* и некоторые другие. Сохранность их плохая, створки также забиты терригенным материалом.

Количество створок в 1 г породы невелико и уменьшается снизу вверх. Так, горизонт с глубины 4,8-5,1 м содержит в грамме породы 22 млн створок, а выше лежащий - с глубины 4,3-4,8 м - только 13 млн. Содержание целых створок в 1 г породы недостаточное, чтобы считать их диатомитами. Однако кроме целых створок в породе присутствует большое количество обломков диатомей, что позволяет все-таки отнести эти породы к диатомитам низкого качества.

Верхние горизонты разреза с глубины 1,8-4,3 м содержат единичные створки диатомей плохой сохранности, относящиеся к обитателям пресных вод. Обломки створок принадлежат родам *Melosira*, *Meridion*, *Achnanthes*, *Navicula* и др. Среди них преобладают обломки *Melosira scabrosa*. Количество створок в грамме породы составляет всего лишь 0,9-3,0 млн, что не может характеризовать данные отложения как диатомиты.

Таким образом, на основании диатомового анализа и подсчета створок в 1 г породы всю толщу отложений можно разделить на два горизонта: нижний с глубины 4,3-5,1 м - диатомиты низкого качества и верхний с глубины 1,8-4,3 - терригенные отложения. Накопление нижнего горизонта происходило, вероятно, в пресном водоеме, куда в большом количестве поступал терригенный материал.

Ераносское месторождение расположено на левом склоне р.Азат в 5-6 км выше сел. Гарни и представлено, по данным геологов, рыхлыми диатомитами слегка желтоватого цвета, залегающими на эрозированной поверхности мергелей и песчаников верхнего мела [Геология СССР, 1975]. В возраст их определен как верхнеплиоценовый - нижнечетвертичный, мощность пласта 10-12 м. Химический анализ показал 76% содержания окиси кремния (табл.1).

Из разреза исследовано 5 образцов с глубин 1,2-4,7 м. Анализ показал полное отсутствие створок диатомовых водорослей, следовательно, данные породы не являются диатомитами.

Таким образом, в результате проведенного диатомового анализа месторождений диатомитов (Гнедевазского, Саллинского, Паракарского, Гарнийского) впервые выявлен эколого-систематический состав диатомовых водорослей, слагающих диатомит, выделены породообразующие и доминирующие комплексы, которые оказались различными для всех месторождений (табл.2). Это обстоятельство указывает на образование диатомитов в самостоятельных замкнутых водоемах. Все водоемы были пресноводными, хотя Паракарский испытывал значительное влияние минерализованных вод. Состав диатомей указывает на небольшую глубину Гнедевазского и Паракарского водоемов, причем Гнедевазский имел, вероятно, и нижний температурный режим; Саллинский водоем был относительно более глубоководным, о чем говорит высокая численность здесь планктонных видов диатомей.

Подсчет створок в 1 г породы показал, что наиболее чистыми и высококачественными диатомитами являются гнедевазские; саллинские и паракарские неоднородны по качеству и значительно уступают гнедевазским по численности створок. Отложения Гарнийского месторождения представлены диатомитами только в нижних горизонтах разреза, и содержание створок в 1 г породы свидетельствует об их очень низком качестве. Химический состав компонентов подтверждает данные диатомового анализа (табл.1).

Отложения Ераносского месторождения, относимые геологами к диатомитам, не являются таковыми, так как не содержат створок диатомовых водорослей. Относительно высокое содержание  $SiO_2$ , по данным химического анализа, объясняется тем, что кремний в этих породах вероятно неорганического происхождения.

Таблица 2

## Доминирующие и характерные виды диатомей

Виды диатомей	Эколо- гия	Месторождения			
		Гнедеваз- ское	Саллини- ское	Паракар- ское	Гарний- ское
1	2	3	4	5	6
<i>Melosira scabrosa</i> Oestr.	п				3
<i>M. varians</i> Ag.	п-с		6		
<i>Stephanodiscus astraea</i> (Ehr.) Grun. var. <i>astraea</i>	п-с		3		
<i>St. astraea</i> var. <i>intermedius</i> Fricke	п-с		5		
<i>St. astraea</i> var. <i>mimutuius</i> (Kütz.) Grun.	п-с		6		
<i>St. niagarae</i> Ehr.	п-с		6		
<i>Meridion circulare</i> Ag. var. <i>circulare</i>	п	5			
<i>Diatoma hiemale</i> (Lyngb.) Heib. var. <i>hiemale</i>	п	6			
<i>D. hiemale</i> var. <i>mesodon</i> (Ehr.) Grun.	п	6			
<i>Opephora martyi</i> Herib. var. <i>martyi</i>	п	5	5		
<i>Fragilaria construens</i> var. <i>venter</i> (Ehr.) Grun.	п	6			
<i>Synedra capitata</i> Ehr. var. <i>capitata</i>	п-с?			5	
<i>S. capitata</i> var. <i>cuneata</i> Poretsky	п-с?			5	
<i>S. ulna</i> (Nitzsch.) Ehr. var. <i>ulna</i>	п			4	
<i>S. ulna</i> var. <i>biceps</i> (Kütz.) Schönf	п			4	
<i>S. tabulata</i> (Ag.) Kütz.	с			3	
<i>Cocconeis placentula</i> Ehr. var. <i>placentula</i>	п-с			5	
<i>Achnanthes lanceolata</i> (Bréb.) Grun. var. <i>lanceolata</i>	п	6			
<i>Rhoicosphenia curvata</i> (Kütz.) Grun.	п-с		4		
<i>Anomoeoneis costata</i> (Kütz.) Hust.	с			4	
<i>Navicula oblonga</i> Kütz.	п-с			4	
<i>Amphora evalis</i> var. <i>libyca</i> Ehr.	п-с			4	
<i>Gomphonema angustatum</i> (Kütz.) Rabenh. var. <i>angustatum</i>	п-с	4			
<i>G. parvulum</i> var. <i>micropus</i> (Kütz.) Gl.	п-с	6			
<i>Epithemia sorex</i> Kütz.	п-с		6		

1	2	3	4	5	6
<i>Epithemia turgida</i> (Ehr.) Kütz.	п-с	5			
<i>E. zebra</i> var. <i>porecellus</i> (Kütz.) Grun.	п-с		4		
<i>E. zebra</i> var. <i>saxonica</i> (Kütz.) Grun.	п-с	5			
<i>Nitzschia amphibia</i> Grun.	п		4		
<i>Campylediscus clypeus</i> Ehr.	с		4		

Условные обозначения. Экология: п - пресноводный вид, п-с - пресноводно-солоноватоводный, с - солоноватоводный. Встречаемость: 6 - в массе, 5 - очень часто, 4 - часто, 3 - нередко.

#### УКАЗАТЕЛЬ ЛИТЕРАТУРЫ

- Авакян Т.А., Головенкина Н.И. О петрографо-диатомовом составе диатомитов Гнедевазского месторождения. - Изв. АН Арм. ССР, Науки о Земле, 1973, № 6, с. 87-89.
- Атлас текстур и структур осадочных горных пород, часть 3. Кремнистые породы. М., 1973, с. 5-338.
- Геология СССР. Армянская ССР. Полезные ископаемые. М., 1975, т. 43, с. 8-171.
- Головенкина Н.И. Интересные и редкие диатомовые водоросли из неогеновых континентальных отложений Сисианского района Армянской ССР. - В кн.: Новости систематики нижних растений. Л.; М., 1967, с. 38-46.
- Головенкина Н.И. Микроскопическое исследование диатомитов Сисианского района Армянской ССР. - Вестн. Ленингр. унта, 1977, № 3, с. 39-47.
- Горецкий Ю.К. Кремневые отложения озер вулканического ландшафта в Армении. - В кн.: Диатомиты и трепелы. М.; Л., 1945, т. 1, с. 44-67.
- Кузе А.П., Мухина В.В., Козлова О.Г. Диатомы и силикофлагелляты в поверхностном слое осадков Тихого океана. - В кн.: Тихий океан. М., 1969, т. 8, с. 7-48.
- Заикина Н.Г., Саядян Д.В., Соколова Н.С. Данные спорово-пыльцевого и диатомового анализа отложений Ленинаканского озера. - В кн.: Новейшая тектоника, новейшие отложения и человек. М., 1969, Сб. I, с. 105-113.

- Кальверт Р. Диатомиты. М.; Л., 1933, 307 с.
- Лейе А.Б., Ширинян К.Г. Об озерных отложениях и новейших вулканических продуктах Агинского района. - Труды Арм. Геол. управления. Ереван, 1957, вып. 1, с. 125-131.
- Милановский Е.Е. Новые данные о строении неогеновых и четвертичных отложений бассейна озера Севан. - Изв. АН СССР, сер. геол., 1952, № 4, с. 110-119.
- Порецкий В.С. Предварительные данные о микроскопическом составе диатомита Нурнусского месторождения (Армения). - Труды Севанской гидробиологической станции. Ереван, 1940, т. 6, с. 72-77.
- Порецкий В.С. Исследование диатомовых водорослей Нурнуса и Араки Ереванского района Армянской ССР. - Диатомовый сб. Л., 1953, с. 55-106.
- Сирьяевая база кремнистых осадочных пород СССР (диатомиты, опоки, трепелы, спонголиты). М., 1974. 101 с.

Н.Б. Балашова

ДИАТОМОВЫЕ ВОДОРОСЛИ ТЕРМАЛЬНЫХ ИСТОЧНИКОВ ТАЛЫША  
(ГРУППЫ МЕШАСУ И ИБАДИСУ)

Талышская гидротермальная область находится на юго-востоке Азербайджанской ССР. На ее территории сосредоточено более 120 термальных источников, объединенных в 9 групп. Сведения о водорослях терм этого района немногочисленны и содержатся лишь в работах Н.Н. Воронихина [1924, 1926] и С.Г. Раевой [1972, 1974], которые указывают на развитие в ряде термальных источников Талыша синезеленых, диатомовых, зеленых и эвгленовых водорослей.

Термальные источники групп Мешасу и Ибадису расположены соответственно в 12 и 14,5 км к северо-западу от г. Ленкорань. Выходы источников Мешасу находятся в бассейне р. Гамару, а источников Ибадису - в неглубоком узком ущелье в русле р. Гаваавуару. По химиче-

скому составу воды этих терм однотипны и относятся к хлоридно-натриево-кальциевому типу, температура воды достигает 46°C, минерализация 3-7 г/л, спонтанный газ, сопровождающий воду, состоит в основном из азота с небольшой примесью сероводорода, вода поступает непосредственно из пород верхнеэоценового возраста [Аскеров, 1961].

Материалом для настоящей статьи послужили сборы, сделанные нами в 1972 г. в шести источниках группы Мешасу и Ибадису, представляющих собой естественные выходы термальной воды на земную поверхность. В двух источниках группы Мешасу диатомовые водоросли встречаются в ручьях - стоках источников, где они формируют мощный слизистый рыхеватый пленчатый налет, покрывающий дно ручья и не-глубокой заводи в стороне от основного стока воды. Они встречаются также в скоплениях синевеленных водорослей, обильно развивающихся в источниках. Видовой состав диатомей разнообразен: *Cocconeis placentula* var. *euglypta* (Ehr.) Cl., *Achnanthes lanceolata* (Bréb.) Grun. var. *lanceolata*, *Stauroneis wislouchii* Poretzky et Anissimova var. *wislouchii*, *Navicula cincta* var. *heufleri* Grun., *Navicula* sp., *Cymbella affinis* Kütz., *C. lanceolata* (Ehr.) V.H. var. *lanceolata*, *Gomphonema angustatum* (Kütz.) Rabenh. var. *angustatum*, *G. parvulum* var. *micropus* (Kütz.) Cl., *Rhopalodia gibberula* (Ehr.) O.Müll. var. *gibberula*, *Hantzschia amphioxys* (Ehr.) Grun. var. *amphioxys*, *Nitzschia amphibia* Grun. var. *amphibia*, *N. hungarica* var. *hungarica* Grun., *N. linearis* W.Sm. var. *linearis*, *N. microcephala* Grun. var. *microcephala*, *N. obtusa* W.Sm. var. *obtusa*, *N. obtusa* var. *scalpelliformis* Grun., *N. obtusa* var. *scalpelliformis* f. *arkevanica* Balaschova, *N. recta* Hantzsch var. *recta*, *N. thermalis* var. *minor* Hilse, *N. tryblionella* var. *levidensis* (W.Sm.) Grun., *Surirella angustata* Kütz. var. *angustata*, *S. ovalis* Bréb. var. *ovalis*, *S. ovata* Kütz. var. *ovata*.

Из четырех источников группы Ибадису диатомовые водоросли отмечены в трех. Рыхеватые или коричневатые налеты диатомей, преобладающие иногда в длинные слизистые тяжи, покрывают дно ручьев - стоков вод источников и небольших лужиц в стороне от основного стока воды. В комплекс диатомей терм Ибадису входят: *Achnantes brevipes* Ag. var. *brevipes*, *A. brevipes* var. *intermedia* (Kütz.) Cl., *Diploneis elliptica* (Kütz.) Cl. var. *elliptica*, *D. smithii* var. *pumila* (Grun.) Hust., *Navicula pusilla* W.Sm. var. *pusilla*, *Navicula* sp., *Pleurosigma salinarum* Grun., *Amphora normanii* Rabenh., *Rhopalodia gibberula* (Ehr.) O.Müll. var. *gibberula*, *Hantzschia am-*

*phioxys* (Ehr.) Grun. var. *amphioxys*, *Bacillaria paradoxa* Gmelin var. *paradoxa*, *Nitzschia obtusa* W.Sm. var. *obtusa*, *N. obtusa* var. *scalpelliformis* Grun., *N. obtusa* var. *scalpelliformis* f. *arkevanica* Balaschova, *N. lorenziana* var. *subtilis* Grun., *N. recta* Hantzsch var. *recta*, *N. sigma* var. *sigma* Grun., *N. subvitrea* Hust., *N. tryblionella* Hantzsch, var. *tryblionella*, *N. tryblionella* var. *levidensis* (W.Sm.) Grun., *Surirella angustata* Kütz. var. *angustata*, *S. ovalis* Bréb. var. *ovalis*.

В целом флора диатомей представлена 36 видами, разновидностями и формами, которые относятся к подклассу Pennatophycid. Особенno многочисленны виды из порядка Raphinales. Самым большим разнообразием характеризуется род *Nitzschia* Hass. (14 видов и внутривидовых таксонов).

Сравнение данных по видовому составу водорослей терм Мешасу и Ибадису показывает, что несмотря на территориальную близость терм и сходство их физико-химических параметров, они характеризуются своеобразными группировками диатомей. Из 36 видов и внутривидовых таксонов диатомовых водорослей лишь 10 являются общими для обеих групп, а коэффициент флористического сходства по Йаккар [Василевич, 1969] равняется 27,8%. Большее сходство наблюдается между источниками, принадлежащими одной группе. Однако и они различаются по доминирующими в них видам. Так, в первом источнике группы Мешасу доминируют *Navicula* sp., *Nitzschia thermalis* var. *minor* Hilse, *N. tryblionella* var. *levidensis* (W.Sm.) Grun., во втором преобладающими формами, наряду с *Navicula* sp., являются *N. obtusa* var. *scalpelliformis* Grun., *N. obtusa* var. *scalpelliformis* f. *arkevanica* Balaschova. В источниках группы Ибадису на смену *Pleurosigma salinarum* Grun., доминирующей в первом источнике, приходят *Achnanthes brevipes* Ag. var. *brevipes*, *Nitzschia obtusa* var. *scalpelliformis* f. *arkevanica* Balaschova.

В экологическом отношении диатомовые водоросли обследованных источников разнообразны. Здесь встречаются виды, развивающиеся в различных водных и вневодных биотопах: реки, озера, родники, поверхность почвы, влажных скал и т.д. Несмотря на это для всех видов диатомей характерно обитание в термальных источниках.

Флора диатомовых водорослей обследованных источников имеет ярко выраженный бентический характер. Преобладающими формами среди диатомей являются формы бентосные, как собственно донные, так и эпифиты. Типично планктонные формы отсутствуют, немногочисленны

и случайно-планктонные виды (всего 11 видов и разновидностей). Такой характер флоры вполне соответствует термальным местам обитания. Это неглубокие стоки - ручьи, лужи, в которых неизначительная толща воды исключает возможность парящего, планктонного обра-за жизни.

Общий диапазон температуры воды в источниках Мешасу и Ибади-су  $32\text{--}45^{\circ}\text{C}$ . Развитие диатомовых водорослей отмечено при  $32\text{--}38^{\circ}$ , но при  $38^{\circ}$  они достигают столь неизначительного развития, что видимые следы их присутствия не наблюдаются, так как клетки диато-мей погружены в скопления сине-зеленых водорослей. Диатомеи разви-ваются в массе в обеих группах источников в нижней части стока вод или в стороне от основного стока при температуре воды  $32\text{--}34^{\circ}\text{C}$ . При просмотре проб во временных капельно-жидких препаратах уста-новлено, что все клетки имели неповрежденные окрашенные хромато-форы, свидетельствующие о живом состоянии клеток в момент сбора и при зарегистрированных температурах.

Повышенная минерализация вод источников в значительной мере отразилась на составе водорослей. Среди диатомей присутствует ни-чтоизно малое число видов-галофобов, т.е. типичных обитателей прес-ных вод (1 вид - 2,7% от общего числа диатомей). Наиболее разно-образной в видовом отношении является группа олигогалобов. Среди них преобладают виды-индифференты, сохраняющие способность нормально развиваться при некотором повышении или понижении минера-лизации воды (15 видов и внутривидовых таксонов - 41,7% от общего числа диатомей). Обильного же развития достигают немногочисленные виды-галофилы (5 видов и разновидностей - 13,9% от общего числа диатомей) и среди них - доминирующая в отдельных источниках *Nitz-schia tryblionella* var. *levidensis* (W.Sm.) Grun. Второе место по видовому разнообразию занимают мезогалобы (12 видов и внутривидо-вых таксонов - 33,3% от общего числа диатомей), составляющие в большинстве исследованных источников основной фон комплекса диато-мовых водорослей, и среди них - *Achnantes brevipes* Ag. var. *brevi-pes*, *Pleurosigma salinarum* Grun., *Nitzschia obtusa* var. *scalpelliformis* Grun.

Большинство встреченных диатомовых водорослей являются алка-лифилами, т.е. формами преимущественно развивающимися в слабоше-лочной среде. В исследованных источниках  $\text{pH} = 6$ . Разнообразный качественный состав диатомей и высокие оценки обилия свидетельст-вуют о том, что слабокислая реакция среды не оказывает тормозяще-го, угнетающего действия на флору диатомовых водорослей.

## УКАЗАТЕЛЬ ЛИТЕРАТУРЫ

- А ск е р о в А.Г. Термальные воды Ленкоранской области (Талыша) и задачи их теплового использования. - В кн.: Проблемы геотермии и практического использования тепла Земли. М., 1961, т.2, с.209-212.
- В а с и л е в и ч В.И. Статистические методы в геоботанике. Л., 1969, 231 с.
- В о р о н и х и н Н.Н. Материалы для флоры пресноводных водорослей Кавказа I Schizophyceae. - Тр.Ленингр.о-ва естествоисп., 1924, т.47-53, вып.3, с.211-263.
- В о р о н и х и н Н.Н. Материалы для флоры пресноводных водорослей Кавказа. I Schizophyceae. - Тр.Ленингр.о-ва естествоисп., 1926, т.56, вып.3, с.45-104.
- Р ә а е в а С.Г. Об альгофлоре минеральных источников Масаллинского района Азербайджана. - В кн.: Тезисы докл. IV Закавк. совещ. по споровым раст. Ереван, 1972, с.48-50.
- Р ә а е в а С.Г. Новые синезеленные водоросли из горячих источников Азербайджана. - Новости системат.нивш.раст., 1974, т.II, с.104-105.

Н.И.Головенина

### ДИАТОМОВЫЕ ВОДОРОСЛИ ИЗ ТЕРМАЛЬНЫХ ИСТОЧНИКОВ КАЛЬДЕРЫ ВУЛКАНА УЗОН НА КАМЧАТКЕ

Термальные источники Камчатки по составу и генетическим особенностям относятся к очень своеобразным и, по-видимому, единственным у нас в Союзе. Камчатка как термальная провинция отличается от сходных вулканических областей Кавказа и Аляски.

Важнейшими экологическими факторами существования организмов в горячих источниках являются температура воды, постоянная в течение года, широкий диапазон pH и большое содержание в воде растворенных минеральных веществ и газов. Обильнее других в термах развиваются *Cyanophyta*. Температурный предел для них по литературным данным составляет 80°C; в несколько меньшем количестве представлены *Bacillariophyta*, температурный предел которых около 50° [Еленкин, 1914; Сореланд, 1936; Petersen, 1946, и др.].

Специальных исследований по диатомовым водорослям термальных источников почти не проводилось, хотя некоторые сведения о них имеются в работах, касающихся изучения альгофлоры теплых и горячих минеральных источников [Змеев, 1872; Воронихин, 1927а, б; Petersen, 1930; Коган, 1960; Алиев, 1961; Мусаев и др., 1963; Мусафаров, 1965; Эргашев, 1969]. Наиболее детально изучены диатомеи Азербайджана [Балашова, 1974, 1975а, б] и Северного Кавказа [Головкина, 1975].

Сведения о диатомовых водорослях из терм Камчатки имеются в кратком сообщении Р. Гутвинского [Gutwinski, 1891], в сводке А.А. Еленкина [1914] и в работе Дж. Петерсена [Petersen, 1946]. По мнению А.А. Еленкина и Дж. Петерсена, специфические термофилы среди диатомей отсутствуют.

Диатомовые водоросли из кальдеры вулкана Узон до настоящего времени не исследовались. Материал был собран летом 1972 г. сотрудником НИИ биологии ЛГУ В.Н. Никитиной. Пробы взяты из неглубоких водоемов типа небольших ручейков, луж, ванночек, разливов, углублений в субстрате и т.д. Они представлены в основном более или менее толстыми плёнками различной окраски, налетами на дне, гальке, рыхлом субстрате. Одновременно с отбором проб проводилось описание источника, измерение температуры обычным ртутным термометром, определение pH с помощью индикаторной бумаги "Phan". Химические анализы источников взяты из работ Пилипенко [1974]. Техническая обработка и приготовление постоянных препаратов выполнены обычным способом, принятым для обработки современных диатомей [Диатомовые водоросли СССР, 1975].

В связи с тем, что при изучении диатомовых водорослей из термальных источников очень важно решить вопрос, находились ли диатомеи при данной температуре в живом состоянии или это были пустые отмершие клетки, весь исследованный материал до технической обработки был просмотрен во временных препаратах с объективом х40 или водной иммерсией х 60.

Вулкан Уэон расположен на западном побережье Камчатки к югу от Кроноцкого озера. Он принадлежит к северо-западному ряду отдельных вулканических гор [Пийп, 1937]. Кальдера Уэона представляет собой чашу кратера вулкана (размером 9 x 12 км), извергавшегося около 15 000 лет назад.

Для детального исследования были взяты пробы из термальных источников Восточного и Западного термальных полей кальдеры. Температурный диапазон составляет здесь от 14 до 70°С, а колебание pH - от 2,0 до 8,0.

Восточное термальное поле является самым большим, его площадь 1,5 x 0,2 - 0,3 км. Оно представлено тремя плоскими котловинами с вязким глинистым дном, лишеными растительности. Гидротермальная деятельность проявляется здесь в виде образования многочисленных воронок и озерков различной величины, которые большей частью имеют сток.

Исследованы Цианидный источник и "Зеленый котел", расположенные в восточной части, а также источник под названием "Сковорода", расположенный в северо-западной части восточного термального поля. По химическому составу воды они принадлежат к сульфатно-хлоридно-натриевому типу.

Цианидный источник представляет собой небольшую чашу. Вода в месте выхода имеет температуру 80°, pH - 7,0. Источник дает начало ручью протяженностью 10 м с системой ванн и точечных термальных источников по берегам. Глубина ручья 1-10 см. На расстоянии 8 м от истока ручей сливаются с холодным потоком и течет по заболоченной почве.

Изучены пробы: из ванны у истока, несколько проб по течению ручья, пробы в месте слияния горячего ручья с холодным, кроме того, пробы из трех небольших ванночек, расположенных на берегу вдоль русла. Пробы представлены, в основном, пленками сине-зеленого цвета, местами с коричневым оттенком, буро-коричневыми или буровато-синезелеными, иногда подсохшими сверху и омыляемыми водой только снизу.

Створки диатомовых водорослей обнаружены во всех пробах. Однако у истока при температуре 70° и pH 7,0 отмечены лишь единичные экземпляры створок диатомей (*Diatoma hiemale* var. *hiemale*, *Eunotia exigua*, *Pinnularia braunii* var. *amphicephala* и др.) Во временных препаратах диатомы не были обнаружены.

Вниз по течению ручья, где температура воды падает до 57 и 45° при pH 7,0 в буровато-коричневых или сине-зеленых с бурным оттенком пленках обнаружено 11-12 видов диатомей в пробе. Отдельные из них имели высокую численность, например, *Pinnularia braunii* var. *amphicephala* (таблица). Просмотр временных препаратов показал присутствие *P. braunii* var. *amphicephala* с недеформированными окрашенными хроматофорами, что свидетельствует о ее нормальном развитии при 57 и 46°C.

В месте слияния горячего ручья с холодным, при температуре воды 29° и pH 6,0 видовое разнообразие диатомей возрастает (16 видов и разновидностей). *P. braunii* var. *amphicephala* имеет массовое развитие, с оценкой "часто", кроме того, отмечен *Achnanthes lanceolata* var. *lanceolata*, с оценкой "очень часто" - *P. microstauron* var. *microstauron* и "нередко" - *Nitzschia paleae* var. *paleae*. Все они во временном препарате имеют недеформированные окрашенные хроматофоры. Остальные диатомеи были представлены единичными экземплярами в виде пустых створок.

В пробах, взятых из ванночек, расположенных на берегу ручья, видовое разнообразие диатомей находилось в прямой зависимости от температуры. При температуре 39° и pH 6,0 были найдены в основном единичные экземпляры створок 9 видов и разновидностей диатомовых водорослей; во временном препарате диатомеи обнаружены не были. В ванночках с температурой 19 и 14° видовое разнообразие увеличивается (14-15 видов), массового развития достигает *P. braunii* var. *amphicephala*. Кроме нее, с большой численностью найдены *Eunotia praerupta* var. *praerupta* ("часто"), *Pinnularia intermedia* f. *minor* ("очень часто") и др. Во временных препаратах только *P. braunii* var. *amphicephala* найдена с недеформированными хроматофорами.

"Зеленый котел" представляет собой воронку в скальном субстрате диаметром 5 м, температура в котле 56°, pH 6,0. На берегу котла располагаются три небольших источника, один из которых дает начало ручью длиной 50 м.

Диатомеи были изучены в пробах с температурой от 26 до 49°C и pH 6,0-5,5, взятых на берегу котла и в ручье. Они представлены пленками различного цвета: темно-оливковыми, оливково-бурными, бурыми, буровато-коричневыми, темно-зелеными.

Во всех пробах были встречены диатомовые водоросли. Состав их сходен с флорой диатомей Цианидного источника, но несколько



1	2	3	4	5	6	7	8	9	10	11	12	13	14	15	16	17	18	19	20	21	22	23
Fragilaria virescens var. oblongella Grun.	п							1					2	2	1	2	1	1	1			
Ceratoneis arcus (Ehr.) Kütz. var. arcus	п				1								1	3		1						
C. arcus var. amphioxys (Rabenh.) Brun.	п				1								1	2		1						
C. arcus var. linearis f. recta (Skv. et Meyer) Pr.-Lavr.	п	1	1										1									
Synedra vaucheria Kütz. var. vaucheria	п												1									
Eunotia arcus Ehr. var. arcus	п												1									
E. exigua (Bréb.) Rabenh. var. exigua	п		1	1	1	1		1	3+	1	1	1	3	2	3	1	3	1	3+	4	1	3
E. exigua var. tridentula Oestr.	п												1									
E. faba (Ehr.) Grun. var. faba	п												1									
E. fallax A.C. var. fallax	п					1		1	1	1	1	1									1	
E. fallax var. gracillima Krasske	п												1									1
E. gracilis (Ehr.) Rabenh.	п													1								
E. lunaris (Ehr.) Grun. var. lunaris	п					1		2	1	1	1						1	1	1	1		
E. pectinalis (Dillw.? Kütz.) Rabenh. var. pectinalis	п												1									
E. pectinalis var. minor (Kütz.) Rabenh.	п													1								
E. pectinalis var. minor f. impressa (Ehr.) Hust.	п	1																				
E. polydentula Brun. var. polydentula	п												1									
E. praerupta Ehr. var. praerupta	п			1	1	4		3		2	1	1	1									
E. praerupta var. muscicola Boye P.	п			1																		
E. septentrionalis Oestr. var. septentrionalis	п												1									
E. tenella (Grun.) Hust.	п													1								
Coccconeis placentula Ehr. var. placentula	п-с																					
C. placentula var. euglypta (Ehr.) Cl.	п-с																					
Achnanthes affinis Grun.	п-с																					
A. dispar Cl. var. dispar	п	1																				
A. exigua Grun. var. exigua	п												1									
A. lanceolata (Bréb.) Grun. var. lanceolata	п	1			4	3		2	1	1	1	1	3		1	1	1	1	1	1		
A. lanceolata var. capitata O. Mill.	п				1								1	2	1	2	1	1	1			
A. lanceolata var. elliptica Cl.	п					3							1		1							
Rhoicosphenia curvata (Kütz.) Grun. var. curvata	п-с													1								
Diploneis elliptica (Kütz.) Cl. var. elliptica	п												1	2	1		1					
D. ovalis (Hilse) Cl. var. ovalis	п-с																					

1	2	3	4	5	6	7
<i>Frustulia rhomboides</i> (Ehr.) D.T. var. <i>rhomboides</i>	P					
<i>F. vulgaris</i> Thw. var. <i>vulgaris</i>	P					
<i>Stauroneis pygmaea</i> Krieg.	P					
<i>Navicula cincta</i> var. <i>heufleri</i> Grun.	P-c					
<i>N. coccineiformis</i> Greg.	P-c					
<i>N. contenta</i> Grun. var. <i>contenta</i>	P					
<i>N. contenta</i> f. <i>biceps</i> Arn.	P					
<i>N. contenta</i> f. <i>parallela</i> Boye P.	P					
<i>N. cryptocephala</i> Kütz. var. <i>cryptocephala</i>	P-c					
<i>N. cryptocephala</i> var. <i>veneta</i> (Kütz.) Grün.	P-c					
<i>N. dicephala</i> (Ehr.) W.Sm. var. <i>dicephala</i>	P					
<i>N. gregaria</i> Donk. var. <i>gregaria</i>	C					
<i>N. mutica</i> Kütz. var. <i>mutica</i>	P-c					
<i>N. mutica</i> var. <i>ventricosa</i> (Kütz.) Cl.	P-c					
<i>N. placentula</i> f. <i>minuta</i> Boye P.	P-c?					
<i>N. pupula</i> Kütz. var. <i>pupula</i>	P					
<i>N. pupula</i> var. <i>elliptica</i> Hust.	P					
<i>N. rhynchocephala</i> Kütz. var. <i>rhynchocephala</i>	P-c			1		
<i>N. söhrensis</i> var. <i>capitata</i> Krasske	P					
<i>N. viridula</i> var. <i>slesvicensis</i> Grun.	C					
<i>Pinnularia borealis</i> Ehr. var. <i>borealis</i>	P					
<i>P. borealis</i> var. <i>breviscostata</i> Hust.	P					
<i>P. braunii</i> (Grun.) Cl. var. <i>braunii</i>	P					
<i>P. braunii</i> var. <i>amphicephala</i> (A.Mayer) Hust.	P	5	4+	3	6+	6+
<i>P. globiceps</i> var. <i>krookei</i> Grun.	P					
<i>P. gibba</i> Ehr. var. <i>gibba</i>	P	1				
<i>P. intermedia</i> (Lagerst.) Cl.	P					
<i>P. interrupta</i> f. <i>minor</i> Boye P.	P-c?		1	1		5
<i>P. isostauron</i> Grun.	P					
<i>P. microstauron</i> (Ehr.) Cl. var. <i>microstauron</i>	P	1	1		5+	2
<i>P. microstauron</i> var. <i>brebissonii</i> f. <i>diminuta</i> Grun.	P	1				
<i>P. obscura</i> Krasske	P					
<i>P. subcapitata</i> Greg. var. <i>subcapitata</i>	P					

8	9	10	11	12	13	14	15	16	17	18	19	20	21	22	23
					1		1								1
							1	1		1				1	1
								1						1	1
									1					1	1
										1				4	1
											1			1	
												1			1
															1
															1
															1
															1
															1
															1
															1
															1
															1
															1
															1
															1

I	2	3	4	5	6	7	8	9	10	II	12	13	14	15	16	17	18	19	20	21	22	23
<i>Pinnularia subcapitata</i> var. <i>hilseana</i> (Janisch.) O.Mill.	п													1			1					2
<i>P. streptoraphe</i> Cl.	п														1							
<i>P. undulata</i> var. <i>subundulata</i> Grun.	п													1	1							
<i>P. viridis</i> (Nitzsch) Ehr. var. <i>viridis</i>	п													1	1		1					
<i>P. viridis</i> var. <i>fallax</i> Cl.	п													1								
<i>P. viridis</i> var. <i>rupestris</i> (Hantzsch) Cl.	п																					
<i>Neidium affine</i> (Ehr.) Cl. var. <i>affine</i>	п																					1
<i>N. affine</i> var. <i>amphirhynchus</i> (Ehr.) Cl.	п																				1	1
<i>N. bisulcatum</i> (Lagerst.) Cl. var. <i>bisulcatum</i>	п																					1
<i>Caloneis bacillum</i> (Grun.) Mer. var. <i>bacillum</i>	п																				2	1
<i>Amphora ovalis</i> var. <i>libyca</i> Ehr.	п-с																					
<i>A. ovalis</i> var. <i>pediculus</i> Kütz.	п-с																					
<i>Cymbella aequalis</i> W.Sm.	п																					
<i>C. amphioxys</i> (Kütz.) Grun.	п																					
<i>C. oistula</i> (Hemp.) Grun.	п																					
<i>C. sinuata</i> Greg. var. <i>sinuata</i>	п																					
<i>C. stuxbergii</i> var. <i>intermedia</i> Wisl.	п																					
<i>C. turgida</i> (Greg.) Cl. var. <i>turgida</i>	п																					
<i>C. ventricosa</i> Kütz. var. <i>ventricosa</i>	п																					
<i>Gomphonema angustatum</i> (Kütz.) Rabenh. var. <i>angustatum</i>	п-с																				4	2
<i>G. angustatum</i> var. <i>productum</i> Grun.	п-с																				5	
<i>G. intricatum</i> var. <i>dichotomum</i> (Kütz.) Grun.	п																				1	
<i>G. olivaceum</i> (Lyngb.) Kütz. var. <i>olivaceum</i>	п-с																					
<i>G. parvulum</i> var. <i>micropus</i> (Kütz.) Cl.	п-с	1	3	1	2																4	5
<i>Rhopaledia gibba</i> (Ehr.) O.Mill. var. <i>gibba</i>	п-с																					
<i>R. musculus</i> var. <i>mirabilis</i>	с																				1	1
<i>Hantzschia amphioxys</i> (Ehr.) Grun. var. <i>amphioxys</i>	п-с																				1	1
<i>Nitzschia amphibia</i> Grun. var. <i>amphibia</i>	п	1				1	2														4	5
<i>N. communis</i> Rabenh. var. <i>communis</i>	п					1	1														1	
<i>N. dissipata</i> (Kütz.) Grun.	п																					
<i>N. obtusa</i> W.Sm. var. <i>obtusa</i>	с	1																				
<i>N. ovalis</i> Arn.	с	2	1	1	1																	
<i>N. paleae</i> (Kütz.) W.Sm. var. <i>paleae</i>	п-с	I	I	6	3 <sup>+</sup>	2															4	5
<i>N. paleae</i> var. <i>debilis</i> (Kütz.) Grun.	п																				1	
<i>Surirella angustata</i> Kütz. var. <i>angustata</i>	п																				1	1
Количество видов и разновидностей диатомей в пробе	12	11	9	16	15																28	39

обеднен как по количеству видов, так и по численности. Подавляющее большинство диатомей найдены в виде единичных экземпляров. Однако следует отметить чрезвычайно обильное развитие во всех точках сбора *Pinnularia braunii* var. *amphicephala*, а при температуре 26° и pH 6,0 она была представлена почти чистой культурой. Во временных препаратах эта разновидность имеет недеформированное окрашенные хроматофоры, что указывает на благоприятные условия развития ее при температуре в диапазоне от 26 до 49°С.

Источник "Сквороды" представляет собой чашу глубиной 8-10 см с температурой 94° и pH - 4,0. Пары и брызги увлажняют почву в диаметре 1 м вокруг чаши, образуя небольшие лужицы в углублениях на почве.

Анализу были подвергнуты 11 проб, представленных пленками различного цвета, собранными с увлажненных мест, либо развитыми на гальке, либо образующими кайму у уреза воды. Колебание температуры в местах их развития составляет 26-50°, pH 2,0-6,0.

Всего в пробах было обнаружено 99 видов и разновидностей диатомовых водорослей. Анализируя найденную флору, следует прежде всего отметить присутствие также в огромном количестве *P. braunii* var. *amphicephala*. Просмотр временных препаратов показал хорошую сохранность хроматофоров и почти чистую культуру этой разновидности при температуре 27, 30, 32, 44°С.

Довольно разнообразен *Eunotia* (14 видов и разновидностей), который характерен для болотистых вод. Некоторые виды этого рода встречены во временных препаратах с окрашенными недеформированными хроматофорами. Это *Eunotia praerupta* var. *praerupta*, *E. praerupta* var. *muscisola*, *E. exiqua* var. *exiqua*. Большинство остальных диатомей найдено в виде пустых, отмерших створок.

Западное термальное поле находится у подножья сопки Узон, лишено растительности, сложено глинистыми породами. В целом оно относительно сухое, так как расположено на 50-70 м выше основных термальных полей кальдеры. По химическому составу воды относится к сульфатному типу.

Из исследованных 9 проб, представленных налетами и пленками на глинистом субстрате, диатомей найдены только на дне ручейка при температуре 45°, pH 7,0, и небольшого озерка с температурой воды 44°, pH 8,0.

Диатомовая флора Западного термального поля беднее в видовом отношении, здесь встречено только около 50 видов и разновидностей

диатомей. Видовой состав диатомей несколько отличен, общими с диатомами Восточного термального поля являются только 23 вида. По видовому разнообразию преобладают представители родов *Navicula* (10 видов) и *Pinnularia* (11 видов). Высокая численность отмечена у родов *Gemphonema* и *Nitzschia*. С оценкой "очень часто" присутствуют *Gemphonema angustatum* var. *productum*, *G. parvulum* var. *microspus*, *Nitzschia amphibia* var. *amphibia*, *N. paleae* var. *paleae*.

Обращает на себя внимание отсутствие массового развития здесь *P. braunii* var. *amphicephala* (таблица), максимальная количественная оценка ее "нередко", причем во временных препаратах наблюдается полное отсутствие створок с хроматофорами.

Не разбирая детально распределение диатомей в зависимости от pH и химизма воды, некоторые различия видового состава диатомей источников Восточного и Западного термальных полей, видимо, можно частично объяснить различным химизмом воды.

Таким образом, исследование диатомовых водорослей в термальных источниках кальдеры вулкана Уэон позволило обнаружить около 120 видов и разновидностей диатомей. Подавляющее большинство их относится к видам широко распространенным, все они развиваются, как правило, в обычных холодноводных местах обитания. Специфическая термофильная диатомовая флора или отдельные термофильные виды не были обнаружены. Верхний температурный предел развития диатомей в кальдере Уэона составляет  $57^{\circ}\text{C}$ . Присутствие в термах диатомей, характерных для обычных холодноводных водоемов, можно объяснить вероятно тем, что терморезистентность водорослей, по данным Лютовой и сотрудников [1954], обладает значительной пластичностью.

Особо следует отметить чрезвычайно обильное развитие в термальных источниках кальдеры *Pinnularia braunii* var. *amphicephala*, указанной по литературным данным для Кольского полуострова и УССР. Температурный диапазон ее очень велик: она найдена здесь при температуре от 14 до  $57^{\circ}$  с недеформированными хроматофорами. Там, где обильно развита эта форма, другие диатомы почти отсутствуют, и она представлена часто чистой культурой. Кроме того, развитие ее отмечается как в водных условиях, где она образует толстые, морщинистые, блестящие пленки оливкового, бурого и бура-коричневого цвета (на дне ручейков, ванночек и др.), так и во вневодных местообитаниях, лишь периодически орошаемых водой или только конденсатами (в трещинах почвы, у урэза воды и т.п.).

Кроме *P. braunii* var. *amphicephala*, в отдельных пробах были найдены с недеформированными хроматофорами *Eunotia exiqua* var. *exiqua* при температуре 37°, *E. praerupta* var. *praerupta* - при 27, 31°, *Pinnularia interrupta* f. *minor* - при 37°, *P. microstauron* var. *microstauron* - при 29°, *Nitzschia paleae* var. *paleae* - при 29, 30°. Большинство диатомей во временных препаратах обнаружено в виде пустых створок. Это свидетельствует о том, что представители многих родов, таких, например, как виды планктонного рода *Melosira* и *Stephanodiscus*, а также развивающиеся обычно в холодных водах *Melosira distans* var. *distans* et var. *alpigena*, и представители родов *Meridion*, *Diatoma* и *Ceratoneis* привнесены сюда, вероятно, холодными потоками.

Таким образом, наши данные подтверждают мнение А.А. Еленкина [1914] и Дж. Петерсена [Petersen, 1946] о том, что специфическая термофильная диатомовая флора отсутствует, а к жизни в термальных источниках приспособливаются диатомеи обычной холодноводной местной флоры.

#### УКАЗАТЕЛЬ ЛИТЕРАТУРЫ

- Алиев Д.Г. Материалы к флоре водорослей минеральных источников Кельбаджарского Истису Азербайджанской ССР. - Изв. АН Аз. ССР, сер. биол. и мед. наук. Баку, 1961, № 5, с. 23-29.
- Балашова Н.Б. Материалы к альгофлоре некоторых термальных источников Азербайджана. - Вестн. Ленингр. ун-та, 1974, № 9, с. 36-61.
- Балашова Н.Б. К флоре водорослей термальных источников Азербайджана. - В. кн.: Новости систематики низших растений. Л.; М., 1975а, с. 90-94.
- Балашова Н.Б. К флоре водорослей термальных источников Верхнего Истису. - Вестн. Ленингр. ун-та, 1975б, № 3, с. 35-39.
- Воронихин Н.Н. Материалы к альгологической флоре и растительности минеральных источников группы Кавказских Минеральных вод. - Труды Бальнеолог. ин-та. Пятигорск, 1927а, т. 5, с. 91-121.
- Воронихин Н.Н. Очерк альгологической растительности

- терм Кавказских Минеральных вод. - В кн.: Юбилейный сб., посвящ. И.П.Бородину. Л., 1927г, с.257-274.
- Головеникина Н.И. Диатомыи некоторых минеральных и термальных источников Кавказа. - Вестн.Ленингр.ун-та, 1975, № 3, с.40-47.
- Диатомовые водоросли СССР. Ископаемые и современные. Л., 1975, т.1, с.60-62.
- Еленкин А.А. Пресноводные водоросли Камчатки. Отд.оттиск из Трудов Камчатск.экспед. Ф.П.Рябушинского, бот.отд. М., 1914, вып.2, 402 с.
- Змееев Л. Несколько данных для изучения нижних водорослей на Кавказских Минеральных Водах. Отд.оттиск Военно-Медиц. журн. СПб, 1872, ч.114, с.1-61.
- Коган Ш.И. Материалы к флоре водорослей водоемов горного массива в юго-восточной Туркмении. Тр.ин-та зоол.и параситол. АН ТССР. Ашхабад, 1960, т.6, с.116-126.
- Лютова М.И. и др. Температурная адаптация клеток морских и пресноводных водорослей / Завадская И.Г., Лукницкая А.Ф., Фельдман Н.И. - В кн.: Клетка и температура среды. М.;Л., 1964, с.115-119.
- Музafferов А.М. Флора водорослей водоемов Средней Азии. Ташкент, 1965, 567 с.
- Мусаев К.Д., Эргашев А., Сайдова Р. О флоре водорослей некоторых естественных и искусственных горячих источников Средней Азии. - Узб.биол.журн., 1963, № 8, с.5-11.
- Пилип Б.И. Термальные ключи Камчатки. М.;Л., 1937, вып.2, 267 с.
- Пилипенко Г.Ф. Гидрохимическая характеристика узонской термоаномалии. - В кн.: Вулканы, гидротермальный процесс и рудообразование. М., 1974, 110 с.
- Эргашев А.Э. Материалы к альгофлоре естественных и искусственных теплых и горячих источников Средней Азии. Ташкент, 1969. 39 с.
- Copeland J.J. Yellowstone Thermal Myxophyceae. Ann. New York Acad. Scien., 1936, vol.36, 232 p.
- Gutwinski R. Algarum e lacu Bajkal et e paeninsula Kamtschatka aclariss, prof. Dr.B.Dybowski anno 1877 reportatarum emumeratio et diatomacearum lacus Bajkal cum iisdem tat-

ricorum, italicorum atque francogallicorum lacuum comparatio  
in Nuova Notarisia, 1891, sér. II, 417 p.

Petersen J.B. Algae from O.Olufsen's secend Danish Pamir  
expedition 1898-1899. - Dansk botanick Arkiv. Kbenhavn, 1930,  
Bd. 6, 59 S.

Petersen J.B. Algae collected by Eric Hulten on the Swedish  
Kamchatka expedition 1920-1922, especially from hot sprin-  
gs. Det. Kgl. Danske Viedenskabernes Selsk. - Biol. Medd.  
København., 1946, Bd. 20, N 1, 122 S.

С.Б.Иванова, А.А.Липская,  
Л.Г.Водопьянова, Э.П.Берс, А.В.Козлов

### ИММУНОФЛЮОРЕСЦЕНТНОЕ ИССЛЕДОВАНИЕ ГИСТОНОВ НЕКОТОРЫХ ДИАТОМОВЫХ ВОДОРОСЛЕЙ

Статья касается исследования структуры ядерного аппарата диатомей в плане сравнения с генетическим аппаратом высших эукарио-  
тов. Биологические исследования хроматина диатомей практически от-  
сутствуют [Mendiola e. a., 1966], а вопросы, связанные со структу-  
рой их ядерного аппарата, рассматриваются в ряде статей [Manten  
e.a., 1969; Tippit e.a., 1975; Mc Donald e.a., 1977; Tippit,  
Pickett-Heaps, 1977] и в обзоре Б.В.Громова в настоящем сборнике.  
В данной работе применен метод непрямой иммунофлюоресценции, так  
как он обладает высокой чувствительностью и специфичностью и по-  
зволяет обнаружить и идентифицировать гистоны непосредственно в  
клетке, без ее предварительного разрушения.

#### Материалы и методы

Водоросли. В работе использованы 5 видов диатомовых  
водорослей из подкласса Centrophycidae: *Skeletonema costatum*

(Grev.) Cl., *Chaetoceros curvisetus* Cl., *Chaetoceros socialis* Land., *Ditylum brightwellii* (West.) Grun., *Cerataulina bergenii* Perag. Культуры этих водорослей были получены из коллекции черноморских планктонных водорослей от А.А.Ланской (Институт биологии южных морей) и поддерживались в колбочках на синтетической морской воде, в которую добавляли биогенные элементы по Гольдбергу [Goldberg e.a., 1951; Кабанова, 1968]. Соленость такой питательной среды составляла 36%. Интенсивное культивирование водорослей осуществляли в сосудах системы ИФР [Владимирова, Семененко, 1962] на той же среде при освещении лампами ЛБ-80 (освещенность 4-6 тыс. лк) и постоянном перемешивании воздухом со скоростью 0,15-0,20 л/мин на сосуд. Температура суспензии колебалась в пределах 20-25°C. Для иммунофлюресцентного исследования использовали культуры водорослей в логарифмической фазе роста. Диатомовые водоросли в 1975-77 гг. постоянно культивировались в лаборатории биохимии водорослей БИНИИ ЛГУ. Авторы глубоко признательны А.А.Михайлову и Н.Ф.Андраш за возможность выполнить это исследование на материале, выращенном при их непосредственном участии.

Метод непрямой иммунофлюресценции [Weller, Geens, 1954]. На предметное стекло с фиксированным препаратом водорослей наносили 2-3 капли иммунной сыворотки, инкубировали 40 мин во влажной камере при комнатной температуре и тщательно промывали физиологическим раствором, забуференным фосфатом (рН 7,2-7,4). После этого препараты инкубировали 30 мин в тех же условиях с 2-3 каплями меченоей ФИТЦ (изотиоцианат флюресцина) ослиной антисыворотки против глобулинов кролика в разведении 1:50 и отмывали от нее 20 мин в физиологическом растворе. В случае необходимости люминесцирующую сыворотку истощали печеночным порошком для снятия неспецифического свечения [Энгельгардт, 1968]. Препараты просматривали в люминесцентном микроскопе МЛ-2Б. Интенсивность свечения оценивали визуально по общепринятой пятибалльной шкале. Флюресцирующие ядра фотографировали на чувствительную к зеленой части спектра фотопленку РФ-3 с помощью фотонасадки МФН-10 к люминесцентному микроскопу.

Иммунные сыворотки к очищенным фракциям гистонов тимуса теленка (H1, H2A, H2B, H3 и H4) получали иммунизацией кроликов по разработанной нами схеме [Коалов и др., 1978а]. Было показано, что все антисыворотки к гистонам высокоактивны и специфичны, так как не дают перекрестных реакций с гетерологическими антигенами.

Активность и специфичность полученных антигистоновых сывороток определяли количественным вариантом реакции связывания комплемента и методом непрямой иммунофлюoresценции [Коэлов и др., 1978б].

### Результаты и обсуждение

Фиксация диатомовых водорослей обычным методом, применяемым для цитологических исследований диатомовых [Хуэ и др., 1974], не пригодна для последующего иммунофлюoresцентного анализа: фиксированные таким образом клетки сохраняют свою структуру, но при этом не обеспечивается проникновение высокомолекулярных иммуноглобулинов сыворотки через клеточную стенку и ядерную мембрану. Кроме того, в цитологические фиксаторы, как правило, входят кислоты, которые могут экстрагировать гистоны из ядра. Поэтому нам необходимо было подобрать такой фиксатор, который сохранял бы клеточные структуры, обеспечивал проницаемость для иммуноглобулинов и не экстрагировал гистоны из ядра.

Известно, что протопласт клетки диатомовых заключен в тончайшую мембрану — плазмалемму, которая тесно соприкасается с панцирем. Через плазмалемму происходит обмен протопласта клетки с внешней средой. Проницаемость плазмалеммы для нэлектролитов у диатомей выше, чем у других растительных клеток; в частности, некоторые диатомеи имеют высокую проницаемость для сахаров [Прошкина-Лавренко, 1974]. Поэтому мы использовали интенсивную промывку водорослей раствором сахараозы ( $0,4 \text{ M}$ ) перед фиксацией. После такой промывки водоросли немедленно фиксировали 50%-ным этанолом в течение 30 минут. При более длительной фиксации или повышении концентрации спирта клетки разрушались. Однако при вышеуказанных условиях клетка и ядро оставались целыми, а клеточная оболочка и ядерная мембрана пропускали высокомолекулярные глобулины иммунной сыворотки. Свободное прохождение высокомолекулярных частиц через панцирь обусловлено тем, что он пронизан порами размером  $0,1\text{--}0,6 \text{ мкм}$  в диаметре. Зафиксированное таким образом клетки водорослей наносили на стекло и высушивали. Препараты, приготовленные таким образом, использовали для иммунофлюoresценции.

Схема эксперимента по установлению наличия или отсутствия гистоновых фракций в клетках диатомовых водорослей с помощью метода НИФ представлена в табл. 1. В качестве примера приведено оп-

Таблица 1

Выявление гистонов в препаратах *Cerataulina bergonii* на примере гистона H4

I этап	II этап	Флюоресценция
1. Антисыворотка к гистону H4	Антисыворотка к глобулином кролика, меченая ФИЦ	++++
2. Неиммунная сыворотка	То же	-
3. Антисыворотка к гистону H4, истощенная гистоном H4 (1 мг/мл)	" "	-
4. Антисыворотка к гистону H4, истощенная суммой гистонов H1, H2A, H2B, H3 (1 мг/мл)	" "	++++
5. Антисыворотка к гистону H4, истощенная белками (лизоцим, РНК-аза, альбумин и др., 1 мг/мл)	" "	++++
6. Антисыворотка к гистону H5	" "	-
7. Антисыворотка к гистону H4	Антисыворотка к глобулином человека, меченая ФИЦ	-

++++ - интенсивное свечение ядер; - - отсутствие свечения.

ределение гистона H4 в ядрах на препаратах *Cerataulina bergonii* с помощью анти-H4 сыворотки. Постановка набора контрольных экспериментов позволяет установить специфичность свечения, обусловленного присутствием данной фракции гистона в ядрах, и исключает ошибку за счет неспецифического свечения, которое может проявляться при низких разведениях используемых антисывороток или в результате механической адсорбции этих сывороток на поверхности клеток или ядер водорослей.

Видно, что при обработке препарата антигистоновой сывороткой наблюдалось интенсивное свечение ядер *Cerataulina bergonii* (табл. 1,1). При использовании контрольной (неиммунной) сыворотки свечения ядра не наблюдалось (табл.1,2). Истощение этой антисыворотки гистоном H4 (гомологичным) вызывало исчезновение свечения ядер (табл.1,3), тогда как при истощении анти-H4 сыворотки суммой гетерологичных гистонов (H1, H2A, H2B, H3), либо различными белками и

полипептидами (лизоцим, альбумин, метилированный альбумин, РНК-аза, поли-L-лицин) не вызвало уменьшения интенсивности свечения (табл. 1, 4, 5). Контроль по истощению антисывороток гомологичным антигеном является доказательством специфичности обнаруживаемой флуоресценции ядер, которая обусловлена присутствием в препаратах исследуемых водорослей соответствующего гистона. Результаты по истощению антисыворотки гетерологичными антигенами или некоторыми другими основными белками свидетельствуют о том, что возможное неспецифическое взаимодействие в данных условиях реакции не оказывает влияния на интенсивность свечения ядер. Об этом же свидетельствует использование иммунной сыворотки к видоспециальному гистону H5 из эритроцитов голубя, которая не вызывает свечения ядер (табл. 1, 6), так как этот гистон отсутствует в клетках диатомовых. И, наконец, при использовании на II этапе реакции меченой антисыворотки к глобулинам человека свечение ядер также не наблюдается (табл. 1, 7), что свидетельствует о специфичности II этапа реакции. Таким образом, результаты табл. 1 говорят о том, что в ядрах диатомовой водоросли *Cerataulina bergonii* присутствуют гистон H4 либо его иммунологический аналог. Локализация его очевидна - клеточное ядро.

Подобным образом было исследовано наличие или отсутствие всех 5 фракций гистонов во всех исследованных диатомовых водорослях. Результаты представлены в табл. 2. Видно, что во всех изученных диатомовых имеются фракции гистонов H2A, H2B, H3 и H4, сходные по своим иммунохимическим свойствам с соответствующими фракциями гистонов тимуса теленка. Свечение ядер водорослей при обработке их анти-H1 сывороткой не наблюдалось. По-видимому, этот гистон либо отсутствует в данных объектах, либо его иммунохимические свойства резко отличаются от свойств гистона H1 тимуса теленка. В пользу последнего предположения говорит тот факт, что по физико-химическим свойствам H1 является видо- и тканеспецифичным белком.

Присутствие набора нуклеосомных гистонов H2A, H2B, H3 и H4 говорит о том, что интерфазный хроматин ядер диатомовых имеет, по-видимому, нуклеосомную организацию, как это показано сейчас для ряда высших и низших зукариотов (см. обзоры Kernberg [1977]; Георгиев, Бакаев [1978]). Известно, что в состав нуклеосомы входит нить ДНК длиной 140 пар оснований и 8 молекул гистона, по 2 молекулы каждого гистона H2A, H2B, H3 и H4. Показано, что у высших зукариотов между нуклеосомной ДНК (длиной около 60 пар оснований)

Таблица 2

Исследование набора гистоновых фракций в  
ядрах диатомовых водорослей

Объект	Антисыворотка к гистонам:				
	H1	H2A	H2B	H3	H4
Тимус теленка	+	+	+	+	+
<i>Seeligeria cestatum</i> (Grev.) Cl.	-	+	+	+	+
<i>Chaetoceros curvisetus</i> Cl.	-	+	+	+	+
<i>Chaetoceras socialis</i> Land.					
<i>Ditylum brightwellii</i> (West) Grun.	-	+	+	+	+
<i>Cerataulima bergenii</i> Perag.	-	+	+	+	+

+ - наличие свечения ядер; - - отсутствие свечения ядер.

связана с гистоном H1. Однако у одноклеточных зукариотов (инфузории, дрожжи) при постоянной длине нуклеосомной ДНК (140 пар оснований) длина межнуклеосомной ДНК колеблется от 0 до 80 пар оснований [Bakke, Bennet, 1977; Glover, Gerevsky, 1977; Lipps, Mergitis, 1977]. Присутствие и локализация гистона H1 (аналогичного гистону H1 высших зукариотов) не установлено [Gerevsky, Keerert, 1975; Caplan, 1977]. Таким образом, наши данные согласуются с данными биохимического анализа белков генетического аппарата одноклеточных зукариотов и указывают на нуклеосомную организацию интерфазного хроматина диатомовых водорослей.

При исследовании гистонов зеленых и эвгленовых водорослей [Коевлов и др., 1979] нами была показана возможность с помощью метода непрямой иммунофлюоресценции определить не только присутствие гистонов в водорослях и их локализацию, но и степень их сходства или различия со стандартным гистоном тимуса теленка по индексу различия или иммунологической дистанции. Использование этого подхода для характеристики специфичности гистонов диатомовых водорослей позволит получить дополнительные данные о систематическом положении диатомовых и их отношении к другим отделам одноклеточных зукариотов. Работа в этом направлении продолжается.

## УКАЗАТЕЛЬ ЛИТЕРАТУРЫ

- Владимирова М.Г., Семененко В.Е. Интенсивная культура одноклеточных водорослей. Л., 1962, 58 с.
- Георгиев Г.П., Бакаев В.В. Три уровня структурной организации хромосом эукариот. - Мол. биол., 1978, т.12, № 6, с.1205-1231.
- Кузе А.П., Прошкина-Лавренко А.И., Шешукова-Порецкая В.С. Методика исследования. - В кн.: Диатомовые водоросли СССР. Ископаемые и современные. Л., 1974, с.50-79.
- Кабанова Ю.Г. Органический фосфат как источник питания для фитопланктона. - Автореф. канд. дисс. М., 1968.
- Козлов А.В. и др. Получение и анализ антисыворотов к индивидуальным фракциям гистонов тимуса теленка. I. Анализ антисыворотов к гистонам методом реакции связывания комплемента. / Берс Э.П., Водопьянова Л.Г., Липская А.А., Иванова С.Б. - Цитология, 1978а, т.20, № 10, с.1167-1172.
- Козлов А.В. и др. Получение и анализ антисыворотов к индивидуальным фракциям гистонов тимуса теленка. II. Исследование иммунохимической специфичности гистонов методом непрямой иммунофлюресценции. / Липская А.А., Иванова С.Б., Водопьянова Л.Г., Берс Э.П. - Цитология, 1978б, т.20, № 11, с.1286-1291.
- Козлов А.В. и др. Иммунофлюресцентное исследование набора основных хромосомных белков некоторых зеленых водорослей и эвглен. / Иванова С.Б., Липская А.А., Берс Э.П., Водопьянова Л.Г. - Цитология, 1979, т.21, № 4, с.459-465.
- Прошкина-Лавренко А.И. Морфология и тонкая структура клетки. - В кн.: Диатомовые водоросли СССР. Ископаемые и современные. Л., 1974, с.7-19.
- Энгельгардт Н.В. Метод флюресцирующих антител и его применение для обнаружения тканевых антигенов на срезах. - В кн.: Иммунохимический анализ. М., 1968, с.165-188.
- Bakke A.C.A., Bonner J. The histones and structure of *Dictyostelium discoideum* chromatin. - J. Cell. Biol., 1977, vol.72, N 2, part. 2, p.128a.
- Caplan E.B. Histones and other basic nuclear proteins in genetically active and genetically inactive nuclei of the ciliate, *Oxytricha* sp. - Bioch. Biophys. Acta, 1977, vol. 479, N 2, p.214-219.

- G le e v e r C.C., v a n, G o r o v a k y M.A. Electron microscopic study of nucleosome structure in Tetrahymena macro- and micromuclei. - J.Cell.Biol., 1977, vol.75, N 2, part 2, p.147a.
- G e l d b e r g E.D., W a k e r T., W h i s e n a n d A. Phosphate utilization by diatom. - Biol.Bull., 1951, vol. 101, N 3.
- G o r o v s k y M.A., K e e v e r t J.B. Absence of histone F1 in a mitotically dividing, genetically inactive nucleus. - Proc.Nat.Acad.Sci.USA, 1975, vol.72, N 7, p.2672-2676.
- K o r n b e r g R.D. Structure of chromatin. - Ann.Rev.Biochem., 1977, vol.46, pp.931-954.
- L i p p s H.J.A., M o r r i s N.R. Chromatin structure in nuclei of the ciliate Stylenichia mytilus. - Biochem.Biophys. Res.Comm., 1977, vol.74, N 1, p.230-234.
- M c D o n a l d K.e.a., On the mechanism of anaphase spindle elongation in Diatoma vulgare./Pickett-Heaps J.D., Mc Intosh J.R.A., Tippit D.H. - J.Cell.Biol., 1977, vol.74, N 2, p.377-388.
- M a n t e n K.A., K e w a l l i k K.A., v o n S t o s c h H.A. Observations on the fine structure and development of spindle Lithodesmium undulatum. I. Preliminary survey of mitosis in spermatogonia. - J.Microscopy, 1969, vol.89, part 3, p.295-320.
- M e n d i e l a L.R., P r i c e C.A., G u i l l a r d R.R.L. Isolation of nuclei from a marine dinoflagellate. - Science, 1966, vol.153, N 3, p.1661-1663.
- T i p p i t D.H., M c D o n a l d K.L., P i c k e t t - H e a p s J.D. Cell division in the centric diatom Melosira varians. - Cytopiologie, 1975, vol. 12, N 1, p.52-73.
- T i p p i t D.H., P i c k e t t - H e a p s J.D. Mitosis in the pennate diatom Surirella ovalis. - J.Cell.Biol., 1977, vol.73, N 3, p.705-727.
- W e l l e r Th.H., C o o n s A.H. Fluorescent antibody studies with agents of Varicella and Herpes Zoster propagated in vitro. - Proc.Soc.Exp.Biol.Med., 1954, vol.86, N 4, p.789-794.

## УЛЬТРАСТРУКТУРА ПРОТОПЛАСТА ДИАТОМОВЫХ ВОДОРОСЛЕЙ

По современным представлениям диатомовые водоросли *Bacillariophyta* - это особый отдел водорослей с характерной структурой кремневого панциря и жизненным циклом, включающим половой процесс и ауксоспорообразование [Диатомовые водоросли, 1974]. Два последних десятилетия характеризуются бурным развитием экспериментальных исследований диатомовых водорослей, в результате чего получены многочисленные новые данные о физиологии и биохимии этих организмов [The biology of diatoms, 1977]. Использование просвечивающего и сканирующего электронных микроскопов позволило не-новому подойти к изучению особенностей строения их кремневого панциря. Это образование, само по себе мертвое, формируется в результате весьма тонко и точно регулируемой активности живой клетки, причем особенное значение приобретает пространственная организация ее синтетической активности. Однако особенности внутренней организации клетки диатомовых водорослей пока что изучены меньше. Это объясняется прежде всего методическими причинами: наличие прочного кремневого панциря создает значительные трудности для получения ультратонких срезов достаточно высокого качества. Тем не менее к настоящему времени выяснено, что клетки диатомовых водорослей обладают типичной эукариотической структурой; обнаружены и некоторые своеобразные черты их строения.

В настоящем обзоре будут рассмотрены современные представления о строении протопласта диатомовых водорослей, т.е. содержимого клетки, окруженного плаазмалеммой [Duke a., Reimann, 1977; Седова, 1977]. Использованы литературные данные и результаты собственных наблюдений при изучении ультраструктуры *Nitzschia fonticola* Grun., str. Gromov 1971/14, № 591, в коллекции культур водорослей Биологического института Ленинградского университета. Культура была выделена на стандартной среде № 6 [Громов, 1965] из теплого ( $28^{\circ}\text{C}$ ) источника около курорта Гагры (Кавказ). Материал фиксировали 2,5%-ным глutarовым альдегидом в какодилатном буфере (рН 7,2) при комнатной температуре в течение 1-2 часов, отмывали в этом же буфере в течение часа и повторно фиксировали в 1%-ном

$\text{OsO}_4$  1–2 часа при 4°C. После обезвоживания в спиртах возрастающих концентраций материал заливали в араконит. В некоторых случаях перед приготовлением срезов материал помещали на час в 20%-ный НФ для удаления панциря [Drum, 1963]. Срезы готовили на ультрамикротоме IKB-II и после контрастирования уранилацетатом и цитратом свинца просматривали в электронном микроскопе Hitachi IIE при ускоряющем напряжении 75 кВ.

*N. fonticola* обладает типичной для рода *Nitzschia* организацией клетки [Определитель..., 1951], схематически показанной на рис. 1, и характерной для диатомовых водорослей строением клеточных органелл (фото 1–15). Протопласт диатомовых водорослей окружен плаэмалеммой, изнутри непосредственно прилегающей к панцирю и следующей форме его внутренней поверхности. У многих видов поверхность протопласта не слишком сложна, но у некоторых, со сложным внутренним профилем панциря, например, у *Mastogloia grevillei* W.Sm. [Stoermer e.a., 1964], площадь плаэмалеммы, следующей углублениям и вмятинам панциря и септам, относительно очень велика и профиль поверхности протопласталожен. Сложность внешней структуры панциря не влияет на величину поверхности протопласта, так как большое число пор в нем может быть не связано с увеличением поверхности плаэмалеммы [Duke a. Reimann, 1977].

Расположение органелл в клетках диатомовых водорослей может быть более или менее стабильным. Стабильный порядок расположения органелл характерен для многих видов пеннинатных водорослей, имеющих париетальный хлоропласт (или хлоропласты), расположенный вдоль клетки. В центре в непосредственном контакте с хлоропластом находится ядро. Часть хлоропласта и ядро с участком цитоплазмы, диктиосомами и митохондриями образуют центральный мостик между двумя полярными вакуолями [Stoermer e.a., 1965; Taylor, 1972, и др.]. Подобную организацию клетки обнаруживает и *Nitzschia fonticola* (рис. 1, фото 1–15). Так же, как у исследованной Гиббсом [Gibbs, 1962a] *N. angularis* W.Sm., у *N. fonticola* два париетальных хлоропласта, тесно соприкасающихся в центре клетки (рис. 1, б, в, фото 1, 3, 4). Клетки некоторых диатомовых водорослей содержат многочисленные хлоропластины. В этом случае число хлоропластов может довольно резко изменяться в зависимости от условий температуры и освещения [Jeffrey a. Vesk, 1977].

Хлоропласт диатомовых водорослей содержит ограниченные двумя мембранными цистернами – тилакоиды. В отличие от тилакоидов хлоро-

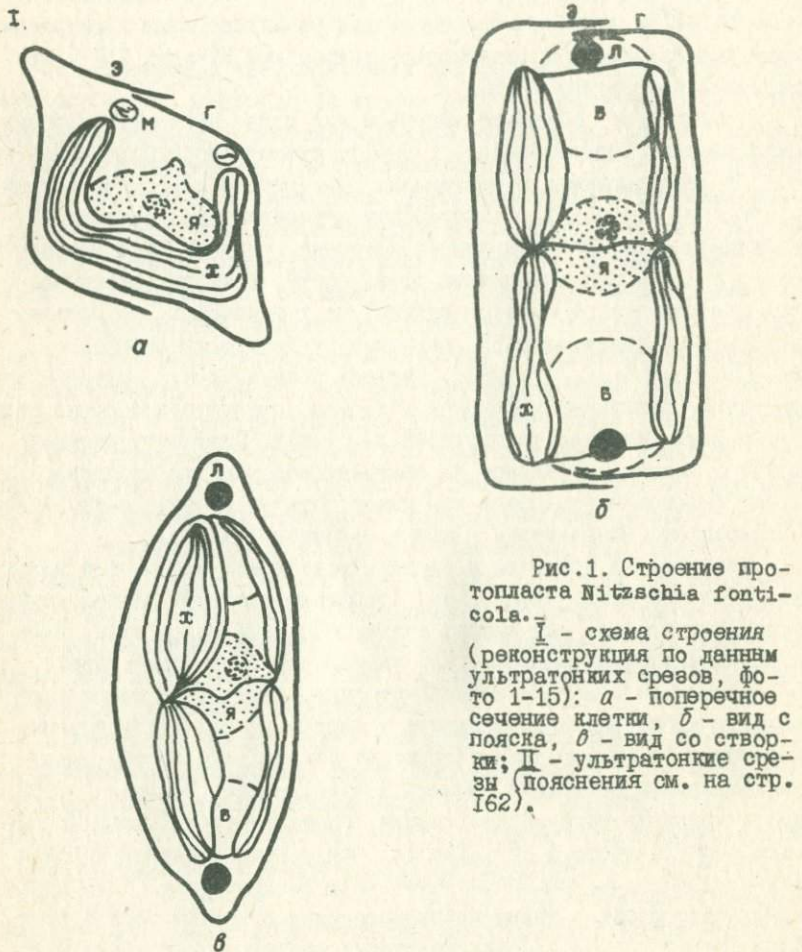
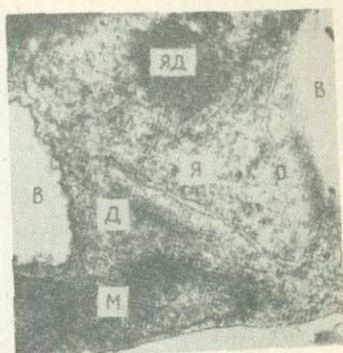


Рис. 1. Строение протопласта *Nitzschia fonticola*. I - схема строения (реконструкция по данным ультратонких срезов, фото 1-15): а - поперечное сечение клетки, б - вид с плазмалеммы, в - вид со створками; II - ультратонкие срезы (пояснения см. на стр. 162).

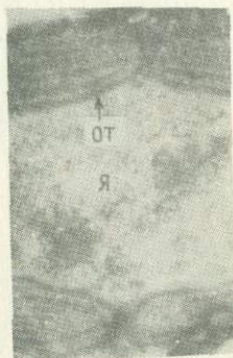
II



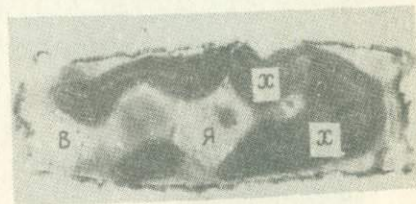
1



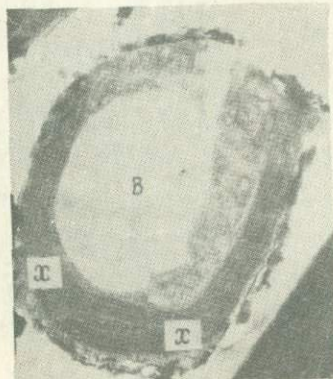
2



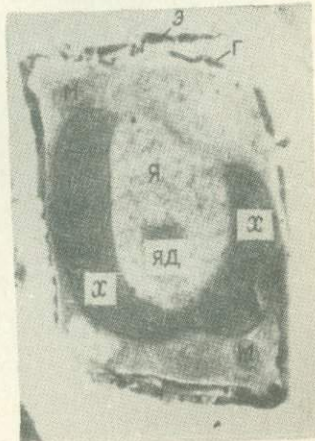
3



4

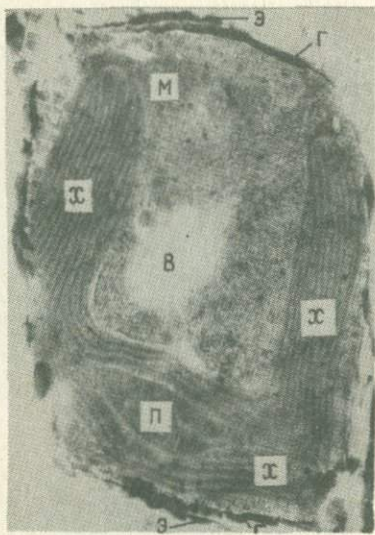


5

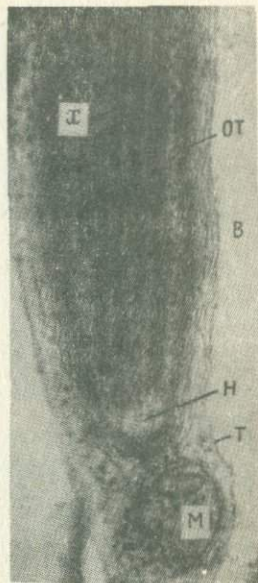


6

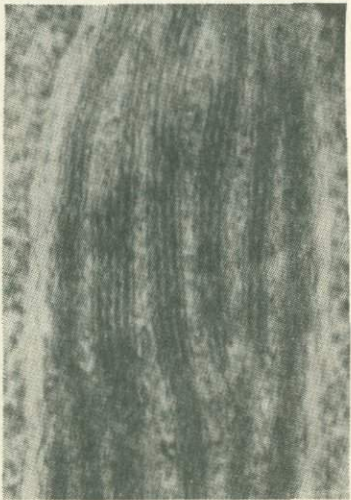
11



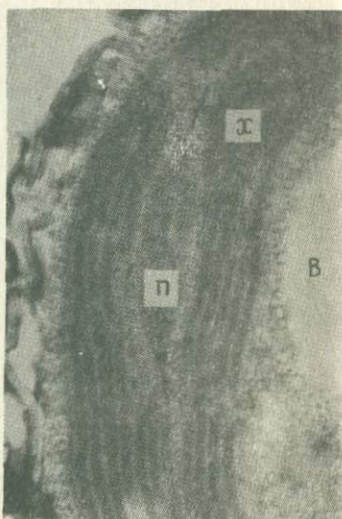
7



8



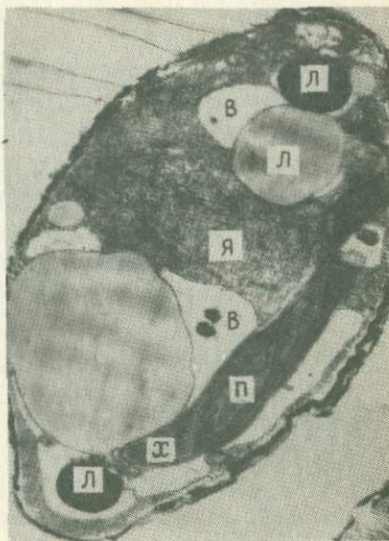
9



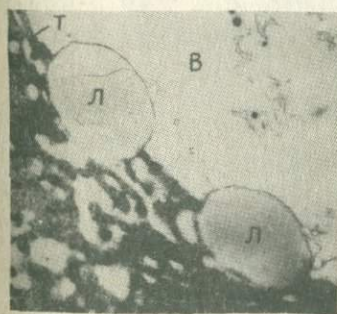
10



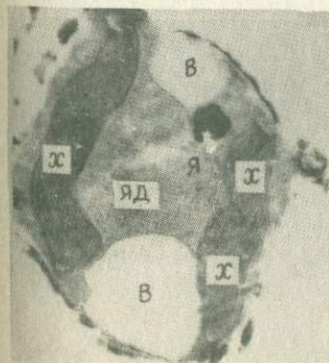
11



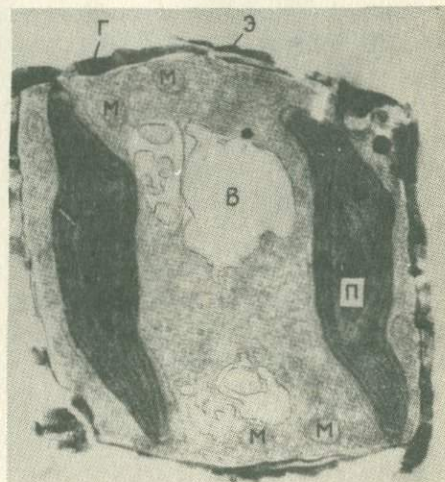
12



13



14



15

161

## II. Ультратонкие срезы:

- Фото I - Срез клетки в плоскости, близкой к плоскости створки. х 7 400;
- Фото 2 - грушевидное ядро с диктиосомами. х 25 000;
- Фото 3 - продольный срез контактирующих хлоропластов. х 25 000;
- Фото 4 - срез клетки, близкий к продольному в плоскости, перпендикулярной створке. х 7 400;
- Фото 5 - поперечный срез клетки в зоне вакуоли. х 10 000;
- Фото 6 - поперечный срез клетки в период начала деления хлоропласта. х 10 000;
- Фото 7 - поперечный срез клетки на уровне пиреноида. х 15 000;
- Фото 8 - строение хлоропласта. х 45 000;
- Фото 9 - то же. х 14 400;
- Фото 10 - то же. х 36 000;
- Фото II - диктиосома. х 120 000;
- Фото I2 - срез клетки в плоскости, близкой к плоскости створки. х 15 000;
- Фото I3 - липидные включения. х 25 000;
- Фото I4 - поперечный срез клеток с разделившимися хлоропластами. х 10 000;
- Фото I5 - то же. х 15 000.

Обозначения: в - вакуоль, г - гипотека, д - диктиосома, л - липидные глобулы, м - митохондрия, н - нуклеоид хлоропласта, о - ядерная оболочка, от - опоясывающие тилакоиды, п - пиреноид, т - тонопласт, х - хлоропласт, э - эпитека, я - ядро, яд - ядрышко.

гластов высших растений и некоторых водорослей тилакоиды диатомовых водорослей обычно не организованы в граны (фото 7-10). Немногочисленные граноподобные структуры, правда, обнаружены в хлоропластах *Striatella unipunctata* (Lyngb.) Ag. [Francisco a. Roth, 1977], однако остается неясным, аналогичны ли эти образования гранам высших растений.

Тесно сближенные тилакоиды диатомовых водорослей образуют пачки. В большинстве случаев пачка состоит из трех тилакоидов, хотя этот признак не является стабильным и варьирует в зависимости от систематической принадлежности организма и условий выращивания. Так, пачки, образованные тремя тилакоидами, обнаружены у *Amphipleura rutilans* (Trent.) Cl. [Drum, 1969a], *Melosira varians* Agardh и *M. nummuloides* Agardh [Crawford, 1973], двумя - у *Cocconeis diminuta* Pantocsek [Taylor, 1972] и *Striatella unipunctata* [Francisco a. Roth, 1977]. У *Navicula pelliculosa* (Breb.) Hilse число тилакоидов в пачке колеблется от трех до семи [Drum, 1963]. У некоторых водорослей обнаружены лишь одиночные тилакоиды, не образующие пачек; это *Melosira granulata* (Ehr.) Ralfs [Crawford, 1973] и *Cyclotella meneghiniana* Kütz. [Drum a. Pankratz, 1964a]. Число тилакоидов в пачке, если и характеризует определенный вид, не является стабильным признаком рода. Так, у *Nitzschia palea* (Kütz.) W.Sm. пачки содержат по 9 тилакоидов [Drum, 1963], у *N. angularis* - 3-4 [Gibbs, 1962a]. У *N. fonticola* число тилакоидов в пачке не является стабильным и колеблется от двух до пяти (фото 9). В отдельных участках тилакоиды ветвятся, образуя анастомозы между пачками (фото 9), что характерно для всех исследованных видов.

Один или (чаще) несколько тилакоидов расположены по периферии хлоропласта, непосредственно под окружающими его мембранами. Это опоясывающие тилакоиды, впервые описаные у диатомовых водорослей Даусоном [Dawson, 1973a] как *girdle lamella*. У *N. fonticola* пластиду опоясывает пачка тилакоидов, причем опоясывающие тилакоиды обнаруживаются по всей периферии пластиды (фото 3, 8). Эта ситуация характерна для большинства исследованных видов, хотя у *Melosira varians* опоясывающие тилакоиды обнаруживаются только в отдельных участках хлоропласта [Crawford, 1973]. У этой водоросли, кроме того, описаны перфорированные участки в пачках тилакоидов, приуроченные к району пиреноида и расположенные между пиреноидом и окружающими пластиду мембранами на стороне пластиды, об-

рашенней к вакуоли. Закономерность появления подобных перфораций и их возможное функциональное значение остаются неясным. Наличие опоясывающих тилакоидов характерно, кроме диатомовых, также для красных, бурых и золотистых водорослей [Massalski a. Leedale, 1969].

Обычно пачки тилакоидов расположены правильными рядами и следуют архитектуре клетки. Подобная ситуация характерна и для *N. fonticola* (фото 3, 7, 8, 9, 10). Однако описано и сравнительно хаотичное расположение тилакоидов в хлоропласте; иногда тилакоиды волнобразно изгибаются и закручиваются [Drum a. Pankratz, 1963, 1964a]. Расположение тилакоидов может изменяться в зависимости от физиологического состояния клетки, однако в норме оно прежде всего определяется особенностями морфологии клеток данного вида. Например, у *Mastogloia grevillei* хлоропласт имеет форму буквы Н, и тилакоиды следуют этой форме [Stoermer e a., 1964]. Насколько можно судить по имеющимся данным, условия выращивания влияют прежде всего на количество тилакоидов в пластиде и в пачках. Так, пластиды *Detonula* sp., выращиваемой при обычном освещении, содержат около 20 тилакоидов, расположенных в пачках по 4; значительную часть пластиды занимает строма. В клетках, выросших при освещении красным светом, число тилакоидов увеличивается примерно до 40, и они располагаются по всей пластиде, не образуя четких пачек и занимая большую часть ее содержимого [Jupin, 1973]. При этом снижается относительное содержание в клетках хлорофилла С и фукоксантина.

У всех изученных диатомовых водорослей хлоропласт содержит один или несколько пиреноидов. Обычно пиреноиды имеют форму линзы или веретена. *N. fonticola* обладает линзовидным пиреноидом (фото 7, 10, 12, 15), хотя у *Nitzschia* sp. описан пиреноид в виде вогнутой пластинки [Drum a. Pankratz, 1964a]. У *N. fonticola* каждый хлоропласт имеет видимо по одному пиреноиду, расположенному в центре пластиды, т.е. в участках пластид, контактирующих с вакуолями, но никогда не в центре клетки около ядра (фото 7, 10, 12, 15).

Матрикс пиреноида образован гранулярным материалом, несколько более плотным для электронов, чем матрикс пластиды (фото 10). Гранулярный материал матрикса пиреноида иногда обнаруживает упорядоченную кристаллическую структуру [Crawford, 1973; Coombs e a., 1968; Holdsworth, 1968; Taylor, 1972; Jeffrey a. Vesk, 1977], а

иногда выявляется ламеллярное строение матрикса пиреноида [Lauritis e.a., 1968; Taylor, 1972; Crawford, 1973]. Наиболее детальное описание строения матрикса пиреноида было дано Холдсуортом [Holdsworth, 1968], исследовавшим *Achnanthes brevipes* Agardh. Элементарными структурами матрикса у этой водоросли являются округлые тела диаметром 5 нм, связанные друг с другом короткими мостиками и в некоторых участках расположенные беспорядочно, а в некоторых обнаруживающие кристаллическую укладку линейными рядами или гексагонально.

Тилакоиды хлоропласта обходят пиреноид, прерываются перед ним (фото 10) или пронизывают пиреноид в тех или иных направлениях. Пиреноид может быть пронизан одним тилакоидом, двумя тилакоидами или пачкой тилакоидов [Drum a. Pankratz, 1964a; Manton a. Stosch, 1966; Esser, 1968; Drum, 1969b; Taylor, 1972].

У ряда видов диатомовых водорослей обнаружена мембрана, окружающая пиреноид [Drum a. Pankratz, 1964a]; эта мембрана заметна и у *N. fonticola* (фото 10). Поскольку окружающая пиреноид мембрана выявляется не у всех видов, было высказано предположение о видовом значении этого признака [Drum a. Pankratz, 1964a]. Следует, однако, согласиться с мнением Кроуфорда [Crawford, 1973], согласно которому мембрана пиреноида может выявляться или не выявляться в зависимости от адекватности метода фиксации материала. Говорить же о видовой специфичности этого признака преждевременно. У *Mastogloia grevillei* описана система пузырьков, расположенных по краю пиреноида [Stoermer e.a., 1964]. Эти пузырьки снаружи контактируют с тилакоидами хлоропласта.

На периферии хлоропласта, обычно на его полусах, под опоясывающими тилакоидами выявляются светлые зоны, включающие электроннен плотный фибриллярный материал (фото 8, 15). Считается, что это нуклеоиды или генофоры пластид, содержащие хлоропластную ДНК [Jaffrey a. Vesk, 1977].

Хлоропласт диатомовых водорослей окружен системой мембран (фото 8). Оболочка хлоропласта образована двумя мембранами, кроме того, хлоропласт окружен одной или несколькими цистернами эндоплаэмического ретикулума и выростами ядерной оболочки. Внешняя мембрана оболочки пластиды на некоторых участках содержит рибосомы и имеет непосредственную связь с мембранами эндоплаэмического ретикулума. У многих форм, в том числе у *N. fonticola*, ядро находится в непосредственном контакте с пластидой (фото 1, 4, 6).

В этом случае оболочка ядра на некоторых участках становится одновременно и оболочкой пластида, внутренняя мембрана оболочки пластида одновременно является внешней оболочкой ядра, и наоборот [Duke a., Reimann, 1977]. Этот признак, однако, нельзя рассматривать в качестве характерного для всех диатомовых водорослей. Так, у *Melosira varians* не удалось обнаружить связи оболочек пластида и ядра [Crawford, 1973].

Особые, связанные с пластидами, структуры обнаружены у диатомовых водорослей, обладающих многочисленными хлоропластами. Так, у *Striatella unipunctata* в слое цитоплазмы между хлоропластом и плаэмалеммой расположены микрофиламенты [Francisco a., Roth, 1977]. Эта водоросль содержит многочисленные хлоропластины, расположенные радиально вокруг центрального ядра. Интенсивное освещение вызывает движение хлоропластов от периферии к ядру, и наоборот. По мнению авторов, движение хлоропластов определяется этими микрофиламентами. То, что это именно микрофиламенты, а не микротрубочки, подтверждается тем наблюдением, что движение хлоропластов ингибируется цитохалазином В, но не колхицином.

Как уже было отмечено, структура хлоропласта диатомовых водорослей может изменяться в зависимости от условий, в которых развивается организм. Показано, что у ряда морских диатомовых водорослей под влиянием сине-зеленого освещения, имитирующего освещение в толще океана, происходит резкое увеличение содержания фотосинтетических пигментов, хлоропластины становятся более округлыми, количество тилакоидов в них значительно возрастает, тогда как площадь, занятая стромой, уменьшается [Jeffrey a., Vesk, 1977; Vesk a., Jeffrey, 1977]. В этих условиях стопки тилакоидов могут состоять не из трех, как обычно, а из большего их числа. У *Stephanopyxis turris* (Grev.) Ralfs отмечено также увеличение числа и изменение положения нуклеоидов, выявленное, возможно, активацией хлоропластного генома.

Ядро у диатомовых водорослей занимает вполне определенное положение в клетке, причем в процессе клеточного цикла его положение закономерно изменяется. Обзор движений ядра в вегетативных клетках центрических диатомовых водорослей дан А.М.Рошинным [1976].

В интерфазе у центрических диатомовых водорослей ядро обычно расположено около центра гипотеки и перемещается к экватору клетки непосредственно перед митозом [Crawford, 1973]. У пеннатных диатомовых водорослей ядро расположено в центре клетки, обычно в

цитоплазме, прилегающей к эпитеке [Duke a., Reimann, 1977]. У *N. fonticola* ядро контактирует с хлоропластом на одной стороне пояска и обращено свободной стороной к другой (фото 1, 6).

У диатомовых водорослей описаны ядра различной формы - овальные у *Cylindrotheca fusiformis* Reimann a., Lewin [Reimann e.a., 1965] и *Rhaedodactylum tricornutum* Behlin [Reimann a., Velcini, 1968], чечевицообразные - у *Melosira varians* [Crawford, 1973], Н-образные - у *Surirella ovalis* Breb. [Drum a., Pankratz, 1964a], гантелевидные у *Lauderia annulata* Cleve [Holmes, 1977]. Следует, однако, иметь в виду, что о форме ядра можно судить только на основании большого числа срезов, проходящих в различных плоскостях клетки. У большинства подробно изученных форм описана грушевидная форма ядра. У *Melosira varians* интерфазное ядро имеет грушевидную форму и обращено вершиной к эпитеке, а основанием к тонопласту [Crawford, 1973]. Основание ядра лишено ядерных пор, тогда как они очень многочисленны на его боковой поверхности. У пеннатной *N. fonticola* ядро также грушевидное, основанием погруженное в выемку хлоропласта в сторону одной из створок (фото 1, 6). Вершина ядра обращена в сторону другой створки и погружена в цитоплазму центрального цитоплазматического мостишка (фото 2). У мелких диатомей, например, у *Navicula pelliculosa* [Reimann e.a., 1966], ядро занимает относительно большую часть клетки, чем у крупных, например, у *Melosira varians* [Crawford, 1973], *Mastogloia grevillei* [Stoermer e.a., 1964] или *Surirella ovalis* [Drum a., Pankratz, 1964a]. Интерфазное ядро диатомовых водорослей характеризуется тонкогранулярным гомогенным содержимым без заметных скоплений хроматина. Значительное количество хроматиновых глыбок наблюдали только в гаметах *Lithodesmium undulatum* Ehr. [Manten a., Stosch, 1966]. Ядрышко обычно одно, грубовернистое (фото 1, 2, 4, 6, 14). В крупных Н-образных ядрах *Surirella ovalis* наблюдали до 8 сильно вакуолизированных ядрышек [Drum a., Pankratz, 1964a]. У *N. fonticola* ядрышко расположено ближе к стороне ядра, примыкающей к хлоропласту (фото 1, 6). Ядро *Cocconeis diminuta* имеет крупное ядрышко, расположенное у края ядра, контактирующего с пиреном-дом хлоропласта [Taylor, 1972].

Оболочка интерфазного ядра содержит многочисленные поры 80-100 нм диаметром [Drum a., Pankratz, 1964a]. По подсчетам Эзера [Egger, 1968], у *Streptotheca thamesia* ядро имеет 6-7 тысяч пор. Отверстие поры окружено тонкой диaphragмой с центральной гра-

нулой около 19 нм диаметром. У *Melosira varians* по краям поры обнаружено по 8 сферических гранул около 10 нм диаметром и, иногда, центральная гранула 12-15 нм диаметром [Crawford, 1973]. У этого вида от ядерной оболочки отпочковываются мелкие пузырьки с электронноплотным содержимым. Эти пузырьки затем приобретают грушевидную форму и скапливаются группами по 50-60 у плазмалеммы непосредственно под крупными порами створки. Предположительно эти пузырьки несут функцию экскурции слизи, которая выделяется через поры в пространство между прилегающими клетками. Как уже было отмечено, у видов, ядро которых непосредственно контактирует с хлоропластом, выросты ядерной оболочки непосредственно переходят в оболочку пластида. У *Gomphonema parvulum* (Kütz.) Grun. такие выросты ядерной оболочки локализованы в участке поверхности пластида, прилегающей к пиреноиду [Dawson, 1973a], хотя в большинстве случаев их локализация независима от пиреноида, например, у *Mitochondria palea* [Drum, 1963].

Около ядра диатомовых водорослей локализована структура, описанная разными авторами как центросома [Drum a., Pankratz, 1963], предшественник веретена [Manton e.a., 1969a,b; 1970a,b] или полярное тело [Crawford, 1973]. Типпит и Пикетт-Хилс с соавторами [Tippit e.a., 1975; Pickett-Heaps e.a., 1975; Tippit a., Pickett-Heaps, 1977; Pickett-Heaps a., Tippit, 1978] при описании митоза у *Melosira varians* и *Diatoma vulgare* Bergу обозначали эту структуру как постоянный полярный комплекс, так как она сохранялась на протяжении всего клеточного цикла, но аналогичное образование у *Suriella ovalis* Breb., исчезающее в прометафазе, было названо ими центром микротрубочек. Детали строения постоянного полярного комплекса или центра микротрубочек у разных представителей диатомовых водорослей несколько различаются, но всегда с этой структурой связаны цитоплазматические микротрубочки. У *Melosira varians* постоянный полярный комплекс расположен в инвагинации ядерной мембранны на вершине интерфазного ядра и состоит из двух частей: более крупного аморфного электронноплотного тела и трехслойной палочковидной структуры, расположенной между этим телом и ядерной оболочкой [Crawford, 1973]. Связывание с полярным комплексом микротрубочки имеют разную длину. Они располагаются в цитоплазме параллельно краям ядра, а некоторые - параллельно плоскости эпитехи. У *M. varians* некоторые микротрубочки располагаются также внутри ядра параллельно его краям, но у других

видов, например, у *Striatella unipunctata*, в интерфазе микротрубочки обнаруживаются только в цитоплазме, но не в ядре [Francisco a., Roth, 1977].

Около ядра у диатомовых водорослей расположено несколько диктиосом, в некоторых случаях до 20 (у *Achnanthes longipes* Agardh по Drum [1966]), хотя действительное число диктиосом в клетке для большинства видов не установлено. У *N. fonticola* диктиосомы расположены по бокам грушевидного ядра (фото 2). Здесь, как и обычно, диктиосомы расположены у сторон ядра, удаленных от хлоропласта [Stroemer e.a., 1965; Drum, 1966; Taylor, 1972]. Цистерны диктиосом образуются за счет слияния пузырьков, отпочковываемых внешней мембраной ядерной оболочки [Drum, 1963; Crawford, 1973; Francisco a., Roth, 1977]. Отдельная диктиосома образована 4-12 цистернами [Drum a., Hopkins, 1966; Reimann a., Volcani, 1968; Lauritis e.a., 1968; Francisco a., Roth, 1977]. Имеются наблюдения, что в различных диктиосомах в одной клетке число цистерн одинаково [Crawford, 1973]. Со стороны диктиосомы, противоположной ядру, отпочковываются пузырьки различного типа. Крауфорд [Crawford, 1973] описал три типа пузырьков, продуцируемых диктиосомами *Melosira varians*:

1) пузырьки разнообразной формы с гладкой поверхностью, отпочковывающиеся от трех-четырех внешних относительно ядра цистерн диктиосомы. Такого рода пузырьки обнаруживаются в различных участках цитоплазмы;

2) более крупные пузырьки с гранулярным содержимым, отпочковывающиеся от внешней к ядру цистерн диктиосомы. По мнению автора, это секреторные пузырьки;

3) "опоясаные" пузырьки, отпочковывающиеся также от внешней цистерны диктиосомы. Эти мелкие пузырьки имеют гранулярное содержимое и ограничены мембранный, более электронноплотной в сравнении с мембранами цистерн диктиосомы. Поверхность этих пузырьков несет варьирующее число палочковидных частиц длиной 15-20 нм. Даусон [Dawson, 1973a] у *Gomphonema parvulum* описал 5 типов пузырьков, образуемых диктиосомами, в том числе мелкие пузырьки с прозрачным для электронов содержимым, пузырьки с гранулярным содержимым двух типов, крупные электроннопрозрачные пузырьки, предположительно сливающиеся в силиколемму и мультивезикулярные тела.

Строение диктиосом диатомовых водорослей не отличается какими-либо оригинальными особенностями, однако у диатомовых водоро-

слей диктиосомный аппарат очень развит. По мнению ряда авторов, это связано с тем, что диктиосомы принимают участие в отложении кремневого панциря и выделении слизи, т.е. в функциях, весьма выраженных у этих водорослей [Drum a., Pankratz, 1964a,b; Drum, 1966].

У некоторых клеток многих видов диатомовых водорослей между плазмалеммой и диктиосомой обнаруживается везикулярный комплекс, состоящий из многочисленных пузырьков, имеющих различную форму и размеры [Drum, a., Pankratz, 1964b; Stoermer e.a., 1965; Taylor, 1972; Crawford, 1973, и др.]. Подобные комплексы чаще обнаруживаются в стареющих клетках. У *Gomphonema parvulum* везикулярный комплекс тесно ассоциирован с диктиосомой и, возможно, является продуктом ее активности [Dawson, 1973a]. Функции везикулярного комплекса неизвестны. Высказывается предположение, что он представляет собой пул мембранныго материала клетки [Crawford, 1973].

Высокая активность диктиосом отмечена в клетках, находящихся в стадии гаметогенеза. Здесь продуцируемое диктиосомой пузырьки несут лигосомную функцию, связанную с деградацией пикнотических постмейотических ядер [Geneves e.a., 1977b].

При изучении ультраструктур диатомовых водорослей особое внимание, естественно, привлекают структуры, связанные с формированием кремневого панциря, имеющего видоспецифическую структуру. Элементы кремневого панциря обнаруживаются внутри ограниченных мембраной пузырьков в цитоплаазме. В периферической части клетки они образуют сложную систему цистерн и трубочек, обозначенную Райманом [Reimann, 1964] силиколеммой. Элементы силиколеммы видимо несут двойную функцию - формирование панциря за счет их содержимого и формирование новой плазмалеммы за счет мембран пузырьков [Reimann e.a., 1966; Dawson, 1973 a,b; Lauritis e.a., 1968]. По мнению ряда исследователей, пузырьки силиколеммы формируются диктиосомами [Drum, 1966; Stoermer e.a., 1965; Dawson, 1973a, b; Lauritis e.a., 1968], хотя такая точка зрения оспаривается [Duke a., Reimann, 1977]. По наблюдениям Чаппино и Волкани [Chippino a., Volcani, 1977], у *Navicula pelliculosa* первичные пузырьки силиколеммы мельче пузырьков, отпочковывающихся от диктиосом. По мнению этих авторов, можно предполагать участие в формировании силиколеммы эндоплазматического ретикулума и даже плазмалеммы. Изучение серийных срезов показало, что по крайней мере у *Navicula pelliculosa* силиколемма представляет собой единую систему.

му взаимосвязанных периферических цистерн и трубочек [Chiappino a., Volcani, 1977]. Внешняя мембрана цистерн силиколеммы тесно прилегает к плазмалемме. Как уже было отмечено, обычно считают, что после включения в панцирь содержимого цистерн силиколеммы их внутренняя мембрана превращается в плазмалемму новой клетки, хотя высказывается мнение, что справедливость такой точки зрения еще нуждается в проверке [Duke a., Reimann, 1977].

В первичных пузырьках силиколеммы обнаруживаются электронноплотные элементы, сначала очень мелкие, по размерам близкие к рибосомам [Chiappino a., Volcani, 1977]. В период формирования панциря в периферических цистернах силиколеммы электронноплотные элементы различной формы могут быть довольно крупными. До сих пор не вполне ясно, что представляет собой этот материал: кремний, или органический матрикс будущего панциря, или и то и другое? Имеются сведения, что электронноплотные включения в силиколемме не растворяются плавиковой кислотой [Drum, 1966]. По наблюдениям Штормера с соавторами [Stoermer a.a., 1965], элементы, находящиеся в пузырьках силиколеммы, формирующих панцирь, растворяются в плавиковой кислоте, тогда как электронноплотные включения в мелких пузырьках, особенно многочисленных в только что разделившихся клетках, так же как электронноплотное содержимое пузырьков, связанных с диктиосомами, не растворяются.

Некоторые этапы формирования кремневых элементов вставочных ободков и септ были прослежены у *Striatella unipunctata* [Roth a. Francisco, 1977]. В отличие от большинства диатомовых водорослей, где формирование кремневого панциря происходит в течение непродолжительного периода жизненного цикла, у этого вида вставочные ободки и септы формируются непрерывно. Сначала в цитоплазме около участка поверхности, где будет образовываться очередной вставочный ободок, появляются пузырьки различной формы, не содержащие каких-либо определенных структур. Следующим этапом является приобретение пузырьками Т-образной формы, что соответствует профилю вставочного ободка и связанной с ним септы. Внешняя мембрана пузырька вступает в тесный контакт с плазмалеммой в определенном ее участке. Внутри пузырька образуется Т-образная структура - предшественник ободка и септы. Затем происходит разрыв внешней мембранны пузырька и участка связанной с ней плазмалеммы, в результате чего предшественник ободка становится экстрацеллюлярным. На его основе происходит окончательное образование соответствующих крем-

невых структур. Формирующиеся пузырьки занимают определенное положение относительно предшествующих ободков, что детерминирует также положение образующихся пор.

Подробно описана последовательность событий при формировании панциря *Navicula pelliculosa* [Chiappino a. Volcani, 1977]. Формирование элементов панциря строго детерминировано не только в пространстве, но и во времени. Структура панциря определяется расположением, формой и функционированием элементов силиколеммы, однако механизмы регуляции активности силиколеммы еще неизвестны. В некоторых случаях обнаружены микротрубочки, ассоциированные с силиколеммой, что позволяет сделать предположение об их регуляторной функции в формировании панциря [Stoermer e.a., 1965; Pickett-Heaps e.a., 1975].

Митохондрии диатомовых водорослей обладают трубчатыми кристаллами. Характер кристаллов митохондрий является признаком, различающим крупные группы микроорганизмов [Taylor, 1976]. По нашим наблюдениям, в неделяющихся клетках *N. fonticola* митохондрии тесно связаны с хлоропластом и обычно обнаруживаются у края хлоропласта (фото 6, 7, 8). На срезах клеток обычно обнаруживается несколько митохондрий, округлых или вытянутых. Судить о числе и форме митохондрий в клетках диатомовых водорослей пока нельзя, так как срезы с этой точки зрения никем не были исследованы.

В клетках диатомовых водорослей могут присутствовать довольно крупные капли липидов, на срезах они выглядят как более или менее плотные для электронов образования, обычно окруженные мембраной [Stoermer a. Pankratz, 1964; Lewin e.a., 1966; Heath a. Darley, 1972]. Липидные капли могут быть расположены в вакуолях или в цитоплазме. У *N. fonticola* обнаруживаются круглые липидные гранулы двух типов: мелкие, очень электроннодense, обычно расположенные на концах клетки (рис. 1, фото 12) и более крупные, но менее плотные для электронов, обычно расположенные в полярных вакуолях (фото 12). Глобулы липидов, очевидно, выделяются в вакуоли из цитоплазмы (фото 13). Крупные овальные тела умеренной плотности для электронов описаны у некоторых видов как стекловидные тела. По мнению Лоина с соавторами [Lewin e.a., 1966], наблюдавших эти тела у *Cylindrotheca fusiformis*, они образованы лейкозином, однако более детальные исследования подобных тел у *Gomphonema parvulum* свидетельствуют об их липидной природе [Drum a. Pankratz, 1964a; Dawson, 1973a, b].

Гранулы полифосфатов (волютина) обнаружены на срезах *Amphipleura pellucida* Kütz. [Stoermer a., Pankratz, 1964], *Gomphonema parvulum* [Dawson, 1973], *Melosira varians* [Crawford, 1973]. Гранулы волютина на срезах плотные для электронов с ноздреватой структурой, определяемой испарением полифосфатов под лучом электронов. Гранулы липидов и полифосфатов многочисленны в клетках из старых культур [Crawford, 1973].

В процессе деления клетки диатомовых водорослей деление хлоропласта обычно предшествует митозу [Ettl. a., Brezina, 1975]. У *N. fonticola* деление хлоропласта также происходит в тот период, когда ядро еще находится в интерфазе (фото 6, 14). Деление хлоропластов происходит за счет образования перетяжки, идущей вдоль клетки (фото 6). Дочерние пластиды прилегают к створкам клетки (фото 14, 15). Пиреноид у неделяющейся клетки расположен параллельно пояску (фото 7), но у клеток с разделившимися хлоропластами пиреноиды расположены параллельно створкам (фото 15). Гайтлером [Geitler, 1975] описан своеобразный тип деления хлоропластов *Nitzschia palea*. Здесь деление хлоропластов идет одновременно и синхронно с цитокинезом, т.е. начинается уже после образования дочерних ядер.

Ультраструктура митоза подробно исследована у ряда видов центральных и пеннатных диатомовых водорослей [Manton e.a., 1969a,b; 1970a,b; Pickett-Heaps e.a., 1975; Tippit e.a., 1975; Mc Donald e.a., 1977; Tippit a., Pickett-Heaps, 1977; Pickett-Heaps a., Tippit, 1978]. Общая схема процесса у исследованных форм оказывается сходной, хотя наблюдаются различия в деталях. Ниже нами приводится схема митоза, описанная [Tippit e.a., 1975] для *Melosira varians* (рис.2). У этой водоросли постоянный полярный комплекс присутствующий в интерфазе, реплицируясь в профазе, дает два полярных комплекса, располагающихся на полюсах веретена. Эти пластинчатые окружные структуры сначала располагаются под углом одна к другой и между ними вне ядра начинает формироваться веретено. В то же время кроме микротрубочек веретена от полярных комплексов отходят радиальные микротрубочки, расположенные в цитоплазме и иногда проникающие в ядро через его поры. Формирующееся веретено с полярными комплексами располагается на вершине ядра в внемке, образующейся на его поверхности. Микротрубочки начинают проникать в глубокие карманы, образуемые ядерной оболочкой, где затем ядерная оболочка разрушается и трубочки оказываются погруженными в яд-

ро. В ранней профазе микротрубочки идут от полюса до полюса, однако по мере удлинения веретена часть микротрубочек оказывается связанный лишь с одним полярным комплексом, а другая часть - с другим. Микротрубочки в пучках, идущих от полюсов веретена, параллельны и перекрываются в центральной части веретена. Число микротрубочек на поперечных срезах центральной части веретена теперь больше, чем на срезах, прошедших близко к полярным комплексам. В поздней профазе наблюдается конденсация хроматина и разрушение ядринка.

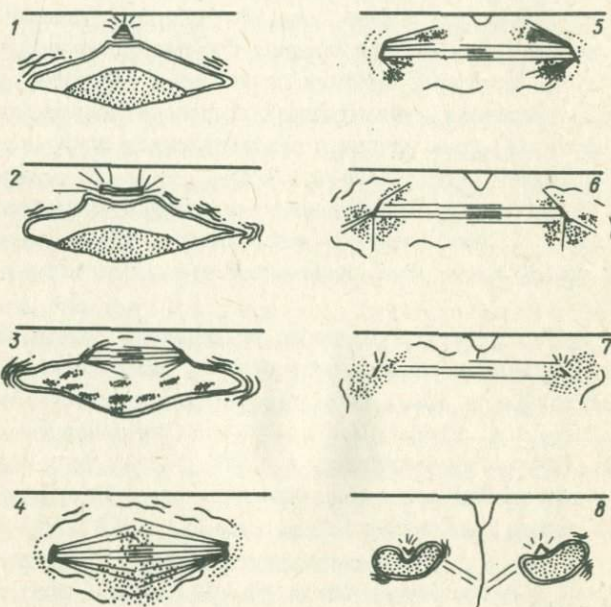


Рис.2. Схема митоза у *Melosira varians*  
(по Tippit e.a. [1975]).

1 - интерфаза; 2 - профаза; 3 - поздняя профаза; 4 - метафаза; 5 - анафаза; 6 - телофаза; 7 - поздняя телофаза; 8 - клетка непосредственно после цитокинеза. Объяснения в тексте.

В прометафазе веретено с полярными комплексами погружается в ядро, оболочка которого частично разрушается. В метафазе веретено достигает полного развития, полярные микротрубочки погружены в

хроматин, который асимметрично распределяется вокруг центра веретена, но часть микротрубочек, идущих от противоположных полюсов веретена, продолжает перекрывать одна другую.

В анафазе происходит передвижение хроматина к полюсам веретена, в телофазе хроматин скапливается вокруг полярных комплексов, которые оказываются частично в него погруженными. Многочисленные короткие радиальные микротрубочки, отходящие от полярных комплексов, пронизывают хроматин в различных направлениях. В дальнейшем происходит освобождение полярных комплексов от полярных микротрубочек и восстановление ядерной оболочки. Полярные комплексы располагаются во впачиваниях оболочки дочерних ядер и приобретают характерное для интерфазы строение. Хромосомы и кинетохорные микротрубочки на срезах диатомовых водорослей пока не выявлены.

У *Surirella ovalis* присутствующий в интерфазе центр микротрубочек в профазе тесно ассоциирован с формирующимся веретеном, но исчезает в прометафазе, а полярные комплексы, расположенные на полюсах веретена, формируются *de novo* в препрофазе [Tippit a. Pickett-Heaps, 1977]. Также *de novo* между 1 и 2-м мейотическими делениями на полюсах веретена возникают центриоли у *Lithodesmium undulatum* при образовании мужских гамет [Manton e.a. 1970b].

Процесс цитокинеза начинается в анафазе с появления широкого впачивания плаэммы на уровне центра веретена. От этого впачивания центрально формируется более узкая борозда, рассекающая клетку на уровне центра веретена.

В процессе деления клетки определенные трансформации претерпевают диктиосомы. Как уже указывалось, в интерфазе более или менее многочисленные диктиосомы лежат одиночно параллельно ядерной оболочке. Однако у *Pinnularia nobilis* Ehr. [Drum, 1966] и, подробнее, у *Striatella unipunctata* [Francisco a. Roth, 1977] описаны спаренные диктиосомы, обнаруживаемые в период поздней телофазы и ранней интерфазы. Спаренные диктиосомы расположены перпендикулярно поверхности ядра. Между диктиосомами в каждой паре расположены так называемые покрывающие пузырьки, образующие шапочку диктиосомы. Эти покрывающие пузырьки отпочковываются от оболочки ядра, они окружены двойной мембраной и, очевидно, содержат вещество нуклеоплаэмы, но лишены ядерных пор. Диктиосомы в паре обращены к шапочке своими формирующимися сторонами.

Образовавшиеся в результате деления дочерние клетки обычно не обнаруживают каких-либо различий ультраструктурных, хотя у *Cylin-*

*drotheca fusiformis* сразу после деления дочерние протопласти на срезах выглядят несколько по-разному, а именно, протопласт, прилегающий к гипотеке материнской клетки, имеет значительно более плотную для электронов цитоплазму за счет большего содержания рибосом [Lewin e.a., 1966].

Относительно особенностей ультраструктуры клеток диатомовых водорослей, связанных с половым процессом, получено пока немного данных. В мужских гаметах *Lithodesmium undulatum* отсутствуют диктиосомы, а хлоропласты имеют уменьшенные размеры и упрощенную форму. Интересной особенностью сперматозоидов *Lithodesmium undulatum* [Manton e.a. Stosch, 1966; Manton e.a., 1970b] и *Biddulphia levis* Ehr. [Heath e.a. Darley, 1972] является отсутствие двух внутренних микротрубочек в аксонеме жгутика. Пока неясно, характерно ли это для гамет всех центрических диатомовых водорослей. Кроме того (по крайней мере у последнего вида), в кинетосоме жгутика вместо обычных триплетов микротрубочек обнаруживаются дублеты, такие же как в аксонеме [Heath e.a. Darley, 1972]. У обоих видов жгутики гамет покрыты периферическими волосками — мастигонемами, представляющими собой трубочки диаметром около 11 нм.

Изменения ультраструктурны, связанные с переходом клетки в покоящееся состояние, у *Amphora coffaeformis* (Ag.) Kütz. исследованы Андерсоном [Anderson, 1975]. Жизнеспособные клетки этой водоросли обнаруживаются на больших глубинах океана в воде с низкой температурой, где их активное развитие исключено. Выдергивание клеток *A. coffaeformis* в темноте при 7°C в течение четырех недель приводило к уменьшению размеров липидных глобул, увеличению размеров и уменьшению числа митохондрий, уменьшению размеров крупной вакуоли и появлению многочисленных мелких вакуолей, в которых удавалось обнаружить активность кислой фосфатазы. По мнению автора, эти изменения ультраструктурны связаны с переходом клетки в покоящееся состояние, хотя в данных условиях трудно дифференцировать физиологические процессы от деструктивных.

Процесс образования ауксоспор, насколько можно судить по ограниченным данным, не связан с существенными изменениями ультраструктуры клетки [Geneves e.a., 1977a]. К настоящему времени ультраструктурная организация клетки исследована лишь у весьма ограниченного числа видов диатомовых водорослей. Тем не менее, со значительной долей уверенности можно говорить о существовании ряда осо-

бенностей строения протопласта, присущих этой группе водорослей. Развитие электронномикроскопических исследований водорослей в последние годы позволяет уточнить, а иногда коренным образом пересмотреть систематическое положение отдельных групп, а также дает новый материал для филогенетических построений, хотя относительная значимость тех или иных особенностей строения клетки с точки зрения систематика остается пока дискуссионной [Седова, 1977]. Ряд особенностей строения хлоропласта - строение тилакоиды в пачках, наличие опоясывающих тилакоидов, полярных нуклеоидов и системы мембран эндоплаэмматического ретикулума, окружающих хлоропласт и обычно связанных с ядерной оболочкой, по мнению Доджа [Dodge, 1973], позволяет условно объединить диатомовые водоросли в одну группу с *Phaeophyceae*, *Chloromonadophyceae*, *Xanthophyceae*, *Chrysophyceae*, *Haptophyceae* в соответствии с классификацией водорослей, принятой этим автором. При этом в расчет принимаются только особенности ультраструктуры клетки. По схеме эволюции отделов водорослей, предложенной Т.В. Седовой [1977] и основанной на всем комплексе известных свойств водорослей, диатомовые водоросли вместе с *Cryptophyta*, *Chrysophyta*, *Xanthophyta* и *Phaeophyta* произошли от гипотетических первичных желто-бурых гуттиконосцев. Подтверждение и уточнение подобного рода схем станет возможным лишь после значительного расширения числа исследованных видов как диатомовых водорослей, так и представителей других отделов водорослей.

#### УКАЗАТЕЛЬ ЛИТЕРАТУРЫ

- Громов Б.В. Коллекция культур водорослей Биологического института Ленинградского университета. - Тр. Петергофского биол.ин-та, 1965, № 19, с.125-130.
- Диатомовые водоросли СССР. Ископаемые и современные. Л., 1974. 403 с.
- Определитель пресноводных водорослей СССР. М., 1951, вып.4, 619 с. с илл.
- Рощин А.М. Пути движения ядра в вегетативных клетках центральных диатомовых водорослей. - Биологические науки, 1976, № 7, с.91-93.

- Седова Т.В. Основы цитологии водорослей. Л., 1977, 172 с.  
с илл.
- Anderson O.R. The ultrastructure and cytochemistry of resting cell formation in *Amphora coffeaeformis* (Bacillariophyceae). - *J. Phycol.*, 1975, vol. II, N 3, p. 272-281.
- Chiappino M.L., Volcani B.E. Studies on the biochemistry and fine structure of silica shell formation in diatoms. VII. Sequential cell wall development in the pennate *Navicula pelliculosa*. - *Protoplasma*, 1977, vol. 93, p. 205-221.
- Coombs J. Studies on the biochemistry and fine structure of silica shell formation in diatoms. V. Effects of colchicine on wall formation in *Navicula pelliculosa* (Breb.) Hilse. - Lauritis J.A., Darley W.M., Volcani B.E. - *Z. Pflanzenphysiol.* 1968, vol. 59, p. 124-152.
- Crawford R.M. The protoplasmic ultrastructure of the vegetative cell of *Melosira varians* C.A. Agardh. - *J. Phycol.*, 1973, vol. 9, N 1, p. 50-61.
- Dodge J.D. The fine structure of algal cell. London - N.Y., 1973, 261 p. with ill.
- Dawson P.A. Observations on the structure of some forms of *Gomphonema parvulum* Kütz. II. The internal organization. - *J. Phycol.*, 1973a, vol. 9, N 2, p. 165-175.
- Dawson P.A. Observations on the structure of some forms of *Gomphonema parvulum* Kütz. III. Frustule formation. - *J. Phycol.*, 1973b, vol. 9, N 4, p. 353-365.
- Drum R.W. The cytoplasmic fine structure of the diatom, *Nitzschia palea*. - *J. Cell Biol.*, 1963, vol. 18, N 2, p. 129-140.
- Drum R.W. Electron microscopy of paired Golgi units in the diatom *Pinnularia nobilis*. - *J. Ultrastruct. Res.*, 1966, vol. 15, p. 100-107.
- Drum R.W. Light and electron microscope observations on the tube-dwelling diatom *Amphipleura rutilans* (Trentepohl) Cleve. - *J. Phycol.*, 1969a, vol. 5, N 1, p. 21-26.
- Drum R.W. Electron microscope observations of diatoms. - *Öst. bet. Z.*, 1969b, Bd. 116, S. 321-330.
- Drum R.W., Hopkins J.T. Diatom locomotion: an explanation. - *Protoplasma*, 1966, vol. 62, N 1, p. 1-33.
- Drum R.W., Pankratz H.S. Fine structure of a diatom centrosome. - *Science*, 1963, vol. 142, N 3588, p. 61-63.
- Drum R.W., Pankratz H.S. Pyrenoids, raphe and other

- fine structure in diatoms. — Amer. J. Bot., 1964a, vol. 51, N 4, p. 405-418.
- Drum R.W., Pankratz H.S. Post mitotic fine structure of *Gomphonema parvulum*. — J. Ultrastruct. Res., 1964b, vol. 10, p. 217-223.
- Duke E.L., Reimann B.E.F. The ultrastructure of the diatom cell. — In: The biology of diatoms. Oxford-London-Edinburg-Melburne, 1977, p. 65-109.
- Esser K. Elektronenmikroskopische cytochemische Untersuchungen an der Kernmembran von *Streptotheca thamesis*. — Experientia, 1968, Bd. 24, H. 1, S. 61-62.
- Ettl H., Rezinina V. Teilungsverhalten der Chromatophoren in bezug auf die Mitose während des Lebenszyklus von *Diatoma hiemale* var. *mesodon*. — Plant. Syst. and Evol., 1975, vol. 124, N 3, p. 187-203.
- Francisco de A., Reeth L.K. The marine diatom, *Striatella unipunctata*. I. Cytoplasmic fine structure with emphasis on the golgi apparatus. — Cytobiologie, 1977, vol. 14, N 2, p. 191-206.
- Geitler L. Lebendbeobachtung der Chromatophorenteilung der Diatomee *Nitzschia*. — Plant Syst. Evol., 1975, vol. 123, N 2, p. 145-152.
- Genevès L., Neuville D., Daste P. Organisation générale des protoplasts, pendant l'auxosporulation d'une diatomée pennale: le *Stauroneis coustaudi* Neuville, Daste, Genevès C.r. Acad. sci., 1977a, vol. D 285, N 4, p. 459-462.
- Genevès L., Neuville D., Daste P. Evolution nucléaire et activité golgienne dans les protoplastes sphériques de la diatomée pennale *Stauroneis coustaudi* Neuville, Daste, Genevès. — C.r. Acad. sci., 1977b, vol. D 285, N 15, p. 1855-1858.
- Gibbs S.P. The ultrastructure of the chloroplasts of algae. — J. Ultrastruct. Res., 1962a, vol. 7, p. 418-435.
- Gibbs S.P. The ultrastructure of the pyrenoids of algae, exclusive of the green algae. — J. Ultrastruct. Res., 1962b, vol. 7, p. 247-261.
- Heath I.B., Darley W.M. Observations on the ultrastructure of the male gametes of *Biddulphia levii* Ehr. — J. Phycol., 1972, vol. 8, N 1, p. 51-59.

- Haldsworth R.H. The presence of a crystalline matrix in pyrenoids of the diatom, *Achnanthes brevipes*. - *J. Cell Biol.*, 1968, vol. 37, p. 831-837.
- Holmes R.W. Lauderia annulata - a marine centric diatom with an elongate bilobed nucleus. - *J. Phycol.*, 1977, vol. 13, N 2, p. 180-183.
- Jeffrey S.W., Vesk M. Effect of blue-green light on photosynthetic pigments and chloroplast structure in the marine diatom *Stephanopyxis turris*. - *J. Phycol.*, 1977, vol. 13, N 3, p. 271-279.
- Jupp H.J. Modifications pigmentaires et ultrastructurales chez la diatomée *Detomula* sp. cultivée en lumière rouge. - *Arch. Mikrobiol.*, 1973, vol. 91, n. 1, p. 19-27.
- Lauritis J.A., Coombs J., Volcani B.E. Studies on the biochemistry and fine structure of silica shell formation in diatoms. IV. Fine structure of the apochlorotic diatom *Nitzschia alba* Lewin a. Lewin. - *Arch. Mikrobiol.*, 1968, vol. 62, N 1, p. 1-16.
- Lewin J.C. e. a. Silica shell formation in synchronously dividing diatoms. Reimann B.E., Busby W.F., Volcani B.E. - In: Cell synchrony, N.Y., 1966, p. 169-188.
- Manton I., Kowalik K., von Stosch H.A. Observations on the fine structure and development of the spindle at mitosis and meiosis in a marine centric diatom (*Lithodesmium undulatum*). I. Preliminary survey of mitosis in spermatogonia. - *J. Microscopy*, 1969a, vol. 89, p. 295-320.
- Manton I., Kowalik K., von Stosch H.A. Observations on the fine structure and development of the spindle at mitosis and meiosis in a marine centric diatom (*Lithodesmium undulatum*). II. The early meiotic stages in male gametogenesis. - *J. Cell Sci.*, 1969b, vol. 5, p. 271-298.
- Manton I., Kowalik K., von Stosch H.A. Observations on the fine structure and development of the spindle at mitosis and meiosis in a marine centric diatom (*Lithodesmium undulatum*). III. The later stages of meiosis in male gametogenesis. - *J. Cell Sci.*, 1970a, vol. 6, p. 131-157.
- Manton I., Kowalik K., von Stosch H.A. Observations on the fine structure and development of the spindle at mitosis and meiosis in a marine centric diatom (*Lithodesmium undulatum*). IV. The second meiotic division

- and conclusion. - *J. Cell Sci.*, 1970b, vol.7, p.407-443.  
Manton I., von Stesch H.A. Observation on the fine structure of the male gamete of the marine centric diatom *Lithodesmium undulatum*: - *J. Roy. Microscop. Soc. London*, 1966, vol. 85, p.119-134.
- Massalski A., Leedale G.F. Gytology and ultra-structure on the Xanthophyceae. I. Comparative morphology of the zoospores of *Bumilleria sicula* Berzi and *Tribonema vulgare* Pascher. - *Brit. Phycol. J.*, 1969, vol.4, N 2, p.159-180.
- McDonald K. e. a. On the mechanism of anaphase spindle elongation in *Diatoma vulgare*. Pickett-Heaps J.D., McIntosh J.R., Tippit D.H. - *J. Cell Biol.*, 1977, vol.74, p.377-388.
- Pickett-Heaps J.D., Tippit D.H. The diatom spindle in perspective. - *Cell*, 1978, vol. 14, N 3, p.455-467.
- Pickett-Heaps J.D., McDonald K., Tippit D.H. Cell division in the pennate diatom *Diatoma vulgare*. - *Protoplasma*, 1975, vol.86, N 1-3, p.205-242.
- Reimann B.E.F. Deposition of silica inside a diatom cell. *Exp. Cell. Res.*, 1964, vol. 34, p.605-608.
- Reimann B.E.F., Lewin J.C., Volcani B.E. Studies of the biochemistry and fine structure of silica shell formation in diatom. I. The structure of the cell wall of *Cylindretheca fusiformis*. - *J. Cell Biol.*, 1965, vol.24, N 1, p.39-55.
- Reimann B.E.F., Lewin J.C., Volcani B.E. Studies on the biochemistry and fine structure of silica shell formation in diatom, II. The structure of the cell wall of *Navicula pelliculosa* (Brev.) Hilse. - *J. Phycol.*, 1966, vol.2, N 2, p.74-84.
- Reimann B.E.F., Volcani B.E. Studies on the biochemistry and fine structure of silica shell formation in diatom. III. The structure of the cell wall of *Phaeodactylum tricornutum* Bohlin. - *J. Ultrastruct. Res.*, 1968, vol. 21, N 3-4, p.182-193.
- Roeth L.E., Francisco de A. The marine diatom, *Striatella unipunctata*. II. Siliceous structures and the formation of intercalary bands. - *Cytobiologie*, 1977, vol. 14, p. 207-221.
- Steemer E.F., Pankratz H.S. Fine structure of the diatom *Amphipleura pellucida*. I. Wall structure. -

- Amer. J. Botany, 1964, vol. 51, N 9, p. 986-990.
- S t o e r m e r E.F., P a n k r a t z H.S., D r u m R.W. The fine structure of *Mastogloia grevillei* Wm. Smith. - Proto-plasma, 1964, vol. 59, N 1, p. 1-13.
- S t o e r m e r E.F., P a n k r a t z H.S., B o w e n C.C. Fine structure of the diatom *Amphipleura pellucida*. II. Cyttoplasmic fine structure and frustule formation. - Amer. J. Botany, 1965, vol. 52, N 10, p. 1067-1078.
- T a y l o r D.L. Ultrastructure of *Cocconeis diminuta* Pantocsek. - Arch. Mikrobiol., 1972, vol. 81, n.2, p. 136-145.
- T a y l o r F.J.R. Flagellate phylogeny: a study in conflicts. - J. Protozool., 1976, vol. 23, N 1, p. 28-40.
- T h e b i o l o g y o f d i a t o m s. Oxford-London-Edinburgh-Melburne, 1977, 498 p.
- T i p p i t D.H., M c D o n a l d K.L., P i c k e t t - H e a p s J.D. Cell division in the centric diatom *Melosira varians*. - Cytobiologie, 1975, vol. 12, N 1, p. 52-73.
- T i p p i t D.H., P i c k e t t - H e a p s J.D. Mitosis in the pennate diatom *Surirella ovalis*. - J. Cell Biol., 1977, vol. 73, N 3, p. 705-727.
- V e s k M., J e f f r e y S.W. Effect of blue-green light on photosynthetic pigments and chloroplast structure in unicellular marine algae from six classes. - J. Phycol., 1977, vol. 13, p. 280-288.

## ОГЛАВЛЕНИЕ

Шешукова-Порецкая В.С., Моисеева А.И., Короткевич О.С.	
Миоценовая пресноводная диатомовая флора Компасского Бора на реке Тым (Западная Сибирь) .....	3
Даковщикова Т.К. Диатомовые водоросли в колонке донных отложений Аральского моря .....	102
Головенина Н.И. Определение качества диатомитов некоторых месторождений Армянской ССР на основе изучения флоры диатомовых водорослей .....	117
Балашова Н.Б. Диатомовые водоросли термальных источников Талыша (группы Мешасу и Ибадису) .....	128
Головенина Н.И. Диатомовые водоросли из термальных источников кальдеры вулкана Узон на Камчатке .....	132
Иванова С.Б., Липская А.А., Водопьянова Л.Г., Берс Э.П., Ковлов А.В. Иммунофлюоресцентное исследование гистонов некоторых диатомовых водорослей .....	148
Громов В.В., Мамкаева К.А. Ультраструктура протопласта диатомовых водорослей .....	156

УДК 561.26.118.2

Миоценовая пресноводная диатомовая флора Компасского Бора на реке Тым (Западная Сибирь) / Шешукова-Порецкая В.С., Моисеева А.И., Короткевич О.С. - В кн.: Диатомовые водоросли. Л., Изд-во Ленингр. ун-та, 1980, с. 3-102. Ил.6, табл.4, библиогр.143 наав. (Труды Биолого-математического института ЛГУ; № 30).

В работе изложены результаты изучения диатомовых водорослей из обнажения Белый Яр в урочище Компасский Бор на правом берегу реки Тым. Обильные пресноводные диатомеи обнаружены в линзах озерных глин; определено около 150 видов и внутривидовых таксонов, даны их описание, экология, местонахождения в обнажении Белый Яр и геологическое распространение (наиболее подробно - в неогеновых отложениях) в пределах и вне СССР. Освещены палеоэкологические условия существования, установлено своеобразие систематического состава и миоценовый (вероятно, пояднико-миоценовый) возраст исследованной диатомовой флоры.

УДК 551.794

Диатомовые водоросли в колонке донных отложений Аральского моря / Даковщика Т.К. - В кн.: Диатомовые водоросли. Л., Изд-во Ленингр. ун-та, 1980, с. 102-117. Ил.1, табл.2, библиогр.24 наав. (Труды Биолого-математического института ЛГУ; № 30).

Впервые изучены систематический и экологический состав и количественное распределение диатомовых водорослей в толще голоценовых отложений Аральского моря. Обнаружено 153 вида и внутривидовых таксонов. В толще осадков наблюдалось изменение видового состава и концентрации диатомеи. Выделено несколько слоев с повышенным содержанием створок, что соответствует периодам интенсивного биогенного осадконакопления. По соотношению различных экологических групп диатомеи прослеживается изменение солености водоема в голоцене.

УДК 561.26.552.581

Определение качества диатомитов некоторых месторождений Армянской ССР на основе изучения флоры диатомовых водорослей / Головенина Н.И. - В кн.: Диатомовые водоросли. Л., Изд-во Ленингр. ун-та, 1980, с. 117-128. Ил.1, табл.2, библиогр.14 наав. (Труды Биолого-математического института ЛГУ; № 30).

В работе излагаются результаты изучения диатомовых водорослей из пяти новых месторождений диатомитов Армении. Диатомиты в настоящее время приобретают все большее значение и используются в народном хозяйстве как фильтрующие порошки.

Впервые установлен эколого-систематический состав породообразующих и доминирующих диатомей, слагающих диатомиты; приведены некоторые палеогеографические данные о режиме древних водоемов, где происходило накопление диатомитов; подтверждена возможность определения качества диатомитов путем подсчета количества створок в одном грамме породы.

УДК 582.26/27

Диатомовые водоросли термальных источников Талыша (группы Мешасу и Ибадису) / Балашова Н.Б. - В кн.: Диатомовые водоросли. Л., Изд-во Ленингр. ун-та, 1980, с. I28-I32. Библиогр. 6 назв. (Труды Биолого-химического института ЛГУ; № 30).

Обследованы термальные источники группы Мешасу и Ибадису в Талышской гидротермальной области (Азербайджанская ССР). Найдено 36 видов, разновидностей и форм диатомовых водорослей, относящихся к подклассу *Pennatophycidae*. Диатомеи встречены в ручьях - стоках вод источников при температуре воды 32-38°C и pH 6. Преобладают бентосные формы. Основной фон группировок диатомей составляют виды, тяготеющие к развитию в водоемах с повышенным содержанием солей. Все найденные диатомовые водоросли ранее отмечались в термальных источниках различных районов.

УДК 582.25/582.26

Диатомовые водоросли из термальных источников кальдеры вулкана Уэон на Камчатке / Головенинина Н.И. - В кн.: Диатомовые водоросли. Л., Изд-во Ленингр. ун-та, 1980, с. I32-I48. Табл. 1, библиогр. 21 назв. (Труды Биолого-химического института ЛГУ; № 30).

В работе приводятся результаты изучения диатомей из терм кальдеры, температурный диапазон которых составляет 14-70°C, pH 2,0-8,0. Температурный предел развития диатомей для кальдеры 57°.

В источниках определено свыше 120 видов и разновидностей диатомей. Отмечены формы с недеформированными окрашенными хроматофо-

рами. Обращено внимание на чрезвычайно обильное развитие *Pinnularia braunii* var. *amphicephala* (A. Mayer) Hust. при различных температурах. Подтверждено мнение, что специфическая термальная диатомовая флора отсутствует, а к жизни в термальных источниках приспособиваются представители обычной холодноводной местной фло-ры.

УДК 577.27:547.962+615.373

Иммунофлюоресцентное исследование гистонов некоторых диатомовых водорослей. / Иванова С.Б., Липская А.А., Водопьянова Л.Г., Берс Э.П., Козлов А.В. - В кн.: Диатомовые водоросли. Л., Изд-во Ленингр. ун-та, 1980, с. I48-I56. Табл.2, библиогр.22 наэв. (Труды Биолог. НИИ ЛГУ; № 30).

С помощью метода непрямой иммунофлюоресценции исследован набор гистоновых фракций в пяти видах диатомовых водорослей из подкласса Centrophyycidae: *Scleletonema costatum* (Grev.) Cl., *Chaetoceros curvisetus* Cl., *Chaetoceros socialis* Land., *Ditylum brightwellii* (West.) Grun., *Cerataulina bergenii* Perag. Тест-сыворотками служили антисыворотки к очищенным фракциям гистонов тимуса теленка H1, H2A, H2B, H3 и H4, охарактеризованные по активности и специфичности методами реакции связывания комплемента и непрямой иммунофлюоресценции. Обработка препаратов клеток диатомовых водорослей антигистоновыми сыворотками визуализирует свечение ядер клеток. Специфичность свечения установлена с помощью контрольных экспериментов. Показано, что во всех исследованных диатомовых водорослях имеются фракции гистонов H2A, H2B, H3 и H4, сходные по своим иммунохимическим свойствам с соответствующими фракциями гистонов тимуса теленка. Свечение ядер водорослей при обработке их анти-H1 сывороткой не наблюдалось, что говорит об отсутствии в ядрах диатомовых гистона, аналогичного по иммунохимическим свойствам гистону H1 из тимуса теленка.

УДК 582.26.576.3

Ультраструктура протопласта диатомовых водорослей / Громов В.В., Мамкаева К.А. - В кн.: Диатомовые водоросли. Л., Изд-во Ленингр. ун-та, 1980, с. I56-I82. Ил.2, библиогр.59 наэв. (Труды Биолог. НИИ ЛГУ; № 30).

На основе литературных данных и собственных наблюдений при изучении ультраструктуры диатомовой водоросли *Nitzschia fonticola* дано описание основных особенностей строения протопласта диатомовых водорослей. Обсуждаются особенности строения хлоропласта, ядра, диктиосом и различных цитоплазматических включений в клетках диатомовых водорослей.

ИБ № 1092

Труды  
Биологического  
Научно-исследовательского  
института

№ 30

ДИАТОМОВЫЕ ВОДОРОСЛИ

Редактор Н.Н.Крушинова

Художественный редактор А.Г.Голубев

Технический редактор Г.М.Иванова

Корректор В.Е.Майорова

---

Подписано в печать 15.07.80. М-20984  
Формат 60x90 1/16. Бумага типографская № 2.  
Печать офсетная. Печ.л. 11,75. Уч.-изд.л. 10,67.  
Заказ 5194 Тираж 669 экз. Цена 1 р. 60 к.

Издательство ЛГУ им. А.А.Иванова  
199164. Ленинград, В-164, Университетская наб., 7/9

---

Московская Типография № 9 Союзполиграфпрома  
при Государственном Комитете СССР по делам  
издательств, полиграфии и книжной торговли.

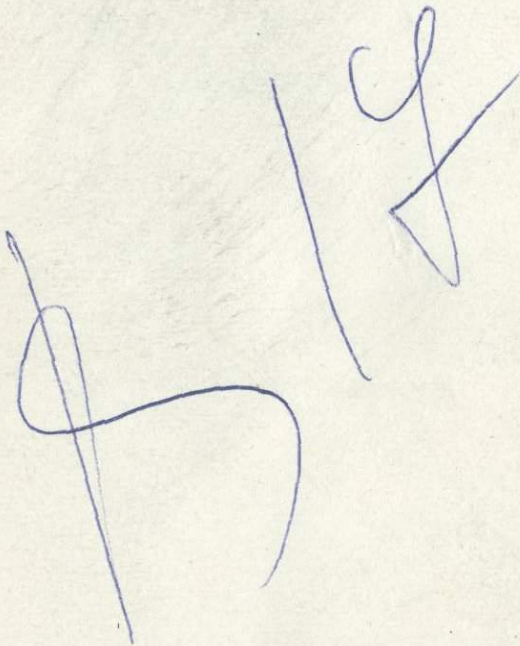
---

Москва К-33, Волочаевская ул., 40

I p. 60 к.

П 143  
№ 30

2



Диатомовые водоросли (Труды Биологического  
научно-исследовательского института ЛГУ; № 30)  
1981, I-188.